

АКАДЕМИЯ НАУК СОЮЗА ССР

ЖУРНАЛ ФИЗИЧЕСКОЙ ХИМИИ

PT 2
ТОМ
XXIX

7

ВЫПУСК

ИЮЛЬ
1955

ИЗДАТЕЛЬСТВО АКАДЕМИИ НАУК СССР
МОСКВА

ЖУРНАЛ ФИЗИЧЕСКОЙ ХИМИИ

Редакционная коллегия:

В. Я. АНОСОВ, К. В. АСТАХОВ, А. И. БРОДСКИЙ, Г. К. БОРЕСКОВ,
Я. И. ГЕРАСИМОВ, С. В. ГОРБАЧЕВ, Г. С. ЖДАНОВ, Н. А. ИЗГАРЫШЕВ,
Л. А. НИКОЛАЕВ, Н. Н. СЕМЕНОВ, А. Н. ТЕРЕНИН, А. Н. ФРУМКИН,
К. В. ЧМУТОВ

Главный редактор Я. И. ГЕРАСИМОВ

Заместители главного редактора С. В. ГОРБАЧЕВ, К. В. ЧМУТОВ

Отв. секретарь Л. А. НИКОЛАЕВ

Адрес редакции: Москва, Подсосенский пер., 21

Т-06184	Подписано к печати	10/VIII.1955 г.	Печ. л. 17,81	Уч.-изд. л. 19,2
Формат бумаги	70×108 ³ / ₁₆ .	Бум. л. 6,5	Зак. 1512.	Тираж 4450 экз.

2-я типография Издательства Академии наук СССР. Москва, Шубинский пер., 10

АДДИТИВНОСТЬ ТЕМПЕРАТУРЫ КИПЕНИЯ ВЕЩЕСТВА

И. А. Голяков

Как показывают приводимые ниже данные, температура кипения вещества может рассматриваться как аддитивное свойство молекул. Аддитивность температуры кипения вещества легче всего обнаружить на органических соединениях, поскольку именно эти соединения позволяют выделить значительное число гомологических рядов, удобных для сопоставления температур кипения по различным членам этих рядов.

Аддитивность температуры кипения для таких гомологических рядов можно установить несколькими способами. Один из этих способов заключается в том, что для каждого члена определенного гомологического ряда находится произведение температуры кипения (в градусах абсолютной шкалы) при нормальном атмосферном давлении на квадратный корень из молекулярного веса данного соединения. Сравнивая разности таких произведений для отдельных смежных членов гомологического ряда, нетрудно убедиться в том, что эти разности колеблются в довольно узких пределах.

К такому же выводу можно прийти, заменяя значения молекулярных весов общим числом валентных связей, содержащихся в данной молекуле. Существуют и другие способы обнаружения аддитивности температуры кипения вещества.

В частности, довольно хорошие результаты для многих гомологических рядов получаются, если по каждому члену ряда находить величины:

$$A = \frac{MT}{V_n},$$

где M — молекулярный вес соединения, T — температура кипения вещества в °К, при нормальном атмосферном давлении, n — общее число валентных связей, содержащихся в данной молекуле.

Таблица 1

Соединение	T в °К	M	A	Δ
CH_4	111,7	16	447	—
C_2H_6	184,6	30	1011	564
C_3H_8	231,0	44	1532	521
C_4H_{10}	272,6	58	2076	544
C_5H_{12}	309,27	72	2624	548
C_6H_{14}	341,94	86	3171	547
C_7H_{16}	371,63	100	3716	545
C_8H_{18}	398,87	114	4259	543
C_9H_{20}	424,00	128	4797	538
$C_{10}H_{22}$	447,32	142	5330	533
$C_{11}H_{24}$	469,09	156	5859	529
$C_{12}H_{26}$	489,48	170	6382	523
$C_{13}H_{28}$	507,2	184	6880	498
$C_{14}H_{30}$	525,7	198	7397	517
$C_{15}H_{32}$	543,7	212	7916	519
$C_{16}H_{34}$	560,2	226	8422	506
$C_{17}H_{36}$	576,2	240	8926	504
$C_{18}H_{38}$	590,2	254	9406	480
$C_{19}H_{40}$	603,2	268	9875	469

712087
(2) 8796
7mm

PRINTED IN U. S. S. R.

После определения величин A для всех членов ряда, для которых кипение при нормальном атмосферном давлении не сопровождается распадом молекулы, находятся разности (Δ) величин A для каждой пары смежных членов ряда.

В табл. 1 приведены вычисленные величины Δ для n -алканов, причем величины A определены из формулы $A = T\sqrt{M}$.

При рассмотрении этой таблицы можно видеть, что разности Δ для отдельных членов ряда колеблются в сравнительно узких пределах. Среднеарифметическая величина, найденная из этих разностей, составляет $\Delta_{\text{ср}} = 523$.

Некоторые колебания величин Δ обуславливаются, повидимому, не только частными особенностями внутреннего строения молекул отдельных членов ряда, но и тем, что формула $A = T\sqrt{M}$ лишь в первом приближении отражает зависимость температуры кипения от молекулярного веса соединения. Эти колебания в известной мере могут быть объяснены также тем, что по отдельным членам ряда отсутствуют вполне надежные данные о температурах кипения.

Важно отметить, что величины Δ по мере увеличения молекулярного веса соединения монотонно уменьшаются, что особенно заметно на последних членах ряда.

В табл. 2 приведены вычисленные по той же формуле $A = T\sqrt{M}$ величины Δ для 1-алкенов.

Таблица 2

Соединение	T в °K	M	A	Δ
C_2H_4 . . .	169,3	28	896	—
C_3H_6 . . .	226,2	42	1466	570
C_4H_8 . . .	268,2	56	2007	541
C_5H_{10} . . .	302,17	70	2528	521
C_6H_{12} . . .	335,68	84	3077	549
C_7H_{14} . . .	365,84	98	3621	544
C_8H_{16} . . .	393,48	112	4164	543
C_9H_{18} . . .	419,07	126	4704	540
$C_{10}H_{20}$. . .	442,77	140	5239	535
$C_{11}H_{22}$. . .	464,87	154	5769	530
$C_{12}H_{24}$. . .	485,56	168	6293	524

Монотонный характер изменения величин Δ здесь также наблюдается достаточно ясно. Среднеарифметическая величина, найденная по этим разностям, составляет $\Delta_{\text{ср}} = 540$.

Рассмотренные данные говорят о том, что температуры кипения в гомологических рядах n -алканов и 1-алкенов, являются аддитивной величиной.

Группе CN_2 в обоих рядах соответствует величина Δ , колеблющаяся в довольно узких пределах.

ВЫВОДЫ

Показано, что температура кипения в рассмотренных рядах органических соединений является аддитивным свойством вещества и позволяет: а) устанавливать более правильно температуры кипения для отдельных членов гомологических рядов, особенно в тех случаях, когда эти температуры приводятся в литературе заметно отличающимися для одного и того же вещества; б) на основании известных величин Δ для отдельных гомологических рядов возможно производить приближенные расчеты температур кипения веществ — членов этих рядов.

ЭНТРОПИЯ И СТЕПЕНЬ НЕОБРАТИМОСТИ ПРОЦЕССОВ

Л. Э. Лезин

Основное различие между обратимыми и необратимыми процессами заключается, как известно, в том, что в обратимых процессах получается максимальная работа, а в необратимых получаемая работа всегда меньше максимальной. Из этого следует, что необратимые процессы могут сколь угодно близко приближаться к обратимым, как к своему пределу, и степень этого приближения или степень необратимости может быть различной в зависимости от количества работы, потерянной во время процесса. Можно представить другой предельный случай, когда процесс максимально удален от обратимого, что, очевидно, произойдет, когда не будет произведено никакой работы; степень необратимости такого процесса должна быть максимальной.

Очевидно, что энтропия, являясь мерой необратимости, не может служить также мерой для степени необратимости процесса, и что следует различать эти две величины. Для выяснения различия между ними рассмотрим следующий случай.

Пусть работает обратимый гальванический элемент при очень малой силе тока; этот процесс будет протекать весьма близко к обратимому, и полученная работа будет лишь немного меньше максимальной. В результате процесса произойдет некоторый прирост энтропии ΔS_1 . Всегда можно осуществить другой необратимый процесс без совершения работы, например, путем перевода некоторого количества тепла от тела с температурой T_1 к телу с более низкой температурой T_2 , который даст такой же прирост энтропии ΔS_1 . Несмотря на одинаковый прирост энтропии, степень необратимости обоих этих процессов не будет одинакова; первый процесс лишь незначительно отличается от обратимого, а второй уже достиг предела необратимости, поскольку в результате процесса не совершено никакой работы.

Степень необратимости процесса связана с количеством полученной работы и возрастает, если работа уменьшается от максимальной до нуля. Поэтому степень необратимости должна представлять величину, которая показывает, какая доля возможной для использования работы оказалась потерянной.

Рассмотрим некоторую изолированную систему, состоящую из нагревателя с температурой T_1 , холодильника с температурой T_2 и рабочего тела. Возьмем от нагревателя определенное количество тепла Q_1 и определим, какими различными способами может быть использовано это количество тепла в заданных температурных пределах T_1 и T_2 . Проведем для этого с системой ряд круговых процессов*. Если процесс будет проведен обратимо, то взятое от нагревателя тепло Q_1 частью превратится в максимальную работу A_m , другая же часть его Q_2 перейдет к холодильнику.

Если же круговой процесс будет проведен необратимо, то взятое от нагревателя тепло Q_1 распределится иначе. Будет получена работа $A < A_m$ и к холодильнику перейдет количество тепла $Q_2' > Q_2$. Тогда

* Предполагается, что после каждого процесса система обратимо возвращается в исходное состояние.

$A_m - A = Q_2' - Q_2$ и энтропия процесса ΔS будет равна

$$\Delta S = \frac{Q_2'}{T_2} - \frac{Q_1}{T_1} = \frac{A_m - A}{T_2}. \quad (1)$$

Проведем с системой бесконечный ряд последовательных процессов отбирая от нагревателя каждый раз одно и то же количество тепла* и проводя процессы таким образом, чтобы в каждом следующем процессе совершалась работа на dA меньшая, чем в предыдущем. Назовем такой ряд последовательных процессов «совокупностью» процессов Q_{12} , где Q обозначает постоянное количество тепла, отбираемое каждый раз от нагревателя, а индексы 1 и 2 — температурные пределы T_1 и T_2 . Тогда во взятой совокупности работа A будет пробегать все значения от A_m до нуля, количество тепла, отданное холодильнику, будет возрастать от Q_2 до Q_1 , а энтропия процесса — от нуля до максимального ее значения ΔS_m .

Таким образом осуществленная совокупность процессов охватывает все возможные способы использования данного количества тепла Q_{12} в данных температурных пределах.

Подобного рода последовательный характер изменения процесса в данной совокупности в сторону возрастания энтропии обозначим термином «деградация» процесса.

Пределом такой деградации будет последний процесс взятой совокупности, в котором работа равна нулю, а энтропия достигла максимального значения ΔS_m . Очевидно, что этот процесс эквивалентен простому переходу количества тепла Q_1 от температуры T_1 к температуре T_2 . Назовем его предельно-необратимым процессом. Энтропия его составит

$$\Delta S_m = \frac{Q_1}{T_2} - \frac{Q_1}{T_1} = \frac{A_m}{T_2}. \quad (2)$$

Таким образом во взятой совокупности, наряду с обратимым и необратимым процессами, следует различать также и предельно-необратимый процесс**, работа которого равна нулю, а энтропия максимальна для данной совокупности.

Докажем следующее положение: всякий необратимый круговой процесс можно представить как сумму двух процессов — обратимого и предельно-необратимого.

Проведем необратимый процесс (а). Возьмем от нагревателя при температуре T_1 количество тепла Q_1 ; часть этого тепла в результате процесса превратится в работу A и другая часть Q_2' перейдет к холодильнику при температуре T_2 . Тогда

$$A = Q_1 - Q_2', \quad (3)$$

$$\Delta S = \frac{Q_2'}{T_2} - \frac{Q_1}{T_1}. \quad (4)$$

* См. сноску на стр. 1147.

** Термин «предельно-необратимый» заимствован нами у М. Х. Карапетьянца [1], однако смысл его несколько изменен. М. Х. Карапетьянц применяет этот термин к таким изотермическим процессам, в которых совершается минимальная работа, причем, в общем случае, величина последней ограничена условием

$$\int_1^2 PdV \leq A < -\Delta F.$$

Таким образом, по М. Х. Карапетьянцу, в предельно-необратимом процессе совершается работа против внешнего давления.

В настоящей статье этот термин относится к таким процессам, в которых вообще не совершается работа. Следовательно, изотермический процесс может быть предельно-необратимым, если он одновременно является изохорическим.

В результате процесса от нагревателя взято тепло Q_1 , холодильнику отдано Q_2 , совершена работа A , и энтропия возросла на ΔS .

Придем к тому же результату путем последовательного проведения двух процессов — обратимого процесса (b) и предельно-необратимого (c), при тех же температурах T_1 и T_2 .

Обратимый процесс (b) всегда можно осуществить таким образом, чтобы получить работу A такую же, как в процессе (a), причем от нагревателя будет взято количество тепла Q_{1b} и холодильнику отдано Q_{2b} . Тогда

$$A = Q_{1b} - Q_{2b}, \quad (5)$$

$$\Delta S_b = \frac{Q_{2b}}{T_2} - \frac{Q_{1b}}{T_1} = 0. \quad (6)$$

Количество тепла Q_{1b} всегда меньше Q_1 , что легко показать*.

Поэтому в нагревателе останется еще количество тепла

$$Q_c = Q_1 - Q_{1b}. \quad (7)$$

Передадим это тепло от нагревателя к холодильнику предельно-необратимым процессом (c) без совершения работы. Тогда

$$\Delta S_c = \frac{Q_c}{T_2} - \frac{Q_c}{T_1}. \quad (8)$$

Из (3), (7) и (5) имеем

$$Q_2' = Q_1 - A = Q_c + Q_{1b} - A = Q_c + Q_{2b}. \quad (9)$$

Из (6), (8), (7) и (9) имеем

$$\Delta S_b + \Delta S_c = \frac{Q_{2b}}{T_2} - \frac{Q_{1b}}{T_1} + \frac{Q_c}{T_2} - \frac{Q_c}{T_1} = \frac{Q_2'}{T_2} - \frac{Q_1}{T_1}$$

и на основании (4)

$$\Delta S_b + \Delta S_c = \Delta S_c = \Delta S. \quad (10)$$

Таким образом в результате процессов (b) и (c) получен такой же результат, как и от процесса (a). Следовательно, процесс (a) эквивалентен сумме процессов (b) и (c).

Процессы (b) и (c) можно рассматривать, как обратимую и предельно-необратимую составляющие необратимого процесса (a). Следовательно, можно определить долю необратимости в этом процессе. Необратимость процесса (a) характеризуется его энтропией $\Delta S = \Delta S_c$. Если осуществить деградацию процесса (a), то его обратимая составляющая (b) будет убывать и в пределе работа процесса станет равной нулю. Составляющая (c), наоборот, начнет возрастать и в пределе станет эквивалентной процессу (a), и, таким образом, последний станет предельно-необратимым. В этом случае энтропия процесса (a) возрастет до максимального значения ΔS_m . Поэтому доля необратимости данного процесса (a) будет представлять

* Если бы в процессе (a) тепло Q_1 было использовано обратимо, была бы получена максимальная работа A_m . Тогда

$$Q_1 = A_m \frac{T_1}{T_1 - T_2}.$$

В обратимом процессе (b) максимальная работа равна A , поэтому

$$Q_{1b} = A \frac{T_1}{T_1 - T_2},$$

и так как $A_m > A$, то и $Q_1 > Q_{1b}$.

отношение энтропии данного процесса, к максимальной энтропии этого процесса после его деградации. Если обозначить степень необратимости через q , то

$$q = \frac{\Delta S}{\Delta S_m}. \quad (11)$$

На основании (10), (8) и (2) имеем

$$q = \frac{Q_c}{Q_1}. \quad (12)$$

Подставив в (11) уравнения (4) и (2), получим

$$q = \frac{A_m - A}{A_m}. \quad (13)$$

Уравнения (11), (12) и (13) показывают, что степень необратимости представляет собой:

1. Отношение прироста энтропии данного процесса к максимальному приросту энтропии того же процесса после его деградации.

2. Отношение количества тепла, затраченного в предельно-необратимой составляющей данного процесса, к полному количеству тепла, затраченному в процессе.

3. Отношение потерянной работы к максимальной работе процесса.

Как видно из (11), энтропия может служить мерой для степени необратимости процесса, но только в пределах данной совокупности, поскольку в этих пределах знаменатель выражения (11) является величиной постоянной. Однако при сравнении процессов, принадлежащих к разным совокупностям, энтропия не может служить мерой для степени необратимости.

Для различных типов процессов степень необратимости q будет иметь следующие значения.

1. Обратимый процесс $q = 0$.

2. Необратимый процесс $1 > q > 0$.

3. Предельно-необратимый процесс $q = 1$.

Таким образом величина q представляет собой количественное выражение степени необратимости процесса. Наряду с величиной возрастания энтропии ΔS , которая является мерой необратимости, обе эти величины дают полную характеристику необратимого течения данного процесса.

Интересно отметить связь, которая существует между степенью необратимости и скоростью процесса.

Рассматривая различного типа процессы, можно констатировать, что обе эти величины для каждой данной совокупности всегда изменяются в одинаковом направлении. Причина этого в том, что скорость процесса всегда растет с увеличением разности между движущими силами процесса и силами сопротивления. Но с увеличением этой разности количество получаемой работы уменьшается, и, следовательно, степень необратимости также растет.

В качестве примера подобной зависимости можно привести электрохимические процессы. Работа гальванического элемента протекает обратимо при бесконечно малой силе тока. По мере увеличения силы тока скорость процесса растет, но вместе со скоростью растет также степень необратимости процесса, так как количество работы, получаемой от гальванического элемента, уменьшается.

Точно так же изотермическое расширение газа в цилиндре с поршнем протекает обратимо, если давление газа всегда равно внешнему давлению на поршень. В случае уменьшения внешнего давления скорость поршня увеличивается, работа расширения газа уменьшается и возрастает степень необратимости процесса.

Существование такой зависимости позволяет предположить, что для каждого процесса данной совокупности, при данной степени необрати-

ности должен существовать верхний предел скорости, который не может быть превзойден без соответствующего увеличения степени необратимости. Это предположение не распространяется на процессы, принадлежащие разным совокупностям.

ВЫВОДЫ

1. Показано, что необходимо различать меру необратимости и степень необратимости процесса. Мерой необратимости является энтропия, между тем степень необратимости выражается другой величиной.
2. Дано количественное выражение для степени необратимости процесса.
3. Рассмотрены предельно-необратимые процессы как случай необратимых процессов, работа которых равна нулю.

Поступила
7.1.1954

ЛИТЕРАТУРА

- М. Х. Карапетьянц, Химическая термодинамика, Госхимиздат, 1949.
-

ЭЛЕКТРОПРОВОДНОСТЬ КРИСТАЛЛОВ ПОЛИЦИКЛИЧЕСКИХ СОЕДИНЕНИЙ И ДРУГИХ ОРГАНИЧЕСКИХ ИЗОЛЯТОРОВ. II

Н. В. Риль

Результаты, излагавшиеся в предыдущем сообщении [1], сводятся к следующему.

При термическом расщеплении молекулы на два иона вероятность рекомбинации этих двух ионов друг с другом значительно превышает вероятность рекомбинации с каким-нибудь из других ионов (преобладание мономолекулярной рекомбинации). Это справедливо только для твердых органических изоляторов, проводимость которых достаточно мала ($< 10^{-15}$).

Вследствие этого температурная зависимость проводимости таких веществ изображается формулой:

$$\kappa = \kappa_0 e^{-B/kT} \quad (1)$$

без фактора 2 перед выражением kT . Здесь B — не энергия активации, а энергия ионизации, т. е. разность свободных энергий ионизированного и нейтрального состояний.

Эксперимент показывает, что величина B имеет очень малые значения даже в том случае, если пользоваться не формулой (1), а аналогичной формулой с фактором 2 перед выражением kT . Формула (1) дает еще в два раза меньшие значения энергии ионизации B . Для исследованных веществ получаются значения B порядка всего лишь нескольких десятых электрон-вольта, т. е. более чем на один порядок меньшие, чем энергии ионизации тех же молекул в свободном (газообразном) состоянии. Это обстоятельство заслуживает особого внимания и требует специального объяснения. (Подчеркнем здесь еще раз, что опыты опровергают участие в этом эффекте веществ примеси с низкой энергией ионизации.) Энергия ионизации B оказывается, по крайней мере, у нафталина не зависящей от напряженности поля. Далее, у всех исследованных нами твердых органических изоляторов резко выражен «эффект Поуля» (возрастание проводимости в полях высокой напряженности). Это возрастание обусловлено не ударной ионизацией (как показали специальные опыты на нафталине и антрацене).

Прежде чем обратиться к уточнению этих выводов и выяснению вопросов, оставшихся еще открытыми, представим себе в наглядной форме поведение молекулы и возникших из нее ионов во времени. Так как величина энергии ионизации имеет малое значение, то и энергия активации B^* процесса ионизации должна быть относительно малой величиной. Вероятность $z_1 e^{-B^*/kT}$ перехода молекулы в ионизированное состояние должна быть, следовательно, настолько большой, что каждая молекула ионизируется термически много раз в секунду. Но вследствие высокой вероятности $z_2 e^{-B^{**}/kT}$ обратной реакции (рекомбинации) возникшая пара ионов воссоединяется через очень короткий промежуток времени τ_1 и образует опять нейтральную молекулу. Если среднее время жизни молекулы в нейтральном состоянии обозначить через τ_n , то отношение τ_1/τ_n

отношению числа ионизированных молекул к числу неионизированных, т. е. относительной концентрации c_r :

$$\frac{\tau_i}{\tau_n} = \frac{z_1 e^{-B^*/kT}}{z_2 e^{-B^{**}/kT}} = \frac{z_1}{z_2} e^{-B/kT} = c_r. \quad (2)$$

Так как $\tau_i \ll \tau_n$, то наибольшую часть времени молекула пребывает в нейтральном состоянии; но, тем не менее, она ионизируется много раз в секунду, быстро возвращаясь каждый раз в нейтральное состояние. Рекомбинация происходит в большинстве случаев раньше, чем возникшая пара ионов успела разойтись. Таким образом мы получаем картину многократно исчезающих и опять исчезающих пар ионов. Назовем их «короткоживущими ионными парами».

Обратимся теперь к следующим трем невыясненным вопросам:

1. Почему энергия ионизации B имеет в конденсированной фазе малые значения?

2. Что является причиной эффекта Поуля?

3. Почему энергия ионизации B твердого нафталина не зависит от напряженности поля?

Пусть расстояние между двумя соседними молекулами будет r . Если произойдет термическая ионизация молекулы и эта молекула отдаст электрон (или протон) соседней молекуле (т. е. образуется «ионная пара»), то потенциальная энергия возрастет до какой-то величины B' , которая является энергией образования ионной пары. Чтобы переместить электрон (или протон) с соседней молекулы на какую-нибудь бесконечно удаленную молекулу и получить таким образом пару не зависящих друг от друга ионов, могущих участвовать в проводимости, надо затратить еще некоторую дополнительную энергию B'' для преодоления электрического поля, действующего между ионом и остаточным ионом. Эту энергию можно оценить по закону Кулона. Она равна

$$B'' = \frac{e^2}{Dr},$$

где D — диэлектрическая постоянная среды, а e — элементарный заряд. Рассчитаем числовое значение этой дополнительной энергии, приняв для расстояния r между ионами «ионной пары» (т. е. для расстояния между двумя соседними молекулами) какое-нибудь правдоподобное значение, например $5 \cdot 10^{-8}$ см. При $D = 2,5$ получается, что для того, чтобы удалить электрон (или протон) с соседней молекулы в бесконечность, требуется энергия $B'' \approx 1,3$ eV. Это — весьма большая величина, значительно превышающая даже величину B , получающуюся из температурной зависимости проводимости.

Мы должны уточнить теперь понятие «энергия ионизации». Мы видим, что энергия, требующаяся для первого шага ионизации, т. е. для перехода электрона (или протона) с диссоциирующей молекулы на соседнюю, составляет относительно малую часть (порядка одной трети) всей энергии ионизации. Мы увидим, что величина B (равная у нафталина 0,7 eV), которую мы интерпретировали до сих пор как «энергию ионизации», в действительности представляет собой лишь энергию образования короткоживущей ионной пары (т. е. энергию, которая затрачивается на переход электрона или протона с расщепляющейся молекулы на соседнюю молекулу). Для нафталина получаются следующие числовые соотношения (см. рисунок):

Энергия образования «ионной пары» (B')	0,7 eV
Энергия, требующаяся, чтобы развести катион и анион этой пары на бесконечное расстояние	1,3 eV
Полная энергия ионизации	2eV

я не сконцентрирована пространственно на отрезке порядка 10^{-8} см, «размазана» на отрезок гораздо большего порядка, то разность потенциалов внешнего поля на таких больших отрезках оказывается сравнимой энергией B'' . Поэтому энергия B'' должна претерпевать заметное снижение при увеличении напряженности внешнего поля.

Так как напряженность внешнего поля снижает только величину B'' , не величину B' (равную экспериментальной величине B), то естественно, что мы не наблюдаем снижения величины B в сильных полях. Заметим, однако, что независимость B от силы поля еще недостаточно обоснована в экспериментальном отношении. Может быть, если не у нафталина, то у других интересующих нас веществ такая зависимость все-таки имеется. Картина, представленная выше, хотя и позволяет понять независимость величины B от силы поля, но отнюдь не исключает возможности наличия такой зависимости.

Отметим еще, что, говоря о «расстоянии» r между двумя соседними молекулами, отождествляя это расстояние с расстоянием между катионом и анионом в «ионной паре», мы допускаем, разумеется, значительную неточность. Во-первых, «расстояние» между двумя большими молекулами в кристалле является вообще величиной условной; она принимает определенное, точное значение лишь в том случае, если договориться, о расстоянии каких точек молекул идет речь. Во-вторых, расстояние между рядами катиона и аниона может быть значительно меньше, чем средние расстояния между аналогичными точками двух соседних нейтральных молекул, потому что между рядами действуют силы притяжения. Но для нашей аргументации существенно лишь то, что расстояние между «соседними» зарядами ни в коем случае не может быть больше, чем то значение ($5 \cdot 10^{-8}$ см), которым мы пользовались.

Представление, к которому нас приводит анализ поведения твердых органических электролитов, имеет большое сходство с представлениями Бьерума [8] и Онзагера [9] о механизме ионизации слабых электролитов. Эти авторы пользуются представлением «проассоциированных» ионов, т. е. ионных парах. Шломле [10] и Пао [11] пришли к основанию своих опытов на жидких органических изоляторах (гептане) к аналогичным выводам. Эти авторы обращали внимание главным образом на зависимость от температуры напряжения (эффект Поуля). Приводимые ими экспериментальные факты говорят, что же как и наши наблюдения, против решающего участия в этом эффекте эффекта «подной эмиссии» электродов и ударной ионизации, а также и против участия ионов в смеси в проводимости достаточно чистых жидких изоляторов. Мы подошли к проблеме с другой стороны, рассматривая в первую очередь самое начало термической ионизации, что и привело нас к выводу о преобладании мономолекулярной рекомбинации и существовании в твердых органических изоляторах «короткоживущих ионных пар». Аналогичность эффектов в жидких и твердых изоляторах, разумеется, ограничена. Но все же многие наблюдения и выводы, полученные, с одной стороны, в жидких, а, с другой стороны, на твердых органических изоляторах, существенно перекликаются друг друга.

Как уже отмечалось в предыдущем сообщении, при расплавлении монокристалла нафталина, а также и при расплавлении особо чистого антрацена и парафина мы наблюдаем скачкообразное увеличение проводимости (у нафталина в 10^4 раз, а у парафина примерно в 10^3 раз). Но температурная зависимость проводимости не претерпевает существенного, скачкообразного изменения. С точки зрения представлений, изложенных выше, нетрудно понять это поведение. Энергия образования «короткоживущей ионной пары» из нейтральной молекулы (т. е. величина B) не может существенно измениться при расплавлении. Поэтому температурная зависимость проводимости и не претерпевает существенного изменения. Но подвижность ионов и вероятность того, что катион и анион ионной пары разойдутся на большое расстояние и станут «свободными» ионами, должна быть в жидкости на много порядков больше, чем в твердом теле. Поэтому проводимость интересующих нас изоляторов и претерпевает при расплавлении резкий скачок вверх.

Попытаемся получить представление о порядке равновесной концентрации «короткоживущих ионных пар», концентрации «свободных» ионов и подвижности ионов интересующих нас веществ. Отметим сразу же, что концентрацию «свободных» ионов нельзя считать строго определенной величиной, так как эта величина может иметь определенное физическое значение лишь в том случае, если предварительно договориться, что мы понимаем под «свободным» ионом. Ион, покинувший ионную пару,

является в различной степени «свободным» в зависимости от расстояния, на котором он удалится от противоположно заряженного иона. Такая же неопределенность имеет ся и в отношении величины «подвижности». Вероятность распада ионных пар на «свободные» ионы и подвижность ионов суть величины, сопряженные друг с другом. Их произведение вероятности нахождения иона ионной пары в «свободном» состоянии (f) на «подвижность» (v) имеет определенный физический смысл, независимо от специальных условий. Это произведение (fv) выражает усредненный сдвиг ионов с их мест в ионных парах в направлении к электродам в единицу времени в поле напряженности 1 В/см .

Проведем расчет для нафталина. Так как энергия образования ионной пары из нейтральной молекулы равна $B = 0,7 \text{ эВ}$, то относительная концентрация ионных пар должна быть [согласно формуле (2)]

$$c_r = \frac{z_1}{z_2} e^{-0,7/kT}. \quad (3)$$

За неимением других данных, примем, условно, что $\frac{z_1}{z_2} \approx 1$. Тогда получаем относительную концентрацию ионных пар

$$c_r \approx 10^{-12}. \quad (4)$$

В обычной формуле, связывающей проводимость κ с объемной концентрацией ионов c_v и их подвижностью v :

$$\kappa = c_v v e = N c_r v e \quad (5)$$

(где N — число молекул в 1 см^3 , а e — элементарный заряд), будем подразумевать под c_r вместо относительной концентрации ионов относительную концентрацию ионных пар. Тогда, согласно сказанному выше, мы должны заменить величину v в формуле (5) на произведение fv . Получаем

$$\kappa = N c_r f v e. \quad (6)$$

Вставив примерные величины для нафталина, получаем $fv \approx 10^{-9}$. Это означает, что (при условии $z_1/z_2 \approx 1$) в поле $0-1 \text{ В/см}$ средний сдвиг ионов с их мест в ионных парах в направлении к электродам составляет 10^{-9} см/сек .

Неудивительно, что этот сдвиг имеет столь малую величину, так как он определяется и ограничивается не только подвижностью в обычном смысле этого понятия, но и вероятностью «высвобождения» иона из ионной пары.

При расплавлении концентрация ионных пар практически не изменяется, а величина fv увеличивается в 10^4 раз, вследствие чего и проводимость увеличивается в 10^4 раз.

Относительная концентрация ионных пар порядка 10^{-12} (соответствующая объемной концентрации 10^{11} пар в см^3) получается при условии, что $z_1/z_2 \neq 1$. Более вероятно, что $z_1/z_2 < 1$, т. е. что значение 10^{-12} является верхним пределом значения концентрации ионных пар. Нам кажется преждевременным стремиться к уточнению расчетов, основанных на величине проводимости в строгом смысле этого понятия, потому что есть основание сомневаться в том, что значения проводимости, наблюдаемые при сильном поле в несколько тысяч В/см , являются уже действительно нижним пределом, т. е. соответствуют проводимости в бесконечно слабом поле. Проводимость, наблюдаемая в самых слабых полях (порядка нескольких В/см), во-первых, почти никогда не измерялась, а, во-вторых, если и измерялась, то при обычных методах измерения наблюдаемый исключительно слабый ток может быть обусловлен и побочными эффектами, как то: поверхностной проводимостью, влиянием структурных дефектов, радиацией и т. п. Применимость закона Ома установлена у интересующих нас высокоизолирующих веществ лишь в очень узком интервале напряженности поля (у антрацена, например, $300-2000 \text{ В/см}$). Экстраполяция проводимости в область самых слабых полей может быть очень неточной. Гораздо более сильные токи, измеряемые в сильных полях (и при не слишком низких температурах), достаточно велики, чтобы здесь можно было измерять действительную объемную проводимость, экспериментально исключив поверхностные и побочные эффекты, но в этом случае уже сказывается эффект Холли (Поэтому-то и имело смысл изучать поведение изоляторов не только в твердом, но и в расплавленном состоянии, так как в последнем случае мы имеем то же вещество с той же степенью химической чистоты, можем проводить наблюдения при гораздо более сильных токах.)

Мы сформулировали понятие «ионная пара» намеренно в очень узком и конкретном смысле, а именно как образование, состоящее из двух соседних молекул, имеющих противоположные заряды. Разумеется, что в таком образовании возможны (и даже вероятны) вторичные изменения и химические перегруппировки, в которых могут принимать участие другие молекулы. Но в нашем случае выгодно оставить открытым вопро

действительной структуре ионной пары и пользоваться именно этим конкретным представлением, так как первым шагом термической диссоциации является несомненно переход заряда на соседнюю молекулу, а не на какую-нибудь другую.

Мы еще совсем не касались вопроса о природе носителя заряда, переносимого с молекулы на молекулу, т. е. природы носителей тока. Переносятся заряды протонами или электронами? Наши опыты на твердых изоляторах не дают ответа на этот вопрос. Но опыты на тех же изоляторах в расплавленном состоянии [1] говорят в пользу электронной природы носителей тока. Мы пропускали через расплав количество электричества порядка 0,5 кулона, что эквивалентно 10^{-5} г ($\approx 0,1$ см³) водорода, и не наблюдали при этом ни поляризации, ни выделения пузырьков на катоде, ни снижения тока во времени. Если бы ток проходил за счет протонов, то можно было бы спросить, откуда взялся в таком количестве водород, возмещающий протоны на аноде?

Бэкер и Больц [12] получили на жидком толуоле другой результат. Пользуясь платиновыми электродами, они получали в 10^5 раз большую проводимость, если опыт проводился в атмосфере водорода, чем если он проводился в атмосфере кислорода. Это говорит в пользу протонной природы проводимости. Однако, может быть, в этом опыте дополнительный протонный ток происходил не за счет протонов, отщепляющихся от молекул толуола, а за счет избыточных протонов, проникающих из платины в толуол и мигрирующих между молекулами толуола к катоду. Если наблюдение Бэкера и Больца основано на эффекте такого рода, то оно не имеет отношения к интересующему нас вопросу.

«Короткоживущая ионная пара» является в течение своего короткого существования диполем. На диэлектрической постоянной вещества эти короткоживущие диполи заметно сказаться не могут, так как их относительная концентрация слишком мала ($< 10^{-12}$) и их поляризация неизмерима на фоне общей электронной поляризации всех молекул изолятора. Но на диэлектрических потерях (и их зависимости от температуры и частоты поля) сказываются, как известно [2], даже весьма незначительные примеси полярных веществ. Поэтому можно задать вопрос, не влияют ли ионные пары заметным образом на диэлектрические потери особенно чистых неполярных органических изоляторах. Однако в интересующем нас случае положение иное, чем в случае присутствия обычных полярных молекул. Ионная пара существует лишь очень короткое время, которое на много порядков короче периода колебания поля. Тем не менее можно считать, что в момент своего образования или в течение своего короткого существования ионная пара может принять некоторую предпочтительную ориентацию в поле. Так как заряды ионной пары возвращаются друг к другу лишь через некоторое, хотя и очень короткое, время, а которое сила внешнего, переменного поля успела уже немного измениться, то ионная пара должна воспринять в процессе своего образования своей рекомбинации некоторую долю энергии от поля (или отдать полю некоторую энергию). Однако нетрудно сообразить, что в течение одного полного колебания поля вся энергия, воспринимаемая ионными парами от поля в период падения силы поля, полностью компенсируется энергией, отдаваемой ими в период возрастания поля. Итак, процессы образования и рекомбинации ионных пар не могут быть источником диэлектрических потерь.

Но вопрос о диэлектрических потерях в свете результатов данной работы можно поставить и иначе. Мы видели, что диссоциация молекулы на два «свободных» иона происходит не в один прием, а через ряд промежуточных стадий. Первой стадией является «короткоживущая ионная пара», а за ней следуют стадии, в которых связь между анионом и катионом ослаблена еще больше, но все же эта связь еще очень далека от нуля. Это означает, что ион, прежде чем стать совсем «свободным», пребывает некоторое время в атмосфере другого иона. Если перемещение иона в

сфере действия другого иона происходит так, что расстояния между ионами не меняются, то такое перемещение требует не большей затраты энергии, чем если бы ион находился в совсем «свободном» состоянии. Иными словами, частично связанные ионы могут принимать участие в процессе проводимости, но отрезки, на которые они могут при этом перемещаться, весьма ограничены. Поэтому такая «микропроводимость» не может участвовать в сквозной проводимости вещества, но она вполне может быть источником «омических» диэлектрических потерь в переменном поле высокой частоты.

Действительно, в достаточно чистых неполярных органических изоляторах (чистом полистироле, полиэтилене, полиизобутилене, поливинилнафталине) и наблюдается наличие диэлектрических потерь омического, а не дипольного характера (с почти не зависящим от частоты тангенсом угла потерь). На поливинилнафталине наблюдается, кроме того, некоторый параллелизм между тангенсом угла потерь и сквозной проводимостью (при повышении температуры образца). С высказанной выше точки зрения такой параллелизм и должен иметь место, так как и диэлектрические потери, и сквозная проводимость обусловлены одним и тем же основным фактором, а именно, наличием ионных пар и их частичной или полной диссоциацией. По известной формуле

$$\operatorname{tg} \delta = \frac{1,43 \cdot 10^{13} \kappa'}{2\pi f \epsilon}$$

можно вычислить, как велика должна быть электропроводность κ' при данной величине тангенса угла омических потерь. Для чистого полистирола, имеющего (почти независимо от частоты f) $\operatorname{tg} \delta \approx 2 \cdot 10^{-1}$, получается (при $f = 50$ гц) $\kappa = 1,2 \cdot 10^{-14}$. Эта проводимость превышает сквозную проводимость полистирола (10^{-19}) почти на пять порядков! Чем больше частота поля, тем больше получается значение «высокочастотной» проводимости κ' . При частоте 10^9 гц получается высокочастотная проводимость $2,4 \cdot 10^{-7}$ (т. е. выше проводимости воды!). Это вполне понятно с точки зрения, высказанной выше. Действительно, частично связанные ионы способны перемещаться (под действием не слишком сильных полей) лишь в ограниченном пространстве. Если частота поля достаточно велика, то ион будет двигаться (взад и вперед) лишь в пределах этого ограниченного пространства, т. е. на его движении вообще не скажется ограниченность доступного ему пространства. (В пределах этого пространства скорость иона ограничивается только некоторым небольшим «трением», которое и является, так же как у обычных проводников, причиной выделения тепла.)

Итак, выведенное из опытов по сквозной проводимости представление о короткоживущих ионных парах и о механизме их дальнейшей диссоциации даст возможность интерпретации тех диэлектрических потерь, которые еще остаются у неполярных органических изоляторов после удаления всех полярных примесей.

Кроме того, рассмотрение диэлектрических свойств интересующих нас веществ даст еще одно дальнейшее подтверждение того, что в наиболее чистых образцах таких веществ мы имеем дело действительно с собственной проводимостью основного вещества, а не с какими-нибудь веществами примеси или продуктами окисления. Такие вещества полярного характера должны бы были дать даже в очень малых концентрациях характерные температурные и частотные максимумы тангенса угла потерь. В действительности же на достаточно чистых образцах таких максимумов не обнаруживается [2].

Мы применяли при опытах в сильных полях такую экспериментальную установку (см. [1]), что в случае пробоя изолятора количество электричества, могущее пройти при пробое сквозь изолятор, было ограничено и не могло превышать 10^{-8} кулона. Это было обусловлено

ем, что незаземленный электрометр, на котором измерялось натекание электричества, прошедшего через изолятор, имел малую емкость.

При этих условиях мы наблюдали и на монокристаллах нафталина, на антрацене, и на парафине явление «обратимых пробоев», т. е. пробоев, после которых не оставалось никаких необратимых изменений в пробитом образце изолятора. После снятия напряжения и повторного его приложения образец выявлял ту же проводимость и вообще то же поведение, что и до «пробоя». Иными словами: эти «пробой», которые мы будем называть «обратимыми» хотя и приводят к внезапному падению разности потенциалов на электродах, тем не менее не вызывают остающихся, необратимых разрушений и изменений, повышающих проводимость и снижающих пробивную прочность изолятора.

Эти «обратимые» пробой ведут не к полному исчезновению разности потенциалов на электродах, а обычно только к частичному внезапному снижению этой разности. Они наблюдались нами на многих различных образцах монокристаллов нафталина при напряженности поля от 300 000 до 800 000 В/см. У твердого парафина они наблюдались при напряженности поля от 800 000 до 4 000 000 В/см. (Толщина образцов при этих опытах составляла от 0,05 до 0,2 мм.)

Приводим примеры одного из таких наблюдений. Нафталин, слой толщиной в 0,2 мм, вырезанный из монокристалла:

Напряжение в вольтах	Сила тока в произвольных единицах	Примечание
4 000	1,4	—
6 000	2	—
8 000	6,7	Натекание заряда на электрометре происходит скачками
16 000	—	Через несколько секунд после наложения напряжения произошел «пробой», т. е. внезапное снижение разности потенциалов с 16 000 до 4000 В
После «пробоя»		
4 000	1,3	—
6 000	2,1	—
9 800	14	Скачков не наблюдается
14 500	100	Натекание заряда происходит большими скачками
16 000	«Пробой»	Разность потенциалов спала до 6000 В
После 2-го «пробоя»		
6 000	2	—

Как видно, величины тока, получаемые при более низких напряжениях после «пробоев», подвержены некоторым колебаниям, но эти колебания не превосходят тех колебаний и непостоянств, которые имеют место без «пробоев». «Обратимые пробой» начинаются у одного и того же образца не всегда при точно том же напряжении. Они обусловлены в какой-то мере «историей» образца, а также и статистическими факторами. Но же самое известно и из исследований по обычным пробоям, ведущим к разрушению изолятора [13—15].)

Отметим, что «скачки», указанные в таблице и происходящие при менее высоких напряжениях, также представляют собой «обратимые пробои», но эти «пробои» останавливаются уже после небольшого снижения разности потенциалов на электродах. Следует обратить внимание на то, что при попытках количественной теоретической интерпретации эффекта Поуля в очень сильных, «предпробивных» полях следует считаться с наличием этих небольших «пробоев». Если «скачки», обусловленные этими «пробоями», невелики, но многочисленны, то каждый в отдельности может оказаться недоступным для наблюдения, а в совокупности они могут увеличить проводимость.

Повидимому, есть основание считать, что «обратимый пробой» является первой стадией действительного, обычного пробоя (ведущего к разрушению изолятора).

ВЫВОДЫ

1. Зависимость электропроводности от температуры для монокристаллов нафталина, а также антрацена полистирола, парафина и других твердых органических изоляторов выражается весьма пологой кривой. В формуле $\kappa = \kappa_0 \exp\left(-\frac{B}{kT}\right)$, изображающей эту зависимость, величина B имеет малые значения (несколько десятых eV). Эти значения составляют меньше чем $1/10$ энергии ионизации тех же молекул в свободном (газообразном) состоянии. Опыты показывают, что это обусловлено не присутствием посторонних веществ с малой энергией ионизации, а самим основным веществом.

2. Сопоставление всех экспериментальных фактов приводит к выводу, что величина B представляет собой не полную энергию ионизации, а только ту энергию, которую необходимо затратить, чтобы отнять у молекулы один элементарный заряд (электрон или протон) и переместить его на соседнюю молекулу. Возникающее при этом образование мы называем «короткоживущей ионной парой». Вероятность термического возникновения таких «ионных пар» весьма значительна (у нафталина примерно 100 раз в секунду), но вследствие большой вероятности рекомбинации ионной пары (по механизму «мономолекулярной» реакции) время жизни этих пар весьма коротко и поэтому равновесная концентрация «ионных пар» весьма мала (у нафталина не более одной ионной пары на 10^{12} молекул).

3. Энергия B , потраченная на образование ионной пары, составляет лишь часть полной энергии ионизации (у нафталина примерно $1/3$). Чтобы из ионной пары образовалось два «свободных» иона, могущих участвовать в проводимости, необходимо затратить значительную дополнительную энергию B'' для преодоления кулоновского поля, но эта энергия складывается из многих небольших частей, каждая из которых соответствует переходу заряда на одну молекулу дальше от противоположно заряженного иона. Переход электрона (или протона) с «соседней» молекулы на следующую, а тем более последующие переходы на еще более отдаленные молекулы требуют больше преодоления высоких энергетических барьеров. Поэтому возрастание вероятности этих переходов с температурой настолько незначительно, что мы не наблюдаем его наряду с возрастанием числа ионных пар; энергия B'' не входит в экспериментальную величину B .

4. Этим же объясняется и эффект Поуля, сильно выраженный у всех исследованных органических изоляторов. Внешнее поле снижает по энергии образование ионной пары (т. е. не величину B , оказавшуюся, по крайней мере у нафталина, не зависимой от напряженности поля вплоть до 400 000 V/cm), а только энергию B'' , требующуюся для того, чтобы удалить катион и анион друг от друга. Так как эта энергия не сконцентрирована на малом отрезке порядка 10^{-8} см, то разность потенциала внешнего поля на больших отрезках вполне сравнима с энергией B'' . Поэтому энергия B'' должна претерпевать заметное снижение при повышении напряженности внешнего поля. Это приводит к повышению концентрации «свободных» ионов в силь-

их внешних полях (в соответствии с прежними утверждениями А. В. Иоффе и Я. И. Френкеля).

5. При расплавлении органического изолятора энергия, требующаяся для образования ионной пары, изменяется лишь незначительно, но вероятность распада ионной пары на «свободные» ионы возрастает на несколько порядков величин. Поэтому электронпроводность чистых органических изоляторов скачкообразно возрастает при расплавлении (у нафталина 10^4 раз).

6. Возможно, что наличие «короткоживущих ионных пар» (а также этих пар в состоянии дальнейшей диссоциации) является причиной тех диэлектрических потерь, которые наблюдаются у весьма чистых неполярных органических изоляторов.

7. При повышении напряженности поля до 10^5 — 10^6 В/см и намеренном ограничении количества электричества, могущего пройти сквозь изолятор при пробое, наблюдались «обратимые пробои», т. е. пробои, после которых в изоляторе не оставалось никаких разрушений или изменений, снижающих диэлектрическую прочность или повышающих электронпроводность.

Поступила
17. I. 1955

ЛИТЕРАТУРА

- Н. В. Риль, ЖФХ, 29, 959, 1955.
Г. И. Скандави, Физика диэлектриков, М.—Л., 1949.
L. Onsager, Journ. Amer. Chem. Soc., 58, 1486, 1936; Journ. Phys. Chem. 43, 1489, 1939.
J. G. Kirkwood, Journ. Chem. Phys., 7, 911, 1939; Trans. Farad. Soc., 44, 7, 1947.
F. H. Müller, C. Schmelzer, Erg. exakt. Naturwiss., 25, 359, 1951.
Я. И. Френкель, ЖЭТФ, 8, 1292, 1938; 23, 619, 1952.
А. В. Иоффе и А. Ф. Иоффе, ЖЭТФ, 9, 1428, 1451, 1939.
N. Bjerrum, Kgl. Danske Vid. Selskab., math.-fys. medd., 7, 9, 1926.
L. Onsager, Journ. Chem. Phys., 2, 599, 1934.
H. J. Plumpley, Phys. Rev., 59, 200, 1941.
C. S. Rao, Phys. Rev., 64, 60, 1943.
E. B. Baker, H. A. Boltz, Phys. Rev., 51, 275, 1937.
R. Strigel, Elektrische Stossfestigkeit, 1939.
Н. Н. Семенов, А. Вальтер, Die physikalischen Grundlagen der elektr. Festigkeitslehre, 1929, Berlin.
Б. М. Гохберг, Электронпроводность диэлектриков, ГТТИ, 1933.

МОЛЕКУЛЯРНЫЕ ПОСТОЯННЫЕ И ВЯЗКОСТЬ ЖИДКОСТЕЙ. I

А. Е. Луцкий

При изучении вязкости, как и при рассмотрении других физических свойств макротел, широко применяется метод сравнения свойств соединений, отличающихся друг от друга одной какой-либо структурной или составной особенностью [1]. Поскольку, однако, свойства макротел при тех же термодинамических условиях (p и T) в конечном счете определяются свойствами составляющих тело микрочастиц (их размером — V_M , формой — ϕ , массой — m , поляризуемостью — α , дипольным моментом — μ и др.), а изменение в составе и строении молекулы, как правило, вызывает изменение нескольких или всех ее свойств, естественно, что такого рода сравнение является теоретически необоснованным. Оно может привести к закономерностям лишь качественного характера, применимым к сравнительно узкому кругу соединений и не вскрывающим истинных причин различия в значениях свойств сравниваемых макротел. Повидимому, более правильных и общих результатов можно достигнуть путем сравнения свойств соединений, отличающихся друг от друга теми или иными свойствами составляющих их микрочастиц. Такого рода сравнение [2] позволяет установить строгие общеприменимые зависимости между значениями свойств макротел и микрочастиц.

ВЯЗКОСТЬ НОРМАЛЬНЫХ ЖИДКОСТЕЙ

Зависимость вязкости (η) от массы молекул следует из данных для η изотопных соединений, отличающихся друг от друга в основном лишь массой молекул. Как показали специально проведенные измерения [3] у такого рода соединений (метана и дейтерометана при 90,1°K) вязкость растет пропорционально \sqrt{m} . Зависимость:

$$(\eta)_{p,T,x_k} = \text{const} \sqrt{m} \quad (1)$$

(где x_k — все остальные свойства молекул, кроме m) находится в согласии с многочисленными формулами для вязкости, выведенными из кинетических или статистических соображений Эйринга [4], Г. М. Паченкова [5] (поскольку $\frac{\rho^{4/3}}{M^{1/3}} = \frac{m^{1/3} N'^{4/3}}{N^{4/3}}$, где ρ — плотность, равная $N'm$ а $M = Nm$; N' — число молекул в единице объема, N — число Авогадро Я. И. Френкеля [6] (поскольку частота колебания $\nu \approx \frac{1}{\sqrt{m}}$) и др.

Значение приведенного свойства η/\sqrt{m} в гомологических рядах первого типа [2] не изменяется с изменением v_M , т. е.

$$\left(\frac{\eta}{\sqrt{m}} \right)_{p,T,x_k} = \text{const} \quad (2)$$

(где x_k — все остальные свойства молекул, кроме массы и размера). Из этой формулы следует, что вязкость не зависит от собственного размера молекул. В большинстве же эмпирических и теоретически выведенных формул для вязкости фигурирует удельный или молярный объем, длина молекул, что, казалось бы, говорит о противоположном. Однако

формулы, в которых фигурирует длина молекул, не учитывают изменения у рассматриваемых соединений (например, полимергомологов) наряду длиной также массы и поляризуемости молекул [7]. С другой стороны, удельный (или удельный) объем $V = NV_M + V_{св}$, т. е. сумме собственных размеров молекул и свободного объема жидкости, определяющегося расстояниями между молекулами. Анализ выводов формул с V или $V_{уд}$ [8] показывает, что эти величины появляются в них как результат учета при рассмотрении механизма вязкого течения расстояний между молекулами, их изменения с температурой, т. е. учета $V_{св}$, а не V_M .

Вместо говоря, и эти формулы свидетельствуют о давно установленном Бачинским законе зависимости вязкости от свободного объема жидкости. Зависимость (2), однако, не означает, что размер молекул вообще не влияет на вязкость. Возможно, что изменение размера молекулы оказывает противоположные, взаимно компенсирующие друг друга влияния. Например, если считать, что η зависит, с одной стороны, от

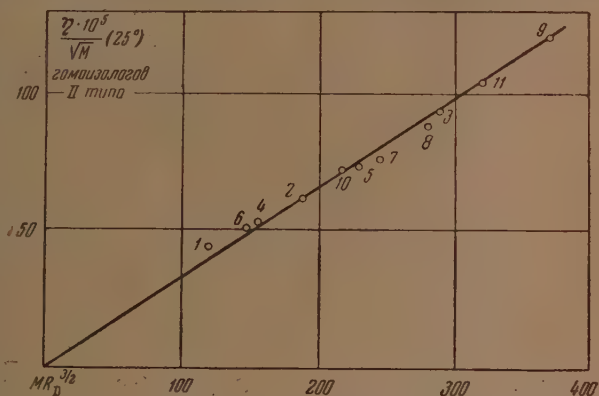


Рис. 1. 1 — C_2H_5J ; 2 — н. $C_5H_{11}Br$; 3 — н. $C_8H_{17}Cl$; 4 — н. C_3H_7J ; 5 — н. $C_6H_{13}Br$; 6 — н. C_4H_9Br ; 7 — н. $C_7H_{15}Cl$; 8 — н. $C_6H_{13}J$; 9 — н. $C_9H_{19}Br$; 10 — н. $C_5H_{11}J$; 11 — н. $C_8H_{17}Br$

длина молекул в соприкасающихся слоях, с другой — от числа столкновений между молекулами, тогда, поскольку первое $\sim 1/V_M^{2/3}$, а второе $\sim V_M^{1/3}$, вязкость может при прочих равных условиях оказаться не зависящей от размера молекул.

Учитывая суммарную независимость η от v_M , значение вязкости в гомологических рядах второго типа должно закономерно изменяться поляризуемостью молекул [2]. Если учесть влияние небольших различий в массе молекул и рассматривать изменение значения не η , а η/m , окажется, что η растет в этих рядах пропорционально $\alpha^{1/2}$ (рис. 1, т. е.

$$\left(\frac{\eta}{V_m}\right)_{p,T,\Phi,\mu} = \text{const} (MR_D)^{1/2}. \quad (3)$$

которое отклонение для иодистого этила вызвано тем, что он обладает несколько более высоким значением дипольного момента (μ), чем остальные члены ряда. Характерно, что для всех рядов галогенопроизводных наклон прямой тот же. Зависимость (3) отражает, по видимому, влияние на вязкость дисперсионных сил, пропорциональных α^3 (по Лондону) или $\alpha^{1/2}$ (по Слетеру и Кирквуду) [10].

Как следует из рис. 2, вязкость в изопериодических рядах [2] закономерно изменяется с изменением дипольного момента молекул и линейно растет в основном линейно, подчиняясь уравнению прямой:

$$(\eta)_{p,T,\Phi,m,\alpha} = A + \text{const} \mu. \quad (4)$$

При этом значение постоянной A почти совпадает со значением η у соответствующего члена ряда с μ , равным нулю (углеводорода). С ростом

температуры в связи со снижением роли ориентационных сил значения константы уменьшается (рис. 2). У рассматриваемых соединений строго линейной связи ожидать нельзя из-за некоторого различия их молекулы по массе, поляризуемости и форме. Резко не подчиняются зависимости (4) лишь ОН- и СООН-содержащие члены ряда (кроме соединений

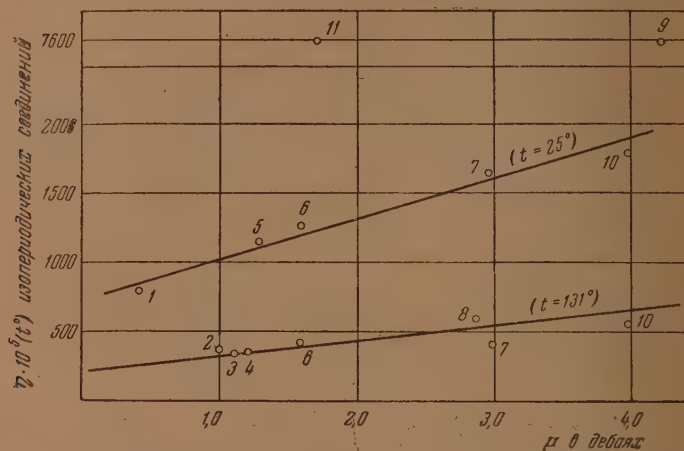


Рис. 2. 1 — $C_6H_5C_3H_7$ -н.; 2 — $C_6H_4(OCH_3)CH_3$ -о; 3 — $C_6H_4(OCH_3)CH_3$ -м; 4 — $C_6H_4(OCH_3)CH_3$ -р; 5 — $C_6H_5OC_2H_5$; 6 — $C_6H_5N(CH_3)_2$; 7 — $C_6H_5COCH_3$; 8 — $C_6H_4(OH)CHO$ -о; 9 — $C_6H_4(OH)CHO$ -р; 10 — $C_6H_5NO_2$; 11 — $C_6H_5CH_2CH_2OH$

внутримолекулярной водородной связью). Влияние ориентации диполя на η жидкостей подчеркивалось неоднократно [11]. При этом считают, что силы сцепления влияют на значение постоянной B в формуле для

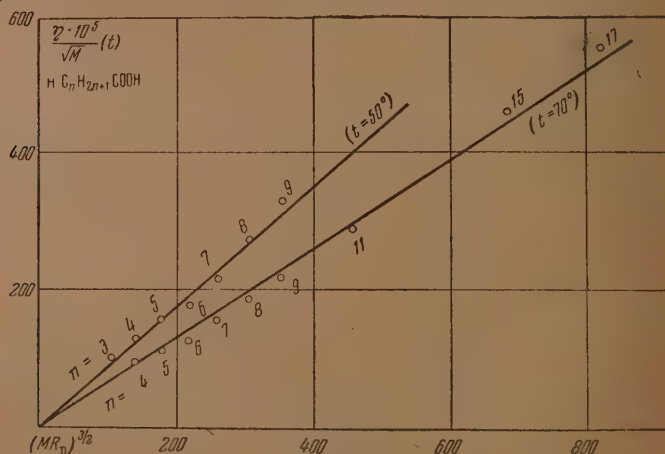


Рис. 3

изменения вязкости с температурой: $\eta = Ae^{B/T}$ [12], рассматривая эту постоянную как энергию активации вязкого течения. Если бы, однако, значение B отражало энергию взаимодействия пары молекул, в равновесном положении следовало бы ожидать значительно более резкого возрастания η с μ , чем установлено выше.

Данные для гетероформных соединений (2) обнаруживают закономерное изменение η с формой молекул. Так, третичные соединения обладают, независимо от функциональной группы, несколько большим значением η , чем соответствующие соединения с нитевидной формой молекул (при 20—25° на 10—20%). Повидимому, лишь недостаточно обоснованный метод сравнения (сравнивались первичные, вторичные и третичные амины, отличающиеся не только формой, но и массой, поляризуемостью дипольным моментом молекул) мог привести к противоположному выводу о резком снижении вязкости при переходе к третичным (более симметричным) соединениям [13]. Циклическая форма, как и в случае поверхностного натяжения, способствует резкому росту вязкости сравнительно с нитевидной формой (при 25° в 2—4 раза) [14], причем отношение $\eta_{\text{цикл}}/\eta_{\text{нитевидн}}$ растет с увеличением числа атомов углерода вольце и цепи.

Установленные выше зависимости позволяют объяснить характер изменения η в рядах соединений, отличающихся несколькими молекулярными постоянными.

Молекулы членов гомологических рядов, начиная с третьего или четвертого, различаются лишь массой, поляризуемостью и размером. В согласии с (1), (2) и (3), в самих разнообразных гомологических рядах (см., например, рис. 1, 3 [15]) η/\sqrt{m} растет пропорционально $\alpha^{1/2}$ или $(MR_D)^{1/2}$. При этом подчинение зависимости (3) имеет место при различных температурах; с ростом температуры уменьшается лишь наклон прямой (значение константы). При той же температуре значение константы, повидимому, лишь мало изменяется с природой функциональных групп. При низких температурах в некоторых гомологических рядах (рис. 4 [16]) η/\sqrt{m} растет пропорционально α^2 ; вопрос о том, имеет ли место в этом случае наложение каких-то дополнительных факторов, может быть решен лишь после тщательной проверки данных о η этих соединений. Подчинение членов гомологических рядов зависимости (3) объясняет и характер изменения η с изменением — числа атомов углерода в углеводородной цепи. Для двух соседних членов гомологического ряда:

$$\frac{\eta_{(n+1)}}{\eta_n} = \left(\frac{M_{(n+1)}}{M_n} \right)^{1/2} \left(\frac{MR_{D(n+1)}}{MR_{D(n)}} \right)^{1/2}. \quad (5)$$

Поскольку $M_{(n+1)}/M_n$ и $MR_{D(n+1)}/MR_{D(n)}$ всегда больше единицы, должны наблюдаться, как это и имеет место в действительности [17], лишь восходящие (в отличие от изменения в этих рядах плотности и поверхностного натяжения [2, 18]) по изменению η гомологические ряды. При этом относительный прирост η , поскольку как $M_{(n+1)}/M_n$, так и $MR_{D(n+1)}/MR_{D(n)}$ стремятся в пределе к единице при стремлении n к бесконечности, снижается с ростом n (например, в случае нормальных углеводородов отношение $\eta_{(n=6)}/\eta_{(n=5)} = 1,35$, а $\eta_{(n=11)}/\eta_{(n=10)} = 1,28$).

Изменение η в гомологических рядах, как правило, объясняли изменением массы молекул (формулы Гартенмейстера: $\eta = \text{const } M^2$; Дунстан Тол: $\ln \eta = AM + B$ или $\lg \eta = A \lg M + B$ и др. [19]). Однако в этих формулах зависимость от массы не истинная, так как в этих рядах параллельно с m растет и α , и, следовательно, через m в этих зависимостях скрыто выражена связь η и с поляризуемостью молекул. Поскольку масса молекул аддитивна, указанные формулы служили основой для построения различного рода аддитивных схем вязкости. Принимая аддитивность и MR_D , подставим в (5) значения $M = A + 14n$ и $MR_D = A' + 4,6n$; тогда

$$\frac{\eta_{n+1}}{\eta_n} = \left[\frac{A + 14(n+1)}{A + 14n} \right]^{1/2} \left[\frac{A' + 4,6(n+1)}{A' + 4,6n} \right]^{1/2}.$$

Это соотношение обнаруживает принципиальную невозможность построения широко применимой и точной аддитивной схемы, поскольку разницы как η , так и $\lg \eta$ двух соседних членов гомологического ряда не могут оставаться постоянной с изменением как n , так и природы функциональной группы (A и A').

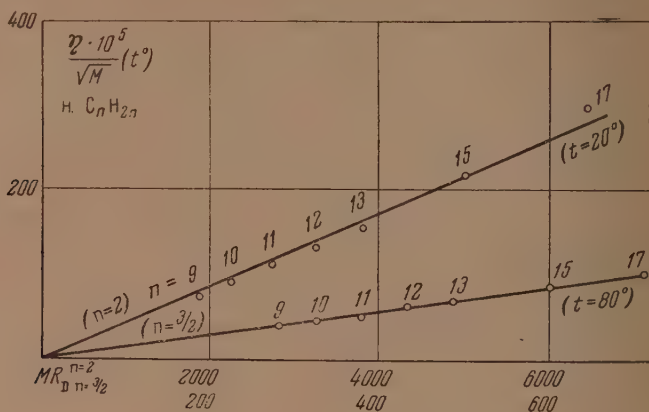


Рис. 4

При замещении на алкильную группу водорода, связанного с иным чем углерод, атомом (например, с серой, кислородом, селеном, азотом), свойства молекул, кроме сравнительно небольшого изменения дипольного момента, изменяются так же, как и при замещении на такую же группу водорода, связанного с углеродом. Отсюда изменение η сравнительно исходным соединением при образовании эфиров должно быть сравнимо таковым при соответствующем удлинении углеводородной цепи, именно:

$$\frac{\eta_{C_nH_{2n+1}XH} - \eta_{C_nH_{2n+1}XR}}{\eta_{C_nH_{2n+1}XH} - \eta_{RC_nH_{2n}XH}} \approx 1. \quad (6)$$

Это действительно имеет место в случае, например, тиоспиртов. Так,

$$10^5 \left[\frac{\eta_{H.C_4H_9SH} - \eta_{H.C_4H_9SC_4H_9.H}}{\eta_{H.C_4H_9SH} - \eta_{H.C_4H_9SH}} \right] = \frac{551}{596} = 0,92.$$

В изоэологических рядах члены ряда существенно различаются массой и в меньшей мере поляризуемостью и размером молекул. Установленные выше зависимости показывают, что влияние α на η не может компенсироваться влиянием v_M , и поэтому приближенная пропорциональность вязкости массе молекул в изоэологических рядах [20] является отражением истинной ее зависимости от последней. В этих рядах, как и в гомологических,

$$\left(\frac{\eta}{\sqrt{m}} \right)_{p,T,\mu} = \text{const } (MR_D)^{1/2}$$

(рис. 4, 5). Как это имеет место и в отношении всех установленных выше закономерностей, не подчиняются рассматриваемой зависимости производные жирного ряда и ОН- и СООН-содержащие соединения, обнаруживающие соответственно заниженные и резко повышенные значения $\eta/\sqrt{m}(MR_D)^{1/2}$.

Члены ряда замещенных RX (где X — различные функциональные группы, а R — алкил, арил и др.) различаются в большей или меньшей степени всеми молекулярными постоянными. В согласии с (1) — (4) вязкость членов ряда замещенных с той же основной молекул при постоянных p и T подчиняется зависимости:

$$\left[\frac{\eta}{V_m (MR_D)^{1/2}} \right]_{p,T,\Phi} = A + \text{const } \mu \quad (7)$$

рис. 6). При этом значение A равно приближенно значению $\sqrt{m} (MR_D)^{1/2}$ у соответствующего члена ряда (углеводорода) с μ , равным нулю. Резкое отклонение в сторону более высоких значений $\sqrt{m} (MR_D)^{1/2}$ обнаруживают лишь OH-, COOH-, NH₂ (ароматическое)-содержащие соединения. Сравнительно небольшие отклонения от прямой других членов ряда замещенных вызвано, повидимому, главным образом изгибами в форме молекул.

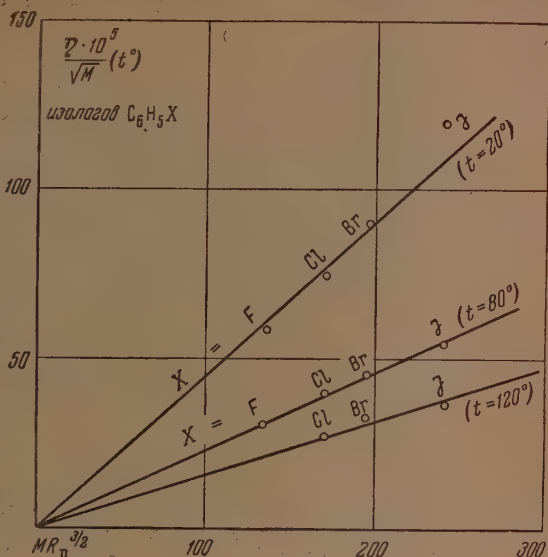


Рис. 5

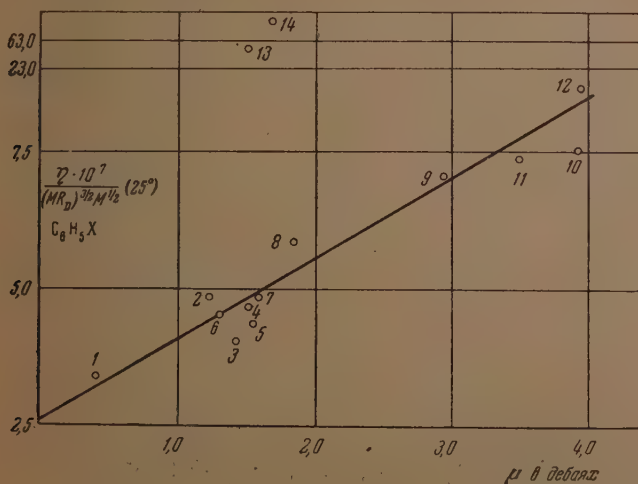


Рис. 6 X = 1 — CH₃; 2 — OCH₃; 3 — F; 4 — Br; 5 — Cl; 6 — J; 7 — N(CH₃)₂; 8 — COOC₂H₅; 9 — COCH₃; 10 — CN; 11 — NC; 12 — NO₂; 13 — NH₂; 14 — OH

В отличие от членов ряда замещенных, члены ряда метамерных соединений обладают одинаковыми или почти одинаковыми всеми свойствами молекул. Именно поэтому метамерные простые и сложные эфиры лишь незначительно (максимум на 10 %) различаются по вязкости. При

этом различие в значениях η метамеров вызвано, повидимому, условиями экранирования полярной группы, так как именно метамеры с бо́льшей открытой функциональной группой, как это наблюдалось и в случае поверхностного натяжения [2], обладают и более высоким значением η . Лишь OH- и COOH-содержащие метамеры (в отличие от содержащих SH- и COSH-группы) обладают резко повышенной вязкостью сравнительно со своими метамерными эфирами.

ВЯЗКОСТЬ АССОЦИИРОВАННЫХ ЖИДКОСТЕЙ

Как неоднократно отмечалось выше, OH- и COOH-содержащие члены соответствующего ряда не подчиняются установленной для него закономерности изменения η . В изопериодических рядах такого рода соединения обладают значением η , в 5–8 раз более высоким, чем рассчитанное из дипольного момента их молекул. В случае циклических оксидов и нормальных спиртов $\eta_{\text{цикл}}/\eta_{\text{норм}} \approx 1$, а значительно меньше, чем у этиленоксида при -38° почти в 10 раз меньше, чем у этанола. Образование эфиров, особенно метиловых, приводит к резкому снижению η : у спиртов и кислот при 20° в 3–8 раз, у фенолов при 131 и 184° в 2–6 раз, чем и объясняется неподчинение их зависимости (6). В изоэлектрических рядах спирты обладают не меньшим, а заметным большим значением приведенного свойства $\eta/\sqrt{m} (MR_D)^{1/2}$, чем тиоспирты. В рядах замещенных рассматриваемые соединения также обнаруживают резко повышенные значения $\eta/\sqrt{m} (MR_D)^{1/2}$ (в 5–10 раз) сравнительно с рассчитанными из дипольного момента их молекул. Вязкость спиртов и кислот превосходит соответственно в 11–17 и 4–5 раз вязкость их метамерных эфиров. Это же имеет место и в случае замещенных фенолов. Так, η мета- и параоксиацетофенонов при 131° в 3–5 раз выше, чем η метамерных им мета- и параметоксibenзальдегидов (табл. 1).

Аномальное поведение OH- и COOH-содержащих соединений объясняется тем, что они ассоциированы, состоят не из одиночных молекул, а из комплексов последних, образующихся за счет водородных связей. Это подтверждается и поведением соединений с внутримолекулярной водородной связью, таких как ортонитрофенол, ортооксибензальдегид и ортооксиацетофенол, этилсалицилат и др. Эти OH-содержащие соединения вследствие образования водородной связи внутри молекулы лишены по крайней мере, в значительной степени склонности к образованию указанных комплексов молекул и поэтому ведут себя нормально. Так указанные ортооксисоединения (рис. 2) обладают в изопериодических рядах значением η , соответствующим их дипольному моменту. Их метиловые эфиры (табл. 1) обладают, как правило, даже несколько более высоким значением η , чем исходный фенол. Они подчиняются и зависимости (6), так при 131°

$$\frac{\eta_{\text{O-C}_6\text{H}_4(\text{CHO})\text{OH}} - \eta_{\text{O-C}_6\text{H}_4(\text{CHO})\text{OCH}_3}{\eta_{\text{O-C}_6\text{H}_4(\text{CHO})\text{OH}} - \eta_{\text{O-C}_6\text{H}_4(\text{COCH}_3)\text{OH}} \approx 0,3.$$

Нормально ведут себя рассматриваемые соединения и при сравнении с метамерными эфирами: ортооксиацетофенол обладает почти такой же вязкостью, как и метамерный ортометоксibenзальдегид (табл. 1). Отсутствием межмолекулярной ассоциации у рассматриваемых ортооксисоединений и наличием ее у их мета- и параизомеров объясняется резко пониженное значение η у первых (в 2,5–5 раз при 131 и 184°) сравнительно со вторыми. Обычно же ортоизомеры обладают несколько более высоким значением η , чем их изомеры. Такого рода отношения отсутствуют у крезолов, поскольку у ортоизомера невозможно образование внутримолекулярной водородной связи.

Таблица 1

Вязкость замещенных бензола

Соединение	$\eta \cdot 10^5$		$\eta_{\text{метокси}} - \eta_{\text{орто}}$		$\eta_{\text{мета}} - \eta_{\text{орто}}$ (пара)		Литературные данные [21] $\eta \cdot 10^5$ ($^{\circ}\text{C}$)
	131°	184°	131°	184°	131°	184°	
$\text{C}_6\text{H}_5\text{NO}_2$	549	396	—	—	—	—	704 (100°)
$\text{C}_6\text{H}_4(\text{OH})\text{NO}_2$	<i>o</i> -754	497	—	—	—	—	708 (136°);
	<i>m</i> -1874	973	—	—	+1120	+ 476	464 (185°);
	<i>p</i> -2797	1334	—	—	+2043	+ 837	2941 (129°);
$\text{C}_6\text{H}_4(\text{OCH}_3)\text{NO}_2$	<i>o</i> -838	548	+ 84	+ 51	—	—	1365 (181°);
	<i>m</i> -756	496	—1118	—477	— 82	— 52	911 (124°);
	<i>p</i> -901	568	—1896	—766	+ 63	+ 20	515 (185°)
$\text{C}_6\text{H}_4(\text{OH})\text{CHO}$	<i>o</i> -615	—	—	—	—	—	567 (133°)
	<i>m</i> -1926	—	—	—	+1311	—	—
	<i>p</i> -2314	—	—	—	+1699	—	—
$\text{C}_6\text{H}_4(\text{OCH}_3)\text{CHO}$	<i>o</i> -635	—	+ 20	—	—	—	657 (129°)
	<i>m</i> -755	—	—1171	—	+ 120	—	—
	<i>p</i> -767	—	—1547	—	+ 132	—	—
$\text{C}_6\text{H}_5\text{COCH}_3$	420	329	—	—	—	—	—
$\text{C}_6\text{H}_4(\text{OH})\text{COCH}_3$	<i>o</i> -701	465	—	—	—	—	601 (132)
	<i>m</i> -2263	1174	—	—	+1562	+ 709	2916 (130°);
	<i>p</i> -3576	1770	—	—	+2875	+1305	1254 (179°)
$\text{C}_6\text{H}_4(\text{OCH}_3)\text{COCH}_3$	<i>o</i> -609	412	— 92	— 53	—	—	—
	<i>m</i> -682	445	—1581	— 729	+ 73	+ 33	—
	<i>p</i> -775	471	—2801	—1299	+ 166	— 59	—
$\text{C}_6\text{H}_5\text{COOC}_2\text{H}_5$	507	351	—	—	—	—	—
$\text{C}_6\text{H}_4(\text{OH})\text{COOC}_2\text{H}_5$	<i>o</i> -617	414	—	—	—	—	—
	<i>m</i> -2453	1110	—	—	+1836	+ 796	—
	<i>p</i> -4044	1492	—	—	+3427	+1078	—
$\text{C}_6\text{H}_4(\text{OCH}_3)\text{COOC}_2\text{H}_5$	<i>o</i> -682	443	+ 65	+ 29	—	—	—
	<i>p</i> -802	493	—3242	—999	+120	+ 50	—
	<i>o</i> -649	443	—	—	—	—	600 (135°)
$\text{C}_6\text{H}_4(\text{OH})\text{CH}_3$	<i>m</i> -694	458	—	—	+ 45	+ 15	638 (140°);
	<i>p</i> -732	487	—	—	+ 83	+ 54	442 (172°);
		(172°)					466 (175°)
$\text{C}_6\text{H}_4(\text{OCH}_3)\text{CH}_3$	<i>o</i> -376	287	—273	—156	—	—	381 (125°);
	<i>m</i> -350	269	—344	—189	— 26	— 18	267 (171°);
	<i>p</i> -354	271	—378	—216	— 22	— 16	341 (130°);
		(172°)					246 (175°);
$\text{C}_6\text{H}_5\text{OH}$	725	—	—	—	—	—	363 (125°);
$\text{C}_6\text{H}_5\text{OCH}_3$	409	—	—316	—	—	—	244 (176°)

Аномально высокое значение η у ассоциированных соединений (чем и вызваны установленные выше отклонения) объясняют разрывом при вязком течении водородных связей и отсюда повышенным значением работы образования дырки за счет «структурной энергии активации» [4, 22]. Однако заметная устойчивость водородных связей даже при сравнительно высоких температурах (у кислот комплексы устойчивы и в парах, а у фенолов и спиртов в жидком состоянии они устойчивы в широком интервале температур [23,17]) позволяют усомниться в справедливости той точки зрения, что и у ассоциированных соединений единицей вязкого течения является отдельная молекула. Аномально повышенное значение η ассоциированных соединений можно объяснить тем, что их макросвойства определяются не свойствами их молекул, а таковыми свойствами их комплексов, являющихся единицей их вязкого течения. Если учесть, что масса комплекса равна zm (z — число молекул в комплексе), а поляризуемость комплекса приближенно равна $z\alpha$ или $z(MR_D)$, тогда для ассоциированных соединений:

$$(\eta_{\text{ассоц}})_{p,T,\Phi} = (zm)^{1/2} (z\alpha)^{3/2} (A + \text{const } \mu_{\text{компл}}). \quad (8)$$

Поскольку $z \geq 2$, а дипольный момент молекул в комплексе или растет (у спиртов и фенолов) или уменьшается незначительно (у кислот), из (8) следует, что η ассоциированных соединений должно резко возрастать сравнительно с рассчитанным из свойств одиночных молекул. Пренебрегая различием дипольных моментов молекул в комплексе и у метамерных неассоциированных соединений, можно приближенно рассчитать значение z из соотношения:

$$\frac{\eta_{\text{ассоц}}}{\eta_{\text{метам.эф}}} = \frac{(zm)^{1/2}}{m^{1/2}} \frac{(z\alpha)^{3/2}}{\alpha^{3/2}} \frac{(A + \text{const } \mu_{\text{компл}})}{(A + \text{const } \mu_{\text{молек}})} \approx z^2,$$

откуда

$$z \approx \left(\frac{\eta_{\text{ассоц}}}{\eta_{\text{метам.эф}}} \right)^{1/2}. \quad (9)$$

Значение z , в согласии с рентгено- и электронографическими и другими данными [24], близко у кислот к 2, а у спиртов к 3—4 (табл. 2).

Таблица 2

Значение z ассоциированных соединений

Ассоциированное соединение	Метамерный эфир	Температура °C	$\frac{\eta_{\text{ассоц}}}{\eta_{\text{метам}}}$	z по (9)
$n\text{-C}_5\text{H}_7\text{COOH}$	$\text{CH}_3\text{COOC}_2\text{H}_5$	20	3,80	1,95
$n\text{-C}_4\text{H}_9\text{COOH}$	$\text{C}_2\text{H}_5\text{COOC}_2\text{H}_5$	20	4,23	2,05
		50	3,28	1,81
$n\text{-C}_6\text{H}_{11}\text{COOH}$	$n\text{-C}_3\text{H}_7\text{COOC}_2\text{H}_5$	20	4,79	2,18
		50	3,68	1,92
$n\text{-C}_6\text{H}_{13}\text{COOH}$	$n\text{-C}_4\text{H}_9\text{COOC}_2\text{H}_5$	50	3,76	1,92
$n\text{-C}_7\text{H}_{15}\text{COOH}$	$n\text{-C}_5\text{H}_{11}\text{COOC}_2\text{H}_5$	50	4,01	2,00
$n\text{-C}_8\text{H}_{17}\text{OH}$	$\text{C}_2\text{H}_5\text{OC}_2\text{H}_5$	20	12,78	3,57
$n\text{-C}_8\text{H}_{17}\text{OH}$	$n\text{-C}_3\text{H}_7\text{OC}_2\text{H}_5$	20	11,64	3,41
$n\text{-C}_6\text{H}_{13}\text{OH}$	$n\text{-C}_3\text{H}_7\text{OC}_3\text{H}_7$	20	12,68	3,55

Из (8) следует так же, что при сохранении значения z сами ассоциированные соединения между собою должны подчиняться тем же зависимостям, что и нормальные жидкости. Поскольку в гомологических рядах спиртов и кислот (рис. 3) вязкость изменяется так же, как и в

рядах их эфиров, повидимому, удлинение углеводородной цепи, по крайней мере, начиная с пятого члена, не изменяет значения z . Не изменяется значение z и при переходе от ациклического спирта к соответствующему циклическому спирту.

В настоящей работе использованы не только литературные данные о вязкости жидкостей, но и результаты наших измерений. Измерена вязкость 34 замещенных бензола при двух температурах.

Получение, очистка и характеристика изученных веществ детально описаны ранее [17]. Расчет вязкости производился по формуле $\eta_x = \eta_b \frac{d_x t_x}{d_b t_b}$, где η_b — коэффициент вязкости воды при 20°C, d_b — плотность и t_b — время истечения воды при 20°C; η_x , d_x и t_x — значения соответственно для исследованного вещества. Время истечения t_x при 131, 172 и 184° 34 соединений (табл. 1) было измерено в вискозиметре Оствальда. Вискозиметр был соединен со стеклянной пробкой с двумя отверстиями для термометра и пикнометра. Пробка на шлифе вставлялась в паровой термостат [25]. Все определения были проведены с тем же вискозиметром со временем истечения для воды, равным 131 сек. Почти во всех случаях t_x определялось для двух и более образцов того же вещества. Отклонение между отдельными определениями t_x составляло максимум $\pm 0,5$ сек. Одновременно определялись значения d_x [17,18]. Полученные значения η_x в большинстве случаев удовлетворительно согласуются с имеющимися литературными данными (табл. 1).

ВЫВОДЫ

1. Установлены зависимости между значениями вязкости нормальных жидкостей и свойствами составляющих их молекул.
2. На основании установленных зависимостей объяснен характер изменения вязкости в гомологических и изологических рядах, а также в рядах замещенных.
3. Установлены и объяснены особенности вязкости соединений, ассоциированных меж- и внутримолекулярно путем образования водородных связей.
4. Определены значения вязкости 34 замещенных бензола при 131 и 184° (или 172°).

Политехнический институт
им. В. И. Ленина
Харьков

Поступила
15. VI. 1954

ЛИТЕРАТУРА

1. R. Kreman, *Mechanische Eigenschaften flüssiger Stoffe*, стр. 276, 293, 1928; J. Friend, W. Hargreaves, *Phil. Mag.*, 35, 136, 1944; E. Bingham, *Fluidity and Plasticity*, 1922; E. Bingham, S. Stookey, *Journ Amer. Chem. Soc.*, 61, 1625, 1939; R. Linke, *Zs. phys. Chem.*, A, 188, 11, 1941; H. Kierstead, J. Turkewich, *Journ. Chem. Phys.*, 12, 24, 1944.
2. А. Е. Луцкий, *Журн. физ. химии*, 29, 983, 1955.
3. С. Е. Бреслер, А. Ландерман, *ЖЭТФ*, 10, 250, 1940.
4. С. Глестон, К. Лейдлер, Г. Эйринг, *Теория абсолютных скоростей реакций*, ГИИЛ, 1948, стр. 466, 469, 483, 478.
5. Г. М. Панченков, *Теория вязкости жидкостей*, Гостоптехиздат, 1947, стр. 82, 56.
6. Я. И. Френкель, *Кинетическая теория жидкостей*, 1945, стр. 182, 185; *Статистическая физика*, 1948, стр. 343.
7. Г. Штаудингер, *Высокомолекулярные органические соединения*, ОНТИ, 1936, стр. 50; P. Flory, *Journ. Amer. Chem. Soc.*, 62, 1057, 1940.
8. J. Friend, *Trans. Farad. Soc.*, 34, 813, 1938.
9. A. Doolittle, *Journ. Appl. Phys.*, 22, 1471, 1951.
10. F. London, *Trans. Farad. Soc.*, 33, 8, 1937; J. Slater, J. Kirkwood, *Phys. Rev.*, 37, 682, 1931.
11. E. Irany, *Journ. Amer. Chem. Soc.*, 61, 1734, 1736, 1939; S. Kyropoulos, *Journ. Chem. Phys.*, 7, 52, 1939.
12. A. Ward, *Trans. Farad. Soc.*, 33, 88, 1937.
13. A. Dunstan, Th. Hilditch, F. Thole, *Journ. Chem. Soc.*, 103, 133, 1913.

14. F. Thole, Journ. Chem. Soc., 105, 2004, 1914.
15. A. Doolittle, Journ. Appl. Phys., 22, 1031, 1951; W. Heston, E. Hen-nely, Ch. Smyth, Journ. Amer. Chem. Soc., 72, 2071, 1950; S. Mumford, J. Phillips, Journ. Chem. Soc., 75, 1950; A. Dunstan, F. Thole, P. Benson, Journ. Chem. Soc., 105, 782, 1914.
16. A. Schmidt, W. Schoeler, K. Eberlein, Ber., 74 B, 1313, 1941.
17. А. Е. Луцкий, Докторская диссертация, Библиотека им. В. И. Ленина, Москва, 1949.
18. А. Е. Луцкий, Журн. физ. химии, 28, 205, 1954; Журн. общей химии, 20, 801, 1950.
19. R. Gartenmeister, Zs. phys. Chem., 6, 524, 1890; A. Dunstan, F. Thole, Journ. Chem. Soc., 103, 127, 1913; Journ. chim. phys., 7, 204, 1909; A. Dunstan, K. Wilson, Journ. Chem. Soc., 91, 90, 1907, S. Bowden, E. Butler, Journ. Chem. Soc., 75, 1939.
20. А. Е. Луцкий, Журн. физ. химии, 25, 1399, 1951; R. Gartenmeister (см. [19]); Э. Гатчек, Вязкость жидкостей, ОНТИ, 1935, стр. 123.
21. A. Bramley, Journ. Chem. Soc., 109, 10, 459, 1916; J. Geddes, E. Bing-ham, Journ. Amer. Chem. Soc., 56, 2625, 1934; J. Friend, W. Hargreaves, Phil. Mag., 36, 731, 1945.
22. L. Grünberg, A. Nisson, Trans. Farad. Soc., 45, 125, 1949; A. Ward, Trans. Farad. Soc., 33, 96, 1937.
23. P. Allen, L. Sutton, Acta Cryst., 3, 46, 1950; S. Bauer, J. Beach, J. Simons, Journ. Amer. Chem. Soc., 61, 19, 1939; M. Telang, Journ. Phys. Chem., 59, 373, 1946; J. Friend, Trans. Farad. Soc., 34, 818, 1938; А. Е. Луцкий, Усп. химии, 23, 479, 1954.
24. Л. Паулинг, Природа химической связи, ГХИ, 1947, 299; W. Sacha-raisen, Journ. Chem., Phys., 3, 158, 1935.
25. А. Е. Луцкий, М. М. Брагилевская, Завод. лаборат., 754, 1950.

КИНЕТИКА РАЗЛОЖЕНИЯ БИКАРБОНАТА КАЛИЯ

М. М. Павлюченко и Е. Н. Вайнштейн

Разложение бикарбоната калия относится к числу гетерогенных реакций, протекающих с участием твердых тел. Изучению их посвящено значительное число работ. В последние годы достигнуты значительные успехи как в исследовании механизма, так и в разработке формальной кинетики этих реакций. Получен ряд кинетических уравнений, хорошо описывающих ход реакций. Однако часто один и тот же экспериментальный материал одинаково хорошо описывается рядом уравнений, выведенных из совершенно различных предположений о механизме реакции. Объясняется это тем, что полученные уравнения содержат по две-три константы, на которые не налагаются какие-либо ограничения, и численные значения которых находятся графическим методом. Естественно поэтому, что кинетический анализ экспериментальных данных, проведенный при помощи того или другого уравнения, не является безусловным доводом пользу того, что реакция протекает по механизму, который положен основу вывода данного уравнения.

Развивавшиеся в кинетике гетерогенных химических реакций на протяжении последних 30 лет ядерные представления [1], согласно которым скорость химической реакции и характер кинетических кривых определяются скоростью образования ядер, числом промежуточных стадий, связанных с их образованием, формой ядер и каталитическим действием конечного твердого продукта, нуждаются в экспериментальной проверке. Имеющиеся экспериментальные данные в ряде случаев не могут быть объяснены указанными представлениями. Изучение каталитического действия твердого продукта реакции показывает в подавляющем большинстве случаев, что последний либо не оказывает влияния на скорость реакции, либо замедляет ее.

Настоящая работа посвящена изучению кинетики разложения бикарбоната калия при разных температурах и выяснению влияния ряда факторов на скорость разложения.

Кинетика разложения бикарбоната калия изучалась в вакуумной установке, состоящей из реакционного сосуда, ртутного манометра и форвакуумного насоса, позволяющего получать вакуум до 10^{-2} мм. Выделяющиеся при разложении бикарбоната калия пары воды поглощались гранулированным хлористым кальцием и ятлокистью фосфора. Навеска соли для опыта в количестве одного грамма помещалась в реакционный сосуд, в который затем вставлялась трубка с хлористым кальцием и ятлокистью фосфора для поглощения паров воды. Таким образом ртутный манометр оказывал давление только углекислого газа. Поглощение паров воды исключало возможность протекания реакции в обратном направлении и их конденсацию на стенках установки, что приводило бы к растворению CO_2 .

Температура в воздушном термостате поддерживалась постоянной с точностью до $\pm 0,5^\circ$ при помощи реле и контактного термометра. Скорость реакции определялась отклонением разности изменения давления за небольшой промежуток времени ко времени, в течение которого произошло это изменение. Реакция проводилась до полного разложения соли, что определялось по отсутствию изменения давления в системе. Давление CO_2 в реакционном сосуде после полного разложения было около 430 мм.

Применявшийся нами бикарбонат калия содержал по данным химического анализа 98,7% KHCO_3 и следы K_2CO_3 . Для опытов брались кристаллы приблизительно одинакового размера — 2,5 мм. Число их на грамм навески составляло 33—36.

Опыты проводились при температурах 158, 165, 175, 185, 193, 203 и 214°C . Изменение скорости разложения во времени представлено кри-

выми 1, 2 и 3 рис. 1 и кривыми 1, 2, 3 и 4 рис. 2. На оси ординат отложена скорость реакции, на оси абсцисс — время от начала опыта. Из приведенных данных видно, что при всех температурах в начальный момент наблюдается в течение 2—3 мин. индукционный период, за которым следует весьма быстрое нарастание скорости реакции, достигающей через 3—10 мин. своего максимального значения и затем постепенно уменьшающейся до нуля.

Измерение температуры в реакционном сосуде после его погружения в термостат показало, что период индукции связан, повидимому, со вре-

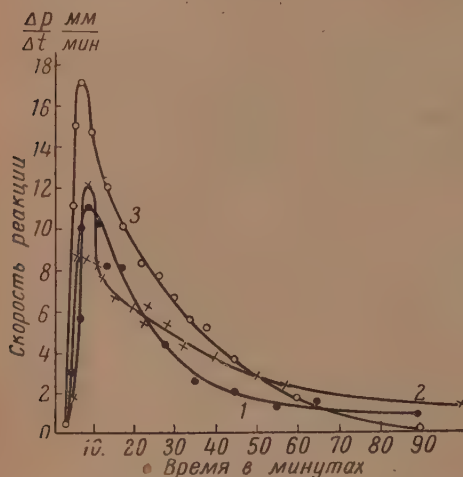


Рис. 1. Зависимость скорости разложения бикарбоната калия от времени при температурах: 1 — 158, 2 — 165 и 3 — 175° С

ям, вся поверхность кристаллов практически покрывается продуктом реакции и количество выделившегося CO_2 приблизительно одно и то же. То реакционная поверхность (S) при всех температурах будет иметь одно и то же численное значение. Следовательно, скорость реакции при $S = \text{const}$ в зависимости от температуры будет выражаться уравнениями

$$\frac{dp}{dt} = k'_0 e^{-q/RT}, \quad (1)$$

где

$$k'_0 = k_0 S,$$

откуда

$$\lg \frac{dp}{dt} = -\frac{q}{2,3RT} + \lg k'_0 = \lg v.$$

Зависимость $\lg v$ от $1/T$ представлена на рис. 3, из которого видно, что все точки хорошо укладываются на прямую.

После максимума реакция распространяется сплошным фронтом с постоянной линейной скоростью, равной

$$\frac{du}{dt} = b. \quad (2)$$

Толщина прореагировавшего слоя (u) после максимума в зависимости от времени равна

$$u = bt. \quad (3)$$

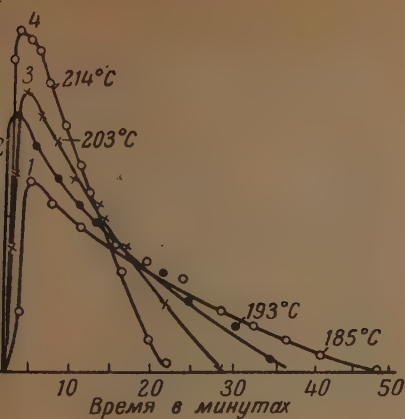
мм
мин

Рис. 2

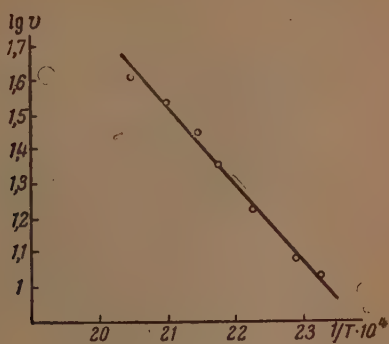


Рис. 3

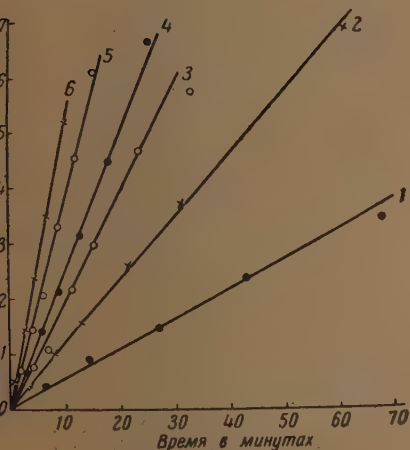


Рис. 4

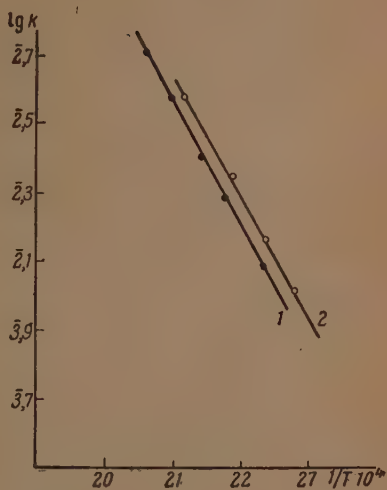


Рис. 5

2. Зависимость скорости разложения бикарбоната калия от времени при температурах: 1 — 185, 2 — 193, 3 — 203 и 4 — 214° C
3. Зависимость логарифма скорости разложения KHCO_3 в максимуме от $1/T$
4. Зависимость $1 - \sqrt[3]{1 - \alpha}$ от времени для реакции разложения неизмельченного KHCO_3 при температурах: 1 — 165, 2 — 175, 3 — 185, 4 — 193, 5 — 203 и 6 — 214° C
5. Зависимость логарифма константы скорости разложения: 1 — крупнокристаллического и 2 — измельченного бикарбоната калия от $1/T$

аяя и в уравнении (3) через \dot{V}_0 и \dot{V}_t , получаем

$$1 - \sqrt[3]{1 - \alpha} = kt, \quad (4)$$

α — доля прореагировавшего вещества, V_0 — объем вещества в начальный момент, V_t — объем прореагировавшего вещества к моменту

времени t . Уравнение (4) достаточно хорошо описывает реакцию после максимума, и константа на всем протяжении сохраняет постоянное значение.

На рис. 4 представлена зависимость $1 - \sqrt[3]{1 - \alpha}$ от времени для опытов, проведенных при температурах 165, 175, 185, 193, 203 и 214° С. Ка-

и следует из уравнения (4), линейная зависимость $1 - \sqrt[3]{1 - \alpha}$ от времени после максимума хорошо соблюдается на протяжении всей реакции.

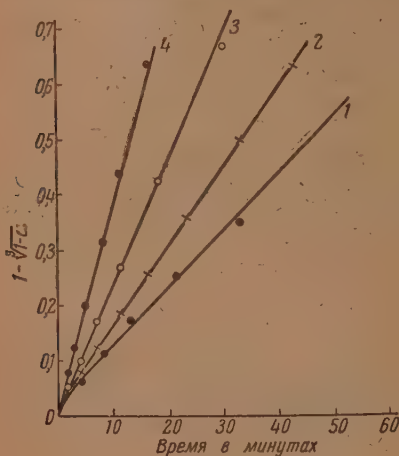


Рис. 6. Зависимость $1 - \sqrt[3]{1 - \alpha}$ от времени для реакции разложения измельченного KHSO_3 при температурах: 1 — 165, 2 — 174, 3 — 184 и 4 — 203°С

Лишь при температуре 158° наблюдается уменьшение констант с течением времени, обусловленное, как нам кажется, тем, что при больших давлениях выделившегося газа затрудняется диффузия CO_2 и H_2O с границы раздела, что приводит к увеличению скорости обратной реакции. По литературным данным давление диссоциации KHSO_3 при 157° С равно 760 мм [2] и превышает на 330 мм давление CO_2 в системе после полного разложения навески. Уменьшение диффузии газом с границы раздела, приводящее к уменьшению скорости реакции, наблюдается также и при разложении в атмосфере воздуха. При давлении воздуха 200 мм скорость реакции уменьшалась в 1,6 раза.

Тот факт, что экспериментальные данные хорошо описываются уравнением (4), показывает, что разложение протекает в кинетической об-

ласти, и скорость лимитируется не диффузией, а химическим процессом. Зависимость $\lg k$ от $1/T$ представлена кривой 1 рис. 5. Найденная из наклона кривой энергия активации равна 15 900 кал/моль.

Крупнокристаллический KHSO_3		Измельченный KHSO_3	
Температура в °С	Значения, вычисленные из уравнения (4)	Температура в °С	Значения, вычисленные из уравнения (4)
165	0,0054	165	0,011
175	0,0114	174	0,015
185	0,02	184	0,023
193	0,0255	203	0,037
203	0,038		
214	0,052		

Крупнокристаллический бикарбонат калия измельчался в фарфоровом ступке, просеиванием через сита выделялась фракция с размерами части приблизительно 0,03—0,05 мм. Уменьшение размеров кристаллов с 2, до 0,03—0,05 мм должно привести к увеличению поверхности в 50—85 раз. Истинная поверхность была несомненно больше вычисленной, так как частицы, прошедшие через отверстие 0,05 мм, могли представлять собой конгломераты, состоящие из многих частиц меньших размеров.

тому вычисленное нами увеличение поверхности при измельчении о минимальным. Если бы реакция протекала только на геометрической поверхности, то скорость ее при измельчении кристаллов должна была бы увеличиться. Опыты по разложению измельченного бикарбоната проводились при температурах 165, 174, 184, 203° С. Характер кинетических кривых при всех температурах сохранялся тот же, что и для не измельченной соли. Высота максимума на кривых скорость — время и время его достижения незначительно отличались (20—40%) от высоты максимума и времени его достижения для крупнокристаллического бикарбоната. Анализ же экспериментальных данных после максимума проводится при помощи того же уравнения (4).

Результаты анализа представлены кривыми 1, 2, 3 и 4 на рис. 6, из которого видно, что линейная зависимость $1 - \sqrt[3]{1 - \alpha}$ от времени соблюдается после максимума на всем протяжении реакции. Лишь при температуре 165° С, как и с крупнокристаллическим бикарбонатом, наблюдается отклонение реакции от линейной зависимости. Средние значения константы k , вычисленные для крупнокристаллического и измельченного бикарбоната, приведены в таблице, из которой видно, что при одной и той же температуре, исключая 165°, значения k отличаются не более чем на 5%, несмотря на то, что поверхность изменилась более чем в 50 раз. Зависимость $\lg k$ от $1/T$ для реакции разложения измельченного бикарбоната представлена прямой 2 на рис. 5. Вычисленная из наклона прямой энергия активации равна 15 100 кал/моль и совпадает в пределах ошибки с энергией активации, найденной для реакции разложения крупнокристаллического бикарбоната.

С момента распространения реакции сплошным фронтом, что приблизительно совпадает с пересечением зон реакции, величина реакционной поверхности должна выражаться уравнением

$$S = k_0(p_m - p)^{1/2}, \quad (5)$$

где p_m — разность давлений выделившегося газа после полного разложения и в максимуме скорости. Увеличение поверхности в 50 раз должно было бы увеличить во столько же раз k_0 и, следовательно, константу k , входящую в уравнение (4). Так как этого не наблюдается, то можно было бы допустить, что активные центры и зародыши продукта реакции возникают в объеме кристалла, и реакция протекает не только на поверхности, но и во всем объеме. Однако если бы реакция протекала в объеме, то выделяющийся газ, создавая высокое давление внутри кристалла, вызывал бы растрескивание и самораздробление кристаллов. В действительности кристаллы продукта реакции даже после полного разложения бикарбоната сохраняли свою прежнюю форму. Весьма слабое влияние измельчения на скорость реакции и на константу k можно объяснить наличием дефектов в исходных кристаллах большого числа трещин и блоков, расположенных не только на поверхности, но и во всем объеме кристаллов. Поэтому суммарная поверхность кристалла, включая и внутреннюю, может превышать геометрическую в десятки раз. Следовательно, измельчение не может существенным образом влиять на увеличение суммарной поверхности и на скорость реакции. Наличие дефектов и трещин в кристаллах бикарбоната калия нами установлено флуоресцентным методом, применимым для обнаружения трещин в металлических изделиях [3]. Так как размеры по своим размерам могут быть малы, то их заполнение флуоресцирующим раствором производилось под вакуумом после удаления воздуха из трещин. При освещении ультрафиолетовым светом кристалла CO_2 , с поверхности которого удален флуоресцирующий раствор, наблюдалось большое число флуоресцирующих полос, указывающих на наличие поверхностных трещин.

Ускорение реакций, протекающих с участием твердых тел, объясняют

обычно каталитическим действием образующегося твердого продукта реакции. Некоторые [4] считают, что протекание реакций на межфазной границе является следствием катализа. В опубликованных нами работах [5] показано, что нарастание скорости реакции и ее протекание на меж-

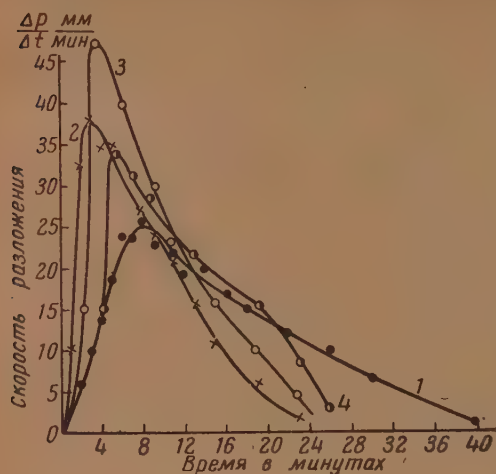


Рис. 7. Кинетика разложения крупнокристаллического и измельченного бикарбоната калия с нанесенным из раствора продуктом реакции K_2CO_3 на поверхность бикарбоната

калия помещался измельченный или крупнокристаллический бикарбонат, и затем под вакуумом удалялся растворитель. Выпавший из раствора кристаллогидрат карбоната калия при нагревании под вакуумом теряет свою кристаллизационную воду и при температуре около 100° полностью ее отдает [8]. Для опыта бралось такое количество смеси, в котором содержался 1 г бикарбоната. Результаты опытов, проведенных при $203^\circ C$, представлены кривыми 1, 2, 3 и 4 рис. 7, из которых следует, что скорость разложения измельченного и крупнокристаллического бикарбоната с нанесенным на его поверхность карбонатом (кривые 2 и 1) — та же, что и без карбоната (кривые 3 и 4). Кинетические кривые разложения бикарбоната, в одном случае растертого с продуктом реакции K_2CO_3 , полученным от предыдущего опыта, в другом — перемешанного и спрессованного с продуктом, представлены кривыми 1 и 2 рис. 8.

Скорость реакции, как видно из кривых, проходит через два максимума, причем скорость разложения ни в одном из них не больше, чем скорость разложения чистого бикарбоната. Таким образом, внесение продукта реакции карбоната не увеличивает, а, наоборот, уменьшает скорость разложения.

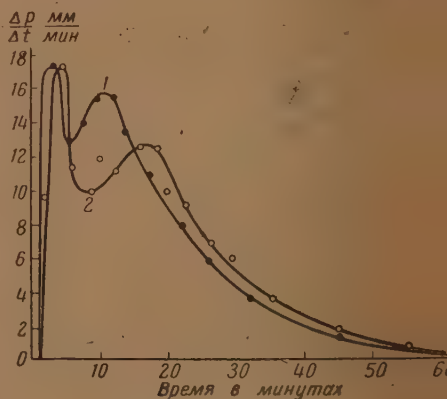


Рис. 8. Кинетика разложения бикарбоната калия: 1 — растертого и 2 — спрессованного с продуктом реакции K_2CO_3

Реакция разложения бикарбоната калия при изученных нами температурах протекает по следующему уравнению:



Приведенное уравнение разложения подтверждается как литературными [1], так и нашими данными. Количество выделившегося CO_2 , а также изменение веса после разложения показывают, что конечными продуктами являются K_2CO_3 , CO_2 и водяной пар, поглощаемый P_2O_5 . Так, например, в одном из опытов навеска KHCO_3 составляла 0,5234 г, а после опыта 0,3714 г, что точно соответствует образованию K_2CO_3 . Кристаллогидраты K_2CO_3 в интересующей нас области температур не образуются, так как выше 100°C они неустойчивы и разлагаются.

Тепловой эффект \bar{Q} , вычисленный на основании данных, взятых из физико-химических таблиц Ландольта-Бернштейна для тепловых эффектов отдельных реакций, равен 30,2 ккал.

Таким образом реакция разложения бикарбоната является эндотермической и протекает с поглощением тепла 15,1 кал/моль. Средняя энергия активации разложения крупнокристаллического и измельченного бикарбоната калия, вычисленная из наклона кривых $\lg k - 1/T$, равна 15 500 кал/моль и равна, в пределах точности вычисления тепловых эффектов и энергии активации, тепловому эффекту разложения бикарбоната. Если принять, что $Q = q_2 - q_1$, то из этого следует, что энергия активации образования бикарбоната равна нулю. Повидимому, реакцию образования бикарбоната из K_2CO_3 , H_2O , CO_2 следует рассматривать как реакцию взаимодействия между K_2CO_3 и H_2CO_3 . Исследования дегидратации некоторых кристаллогидратов [10] также показали, что энергия активации разложения равна тепловому эффекту их образования. Следовательно, энергия активации образования кристаллогидратов равна нулю.

Аналогичные данные получены нами и для реакций образования аммиакатов [11]. Наличие таких реакций показывает, что среди гетерогенных реакций, протекающих с участием твердых тел, имеются такие, которые не требуют энергии активации, и, следовательно, каталитическое действие образующегося твердого продукта (кристаллогидрата, аммиаката, карбоната и т. д.) должно сводиться к нулю.

ВЫВОДЫ

1. Изучена кинетика разложения бикарбоната калия в интервале температур $158\text{--}214^\circ\text{C}$. Реакция разложения протекает с нарастанием скорости, которая проходит через максимум и убывает до нуля.
2. Реакция начинается на отдельных центрах и затем быстро распространяется по поверхности, покрывая последнюю через 5—10 мин. твердым продуктом реакции.
3. Увеличение геометрической поверхности более чем в 50 раз не влияет практически на скорость реакции, что связано с большой внутренней поверхностью кристаллов.
4. Энергия активации разложения бикарбоната калия равна 15 500 кал и совпадает в пределах ошибки опыта с тепловым эффектом реакции разложения бикарбоната.
5. Показано, что продукт реакции K_2CO_3 , нанесенный как из раствора на поверхность кристаллов бикарбонатов, так и растертый и спрессованный с бикарбонатом, не увеличивает скорости разложения.

ЛИТЕРАТУРА

1. Б. В. Ерофеев, Известия АН БССР, № 4, 1950.
N. Mott, Proc. Roy. Soc., 172, 325, 1939; J. Macdonald a. Hinshelwood, Journ. Chem. Soc. (L), 127, 2764, 1925.
2. Ван-Аркель, Химическая связь, 1935, стр. 150.
3. А. В. Корякин и Л. С. Лаврентьев, Заводская лаборатория, № 1951.
4. G. M. Schwab, E. Pietsch, Zs. Elektrochem., 35, 573, 1929; Б. В. Ерофеев, Уч. зап. БГУ им. В. И. Ленина, сер. хим. вып. 14, 1, 1953.
5. М. М. Павлюченко, Журн. физ. химии, 23, 800, 1949; Уч. зап. БГУ им. В. И. Ленина, сер. хим. № 13, 18, 1951.
6. М. М. Павлюченко, Я. С. Рубинчик, Журн. прикл. химии, 2, 666, 1951; М. М. Павлюченко и Э. Гуревич, Журн. общ. химии, 21, 467, 1951.
7. Е. С. Осповник, Канд. диссертация, 1952; Минск; В. П. Корниенко, Автореферат, канд. диссерт., Государственный университет, 1952, Харьков.
8. Ю. В. Корякин, Чистые химические реактивы, Госхимиздат, М., 194 стр. 198.
9. Coven a. Sand, Journ. Chem. Soc., 105, 2752, 1914.
10. N. E. Garner, Trans. Farad. Soc., 34, 940, 1938.
11. М. М. Павлюченко, Уч. зап. БГУ им. В. И. Ленина, 1951; М. М. Павлюченко и Г. А. Лазерко, Журн. физ. химии, 28, 102, 1954.

КИНЕТИКА РАСТВОРЕНИЯ ПОЛИДИСПЕРСНОЙ СМЕСИ

Г. А. Аксельруд

Изучение кинетики растворения смеси твердых частиц разного размера представляет практический интерес. В химической технологии немало примеров растворения материалов после предварительного дробления или помола; последние операции всегда приводят к образованию олигодисперсных смесей или порошков. Между тем подавляющее число исследований по кинетике растворения проводилось с монодисперсными системами. В ряде экспериментальных работ твердые частицы, предназначенные для растворения, имели форму цилиндров, таблеток одинаковых размеров [1, 2]. В других работах дробленные частицы имели весьма близко стоящие друг к другу размеры. Отбор таких частиц проводился при помощи сит с небольшой разницей в размере отверстия [3]. Стремление иметь дело с частицами одного размера понятно: здесь проще истолковать результаты опыта, проще построить количественную теорию.

В настоящий момент, однако, уже накоплен достаточный теоретический и экспериментальный материал для изучения скорости растворения олигодисперсной смеси или порошка.

В основу изучения кинетики растворения смеси следует положить закон кинетики растворения, сформулированный А. Н. Шукаревым. В приращении к растворяющейся частице этот закон запишется в виде:

$$-\frac{dG}{dt} = kS(c_s - c), \quad (1)$$

— вес растворяющейся частицы ко времени t ; k — коэффициент скорости растворения; S — поверхность растворения; c_s — концентрация насыщения; c — концентрация раствора к моменту времени t .

Для дальнейшего преобразования (1) введем допущение о подобном преобразовании частицы при растворении. Иными словами, будем полагать, что частица, уменьшая свои линейные размеры, не меняет своей формы.

Такое допущение оправдано для частиц, свободно движущихся в потоке жидкости, поскольку последние произвольно меняют ориентацию своих поверхностей. Подобное поведение частиц при растворении неоднократно наблюдалось различными исследователями [4].

Считая частицу шарообразной, установим ее вес

$$G = \gamma \frac{\pi d^3}{6},$$

— размер частицы в данный момент растворения; γ — удельный вес материала частицы; поверхность $S = \pi d^2$. Разность концентраций определится

$$c_s - c = c_s - \frac{\Sigma G_0 - \Sigma G}{V} = c_s \left[1 - \frac{\Sigma G_0}{V c_s} \left(1 - \frac{\Sigma G}{\Sigma G_0} \right) \right],$$

ΣG_0 — вес всей смеси до растворения; ΣG — вес всей смеси к моменту времени t ; V — объем раствора.

Обозначим $\beta = \frac{\sum G_i}{\sum G_0}$ и $y = \frac{\sum G_i}{\sum G_0}$, тогда

$$c_s - c = c_s [1 - \beta(1 - y)].$$

Подставим полученные выражения в уравнении основного закона:

$$-\tau \frac{\pi}{6} 3d^2 \frac{d(d)}{dt} = k\pi d^2 c_s [1 - \beta(1 - y)].$$

Для приведения этого уравнения к виду уравнения в безразмерных величинах введем следующие обозначения:

$\Delta = d_0 - d$ — убыль размера частицы при растворении; $x = \frac{\Delta}{a}$ — размерная убыль диаметра частицы; a — некоторый постоянный размер частицы до растворения; $\tau = \frac{2c_s k}{\tau a} t$ — безразмерное время растворения.

В соответствии с этим уравнение основного закона принимает окончательный вид

$$\frac{dx}{d\tau} = 1 - \beta(1 - y).$$

Конечным результатом изучения кинетики растворения должна явиться функциональная зависимость $y = f_1(\tau)$. Для нахождения этой зависимости недостаточно одного уравнения (2), необходимо найти дополнительную связь между переменными в уравнении (2). Такая связь для полидисперсной смеси может быть установлена в виде функциональной зависимости

$$y = f_2(x).$$

устанавливающей зависимость относительного веса твердой фазы от относительного уменьшения размеров частиц.

Уравнение (3) будет именоваться нами характеристическим уравнением полидисперсного материала, поскольку оно связано с первоначальным

весовым распределением материала по размерам частиц. Нахождение характеристического уравнения в общем случае можно иллюстрировать примером.

Пусть кривая 1 (рис. 1) графически изображает функцию распределения материала по размерам частиц до растворения.

Если размер каждой частицы уменьшится на Δ , то частицы с размером $d < \Delta$ исчезнут, а вес частиц с размером $d > \Delta$ уменьшится в соотношении $\left(\frac{d - \Delta}{d}\right)^3$.

Таким образом для определения функции распределения, соответствующей размерам частиц, уменьшенным на величину $\Delta = 0,0025$ см, следует каждую ординату кривой 1 умножить на $\left(\frac{d - 0,0025}{d}\right)^3$.

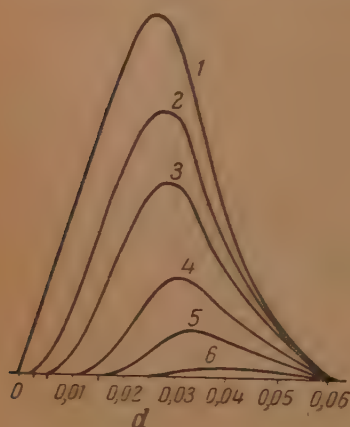


Рис. 1. Определение характеристической функции

Так строится кривая 2. Известно, что площадь под кривой распределения дает вес всей полидисперсной смеси. Площадь под кривой 1 даст величину $\sum G_0$. Площади под кривыми 2, 3, 4 и т. д. дают значе-

я ΣG , соответствующие определенным значениям $\Delta: \Delta = 0,0025$ см; $= 0,005$ см; $\Delta = 0,01$ см и т. д. Теперь мы располагаем материалом для построения кривой $y = \frac{\Sigma G}{\Sigma G_0} = f\left(\frac{\Delta}{a}\right)$.

Совместное решение и интегрирование уравнений (2) и (3) представляет иногда сложную задачу.

В отдельных случаях эта задача упрощается. Так, при β малом, что отвечает малой засыпке материала по сравнению с весом, необходимым для насыщения, членом $\beta(1-y)$ можно пренебречь по сравнению с единицей:

$$\frac{dx}{d\tau} = 1; \quad x = \tau.$$

Тогда характеристическое уравнение одновременно представляет собой уравнение кинетики в интегральной форме

$$y = f(x) = f(\tau).$$

Первым этапом расчета является построение кривой, отвечающей характеристическому уравнению, для чего применяется метод, изложенный выше. Так, для кривой 1 (рис. 1), представляющей функцию распределения материала по размерам частиц до растворения, можно получить кривую 1 (рис. 2), отвечающую характеристической функции

$$\left(x = \frac{\Delta}{a}; \quad a = 0,0255 \text{ см}\right).$$

Следующим этапом является графическое интегрирование уравнения (2):

$$\tau = \int \frac{1}{1 - \beta(1-y)} dx.$$

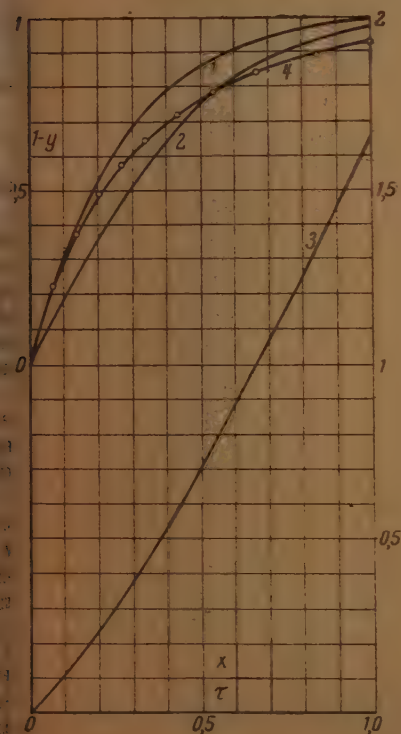


Рис. 2. Графическое интегрирование уравнения кинетики

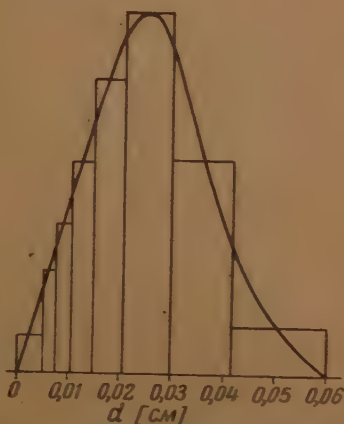


Рис. 3. Кривая весового распределения. Площади прямоугольников соответствуют весам фракций смеси, подготовленной к растворению

Кривая 2 (рис. 2) даст значения $\frac{1}{1 - \beta(1-y)}$ в зависимости от x (в примере принято $\beta = 0,5$). Кривая 3 (рис. 2), полученная графическим ин-

тегрированием с использованием кривой 2, даст значения τ . Наконечная кривая 4 (рис. 2) и представляет искомую кинетическую функцию.

Опыты по растворению гипса в воде проводились в двухлитровом сосуде, с жестким лопастной мешалкой. Число оборотов мешалки поддерживалось постоянным в течение всех опытов. Температура опыта 20° . Расположение мешалки относительно сосуда не менялось. Вначале был определен коэффициент скорости растворения гипса в данных условиях. Он оказался равным $k = 0,0064$ (см/сек.). Затем была приготовлена смесь различных фракций в соответствии с функцией распределения (рис. 1).

Полученная смесь растворялась в воде. Отбираемые через каждые 3 мин. пробы (при помощи пипетки с фильтром) анализировались титрованием «трилоном Б» в присутствии индикатора хромоген-черного.

Как видно из рис. 2, опытные точки хорошо ложатся на кинетическую кривую 4.

Изложенный здесь метод построения кинетической кривой хотя и совершенно точен, но сложен. Особенно длителен первый этап, связанный с определением характеристической функции; он значительно упрощается при вычислении площадей планиметром.

В ряде случаев наблюдается нормальное распределение частиц по размерам [5]. Функция нормального распределения, как известно, имеет вид:

$$F_n = \frac{1}{\sqrt{2\pi}\sigma} e^{-(d-a)^2/2\sigma^2},$$

d — размер частицы, a — среднее значение размера частиц; σ — дисперсия (среднее квадратичное отклонение d от a).

Общий вес смеси до растворения

$$G_0 = \int_0^\infty \gamma \frac{\pi d^3}{6} \frac{1}{\sqrt{2\pi}\sigma} e^{-(d-a)^2/2\sigma^2} N d(d),$$

N — общее число частиц до растворения.

В результате уменьшения размера частиц на величину Δ вес частиц уменьшится

$$G = \int_\Delta^\infty \gamma \frac{\pi d^3}{6} \frac{1}{\sqrt{2\pi}\sigma} e^{-(d-a)^2/2\sigma^2} N \left(\frac{d-\Delta}{d}\right)^3 d(d).$$

Относительный вес

$$y = \frac{G}{G_0} = \frac{\int_\Delta^\infty (d-\Delta)^3 e^{-(d-a)^2/2\sigma^2} d(d)}{\int_0^\infty d^3 e^{-(d-a)^2/2\sigma^2} d(d)}.$$

Введем обозначения $z = \frac{(d-a)}{\sigma}$; $\frac{a}{\sigma} = \alpha$; $\frac{\Delta}{a} = x$; $r = \alpha(1-x)$, получим

$$y = \frac{\int_r^\infty (r+z)^3 e^{-z^2/2} dz}{\int_{-\alpha}^\infty (\alpha+z)^3 e^{-z^2/2} dz}.$$

Выполняя интегрирование, мы получим характеристическое уравнение в виде

$$y = \frac{(1+\Phi_r)(r^3+3r)+2I_r(r^2+2)}{(1+\Phi_\alpha)(\alpha^3+3\alpha)+2I_\alpha(\alpha^2+2)}$$

$$\Phi_r = \frac{2}{\sqrt{2\pi}} \int_0^r e^{-z^2/2} dz; \quad I_r = \frac{1}{\sqrt{2\pi}} e^{-r^2/2};$$

$$\Phi_\alpha = \frac{2}{\sqrt{2\pi}} \int_0^\alpha e^{-z^2/2} dz; \quad I_\alpha = \frac{e^{-\alpha^2/2}}{\sqrt{2\pi}}.$$

На рис. 4 изображены кривые, соответствующие характеристическому уравнению (4) при некоторых значениях параметра α . Верхняя кривая соответствует $\alpha = \infty$, т. е. монодисперсной системе.

На рис. 5 показано графическое интегрирование уравнения (2) совместно с характеристическим уравнением при $\alpha = \infty$ (кривые 1) и при $\alpha = 2$ (кривые 2); $\alpha = 0,5$.

На этом же рисунке показаны результаты опытов по кинетике растворения гипса.

В первом случае растворялась монодисперсная система: частицы имели одинаковые размеры $d = 0,036$ (см. рис. 5, кривые 1). Во втором случае растворялась предварительно приготовленная полидисперсная смесь с первоначальным нормальным распределением частиц по размерам. В обоих случаях наблюдается хорошее совпадение опытных и теоретических данных.

Мы убедились в том, что характер кривой кинетики растворения $y = f(\tau)$ определяется весовым распределением вещества по размерам частиц до растворения.

Изучая форму кривой кинетики растворения, можно определить функцию весового распределения полидисперсной системы. Решение этой задачи и составляет теоретическую основу дисперсного анализа методом скорости растворения [6].

Для упрощения обработки опытных данных следует растворять небольшие количества вещества (по сравнению с количеством, необходимым для насыщения данного объема).

Тогда в соответствии с вышесказанным кривая кинетики одновременно явится характеристической кривой, имеющей уравнение

$$y = f(x);$$

y — отношение веса частиц в данный момент растворения к первоначальному весу. Это отношение найдется как частное от деления площади под кривой распределения в момент τ к площади под начальной исконной кривой распределения. Однако к моменту времени τ размеры всех частиц уменьшатся на величину Δ , и если начальная функция распределения F , то в рассматриваемый момент функция распределения определится, как $F\left(\frac{d-\Delta}{d}\right)^3$.

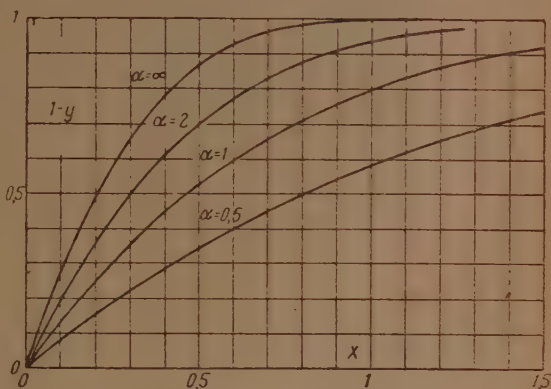


Рис. 4. Графики характеристических функций для полидисперсного материала при первоначальном нормальном распределении

Вес вещества при этом составит величину

$$\int_{\Delta}^{\infty} F \left(\frac{d-\Delta}{d} \right)^3 d(d).$$

Этой же величиной определится и относительный вес, если площадь под начальной кривой распределения равна единице

$$\int_{\Delta}^{\infty} d(d) = 1.$$

Таким образом

$$\int_{\Delta}^{\infty} F \left(1 - \frac{\Delta}{d} \right)^3 d(d) = f(x);$$

или, переходя к безразмерным величинам: $x = \frac{\Delta}{a}$; $z = \frac{d}{a}$; $Fa = \varphi(z)$;

$$\int_x^{\infty} \varphi(z) \left(1 - \frac{x}{z} \right)^3 dz = f(x); \quad (5)$$

$$\int_x^{\infty} \varphi(z) dz - 3x \int_x^{\infty} \frac{\varphi(z)}{z} dz + 3x^2 \int_x^{\infty} \frac{\varphi(z)}{z^2} dz - x^3 \int_x^{\infty} \frac{\varphi(z)}{z^3} dz = f(x).$$

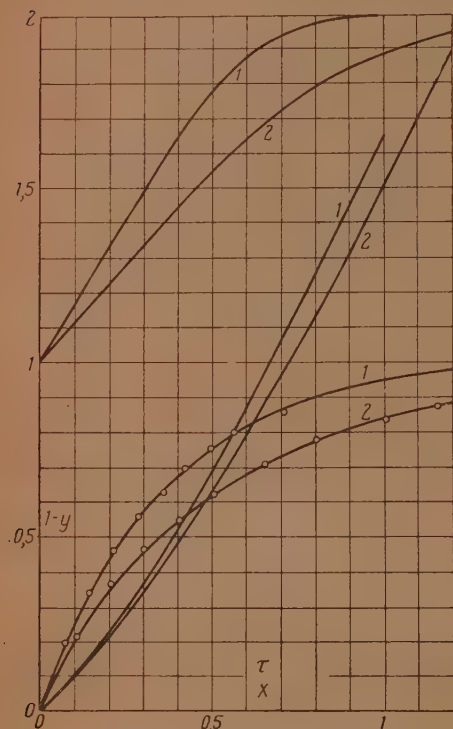


Рис. 5. Построение кривых кинетики растворения. Сравнение с опытом

Четырехкратным дифференцированием (принимая во внимание $\frac{d}{dx} \int_x^{\infty} \varphi(z) dz = -\varphi(x)$ и аналогичные равенства) убеждаемся в том, что

$$\varphi(x) = \frac{1}{6} x^3 f''''(x). \quad (6)$$

Уравнение (6) и является решением задачи о нахождении функции распределения по кривой кинетики растворения.

ВЫВОДЫ

1. Изучена кинетика растворения полидисперсного материала и дан метод построения кривой кинетики растворения.
2. Дано уравнение для обработки опытных данных по дисперсному анализу методом скорости растворения.

Львовский политехнический институт

Поступила
9. VII. 1954

ЛИТЕРАТУРА

1. A. Hixson, G. Wilkens, Ind. Eng. Chem., Nov., 25, 1933.
2. A. Hixson, S. Baum, Ind. Eng. Chem., 33, 478, 1941; 34, 120, 1942.
3. A. Hixson, J. Crowell, Ind. Eng. Chem., 23, 1931.
4. А. В. Здаповский, Журн. физ., химии, 20, 869, 1946; 25, 170, 1951.
5. Н. А. Фигуровский, Седиментометрический анализ, Изд-во АН СССР, 1948.
6. Г. Г. Егоров, Теория дробления и тонкого измельчения, Л., 1938.

ВОПРОСУ ОБ ОПРЕДЕЛЕНИИ КОНСТАНТЫ СКОРОСТИ РЕАКЦИИ И ЭФФЕКТИВНОГО КОЭФФИЦИЕНТА ДИФФУЗИИ ВНУТРИ ПОРИСТОГО КАТАЛИЗАТОРА ИЗ КИНЕТИЧЕСКИХ ДАННЫХ

К. Н. Белоногов и Б. И. Попов

Исследования кинетики гетерогенно-каталитических реакций с учетом процессов массо- и теплопередачи позволяют раскрыть роль диффузионных, адсорбционных и химических явлений в общей скорости процесса. Только принимая во внимание макрокинетические факторы, можно более правильно подойти к решению вопросов о механизме реакции, подборе синтезе катализаторов, об определении оптимальной структуры и размеров зерен катализатора, о выборе оптимальных условий технологического режима и т. д.

Однако несмотря на значительные успехи в развитии макрокинетики, достигнутые за последние годы, в основном, благодаря исследованиям советских ученых [1—10], в большинстве работ по кинетике гетерогенно-каталитических реакций не уделяется должного внимания выяснению роли диффузионных и адсорбционных факторов.

В настоящей статье рассматривается теория одного из методов исследования кинетики гетерогенно-каталитических процессов с целью выяснения роли диффузионных, адсорбционных и химических явлений общей скорости процесса. В дальнейшем применение предлагаемых представлений будет рассмотрено на примере процесса конверсии окиси углерода.

Из описанных в литературе методов исследования кинетики гетерогенно-каталитических процессов наибольшее распространение получили следующие:

1. Проточно-динамический метод. Газовая смесь пропускается через трубку, заполненную брикетами катализатора определенной формы.
2. Метод отдельной гранулы [8]. Газовая смесь омывает отдельную гранулу катализатора.
3. Метод диафрагм [7]. Катализатор запрессовывается в реакционную трубку в виде пористой диафрагмы, омываемой с обеих сторон газовыми смесями определенного состава.
4. Метод гильз [10]. На две цилиндрической гильзы запрессовывается слой катализатора. Катализатор омывается газовой смесью с открытого конца гильзы.
5. Метод капилляра [11, 12]. Катализатор запрессовывается в реакционную трубку в виде толстостенного капилляра, по внутреннему отверстию которого течет газовая смесь.

Учитывая, что все перечисленные методы в теории расчета имеют много общего, мы рассмотрим здесь подробно расчет процесса лишь в методе капилляра.

Для учета влияния процессов переноса вещества на скорость реакции достаточно знать порядок реакции, не раскрывая механизма, по которому течет реакция на поверхности. Однако константа скорости реакции на поверхности и ее математическое выражение будут определяться механизмом процесса. В качестве примера рассмотрим частный случай, когда реакция на поверхности протекает через стадии адсорбции, химического взаимодействия в адсорбированном состоянии и десорбции.

Пусть мономолекулярная обратимая реакция типа $A \rightleftharpoons B$ протекает на пористом катализаторе в виде полого цилиндрического стержня, по внутреннему каналу которого течет реакционная смесь.

Молекулы вещества A диффундируют из ядра газового потока к омываемой поверхности катализатора, небольшая часть их реагирует на

внешней поверхности, основная часть диффундирует внутрь катализатора и адсорбируется на внутренней поверхности.

Адсорбированные молекулы A превращаются в B , десорбируются в газовую фазу пор катализатора и диффундируют к наружной поверхности катализатора и затем, через ламинарный подслои, — в ядро газового потока.

Каждый из этих процессов описывается определенным уравнением. Эти уравнения можно получить из условий баланса A и B в элементарном объеме от l до $l + dl$

от r до $r + dr$ (см. рисунок). Примем следующие обозначения:

c_i и c_{is} — концентрации реагента в ядре потока и на границе омываемого газом поверхности контакта; a_i — концентрация газа в единице объема катализатора; Γ_i — количество адсорбированного реагента на поверхности в единице объема катализатора; b_i — константа скорости внешней диффузии; D_i^* — эффективный коэффициент диффузии внутри пористого катализатора; n_i и m_i — константы скорости адсорбции и десорбции, отнесенные к единице объема катализатора; k_1 и k_2 — константы скорости прямой и обратной химической реакции, протекающей на поверхности катализатора, отнесенные к единице объема катализатора; w — скорость реакции в единице объема катализатора; v — линейная скорость газового потока; R_1 и R_2 — внутренний и внешний радиусы полого цилиндра; l и r — текущие координаты по длине и радиусу слоя контакта.

► Индексы $i = 1$ и $i = 2$ относятся соответственно к исходному веществу A и продукту реакции B .

Будем рассматривать случай адсорбции компонентов на однородной поверхности при малых заполнениях и при постоянной температуре.

Принимая, что реагируют только адсорбированные молекулы, коэффициенты диффузии не зависят от состава газа, можем написать

систему уравнений, характеризующих процесс, в следующей форме.

Подвод реагентов к внешней поверхности:

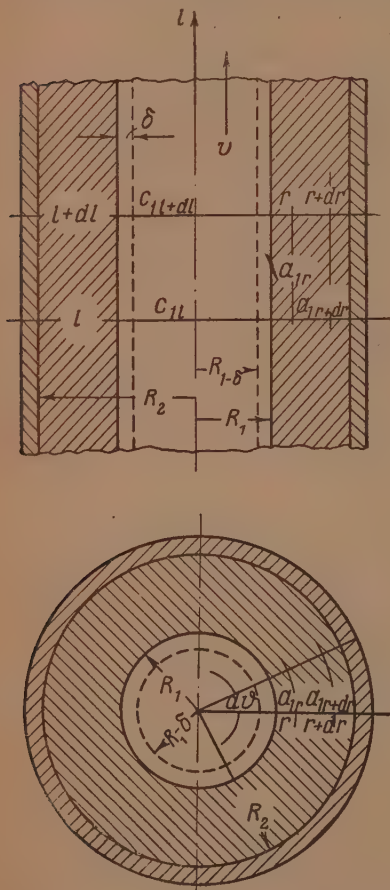
$$-\frac{R_1}{2} v \frac{dc_i}{dl} = b_i(c_i - c_{is}) \quad (1)$$

и

$$R_1 b_i(c_i - c_{is}) = \int_{R_1}^{R_2} w r dr. \quad (2)$$

Внутренняя диффузия компонентов

$$D_i^* \left(\frac{d^2 a_i}{dr^2} + \frac{1}{r} \frac{da_i}{dr} \right) - \dot{w} = 0. \quad (3)$$



Адсорбция и десорбция компонентов

$$w = n_i a_i - m_i \Gamma_i. \quad (4)$$

Химическая реакция на поверхности

$$w = k_1 \Gamma_1 - k_2 \Gamma_2. \quad (5)$$

Уравнение баланса

$$c_1 + c_2 = c_{10} + c_{20}. \quad (6)$$

Решение системы должно удовлетворять следующим граничным условиям:

$$a) \quad l = 0, \quad c_i = c_{i0}; \quad l = \infty; \quad c_i = c_{ip};$$

$$b) \quad r = R_1; \quad c_{is} = a_{is}; \quad r = R_2; \quad \frac{da_i}{dr} = 0.$$

Решая систему уравнений (4) и (5), найдем

$$w = \frac{n_1 k_1 m_2}{m_1 m_2 + k_1 m_2 + k_2 m_1} a_1 - \frac{n_2 k_2 m_1}{m_1 m_2 + k_1 m_2 + k_2 m_1} a_2. \quad (7)$$

По аналогии с классической кинетикой множители перед концентрациями можно назвать константами скорости прямой и обратной реакций на поверхности:

$$\frac{1}{N_1} = \frac{1}{n_1} + \frac{K_p}{n_2} + \frac{1}{k_1 H_1} \quad (8)$$

$$\frac{1}{N_2} = \frac{1}{n_2} + \frac{K_p}{n_1} + \frac{1}{k_2 H_2}, \quad (8a)$$

где $K_p = \frac{n_2 k_2 m_1}{n_1 k_1 m_2} = \frac{k_2 H_2}{k_1 H_1} = \frac{N_2}{N_1}$ — константа равновесия реакции, а $I_1 = \frac{n_1}{m_1}$ и $H_2 = \frac{n_2}{m_2}$ — коэффициенты адсорбции Генри. Из (3) с учетом граничных условий следует

$$D_1^* a_1 + D_2^* a_2 = D_1^* c_{1s} + D_2^* c_{2s} = \text{const}. \quad (9)$$

с учетом (7) и (9) уравнение (3) можно записать в форме:

$$\frac{d^2 w}{dr^2} + \frac{1}{r} \frac{dw}{dr} - \frac{N_1}{D_1^*} \left(1 + K_p \frac{D_1^*}{D_2^*} \right) w = 0. \quad (10)$$

Интегрируя (10) с учетом граничного условия (б), получим

$$w = N_1 \left[\left(1 + K_p \frac{b_1}{b_2} \right) c_{1s} + K_p \left(1 - \frac{b_1}{b_2} \right) c_1 - K_p (c_{10} + c_{20}) \right] \times \\ \times \frac{K_1(p_1 R_2) I_0(p_1 r) + I_1(p_1 R_2) K_0(p_1 r)}{K_1(p_1 R_2) I_0(p_1 R_1) + I_1(p_1 R_2) K_0(p_1 R_1)}, \quad (11)$$

де

$$p_1 = \sqrt{\frac{N_1}{D_1^*} \left(1 + K_p \frac{D_1^*}{D_2^*} \right)}, \quad (12)$$

$I_0(p_1 r)$, $K_0(p_1 r)$, $I_1(p_1 r)$, $K_1(p_1 r)$ — модифицированные функции Бесселя первого и второго рода нулевого и первого порядков.

Из (11), (1) и (2) уравнений после ряда алгебраических преобразований и интегрирования находим

$$-\ln \left[c_1 - \frac{K_p}{1 + K_p} (c_{10} + c_{20}) \right] = \\ = \frac{2}{R_1} \frac{l}{v} \frac{1 + K_p}{1 + K_p \frac{b_1}{b_2} + \frac{p_1}{N_1} \Phi(p_1 R)} + \text{const};$$

откуда, с учетом граничного условия а), следует, что $\text{const} = 0$, а K_p представляет собой константу равновесия реакции:

$$A \rightleftharpoons B;$$

следовательно:

$$\ln \frac{c_{10} - c_{1p}}{c_1 - c_{1p}} = K\tau, \quad (1)$$

где $\tau = l/v$ — время соприкосновения газа с катализатором, а

$$K = \frac{2}{R_1} \frac{1 + K_p}{1 + K_p \frac{b_1}{b_2} + \frac{p_1}{N_1} \Phi(p_1 R)} \quad (1)$$

и

$$\Phi(p_1 R) = \frac{I_0(p_1 R_1) K_1(p_1 R_2) + I_1(p_1 R_2) K_0(p_1 R_1)}{I_1(p_1 R_2) K_1(p_1 R_1) - I_1(p_1 R_1) K_1(p_1 R_2)}. \quad (1)$$

K можно назвать константой скорости процесса в отличие от константы скорости на поверхности N_1 и константы скорости химического взаимодействия k_1 .

Анализируя уравнение (14), можем сделать следующие выводы. При низких температурах и малой активности катализатора, когда N_1 очень мало и $D_1^* \gg N_1$, функция Φ будет равна

$$\Phi(p_1 R) = \frac{2R_1}{p_1(R_2^2 - R_1^2)}.$$

Тогда первым слагаемым знаменателя в (14) можно пренебречь, и уравнение (13) примет вид:

$$\ln \frac{c_{10} - c_{1p}}{c_1 - c_{1p}} = \frac{N_1}{v_{\text{объемн}}} \pi (R_2^2 - R_1^2) l (1 + K_p), \quad (1)$$

т. е. скорость процесса в этих условиях будет прямо пропорциональна объему катализатора и константе скорости на поверхности. Процесс протекает во внутренней кинетической области с энергией активации соответствующей температурной зависимости N_1 .

В случае средних значений p_1 , порядка 10, и не слишком малых значений R_1 , значение функции $\Phi(p_1 R)$ близко к единице. Если первое слагаемое знаменателя в (14) будет мало по сравнению со вторым, уравнение принимает вид:

$$K = \frac{2}{R_1} (1 + K_p) \sqrt{\frac{D_1^* N_1}{1 + K_p \frac{D_1^*}{D_1^*}}} \cdot \frac{1}{\Phi(p_1 R)}. \quad (1)$$

Значение $\Phi(p_1 R)$ существенно меняется с изменением температуры при не очень больших величинах R_2 . Температурная зависимость будет определяться зависимостью $\sqrt{D_1^* N_1}$ и $\Phi(p_1 R)$ от температуры. Энергия активации процесса в целом будет функцией температуры. Область Зельдовича [2] в реальном процессе никогда не наблюдается даже при отсутствии внешнеллиффузионного торможения. Лишь в случае очень малых значений D_1^* и больших значений p_1 и R_2 , когда $\Phi(p_1 R) = 1$, можно наблюдать область Зельдовича, как это было показано С. И. Порежским [5] и Г. К. Боресковым [4].

При высоких температурах, когда N_1 велико, второе слагаемое знаменателя в уравнении (14) может быть мало по сравнению с первым. Тогда

$$K = \frac{2}{R_1} \frac{1 + K_p}{1 + K_p \frac{b_1}{b_2}} b_1, \quad (18)$$

скорость процесса будет определяться скоростью внешней диффузии. При изменении температуры имеет место переход из одной кинетической области в другую. Он происходит непрерывно, и, следовательно, энергия активации процесса будет непрерывно меняться с изменением температуры от значения, соответствующего энергии активации в кинетической области, до значения, соответствующего температурному коэффициенту b_1 , в согласии с выводами С. Я. Пшежецкого и Г. К. Борескова [4].

Рассмотрим возможность определения некоторых физико-химических констант из кинетических опытных данных.

Из (8), (12) и (14) следует

$$K = f(K_p, N_1, q_1, q_2, R_2),$$

$$q_1 = \frac{1}{D_1^*} + K_p \frac{1}{D_2^*} \quad \text{и} \quad q_2 = \frac{1}{b_1} + K_p \frac{1}{b_2}.$$

Значения константы равновесия K_p могут быть рассчитаны на термодинамических данных. Тогда

$$K = f(N_1, q_1, q_2, R_2).$$

Следовательно, принципиально возможно из опытных значений K , при различных значениях R_2 , определить N_1 , q_1 и q_2 . Для этого надо иметь значения констант K при трех значениях R_2 при одинаковых прочих условиях.

Определить значения констант скоростей химической реакции k_1 и констант скоростей адсорбции и эффективные коэффициенты диффузии кинетических опытных данных без каких-либо дополнительных условий не представляется возможным.

Значение константы скорости реакции на поверхности N_1 удобно было бы определить из опытных данных для кинетической области по уравнению (16). Но так как кинетическая область практически не реализуема [6], то N_1 следует определять из уравнения (14).

Определив K из опытов при трех значениях R_2 , при одинаковых прочих условиях, получим три уравнения типа (14) с различными значениями K и функции $\Phi(p_1 R)$. Решение системы уравнений дает

$$\frac{\frac{1}{K'} - \frac{1}{K''}}{\frac{1}{K'} - \frac{1}{K''}} = \frac{\Phi'(p_1 R) - \Phi''(p_1 R)}{\Phi'(p_1 R) - \Phi'''(p_1 R)}. \quad (19)$$

Уравнение (19) можно решить графически, вычертив зависимость правой части равенства (19) от p_1 .

Найдя значение p_1 , из выражения

$$\frac{2}{R_1} \left(\frac{1}{K'} - \frac{1}{K''} \right) = \frac{p_1}{N_1} \frac{1}{1 + K_p},$$

можно определить N_1 .

Зная p_1 и N_1 из (12) и (14), можем найти q_1 и q_2 . В случаях, когда известны значения коэффициентов диффузии одного из компонентов или

отношения D_1^*/D_2^* и b_1/b_2 , из опытных данных можно определить коэффициенты D_1^* , D_2^* и b_1 , b_2 .

Вид уравнений (13) и (14) определяется лишь порядком реакции и не зависит от предполагаемого механизма. Однако выражение для N_1 [уравнение (8)] в зависимости от механизма протекания реакции на поверхности может быть различным. В связи с этим определенно из кинетических опытных данных значение N_1 не позволяет раскрыть механизм реакции на поверхности. Для решения последнего вопроса необходимы дополнительные опыты, характер которых определяется спецификой реакции.

ВЫВОДЫ

1. Рассмотрен метод определения константы скорости реакции на поверхности и эффективного коэффициента диффузии внутри пористого катализатора из кинетических опытных данных для мономолекулярной обратимой реакции, протекающей на катализаторе в виде полого цилиндрического стержня, по внутреннему каналу которого течет реакционная смесь.

2. Показано, что для нахождения константы скорости реакции на поверхности необходимы кинетические опытные данные на трех каталитических трубках с различными толщинами стенки катализатора.

3. Показано, что для определения эффективных коэффициентов диффузии внутри пористого катализатора из кинетических данных необходимо знать или значение коэффициентов диффузии для одного из компонентов, или их отношение.

Химико-технологический институт
Иваново

Поступила
14. VII. 1954

ЛИТЕРАТУРА

1. Д. А. Франк-Каменецкий, Диффузия и теплопередача в химической кинетике, Изд-во АН СССР, М.—Л., 1947.
2. Я. Б. Зельдович, Журн. физ. химии, 13, 163, 1939.
3. С. Я. Пшежецкий и Р. Н. Рубинштейн, Журн. физ. химии, 20, 1127, 1421, 1946; 21, 449, 1947.
4. Г. К. Боресков, Проблемы кинетики и катализа, т. 6, 426, 1949.
5. С. Я. Пшежецкий, Журн. физ. химии, 19, 376, 1945; 21, 1019, 1947.
6. В. А. Ройтер, Изв. АН СССР, ОХН, 576, 1950.
7. В. А. Ройтер, Г. П. Корнейчук, М. Г. Леперсон, Н. А. Стукановская и В. И. Толчина, Журн. физ. химии, 24, 459, 1950.
8. М. Г. Русов, О. А. Стрельцов и П. В. Шевзнер, Труды Всесоюзного совещания по катализу, Киев, 1950, стр. 164.
9. E. W. Thiele, Ind. Eng. Chem., 31, 916, 1939.
10. E. Wicke u. W. Brotz, Chem.-Eng. Technik, 21, 219, 1949.
11. Л. А. Вулис, Исследование процессов горения натурального топлива, Госэнергоиздат, М.—Л., 1948, стр. 132.
12. Б. И. Попов, Исследование роли процессов переноса вещества в реакции конверсии окиси углерода, Диссертация, ИХТИ, 1951.

НЕКОТОРЫЕ ВОПРОСЫ АМАЛЬГАМНОЙ ПОЛЯРОГРАФИИ

А. И. Зебрева, М. Т. Козловский и С. П. Бухман

За последние годы появился ряд подробных исследований в области амальгамной полярографии [1—6], в которых изучался процесс анодного окисления амальгамы.

Анодные волны амальгам возникают вследствие окисления находящегося в ртути металла: теряя электроны, атомы металла превращаются в ионы, переходящие в раствор. Сила возникающих при этом предельных токов обусловлена скоростью диффузии атомов металла в амальгаме, а токи, в основном, подчиняются уравнению Ильковича, выведенному для обычных полярографических волн, — $I_d = 605 n D^{1/2} m^{2/3} t^{1/6} c$, с той лишь разницей, что D здесь коэффициент диффузии атомов металла в амальгаме, а не ионов в растворе.

В одной из ранее опубликованных работ [7] нами изучалось полярографирование солей различных металлов на капельных амальгамных электродах, причем тогда основное внимание мы уделяли катодному процессу восстановления ионов металла и установили в некоторых случаях сдвиги потенциала полуволны при полярографировании ионов металлов, более электроотрицательных, нежели металл амальгамы. Эти сдвиги мы объяснили образованием интерметаллических соединений. При полярографировании же ионов металлов, более электроположительных, нежели металл амальгамы, также наблюдались сдвиги потенциала полуволны, объясняемые в этом случае процессом цементации находящегося в растворе металла на капельном амальгамном электроде.

Настоящая работа является продолжением этих исследований и посвящена изучению анодных волн окисления амальгам. Целью этих исследований являлось: 1) выяснение влияния концентрации металла в амальгаме на потенциал анодной полуволны и 2) выяснение влияния состава амальгамы на анодные волны окисления металлов амальгамы, в частности выяснение влияния ионов более электроположительных металлов, нежели металл амальгамы.

Снятие полярограмм проводилось при помощи полярографа системы Г. Гринмана (полярограф изготовлен экспериментальными мастерскими Института энергетики АН КазССР). Сила тока измерялась зеркальным гальванометром типа М-21 с чувствительностью, равной $\sim 1 \cdot 10^{-9}$ А/мм отклонения зеркала 135 см от шкалы гальванометра).

Прежде всего было проведено полярографическое исследование цинковых амальгам в интервале концентраций от 1,5 до 15 м-моль цинка на грамм ртути.

Амальгамы готовились путем электролиза растворов сульфата цинка с ртутным анодом в специальном электролизере с разделенными цelloфановой диафрагмой катодной и анодной пространствами (при приготовлении амальгам меди и кадмия также менялись растворы сульфатов, а при приготовлении свинцовых амальгам — раствор хлорида свинца в 1 М растворе хлорида натрия). Электролиз проводился до полного выделения цинка из раствора. Содержание цинка в амальгаме вычислялось по количеству взятого для электролиза сульфата цинка. Готовые амальгамы переносились на поверхность капельного электрода (объем груши — 6 мл). Вся работа проводилась в атмосфере водорода, что позволяло быть уверенным в сохранении постоянства концентрации амальгамы. Характеристика капилляра снималась для каждой концентрации цинка в амальгаме после снятия полярограмм при потенциалах, соответствующих потенциалам полуволны.

Таблица 1

Зависимость потенциала полувоины от концентрации цинка в амальгаме
Фон — 0,1 N NaCl в присутствии 0,01% желатины; $t = 17^\circ\text{C}$

Концентрация цинка в амальгаме м-моль/л Hg	$E_{1/2}$ н. к. э. с поправкой на омическое сопро- тивление	$\frac{\Delta E}{\lg \frac{i_d - i}{i}}$	$m^{1/2} s^{1/2}$	$D, \text{ см}^2/\text{сек.}$ $\times 10^6$
1,5	-0,98	-0,031	3,56	14,8
3,0	-0,91	-0,086	3,50	14,6
6,1	-0,84	-0,149	3,46	14,7
9,2	-0,79	-0,172	3,50	14,7
12,2	-0,77	-0,196	3,40	14,9
15,3	-0,75	-0,228	3,28	14,7

Результаты снятия анодных полярограмм амальгам цинка с различным содержанием металла в амальгаме представлены в табл. 1.

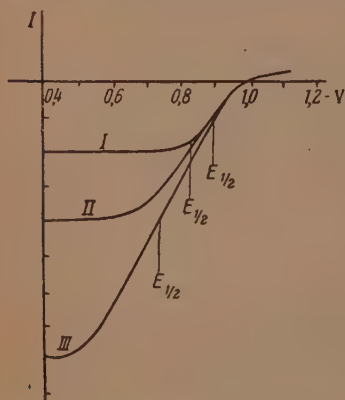


Рис. 1. Влияние концентрации цинка в амальгаме на потенциал полувоины ее анодного окисления: полярограммы анодного окисления амальгам цинка, содержащих: I—3 м-моль Zn/л Hg; II—6,1 м-моль Zn/л Hg; III—12,2 м-моль Zn/л Hg; фон — 0,1 N NaCl

Как видно из таблицы, в интервал концентраций цинка от 1,5 до 15 м-моль/л Hg разница в потенциалах полувоин достигает 0,23 V. При концентрации цинка в амальгаме свыше 50 м-моль/л смещение потенциала полувоины достигает таких размеров, что анодная волна цинка сливается с волной окисления ртути и предельных токов окисления цинковой амальгамы не наблюдается совсем.

По мере увеличения концентрации цинка в амальгаме волна становится все более и более растянутой (рис. 1), вследствие чего увеличивается также и значение углового коэффициента, $\Delta E / \lg \frac{i_d - i}{i}$

что, как известно, служит характеристикой необратимости процесса.

Сильный сдвиг потенциалов полувоины с изменением концентрации металла в амальгаме наблюдался нами лишь в случае цинковых амальгам. Опыты, проведенные с кадмиевыми, свинцовыми, медными амальгамами, показали, что с увеличением концентрации этих металлов

в амальгаме потенциалы полувоины, если внести поправку на омическое сопротивление, практически почти не изменяются и мало отличаются от соответствующих потенциалов восстановления ионов этих металлов в ртутном катоде (табл. 2).

Значительный сдвиг потенциала полувоины в сторону положительных значений с увеличением концентрации цинка в амальгаме может быть объяснен протеканием какого-то одновременно идущего противоположного направленного процесса. Таким побочным процессом, в частности, может являться процесс непосредственного растворения частиц цинка за счет взаимодействия его с ионами водорода (процесс вытеснения — «цементации» — водорода цинком*). В результате этого предельный ток окисл

* Обычно применяемый в литературе термин «саморастворение» мы считаем неудачным, так как он отражает лишь одну сторону явления — анодный процесс — затухивает одновременное протекание катодного процесса.

амальгамы цинка достигается лишь тогда, когда процесс вытеснения водорода (или соответственно какой-либо другой катодный процесс) будет возможен вовсе, либо будет сведен к какому-то постоянному минимуму. Чем больше цинка в амальгаме, тем большие его количества (при одних и тех же потенциалах) могут уходить из амальгамы без регистрации кулонометром, и, следовательно, тем более положительный потенциал необходим для достижения предельного тока.

Таблица 2

Зависимость потенциала полувольты анодного окисления от концентрации металла в амальгаме

Металлы	Концентрация металла в амальгаме м-моль/л	$E_{1/2}$ анодного окисления н. к. э.	Фон	$E_{1/2}$ катодного восстановления н. к. э.
Цинк	7,9	0,06	0,1 N NaNO_3	0,04
»	15,7	0,04	То же	—
Свинец	3,9	-0,37	0,1 N NaCl	-0,39
»	7,7	-0,37	То же	—
Серебро	3,5	-0,59	» »	-0,59
»	8,0	-0,58	» »	—
»	15,0	-0,56	» »	—

То, что побочный процесс непосредственного взаимодействия атомов цинка с раствором (повидимому, с ионами водорода) действительно имеет место, было установлено нами кулонометрическими измерениями при анодном разложении цинковых амальгам.

Анодное разложение цинковых амальгам проводилось в электролизере с раздельными целлофановой перегородкой анодным и катодным пространствами. Электроды соединялись через анолит, пропускался водород с целью удаления растворенного в анолите кислорода воздуха. В качестве анолита применялся 0,1 M раствор гидроксида натрия, подкисленный 1—2 каплями 1 M HCl . Электролиз проводился при перемешивании при помощи мешалки с постоянным затвором с постоянным числом оборотов, равным 468 об./мин. Кулонометр измерялся газовый.

Таблица 3

Выход цинка по току при анодном окислении цинковых амальгам

Концентрация цинка в амальгаме м-моль/л Hg	Плотность тока А/см ²	Выход цинка по току в %
46	$2 \cdot 10^{-3}$	120
92	$2 \cdot 10^{-3}$	142
92	$8 \cdot 10^{-3}$	137
115	$7 \cdot 10^{-3}$	157
138	$2 \cdot 10^{-3}$	193
460	$3 \cdot 10^{-3}$	197

Результаты измерений приведены в табл. 3.

Как видно из табл. 3, часть цинка выделяется из амальгамы, не контролируясь кулонометром, в результате чего выход цинка из амальгамы по току иногда достигает почти 200%. При этом с увеличением концентрации цинка в амальгаме взаимодействие цинка с ионами водорода происходит в большей степени. Процесс этот сопровождается увеличением рН раствора и часто выпадением осадка гидроксида цинка. Совершенно естественно, что если при потенциалах анодного предельного тока этот побочный процесс не уничтожается совсем, а лишь сводится к определенному постоянному минимуму, то он будет сказываться и на величине предельного тока, регистрируемого гальванометром, а следовательно, и на величине коэффициента диффузии, вычисленного по уравнению Левинсона.

Зависимость коэффициента диффузии атомов металла в амальгаме вычисленного по уравнению Ильковича, от состава электролита, омывающего амальгаму, была установлена в работе [5]. Такого рода зависимость казалась совершенно непонятной и отвергалась другими исследователями в частности А. Г. Стромбергом [1]. Тем не менее, если из экспериментальных данных А. Г. Стромберга рассчитать по уравнению Ильковича величину коэффициента диффузии, то, как видно из табл. 4, его данные также указывают на подобного рода зависимость.

Таблица 4

Зависимость рассчитанной величины коэффициента диффузии от состава электролита по данным А. Г. Стромберга и А. И. Зеланской [1]

Цинк			Кадмий		
Электролит	КДТ*	Коэфф. диффузии см ² /сек. × 10 ⁶	Электролит	КДТ*	Коэфф. диффузии см ² /сек. × 10 ⁶
1,0 M KCl	4,9	16,4	1,0 M KNO ₃	5,7	22,2
0,2 M Na ₂ HPO ₄	4,4	13,3	1,0 M KI	5,5	20,7
1,0 M NH ₄ OH + + 0,1 M NH ₄ Cl	4,6	14,4	1,0 M NH ₄ OH + + 0,1 M NH ₄ Cl	5,4	19,9
1,0 M (NH ₄) ₂ CO ₃	4,6	14,4	0,1 M NaOH	5,3	19,1
0,5 M NaNO ₃	5,1	17,8			
1,0 M Na ₂ CO ₃	4,6	14,4			

* КДТ — константа диффузионного тока = $I_d/m^{2/3}t^{1/3}/c$.

По нашему мнению, влияние состава фона на величину предельного анодного тока в действительности объясняется не изменением коэффициента диффузии, а непосредственным взаимодействием атомов цинка с ионами водорода или с другими компонентами раствора. Поскольку интенсивность этого взаимодействия будет большей или меньшей в зависимости от состава «индифферентного» электролита, постольку предельный ток анодного окисления цинковых амальгам будет зависеть от характера электролита, омывающего амальгаму.

Процесс непосредственного взаимодействия атомов металла амальгамы с ионами водорода и, возможно, следами кислорода, особенно характерен для амальгам наиболее электроотрицательных металлов. Так, например, анодное окисление амальгамы натрия всегда сопровождается значительным выделением водорода. Это вызывает настолько сильное смещение потенциала полуволны анодного окисления в сторону положительных значений, что получение анодных волн натриевых амальгам становится невозможным. Интенсивно проходит этот процесс также в случае цинковых амальгам. Более электроположительные металлы в меньшей степени взаимодействуют с ионами водорода, но и в этих случаях возможность непосредственного растворения некоторой части металла за счет взаимодействия его с ионами водорода не может быть исключена совсем.

Если на электродах протекает одновременно несколько процессов, гальванометр регистрирует лишь результирующий ток, проходящий по цепи. Поэтому величина силы тока, обусловленная анодным окислением растворенного в ртути металла (или катодным восстановлением находящихся в растворе ионов), будет меньше на величину силы тока, обусловленного любым одновременно идущим и противоположно направленным

процессом. Для анодных токов таким противоположно направленным процессом является процесс восстановления ионов и молекул, находящихся в растворе; для катодных токов — процесс окисления металла растворенного в ртути.

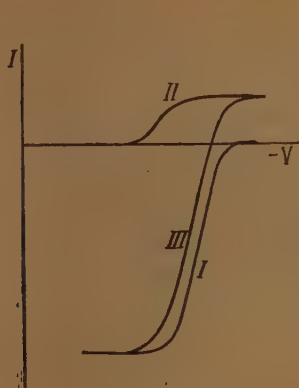


Рис. 2. Полярограммы при одновременном протекании катодного и анодного процессов при близких значениях потенциалов полуволны для катодного и анодного процессов. *I* — анодная волна, *II* — катодная волна, *III* — результирующая волна

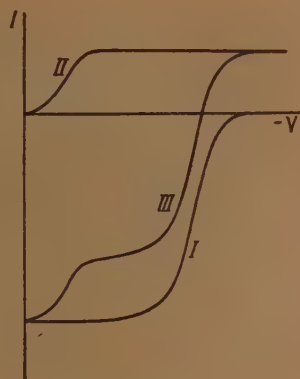


Рис. 3. Полярограммы при одновременном протекании катодного и анодного процессов при большой разности потенциалов полуволны для катодного и анодного процессов. *I* — анодная волна, *II* — катодная волна, *III* — результирующая волна

Влияние противоположно направленного тока может быть различным в зависимости от разности потенциала полуволны металла, находящегося в амальгаме, и потенциала полуволны ионов, присутствующих в растворе. Если потенциалы анодной и катодной волн мало отличаются друг от друга, то при потенциалах, при которых наблюдается предельный анодный ток окисления амальгамы, катодный ток восстановления ионов из раствора имеет место, но не достигает еще предельных значений, то наличие более электроположительных, нежели металл амальгамы, ионов в растворе будет называться лишь на потенциале полуволны, вызывая его смещение в сторону положительных значений. Это хорошо видно из рис. 2, где кривая *III* получена путем вычитания катодного тока, выраженного кривой *II*, из величины анодного тока (кривая *I*).

Для случая катодных волн смещение потенциала, вызванное одновременно идущим процессом окисления металла амальгамы, направлено в сторону отрицательных значений.

Если же потенциалы полуволн настолько различны, что при достижении предельного тока окисления металла амальгамы возможен еще предельный ток восстановления ионов из раствора, то наблюдающийся суммарный ток будет равен разности предельного тока восстановления и предельного тока окисления. При этом, если концентрация окисляющихся ионов металла в амальгаме и ионов в растворе такова, что сила предельного тока окисления больше силы предельного тока восстановления, то будет наблюдаться анодный ток, в противном случае — катодный. Одновременно будет наблюдаться также смещение потенциала полуволны: в случае анодной волны — в сторону положительных значений, в случае катодной волны — отрицательных. На рис. 3 кривая *III* получена вычитанием катодного тока из величины анодного тока. Как видно из рисунка, при смещении потенциала в сторону положительных значений до исчезно-

вения катодного тока на анодной волне должна наблюдаться вторая волна соответствующая катодной волне.

Эти положения также были проверены экспериментально. Нами бы.

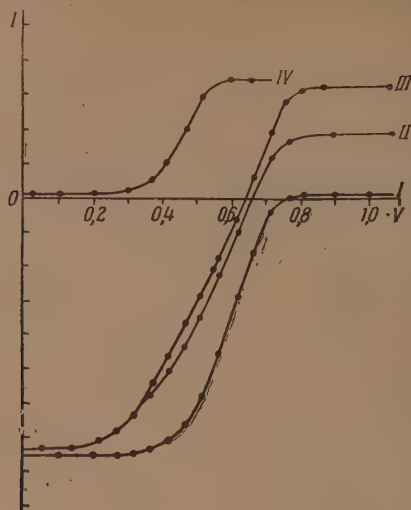


Рис. 4. Полярограммы, полученные с амальгамой кадмия: (5 м-моль Cd/л Hg). I — окисление амальгамы кадмия на фоне 0,5 N KNO₃; II и III — анодное окисление амальгамы кадмия в присутствии нитрата таллия (II — 3 м-моль TlNO₃/л; III — 6 м-моль TlNO₃/л); IV — полярограмма нитрата таллия (6 м-моль/л) на Hg катоде

проведено полярографирование кадмиевых и цинковых амальгам в растворах, содержащих добавки солей более электроположительных металлов, нежели металлы амальгамы.

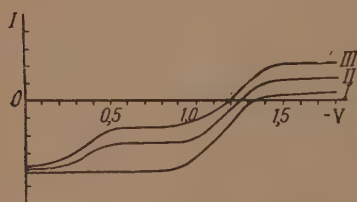


Рис. 5. Полярограммы, полученные с амальгамой цинка на тартратном фоне: I — анодное окисление цинковой амальгамы; II и III — полярограммы анодного окисления той же амальгамы на том же фоне после добавки к нему соли таллия (II — 6,75 м-моль Tl/л, III — 13,5 м-моль Tl/л)

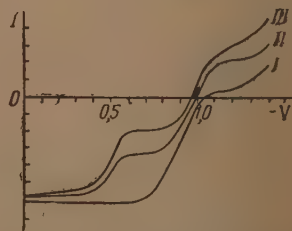


Рис. 6. Полярограммы, полученные с амальгамой цинка (19,2 м-моль Zn/л Hg) на фоне 19,2 м-моль Zn/л Hg: I — полярограмма анодного окисления цинковой амальгамы; II и III — полярограммы анодного окисления той же амальгамы на том же фоне после добавки к последнему солей кадмия (II — 12,5 м-моль Cd⁺⁺/л; III — 18,7 м-моль Cd⁺⁺/л)

На рис. 4 приведены кривые, полученные при снятии анодных волн окисления кадмия (5 м-моль Cd/л Hg) на фоне 0,1 N KNO₃ (кривая I)

а том же фоне, содержащем добавки нитрата таллия (кривая *II* — 3,0 м-моль $TlNO_3/l$, кривая *III* — 6,0 м-моль $TlNO_3/l$).

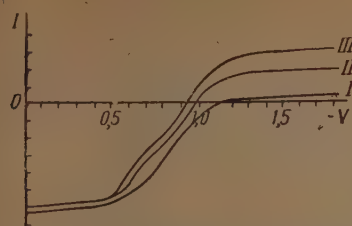


Рис. 7. Полярограммы, полученные с амальгамой цинка (19,2 м-моль Zn/l Hg) на фоне $1N$ $NH_4OH + 1N$ NH_4Cl : *I* — полярограмма анодного окисления цинковой амальгамы; *II* и *III* — полярограммы анодного окисления той же амальгамы на том же фоне после добавки к последнему солей кадмия (*II* — 12,5-м-моль Cd^{2+}/l ; *III* — 18,7 м-моль Cd^{2+}/l)

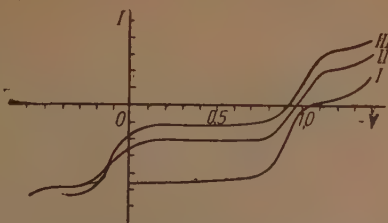


Рис. 8. Полярограммы, полученные с амальгамой цинка (19,2 м-моль Zn/l Hg) на фоне $1N$ HCl : *I* — полярограмма анодного окисления амальгамы цинка; *II* и *III* — полярограммы анодного окисления той же амальгамы на том же фоне после добавки к последнему солей меди (*II* — 19,7 м-моль Cu^{2+}/l ; *III* — 28,5 м-моль Cu^{2+}/l)

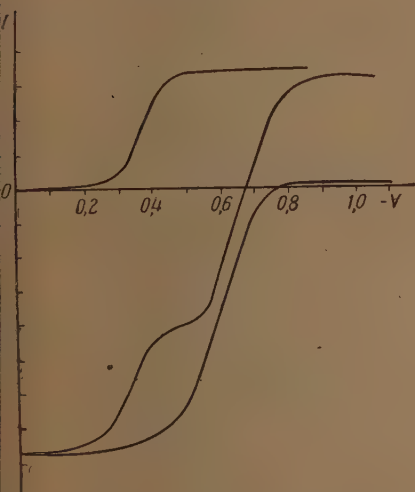


Рис. 9. Полярограммы, полученные с амальгамой кадмия (5 м-моль Cd/l Hg) на фоне $0,5N$ $NaCl$: *I* — полярограмма анодного окисления амальгамы кадмия; *II* — полярограмма 3 м-моль Pb^{2+}/l , полученная с ртутным капельным электродом; *III* — полярограмма анодного окисления той же амальгамы на том же фоне после добавки к последнему соли свинца (3 м-моль Pb^{2+}/l)

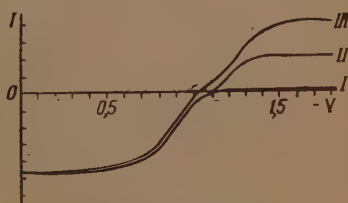


Рис. 10. Полярограммы анодного окисления цинковой амальгамы (19,2 м-моль Zn/l Hg) на фоне $1N$ $NH_4OH + 1N$ NH_4Cl : *I* — полярограмма анодного окисления амальгамы цинка; *II* и *III* — полярограммы анодного окисления той же амальгамы на том же фоне после добавления к последнему солей никеля (*II* — 12,7 м-моль Ni^{2+}/l ; *III* — 25,5 м-моль Ni^{2+}/l)

Потенциалы полуволи Tl и Cd различаются всего лишь на 0,1 V, и од кривых, как видим, хорошо соответствует ходу кривой *III* на рис. 2.

На рис. 5—8 представлены экспериментально полученные полярографические кривые для цинковой амальгамы на различных фонах, содержащих различные количества солей таллия, кадмия и меди. На рис. 9 представлена полярограмма, полученная для кадмиевой амальгамы на фоне хлорида натрия в присутствии различных количеств солей свинца.

Все эти экспериментально полученные кривые представляют различные варианты того случая, когда потенциалы полуволны настолько разнятся между собою, что при достижении предельных токов анодного окисления металла амальгамы возможен еще катодный предельный ток. Они в достаточной степени соответствуют ходу результирующей кривой III на рис. 3.

На рис. 10 представлена полярограмма для анодного окисления амальгамы цинка на фоне, содержащем соли никеля. В этом случае присутствие никеля не вызывает никаких изменений в ходе кривой анодного окисления цинка, поскольку потенциал восстановления никеля на ртутной катодной более отрицателен, нежели потенциал окисления цинка.

Из изложенного следует, что в тех случаях, когда при потенциалах предельного тока наряду с основным процессом окисления металла амальгамы или восстановления ионов из раствора возможен какой-либо процесс, дающий противоположно направленный ток, предельный ток, регистрируемый гальванометром, не будет равен предельному диффузионному току. Отсюда следует, что в этих случаях и коэффициент диффузии, вычисленный по уравнению Ильковича, не будет истинным коэффициентом диффузии атомов металла в амальгаме или ионов в растворе.

ВЫВОДЫ

1. Показано, что потенциал полуволны анодного окисления цинковой амальгамы с увеличением концентрации цинка в амальгаме смещается в сторону положительных значений.

2. Высказано предположение, что это смещение потенциала полуволны обусловлено одновременно протекающим процессом взаимодействия цинка, находящегося в амальгаме, с раствором, в частности с ионами водорода.

3. Экспериментально показано, что процесс анодного растворения амальгамы цинка проходит с выходом по току, значительно превышающим 100%, что свидетельствует о протекании параллельно с анодным процессом растворения цинка процесса взаимодействия цинка с раствором.

4. Показано влияние параллельно протекающих процессов взаимодействия амальгамы с раствором на ход полярографических кривых.

5. Дано объяснение наблюдавшейся некоторыми авторами зависимости вычисленного по уравнению Ильковича коэффициента диффузии атомов металла в амальгаме от состава электролита.

Казахский университет
им. С. М. Кирова
Академии наук Каз. ССР
Алма-Ата

Поступила
29.VII.1954

ЛИТЕРАТУРА

1. А. Г. Стромберг и А. И. Зелянская, Труды Комиссии по аналитической химии, т. 4 (7), 5, 1952.
2. А. Г. Стромберг, ДАН, 85, 831, 1952.
3. А. Г. Стромберг и М. С. Гутерман, Журн. физ. химии, 27, 993, 1953.
4. А. Г. Стромберг, Журн. физ. химии, 27, 1287, 1953.
5. N. Furman and W. Cooper, Journ. Amer. Chem. Soc., 72, 5667, 1950.
6. A. Tockstein, Coll. of Czechosl. Chem. Comm., 16, 101, 1950.
7. М. Т. Козловский и С. П. Бухман, Изв. АН КазССР, сер. хим., 5, 127, 1952.

МЕТАНИОБАТ И МЕТАТАНТАЛАТ ЛИТИЯ

А. В. Лапицкий и Ю. П. Симанов

При рентгенографическом исследовании безводного метаниобата лития [1] было установлено, что элементарная ячейка этой соли является ромбоэдрической с параметрами $a = 5,47 \pm 0,02 \text{ \AA}$ и $\alpha = 55^\circ 43'$. Метод получения метаниобата лития в упоминаемой работе не приводится. Рентгенографическое исследование безводного метатанталата лития до сих пор не проводилось.

Мы поставили своей целью определить параметры решеток безводного метаниобата лития и безводного метатанталата лития.

Таблица 1

Метаниобат лития. Камера РКУ-86

FeK_α

Интенсивность	θ	hkl	$\frac{1}{d^2}$ изм	$\frac{1}{d^2}$ вычисл
я.	14,97	012	0,07135	0,0715
я.	20,76	014	0,1344	0,1347
я.—ср.	22,06	110	0,1508	0,1514
сл.	24,87	006	0,1891	0,1895
сл.—ср.	25,48	113	0,1981	0,1988
ср.—я.	27,14	202	0,2225	0,2230
я.—ср.	31,15	204	0,2861	0,2861
я.	34,38	116	0,3410	0,3409
я.—ср.	36,19	122	0,3728	0,3743
сл.	36,99	108	0,3871	0,3874
ср.—я.	39,77	214	0,4376	0,4375
сл.—ср.	40,61	300	0,4530	0,4542
сл.—ср.	45,26	208	0,5395	0,5389
сл.—ср.	47,33	119	0,5768	0,5779
сл.—ср.	48,83	220	0,6059	0,6056
ср.—сл.	50,87	306	0,6436	0,6437
ср.	52,74	312	0,6774	0,6772
ср.	53,45	218	0,6901	0,6902
сл.—ср.	55,55	2,0·10	0,7272	0,7284
ср.—сл.	56,29	314	0,7400	0,7403
я.—ср.	59,58	226	0,7951	0,7951
сл. ш.	61,63	402	0,8279	0,8285
сл.—ср.	65,15	309	0,8806	0,8806
сл.—ср.	65,94	404	0,8917	0,8917
сл.—ср.	67,38	1,1·12	0,9112	0,9096
ср.—сл.	72,59 α_1	322	0,9799	0,9799
ср.	74,50	318	0,9930	0,9930
ср.—я.	81,03	324	1,043	1,043

$$\frac{4}{s} - \frac{1}{d^2} = 0,0504; \quad 1/c^2 = 0,0052; \quad a_H = 5,139, \text{ kX}; \quad c_H = 13,78, \text{ kX}; \\ a_R = 5,470, \pm 0,003 \text{ kX}; \quad \alpha = 56^\circ 02' 20''.$$

Исходные вещества: а) Пятиокись ниобия и пятиокись тантала получены из смеси, содержавшей, кроме указанных элементов, примеси окислов железа, флюса, кремния и титана. После очистки от примесей разделение окислов произведено по методу Мариньяка, уточненному Г. С. Савченко и И. В. Тананаевым [2]. Анализ пятиокисей показал, что в обоих случаях общее количество примесей было менее 0,1 процента.

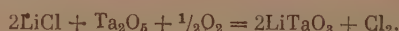
б) Хлорид лития имел спецификацию химически чистый, и нами дополнительно не очищался.

в) Карбонат лития (чистый для анализа) был дважды перекристаллизован из воды.

г) Фторид натрия, применявшийся нами в качестве флюса, также имел спецификацию химически чистый.

Метатанталат лития получен сплавлением эквимолекулярных количеств пятиокиси ниобия, карбоната лития и фторида натрия в тигельной печи при 800° . Сплавление происходило в течение 4 час. [3]. Фторид натрия после охлаждения сплава был полностью отмыт дистиллированной водой.

Анализ соли проведен по методу, описанному ранее [4]. В результате анализа метатанталата лития получено: Nb_2O_5 — 89,9%, Li_2O — 10,24% (расчет дает 89,9 и 10,10 соответственно). Метатанталат лития был получен двумя способами: сплавлением пятиокиси тантала с карбонатом лития [5] и сплавлением пятиокиси тантала с хлоридом лития, взятых в молярных отношениях 1 : 2, согласно уравнению реакции:



Проведенный анализ соли на содержание пятиокиси тантала и окиси лития показал: Ta_2O_5 — 93,98%; Li_2O — 6,08% (расчет дает 93,66 и 6,44% соответственно).

Таблица 2

Метатанталат лития. Камера МРЗ, диаметр ≈ 57 мм

Интенсивность	θ	hkl	$\frac{1}{d^2}_{\text{изм}}$	$\frac{1}{d^2}_{\text{вычисл.}}$
я.—ср.	14,98	012	0,0715	0,0715
я.	20,78	014	0,1346	0,1353
я.—ср.	22,11	110	0,1515	0,1509
я.—ср.	27,14	202	0,2225	0,2224
я.—ср.	31,11	204	0,2855	0,2860
о.—я.	34,46	116	0,3425	0,3420
я.	36,20	122	0,3731	0,3733
ср.—я.	37,21	108	0,3910	0,3895
я.—ср.	39,78	214	0,4379	0,4369
ср.—я.	40,60	300	0,4529	0,4527
ср.	45,27	208	0,5396	0,5411
ср.—я.	47,46	119	0,5805	0,5802
ср.—я.	48,72	220	0,6039	0,6036
ср.	50,92	306	0,6445	0,6438
ср.—я.	52,67	312	0,6761	0,6751
ср.—я.	53,57	218	0,6921	0,6913
ср.—я.	55,83	2,0,10	0,7321	0,7312
ср.—я.	56,23	314	0,7393	0,7387
я.—ср.	59,68	226	0,7969	0,7947
ср.—сл.	61,58	402	0,8272	0,8260
ср.—я.	65,19	309	0,8827	0,8820
я.—ср.	67,63	1,1,12	0,9154	0,9141
ср.—я.	72,98	322	0,9781	0,9769
я.—ср.	74,50	318	0,9931	0,9931

$$\frac{4}{3} - \frac{1}{d^2} = 0,0503; \frac{1}{c^2} = 0,0053; a_n = 5,149 \text{ кХ}; c_n = 13,73 \text{ мХ};$$

$$a_R = 5,459 \pm 0,005 \text{ кХ}; \alpha = 56^{\circ}18'.$$

Рентгенографическое исследование производилось методом порошковых образцов; применялись трубки с железным анодом. Пленки закладывали

симметрически, и эффективный диаметр кассеты определялся из промера снимка. Поправка на поглощение бралась по формуле Гаддинга

$$l_0 = l - \frac{\rho}{2} (1 + \cos 2\theta).$$

Результаты промеров и расчетов приведены в табл. 1 и 2.

Различие в значениях параметров решетки метаниобата лития, найденных нами и Захариасеном [1], выходит за пределы ошибок опыта, что, очевидно, можно объяснить различием в способах получения образцов. Точность наших измерений несколько выше, нежели у Захариасена.

ВЫВОДЫ

Определены параметры гексагональных (ромбоэдрических) решеток метаниобата лития и метатанталата лития индиферентным порошковым методом.

Московский государственный
университет им. М. В. Ломоносова

Поступила
2. X. 1954

ЛИТЕРАТУРА

- W. H. Zachariasen, Geoch. Vert. d. Elem., 7, 97, 1926; 8, 150, 1928.
Г. С. Савченко, И. В. Тананаев, Журн. прикл. химии, 19, 1093, 1946.
М. А. Пчелкина, А. В. Лапицкий, Журн. общ. химии, 24, 1101, 1954.
А. В. Лапицкий, Журн. общ. химии, 22, 38, 1952.
М. А. Пчелкина, А. В. Лапицкий, Журн. общ. химии, 24, 1105, 1954.

ТЕМПЕРАТУРНАЯ И КОНЦЕНТРАЦИОННАЯ ЗАВИСИМОСТЬ ПЛОТНОСТИ И ВЯЗКОСТИ ДВОЙНЫХ СИСТЕМ НЕКОТОРЫХ АРОМАТИЧЕСКИХ УГЛЕВОДОРОДОВ

А. А. Мамедов и Г. М. Панченков

Исследование плотности и вязкости жидких смесей в широком интервале температур и при различных концентрациях имеет большое теоретическое и практическое значение. В большинстве случаев имеющиеся литературные данные по плотностям и вязкостям жидких смесей характеризуют изменение их с концентрацией при какой-нибудь одной температуре, что затрудняет теоретическую обработку этих данных. Отсутствие в целом ряде случаев данных по плотности, наряду с данными по вязкости одних и тех же объектов, также затрудняет обработку экспериментальных данных для различных теоретических целей, особенно для проверки теоретических формул вязкости. Нам представлялось целесообразным провести ряд систематических измерений плотности и вязкости двойных жидких систем гомологов бензола при различных температурах и концентрациях. Такое исследование позволяет, с одной стороны, накопить опытный материал, полезный для практических и теоретических целей, с другой, — на основе кривых вязкость — состав и плотность — состав установить характер взаимодействия молекул в растворах.

Кроме того, изучение вязкости и плотности жидких смесей имеет и самостоятельное значение, так как является одним из методов физико-химического анализа.

Для измерения вязкости нами использован капиллярный вискозиметр Оствальда. В отличие от оригинального прибора Оствальда, нижний резервуар этого вискозиметра (рис. 1) снабжен приемником с для сохранения постоянства объема протекающей через капилляр жидкости при различных температурах. Такое устройство, нивелирующее ошибку в измерениях температурной зависимости вязкости, происходящую вследствие расширения жидкостей, особенно важно тогда, когда измерения производятся в значительном температурном интервале.

Вследствие сильной гигроскопичности исследуемых продуктов вискозиметр был герметически закрыт во время опыта при помощи кранов k_1 и k_2 . Оба колена вискозиметра соединены друг с другом при помощи крана k_3 . Постоянство температуры достигалось при помощи ультратермостата с точностью $\pm 0,1^\circ$ С. Вычисления вязкости исследуемых двойных систем производилось по формуле

$$\eta = \rho \left(A\tau - \frac{B}{\tau} \right)$$

(с учетом поправки на кинетическую энергию).

Плотность ρ определялась пикнометрическим методом с точностью до $\pm 0,0002$ г/см³. Константы вискозиметра A и B определены при помощи дважды дистиллированной воды и криоскопического бензола.

Время истечения жидкости через капилляр (τ) измерялось секундомером с точностью до $\pm 0,2$ сек.

Каждая смесь измерялась в определенном температурном интервале в зависимости от рода жидкости.

Компоненты исследуемых смесей (бензол, толуол, этилбензол, кумол, ортоксилол и параксилол) были очищены путем повторных перегонки. Контроль чистоты осуществлялся путем измерений следующих констант: показателя преломления (n_D^{20}), плотности ρ , вязкости η и температуры кипения (табл. 1).

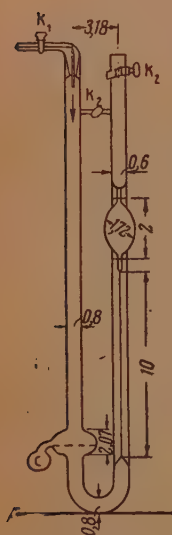


Рис. 1. Вискозиметр

Таблица 1

Некоторые физические константы бензола и его гомологов

Наименование углеводородов	Плотность ρ в г/см ³ при 20°С		Вязкость в пуазах 10 ³ η при 20°С		Температура кипения $t_{\text{кип}}$, °С		Показатель преломления n_D^{20}	
	Опытные	Литературные [1]	Опытные	Литературные [1]	Опытные	Литературные [1]	Опытные	Литературные [1]
бензол	0,8796	0,8796	649	649	80,0	80,1	1,5013	1,5014
толуол	0,8655	0,8656	586	586	110,4	110,5	1,4962	1,4962
этилбензол	0,8681	0,8673	673	667	136,1	136,5	1,4960	1,4959
кумол	0,8624	0,864	787	—	152,2	153,4	1,4923	1,4930
ортоксилол	0,8756	0,8765	806	807	144,3	144,0	1,5056	1,5058
параксилол	0,8621	0,8627	650	643	138,2	137,7	1,4956	1,4973

В табл. 1 собраны значения плотности и вязкости бензола, толуола, этилбензола, кумола орто- и параксилола. Кроме кумола плотности и вязкости этих углеводородов в чистом виде измерены многими исследователями [1]. Наши данные по плотности и вязкости этих ароматических углеводородов в основном хорошо согласуются с данными работы [2].

В табл. 2—11 приведены найденные нами значения плотности и вязкости как чистых жидкостей, так и двойных жидких систем. Во всех таблицах $N\%$ означает молярный процент первого компонента смеси, ρ_i^4 — плотность жидкости, отнесенную к плотности воды при 4°С, $\eta_{\text{оп}}$ — опытные значения вязкости в пуазах, $\eta_{\text{выч}}$ — вычисленное значение вязкости по формуле Г. М. Панченкова.

Из числа двойных систем, приведенных выше, измерена другими исследователями лишь система бензол — толуол. Например, в работе [3] было установлено, что изотермы бинарных смесей бензола с толуолом при всех температурах прямые. Однако наши данные по плотности и вязкости показывают, что при низких температурах изотермы этой системы значительно выпуклы к оси состава. Только при сравнительно высоких температурах (60—70°С) они выпрямляются. Как мы увидим ниже, это характерно для изотерм и других двойных систем ароматических углеводородов.

В результате исследования плотности и вязкости указанных в табл. 2 десяти бинарных смесей при различных температурах и концентрациях нами установлено:

1. Температурная зависимость плотности всех измеренных нами чистых жидкостей, так и двойных систем, в температурном интервале, при котором они измерены, — линейная.

2. Кривые температурной зависимости вязкости этих смесей выпуклы к оси температуры. Эти кривые при низких температурах имеют более крутое падение, чем при высоких температурах.

3. Изотермы плотности всех изученных нами двойных систем, за исключением системы толуол — этилбензол и толуол — кумол, выпуклы по отношению к оси состава при сравнительно низких температурах, но с увеличением температуры изотермы плотности этих смесей переходят в прямую линию. Изотермы плотности смесей толуола с этилбензолом и кумолом при всех измеренных нами температурах представляют собою прямые линии.

Таблица 2

Плотность и вязкость некоторых ароматических углеводородов

Гомологи	Бензол			Толуол			Этилбензол			Ортоксилол			Параксилол			Кумол				
Константы в формуле Г. М. Пан- ченкова	$\varepsilon_0 = 2432,4$ кал/моль $A = 7,006 \cdot 10^{-6}$			$\varepsilon_0 = 2026,41$ кал/моль $A = 13,229 \cdot 10^{-6}$			$\varepsilon_0 = 2102,35$ кал/моль $A = 13,289 \cdot 10^{-6}$			$\varepsilon_0 = 2234,5$ кал/моль $A = 12,373 \cdot 10^{-6}$			$\varepsilon_0 = 2117,6$ кал/моль $A = 12,528 \cdot 10^{-6}$			$\varepsilon_0 = 2234,0$ кал/моль $A = 12,325 \cdot 10^{-6}$				
	ρ_0	$10^4 n_D$ по	$10^4 n_D$ вч	Δn_D %	ρ_0	$10^4 n_D$ по	$10^4 n_D$ вч	Δn_D %	ρ_0	$10^4 n_D$ по	$10^4 n_D$ вч	Δn_D %	ρ_0	$10^4 n_D$ по	$10^4 n_D$ вч	Δn_D %	ρ_0	$10^4 n_D$ по	$10^4 n_D$ вч	Δn_D %
$t, ^\circ C$																				
-20	—	—	—	—	0,9016	992 1011	-1,91	0,9042	1174 1188	+4,19	0,9101	1451 1457	+0,41	—	—	—	—	0,8981	1404 1424	+1,42
-10	—	—	—	—	0,8935	866 871	+0,57	0,8942	1024 1016	-0,78	0,9025	1236 1237	+0,06	—	—	—	—	0,8881	1210 1206	-0,33
0	—	—	—	—	0,8826	772 755	+2,25	0,8830	876 883	+0,80	0,8933	1104 1061	-4,05	—	—	—	—	0,8794	1034 1034	-0,28
10	0,8872	757 748	-1,20	0,8735	669 662	+1,05	0,8732	759 766	-1,69	0,8854	932 919	-1,41	—	—	—	—	—	0,8716	900 897	+0,33
20	0,8796	649 647	+0,30	0,8655	586 587	-0,17	0,8681	673 677	-0,59	0,8756	806 806	0	0,8621	650 650	0	0,8624	787 784	+0,38		
30	0,8683	561 563	-0,35	0,8556	519 522	-0,57	0,8596	598 595	+0,50	0,8679	709 709	0	0,8537	573 576	-0,52	0,8535	690 691	-0,14		
40	0,8562	490 492	-0,40	0,8473	470 469	+0,21	0,8504	532 536	-0,75	0,8601	625 631	+0,95	0,84 9	516 515	+0,19	0,8457	612 614	-0,32		
50	0,8468	435 435	0	0,8373	418 422	-0,94	0,8420	483 478	+1,03	0,8509	558 564	+1,06	0,8363	465 462	+0,64	0,8363	546 548	-0,36		
60	0,8356	390 387	+0,77	0,8277	382 382	0	0,8322	437 435	+0,45	0,8420	502 507	+0,98	0,8276	417 418	-0,23	0,8277	493 493	0		
70	0,8244	346 346	0	0,8183	347 347	0	0,8232	387 384	+0,78	0,8335	457 457	0	0,8195	379 379	0	0,8185	447 445	+0,44		
80	—	—	—	0,8084	319 317	+0,63	0,8140	364 364	0	0,8249	418 416	-0,48	0,8104	355 346	+2,60	0,8092	407 403	+0,74		

N°	16,83			43,83			51,49			65,83			78,19		
	$\varepsilon_c = 2037,75$ кал/моль $A_c = 12,702 \cdot 10^{-6}$			$\varepsilon_u = 2094,6$ кал/моль $A_c = 11,757 \cdot 10^{-6}$			$\varepsilon_c = 2118,07$ кал/моль $A_c = 11,344 \cdot 10^{-6}$			$\varepsilon_c = 2175,06$ кал/моль $A_c = 10,357 \cdot 10^{-6}$			$\varepsilon_c = 2234,0$ кал/моль $A_c = 9,546 \cdot 10^{-6}$		
t, °C	ρ	η	$\Delta\eta$	ρ	η	$\Delta\eta$	ρ	η	$\Delta\eta$	ρ	η	$\Delta\eta$	ρ	η	$\Delta\eta$
	по	в	%	по	в	%	по	в	%	по	в	%	по	в	%
20	0,8661	575	0	0,8675	592	+0,330	599	595	+1,460	606	601	+0,840	617	614	-0,48
30	0,8575	509	-0,580	0,8581	523	0	0,8599	527	-0,490	529	532	-0,560	540	540	0
40	0,8482	456	-0,530	0,8491	463	-0,850	470	470	0	0,8520	473	-0,420	479	479	0
50	0,8376	441	0	0,8379	446	-0,710	420	420	0	0,8405	422	+0,230	424	427	+0,70
60	0,8282	374	+0,270	0,8300	380	0	380	380	0	0,8313	378	+0,520	383	383	0
70	0,8194	342	+0,580	0,8200	344	0	342	344	-0,580	346	347	-0,280	347	345	-0,57

Таблица 4

Система бензол — этилбензол

N°	29,23				47,07				54,27				71,24				86,08			
	t_c	по $t_{\text{вн}}$	$\Delta t, \%$	t_c	по $t_{\text{вн}}$	$\Delta t, \%$	t_c	по $t_{\text{вн}}$	$\Delta t, \%$	t_c	по $t_{\text{вн}}$	$\Delta t, \%$	t_c	по $t_{\text{вн}}$	$\Delta t, \%$	t_c	по $t_{\text{вн}}$	$\Delta t, \%$	t_c	по $t_{\text{вн}}$
Константы и формулы Г. М. Пан- ченко	$\varepsilon_c = 2080,5$ кал/моль $A_c = 14,646 \cdot 10^{-4}$			$\varepsilon_c = 2087,88$ кал/моль $A_c = 12,056 \cdot 10^{-4}$			$\varepsilon_c = 2116,82$ кал/моль $A_c = 11,901 \cdot 10^{-4}$			$\varepsilon_c = 2150,86$ кал/моль $A_c = 11,30 \cdot 10^{-4}$			$\varepsilon_c = 2220,5$ кал/моль $A_c = 9,933 \cdot 10^{-4}$							
$t, ^\circ\text{C}$																				
20	0,8704	657	+0,15	0,8710	646	0	0,8724	644	0	0,8735	635	+0,79	0,8762	640	+0,62					
30	0,8614	583	-0,34	0,8623	570	-0,70	0,8624	568	-0,35	0,8647	560	0	0,8662	561	+0,17					
40	0,8525	521	-0,57	0,8533	508	-0,98	0,8544	506	+0,19	0,8555	498	0	0,8560	493	-0,60					
50	0,8420	469	-0,63	0,8426	456	+0,21	0,8421	453	+0,44	0,8424	443	0,22	0,8447	440	-0,45					
60	0,8322	427	0	0,8323	415	0	0,8336	412	0	0,8320	400	+0,50	0,8353	396	-0,25					
70	0,8228	389	0	0,8230	377	0	0,8221	372	0	0,8240	365	+1,10	0,8247	360	+0,55					

N %	21,14				59,38				71,95				85,14			
	$\varepsilon_c = 2221,5$ кал/моль $A_c = 11,710 \cdot 10^{-6}$				$\varepsilon_c = 2208,1$ кал/моль $A_c = 11,464 \cdot 10^{-6}$				$\varepsilon_c = 2272,75$ кал/моль $A_c = 9,825 \cdot 10^{-6}$				$\varepsilon_c = 2310,53$ кал/моль $A_c = 8,989 \cdot 10^{-6}$			
t °C	t_d	$10^4 n_D$	$10^4 n_D$	Δn	t_d	$10^4 n_D$	$10^4 n_D$	Δn	t_d	$10^4 n_D$	$10^4 n_D$	Δn	t_d	$10^4 n_D$	$10^4 n_D$	Δn
0	0,8931	984	980	+0,40	0,8945	933	936	-0,32	0,8951	907	907	0	0,8953	892	892	0
10	0,8848	848	851	-0,35	0,8840	840	810	0	0,8861	790	786	+0,51	0,8850	767	755	+0,23
20	0,8746	749	743	+0,80	0,8736	710	708	+0,24	0,8750	685	689	-0,58	0,8745	666	662	-0,66
30	0,8666	657	656	+0,41	0,8660	625	626	-0,16	0,8669	601	601	0	0,8654	585	574	+0,19
40	0,8583	583	583	0	0,8579	554	557	-0,54	0,8564	531	531	0	0,8571	517	506	0
50	0,8484	519	520	-0,19	0,8469	493	497	-0,81	0,8467	474	473	+0,21	0,8463	459	447	+0,68
60	0,8398	469	468	+0,21	0,8376	447	447	0	0,8370	428	424	+0,94	0,8365	411	406	0
70	0,8310	427	423	+0,93	0,8283	405	404	+0,24	0,8270	389	382	+1,83	0,8267	371	365	+0,88
80	0,8217	396	384	+2,08	0,8189	379	365	+3,83	0,8171	363	347	+4,61	0,8173	350	340	+1,89

Таблица 6

Система бензол — параксилол

N	22,02				42,00				73,93				82,07			
	Константы в формуле Г. М. Панченкова				$\varepsilon_C = 2082,2$ кал/моль $A_C = 42,697 \cdot 10^{-4}$				$\varepsilon_C = 2171,4$ кал/моль $A_C = 10,865 \cdot 10^{-4}$				$\varepsilon_C = 2240,4$ кал/моль $A_C = 9,389 \cdot 10^{-4}$			
$t, ^\circ\text{C}$	ρ_t^4	$10^3 \eta_{оп}$	$10^3 \eta_{выч}$	$\Delta \eta \%$	ρ_t^4	$10^3 \eta_{оп}$	$10^3 \eta_{выч}$	$\Delta \eta \%$	ρ_t^4	$10^3 \eta_{оп}$	$10^3 \eta_{выч}$	$\Delta \eta \%$	ρ_t^4	$10^3 \eta_{оп}$	$10^3 \eta_{выч}$	$\Delta \eta \%$
10	0,8737	719	716	+0,41	0,8760	720	707	+1,83	0,8780	715	713	+0,28	0,8823	722	716	+0,84
20	0,8645	631	630	+0,15	0,8673	623	623	0	0,8707	627	627	0	0,8751	628	628	0
30	0,8552	557	559	-0,35	0,8577	550	553	-0,54	0,8607	550	554	-0,72	0,8650	553	551	+0,36
40	0,8459	497	499	-0,40	0,8485	493	494	-0,20	0,8512	490	491	-0,20	0,8533	485	488	-0,61
50	0,8380	450	449	+0,22	0,8398	447	445	+0,44	0,8417	442	441	+0,22	0,8435	435	434	+0,23
60	0,8284	400	406	-1,47	0,8297	398	403	+1,24	0,8316	392	397	-1,25	0,8332	387	389	-0,51
70	0,8201	369	369	0	0,8211	365	365	0	0,8227	359	359	0	0,8233	351	351	0
80	0,8118	351	337	+4,15	0,8129	345	334	+2,69	0,8130	336	326	+3,06	0,8140	330	318	+3,77

N %	37,28				58,89				81,76				90,57			
	$\varepsilon_0 = 2200,4$ кал/моль $A = 11,668 \cdot 10^{-4}$				$\varepsilon_0 = 2219,89$ кал/моль $A = 11,059 \cdot 10^{-4}$				$\varepsilon_0 = 2320,12$ кал/моль $A = 8,761 \cdot 10^{-4}$				$\varepsilon_0 = 2365,6$ кал/моль $A = 8,761 \cdot 10^{-4}$			
t °C	ρ_t^0	$10^4 \eta_{оп}$	$10^4 \eta_{выч}$	$\Delta \eta$ %	ρ_t^0	$10^4 \eta_{оп}$	$10^4 \eta_{выч}$	$\Delta \eta$ %	ρ_t^0	$10^4 \eta_{оп}$	$10^4 \eta_{выч}$	$\Delta \eta$ %	ρ_t^0	$10^4 \eta_{оп}$	$10^4 \eta_{выч}$	$\Delta \eta$ %
10	0,8755	833	824	+1,09	0,8793	802	798	+0,50	0,8840	766	760	+0,78	0,8856	756	754	+0,26
20	0,8660	721	721	0	0,8696	693	694	-0,14	0,8735	660	663	-0,30	0,8770	653	653	0
30	0,8568	630	635	-0,78	0,8596	607	606	+0,16	0,8630	575	575	0	0,8656	563	565	-0,35
40	0,8490	560	565	-0,88	0,8510	537	543	-1,10	0,8545	512	517	-0,96	0,8560	496	504	-1,58
50	0,8390	499	504	-0,99	0,8406	479	483	-0,83	0,8434	454	452	+0,44	0,8449	441	443	-0,45
60	0,8303	451	454	-0,66	0,8300	432	432	0	0,8335	408	408	0	0,8345	397	396	+0,25
70	0,8200	410	410	0	0,8210	392	392	0	0,8231	371	372	-0,27	0,8236	359	359	0

Таблица 8

Система толуол — этилбензол

N %	18,09				36,05				51,87				66,06				84,74			
	$\varepsilon_c = 2032,98 \text{ кал/моль}$ $A_c = 13,481 \cdot 10^{-6}$				$\varepsilon_c = 200,07 \text{ кал/моль}$ $A_c = 15,259 \cdot 10^{-6}$				$\varepsilon_c = 1993,54 \text{ кал/моль}$ $A_c = 14,606 \cdot 10^{-6}$				$\varepsilon_c = 1984,66 \text{ кал/моль}$ $A_c = 15,951 \cdot 10^{-6}$				$\varepsilon_c = 1981,6 \text{ кал/моль}$ $A_c = 14,647 \cdot 10^{-6}$			
t °C	$\rho_t^{\text{ж}}$	$10^4 \eta_{\text{оп}}$	$10^4 \eta_{\text{виз}}$	$\Delta \eta \%$	$\rho_t^{\text{ж}}$	$10^4 \eta_{\text{оп}}$	$10^4 \eta_{\text{виз}}$	$\Delta \eta \%$	$\rho_t^{\text{ж}}$	$10^4 \eta_{\text{оп}}$	$10^4 \eta_{\text{виз}}$	$\Delta \eta \%$	$\rho_t^{\text{ж}}$	$10^4 \eta_{\text{оп}}$	$10^4 \eta_{\text{виз}}$	$\Delta \eta \%$	$\rho_t^{\text{ж}}$	$10^4 \eta_{\text{оп}}$	$10^4 \eta_{\text{виз}}$	$\Delta \eta \%$
-20	0,9051	1150	1138	+0,95	0,9032	1117	1087	+2,68	0,9018	1096	1068	+2,55	0,9039	1075	1036	+3,62	0,8994	1048	1018	+2,94
-10	0,8959	979	976	+0,30	0,8941	948	938	+1,05	0,8927	929	921	+0,86	0,8943	911	896	+1,64	0,8903	887	879	+1,14
0	0,8867	840	846	-0,71	0,8843	820	816	+0,48	0,8836	803	801	+0,24	0,8848	786	783	+0,43	0,8813	764	767	-0,39
10	0,8775	734	739	-0,68	0,8766	716	719	-0,42	0,8746	701	704	-0,57	0,8753	687	690	+0,43	0,8722	671	674	-0,44
20	0,8677	652	652	0	0,8672	636	636	0	0,8653	623	623	0	0,8619	611	611	0	0,8637	597	598	-0,16
30	0,8589	581	579	+0,34	0,8573	565	570	-0,88	0,8567	554	556	-0,36	0,8565	546	547	-0,17	0,8542	533	533	0
40	0,8508	520	518	+0,38	0,8493	505	510	-0,99	0,8471	496	498	-0,40	0,8475	490	490	0	0,8446	479	479	0
50	0,8409	460	466	-1,30	0,8388	459	459	0	0,8380	447	450	-0,67	0,8369	443	445	-0,45	0,8361	430	433	-0,69
60	0,8314	418	421	-0,71	0,8809	418	417	+0,23	0,8291	408	408	0	0,8282	403	403	0	0,8268	392	392	0
70	0,8225	383	383	0	0,8212	381	381	0	0,8202	372	372	0	0,8182	369	369	0	0,8179	358	358	0

N %		30,03				36,07				52,23				66,69				82,05			
Константы в формуле Г. М. Панченко		$\varepsilon_0 = 2165,35 \text{ кал/моль}$ $A_0 = 12,108 \cdot 10^{-6}$				$\varepsilon_0 = 2144,96 \text{ кал/моль}$ $A_0 = 12,056 \cdot 10^{-6}$				$\varepsilon_0 = 2123,33$ $A_0 = 12,229 \cdot 10^{-6}$				$\varepsilon_0 = 2098,90$ $A_0 = 12,300 \cdot 10^{-6}$				$\varepsilon_0 = 2058,42$ $A_0 = 12,716 \cdot 10^{-6}$			
		ρ_t^{Δ}	$10^4 \eta_{оп}$	$10^4 \eta_{внч}$	$\Delta \eta \%$	ρ_t^{Δ}	$10^4 \eta_{оп}$	$10^4 \eta_{внч}$	$\Delta \eta \%$	ρ_t^{Δ}	$10^4 \eta_{оп}$	$10^4 \eta_{внч}$	$\Delta \eta \%$	ρ_t^{Δ}	$10^4 \eta_{оп}$	$10^4 \eta_{внч}$	$\Delta \eta \%$	ρ_t^{Δ}	$10^4 \eta_{оп}$	$10^4 \eta_{внч}$	$\Delta \eta \%$
-20	0,9086	1301	1312	-0,830,9077	1271	1277	-0,460,9069	1210	1214	-0,320,9061	1154	1140	+1,220,9034	1077	1084	-0,74					
-10	0,9000	1125	1116	+0,800,8988	1082	1087	-0,450,8979	1034	1036	-0,190,8969	950	982	-0,200,8944	926	930	-0,43					
0	0,8920	975	961	+1,450,8899	951	950	+0,100,8884	903	892	+1,230,8874	848	848	0	809	807	+0,24					
10	0,8828	834	834	0	0,8807	813	813	0	0,8800	763	763	0	0,8781	731	700	0					
20	0,8727	722	730	-1,090,8712	708	712	-0,560,8706	670	682	-1,760,8688	640	638	+0,310,8678	616	621	-0,80					
30	0,8637	636	635	+0,160,8645	626	631	-0,950,8618	601	602	-0,160,8608	567	575	-1,390,8580	546	544	+0,36					
40	0,8561	568	574	-1,050,8547	557	555	+0,360,8535	528	528	0	0,8518	508	509	-0,190,8491	489	493	-0,81				
50	0,8458	507	508	-0,190,8458	500	500	0	0,8427	472	+0,420,8425	456	455	+0,210,8399	441	441	0					
60	0,8375	459	459	0	0,8361	452	452	0	0,8348	431	431	0	0,8331	419	402	+0,49					
70	0,8289	419	419	0	0,8279	414	410	+0,970,8269	394	395	-0,250,8238	381	377	+1,050,8216	367	364	+0,82				
80	0,8198	384	381	+0,730,8192	377	373	+1,070,8165	367	360	+1,940,8143	350	342	+2,330,8124	339	333	+1,80					

Таблица 10

Система толуол — нараксидол

N %	15,16				31,37				60,03				85,19			
	$\epsilon_c = 2078,5 \text{ кал/моль}$ $A_c = 12,875 \cdot 10^{-6}$				$\epsilon_c = 2046,9 \text{ кал/моль}$ $A_c = 13,631 \cdot 10^{-6}$				$\epsilon_c = 1988,5 \text{ кал/моль}$ $A_c = 14,521 \cdot 10^{-6}$				$\epsilon_c = 2008,5 \text{ кал/моль}$ $A_c = 13,697 \cdot 10^{-6}$			
t °C	ρ_t^0	$10^3 \eta_{оп}$	$10^3 \eta_{пл}$	$\Delta \eta \%$	ρ_t^0	$10^3 \eta_{оп}$	$10^3 \eta_{пл}$	$\Delta \eta \%$	ρ_t^0	$10^3 \eta_{оп}$	$10^3 \eta_{пл}$	$\Delta \eta \%$	ρ_t^0	$10^3 \eta_{оп}$	$10^3 \eta_{пл}$	$\Delta \eta \%$
10	0,8705	711	721	-1,38	0,8702	696	705	-1,27	0,8715	683	676	+1,03	0,8726	668	663	+0,75
20	0,8619	636	636	0	0,8625	624	624	0	0,8631	600	600	0	0,8650	588	588	0
30	0,8539	560	565	-0,88	0,8539	547	556	-1,61	0,8545	532	536	-0,74	0,8547	526	523	+0,57
40	0,8453	509	506	+0,59	0,8456	500	498	+0,40	0,8467	491	482	+1,86	0,8470	470	470	0
50	0,8365	459	455	+0,87	0,8370	450	449	+0,22	0,8375	437	435	+0,45	0,8375	423	424	-0,23
60	0,8277	402	411	-2,18	0,8276	404	406	-0,49	0,8275	394	394	0	0,8283	388	385	+0,77
70	0,8195	374	374	0	0,8191	370	370	0	0,8188	360	360	0	0,8185	350	350	0
80	0,8099	351	341	+2,93	0,8097	343	338	+2,47	0,8094	332	329	+0,91	0,8090	322	320	+0,62

Константы в формуле Г. М. Пащенко	28,46				52,53				69,98				85,60			
	$\varepsilon_c = 2160,16 \text{ кал/моль}$ $A_c = 12,668 \cdot 10^{-6}$				$\varepsilon_c = 2095,8 \text{ кал/моль}$ $A_c = 13,579 \cdot 10^{-6}$				$\varepsilon_c = 2050,2 \text{ кал/моль}$ $A_c = 13,641 \cdot 10^{-6}$				$\varepsilon_c = 2042,3 \text{ кал/моль}$ $A_c = 13,571 \cdot 10^{-6}$			
	ρ_t^0	$10^4 \eta_{оп}$	$10^4 \eta_{вмч}$	$\Delta \eta \%$	ρ_t^0	$10^4 \eta_{оп}$	$10^4 \eta_{вмч}$	$\Delta \eta \%$	ρ_t^0	$10^4 \eta_{оп}$	$10^4 \eta_{вмч}$	$\Delta \eta \%$	ρ_t^0	$10^4 \eta_{оп}$	$10^4 \eta_{вмч}$	$\Delta \eta \%$
$t \text{ } ^\circ\text{C}$																
-20	0,8983	1294	1295	-0,07	0,8095	1192	1189	+0,25	0,9010	1110	1112	-0,19	0,9020	1082	1082	0
-10	0,8895	1101	1103	-0,18	0,8905	1022	1019	+0,29	0,8918	957	955	+0,20	0,8926	909	911	0,21
0	0,8807	952	950	+0,21	0,8811	896	891	+0,56	0,8821	851	853	-0,11	0,8819	806	797	+1,12
10	0,8718	837	827	+1,20	0,8726	776	778	-0,26	0,8734	734	728	-0,82	0,8731	694	694	0
20	0,8636	727	726	+0,13	0,8625	676	678	-0,29	0,8635	644	639	-0,78	0,8626	612	616	-0,65
30	0,8539	638	641	-0,46	0,8551	597	597	0	0,8553	570	570	0	0,8559	544	546	-0,36
40	0,8455	569	571	-0,35	0,8463	533	537	-0,74	0,8466	509	509	0	0,8466	485	493	-1,62
50	0,8358	507	511	-0,78	0,8360	477	476	+0,21	0,8367	458	458	0	0,8361	437	436	+0,22
60	0,8279	460	461	-0,21	0,8276	434	433	+0,23	0,8273	416	414	+0,48	0,8270	400	399	+0,25
70	0,8189	418	417	+0,23	0,8186	396	397	-0,25	0,8187	380	377	+0,79	0,8173	369	365	+1,09
80	0,8110	387	380	+1,84	0,8098	372	372	0	0,8086	348	344	+1,16	0,8081	334	335	-0,29

4. Изотермы вязкость — состав для всех систем, за исключением системы толуол — этилбензол и толуол — кумол, незначительно выпуклы по отношению к оси концентрации при низких температурах, но с увеличением температуры они выпрямляются. Изотермы вязкости смесей толуол с этилбензолом и кумолом при всех измеренных нами температурах — линейны.

5. Значительная выпуклость по отношению к оси состава изотермы плотности и вязкости смесей гомологов бензола наблюдается вблизи температуры затвердевания одного из компонентов смеси.

СРАВНЕНИЕ ПОЛУЧЕННЫХ РЕЗУЛЬТАТОВ С ТЕОРИЕЙ

Из молекулярно-кинетических представлений с учетом специфических особенностей жидкостей одним из нас было [4] получено теоретическим путем уравнение зависимости вязкости жидкостей от температуры и давления, хорошо согласующееся с опытными данными. Это уравнение имеет следующий окончательный вид:

$$\eta = \frac{12 \sqrt{R}}{V \pi \sqrt{N_0}} T^{1/2} \omega^{2/3} \rho^{4/3} M^{5/6} e^{\Delta S/R} (e^{\varepsilon_0/RT} - 1), \quad (1)$$

где η — коэффициент вязкости, R — универсальная газовая постоянная, N_0 — число Авогадро, ω — собственный объем молекул жидкости в расчете на моль, M — молекулярный вес, ρ — плотность жидкости, T — абсолютная температура, ΔS — изменение энтропии при образовании связи между молекулами в расчете на моль, ε_0 — энергия связи молекул жидкости также в расчете на моль.

Для проверки применимости этой формулы к изученным жидкостям удобно обозначить в уравнении (1) величину

$$\frac{12 \sqrt{R}}{V \pi \sqrt{N_0}} \omega^{2/3} M^{-5/6} e^{\Delta S/R} = A.$$

Тогда уравнение (1) можно записать в следующей форме

$$\eta = A \rho^{4/3} T^{1/2} (e^{\varepsilon_0/RT} - 1), \quad (2)$$

Это же уравнение можно применить и к жидким смесям, так как смесь можно рассматривать как индивидуальную жидкость с характерными константами A_c и ε_{0c} , где ε_{0c} — энергия связи молекул смеси, т. е. уравнение (2) для смеси можно записать в форме:

$$\eta_c = A_c \rho^{4/3} T^{1/2} (e^{\varepsilon_{0c}/RT} - 1). \quad (3)$$

Энергия связи молекул смеси, как это было показано [5], выражается через энергии взаимодействия растворенных молекул и их концентрации следующим образом:

$$\varepsilon_{0c} = \varepsilon_{011} N^2 + 2\varepsilon_{012} N(1 - N) + \varepsilon_{022} (1 - N)^2, \quad (4)$$

где ε_{011} — энергия связи молекул первого компонента, ε_{022} — молекул второго компонента и ε_{012} — молекул первого компонента с молекулами второго компонента, N — молярная доля первого компонента.

Предэкспоненциальные множители A , A_c и энергии связи молекул ε_0 , ε_{0c} определялись из двух крайних точек опытных данных, передаю-

зависимость плотности и вязкости от температуры. При помощи полученных таким образом значений A , A_c и ε_0 , ε_{0c} вычислялась вязкость на всего температурного интервала и сверялась с опытными данными.

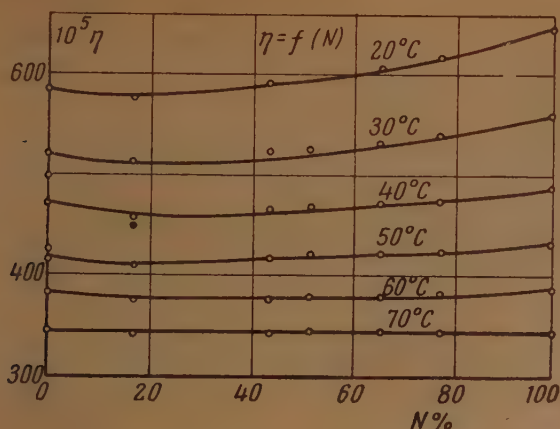


Рис. 2. Зависимость вязкости смесей бензол — толуол от концентрации и температуры.

Результаты такой проверки для всех измеренных нами систем приены в табл. 2—11. Как видно, совпадение опытных и вычисленных

Таблица 12

Энергия связи молекул гомологов бензола

Наименование углеводородов и их двойных систем	Энергии связи молекул отдельных компонентов ε_0 в кал/моль	Энергии связи молекул 1-го компон. с молекулами 2-го компон. ε_{012} в кал/моль	Наименование углеводородов и их двойных систем	Энергии связи молекул отдельных компонентов ε_0 в кал/моль	Энергии связи молекул 1-го компон. с молекулами 2-го компон. ε_{012} в кал/моль
Бензол	2432,4		Бензол-ортоксилол	—	2169,16
Толуол	2026,41		Бензол-параксилол	—	2027,1
Этилбензол	2102,35		Толуол-этилбензол	—	1845,94
Кумол	2234,0		Толуол-кумол	—	2071,7
Оксилол	2234,5		Толуол-ортоксилол	—	2183,6
Параксилол	1963,4		Толуол-параксилол	—	1974,2
Ортоксилол	2117,6				
Бензол-толуол	—	2027,3			
Бензол-этилбензол	—	1744,10			
Бензол-кумол	—	2130,98			

результатов удовлетворительно. Максимальное отклонение вычисленных значений от опытных составляет 1—2%. Большие отклонения для систем с бензолом при 80° и при низких температурах объясняются большими ошибками опытов при этих температурах. Полученные опытным путем и рассчитанные теоретическим путем коэффициенты вязкостей и функции концентраций изображены на рис. 2—10. На этих рисунках светлыми точками обозначены рассчитанные значения вязкости по формуле Г. М. Панченкова, темными — найденные экспериментально. В тех случаях, когда теоретически рассчитанные значения совпадают с найденными экспериментально, на графиках оставлены только светлые точки. На вертикальной оси рисунков отложены значения $\eta \cdot 10^5$, на горизонтальной — молярная доля компонента, который назван первым.

При помощи формул (2), (3) и (4) рассчитаны весьма интересные величины — энергия взаимодействия молекул как в чистых жидкостях (ϵ_{011}).

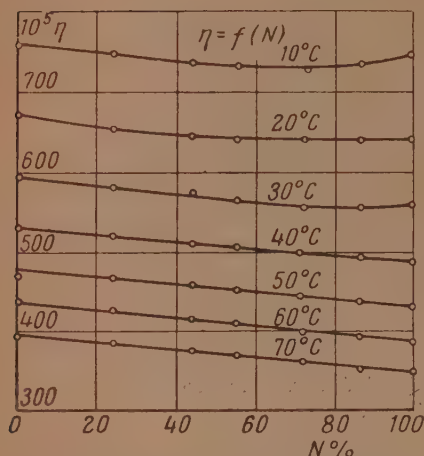


Рис. 3. Зависимость вязкости смесей бензол — этилбензол от концентрации и температуры

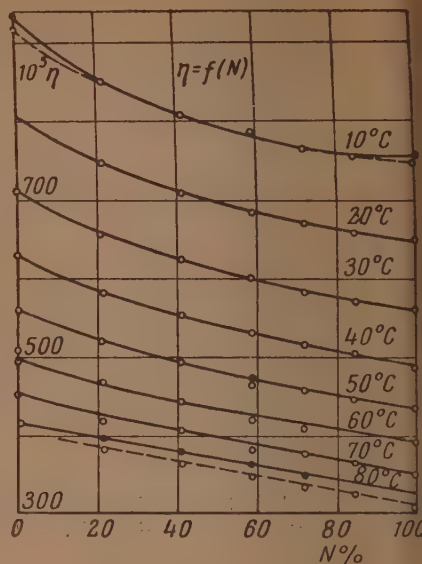


Рис. 4. Зависимость вязкости смесей бензол — ортоксилл от концентрации и температуры

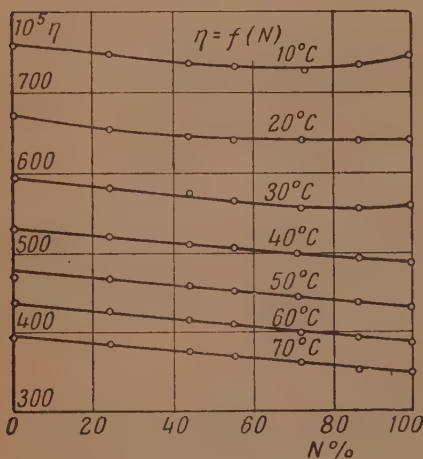


Рис. 5. Зависимость вязкости смесей бензол — параксилл от концентрации и температуры

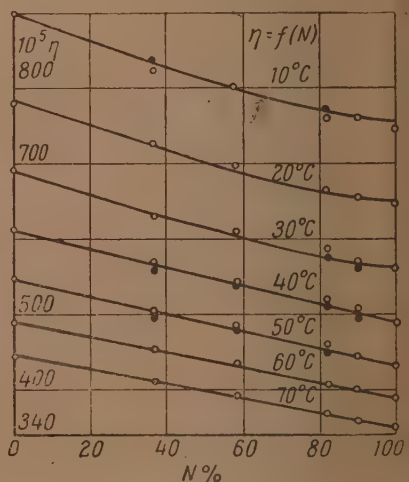


Рис. 6. Зависимость вязкости смесей бензол — кумол от концентрации и температуры

так и энергия взаимодействия молекул первого компонента с молекулами второго компонента (ϵ_{01h}) в растворах (табл. 12). Как видно, почти для всех систем соблюдается условие $\epsilon_{012} < \frac{1}{2}(\epsilon_{011} + \epsilon_{022})$, означающее, что изотермы вязкости должны быть выпуклы к оси состава. Очень мало

азличие между ε_{011} , ε_{012} и ε_{022} наблюдается для системы толуол — этилбензол и толуол — кумол, где все изотермы плотности и вязкости пря-

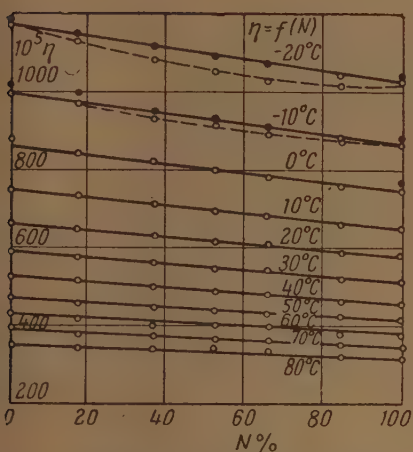


Рис. 7. Зависимость вязкости смесей толуол—этилбензол от концентрации и температуры

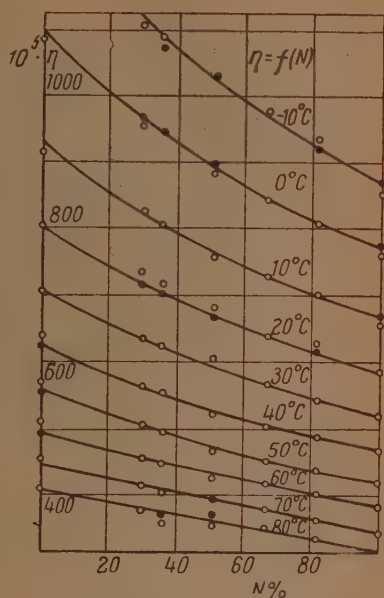


Рис. 8. Зависимость вязкости смесей толуол ортоксилол от концентрации и температуры

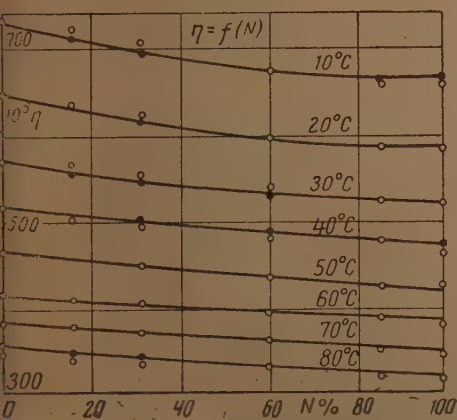


Рис. 9. Зависимость вязкости смесей толуол—параксилол от концентрации и температуры

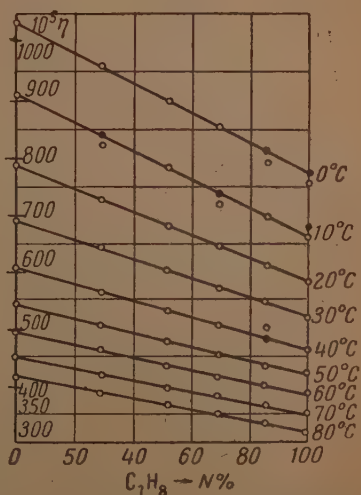


Рис. 10. Зависимость вязкости смесей толуол — кумол от концентрации и температуры

ые. Зависимость энергии связей молекул смеси от концентрации изображена для разных смесей на рис. 11.

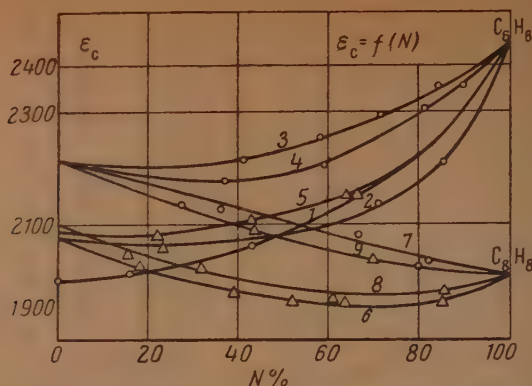


Рис. 11. Зависимость энергии связей молекул смеси от концентрации. 1 — бензол — толуол; 2 — бензол — этилбензол; 3 — бензол — ортоксилол; 4 — бензол — параксилол; 5 — бензол — кумол; 6 — толуол — этилбензол; 7 — толуол — ортоксилол; 8 — толуол — параксилол; 9 — толуол — кумол

ВЫВОДЫ

1. Измерены плотности и вязкости бензола, толуола, этилбензола, ортоксилола, параксилола, кумола, а также двойных систем: бензол — толуол, бензол — этилбензол, бензол — ортоксилол, бензол — параксилол, бензол — кумол, толуол — этилбензол, толуол — ортоксилол, толуол — параксилол, толуол — кумол при различных температурах. Все исследованные двойные системы по своим свойствам близки к идеальным системам.

2. Показана хорошая применимость формулы Г. М. Панченкова для расчетов вязкости исследованных чистых жидкостей и двойных жидких систем.

Московский государственный университет
им. М. В. Ломоносова

Поступила
2.XI.1954

ЛИТЕРАТУРА

1. Landolt, Börnstein, Phys. chem. Tabellen, т. 1, 1931.
2. T. E. Thorpe a. J. W. Rodger, Phil. Trans. Roy. Soc., A185, 397, 1894.
3. C. E. Linneberger, Zs. phys. Chem., 22, 137, 1897; Am J. Science, 2, 331, 1896.
4. Г. М. Панченков, Журн. физ. химии, 24, 1390, 1950; ДАН, 50, 329, 1945; 51, 361, 453, 1946; Журн. физ. химии, 20, 811, 1011, 1946; 21, 187, 1947; Теория вязкости жидкостей, Гостоптехиздат, 1947; ДАН, 63, 701, 1948; 79, 985, 1951; 80, 899, 1951.
5. Г. М. Панченков, ДАН, 51, 453, 1946; Журн. физ. химии, 20, 1011, 1946; Теория вязкости жидкостей, Гостоптехиздат, 1947.

УРАВНЕНИЕ СОСТОЯНИЯ ЖИДКОСТЕЙ

И. А. Селицкий

Уравнение ван-дер-Ваальса правильно в качественном отношении отображает зависимость объема реальных газов от температуры и давления. Однако результаты количественных расчетов по этому уравнению значительно расходятся с опытными данными, в особенности для жидкого состояния.

Еще худшие результаты получаются при расчете давления насыщенного пара из уравнения ван-дер-Ваальса. По мнению А. Эйкена [1], «недостаточность уравнения ван-дер-Ваальса особенно сильно сказывается как-раз в данном случае».

В уравнении Бертло и ряде других уравнений того же типа коэффициент a или оба коэффициента a и b предполагаются зависящими от температуры. Несмотря на это, ни одно из предложенных уравнений не оказалось существенно лучшим, в частности, для жидкого состояния. Поэтому были предложены уравнения, предназначенные специально для жидкого состояния. Одно из последних уравнений этого рода было предложено И. И. Заславским [2]

$$\frac{V_K}{V_T} = \frac{d_T}{d_K} = 1 + 2,73(1 - 0,95\tau)^{0,5},$$

где V_K , d_K — соответственно критический объем, критическая плотность, τ — приведенная температура.

Рассчитанные по уравнению Заславского плотности многих жидкостей в довольно широком интервале температуры расходятся с опытными величинами не более чем на 2%.

Расхождения увеличиваются с приближением к критической температуре. Плотность, рассчитанная для критической температуры, больше действительной критической плотности в 1,6 раза. Согласно уравнению Заславского, приведенные плотности всех жидкостей должны иметь одинаковое значение при одной и той же приведенной температуре. Так как теорема о соответственных состояниях оправдывается для многих веществ, то уравнение Заславского пригодно для большого числа жидкостей.

Уравнение Заславского не выводится из общего уравнения состояния, охватывающего как жидкое, так и газообразное состояние. Этим определяется ограниченность его применения.

Можно предложить другое уравнение, выражающее зависимость плотности жидкости от температуры. В отношении согласия с опытом это уравнение не уступает уравнению Заславского.

Предлагаемое уравнение имеет вид:

$$\frac{d_T}{d_K} = k \frac{1 + (1 - \tau^{1,5})^{0,5}}{(1 + \tau)^{0,5}}. \quad (1)$$

Коэффициент k для различных жидкостей колеблется от 2,00 до 2,03

и в среднем может быть принят равным 2,01; следовательно:

$$\frac{d_{\tau}}{d_{\kappa}} = 2,01 \frac{1 + (1 - \tau^{1,5})^{0,5}}{(1 + \tau)^{0,5}} \quad (2)$$

Уравнение (2), как и уравнение Заславского, справедливо для веществ, следующих теореме о соответственных состояниях, и не применимо в области температур, близких к критической.

Как следует из табл. 1—5, рассчитанные по уравнению (1) плотности жидкостей в интервале от температуры, близкой к температуре плавления, до 0,9 абсолютной критической температуры расходятся с опытными величинами, как правило, не более чем на 1,5%*.

Таблица 1

Этиловый эфир $C_4H_{10}O$ $T_K = 467$, $b_0 = 0,9450$

$t, ^\circ C$	$\tau = \frac{T}{T_K}$	$d, \text{г/см}^3$ рассчитанная по (1)	$d, \text{г/см}^3$ опытная	$\Delta d, \%$
—100	0,3705	0,8475	0,8415	+0,7
—80	0,4133	0,8243	0,8209	+0,4
—60	0,4562	0,8011	0,8002	+0,1
—40	0,4990	0,7779	0,7794	—0,2
—20	0,5418	0,7542	0,7582	—0,5
0	0,5846	0,7309	0,7362	—0,7
20	0,6275	0,7076	0,7135	—0,8
40	0,6703	0,6821	0,6894	—1,1
60	0,7131	0,6575	0,6658	—1,2
80	0,7560	0,6311	0,6402	—1,4
100	0,7988	0,6038	0,6105	—1,1
120	0,8416	0,5742	0,5764	—0,4
140	0,8845	0,5419	0,5380	+0,7
160	0,9273	0,5044	0,4947	+1,9

Таблица 2

Уксусная кислота CH_3COOH $T_K = 594,8$, $b_0 = 0,7025$

$t, ^\circ C$	$\tau = \frac{T}{T_K}$	$d, \text{г/см}^3$ рассчитанная по (1)	$d, \text{г/см}^3$ опытная	$\Delta d, \%$
20	0,4929	1,054	1,049	+0,6
100	0,6274	0,9536	0,9599	—0,7
200	0,7956	0,8173	0,8265	—1,1
250	0,8796	0,7363	0,7364	0,0

Таблица 3

Хлорное олово $SnCl_4$ $T_K = 591,9$, $b_0 = 0,3320$

$t, ^\circ C$	$\tau = \frac{T}{T_K}$	$d, \text{г/см}^3$ рассчитанная по (1)	$d, \text{г/см}^3$ опытная	$\Delta d, \%$
0	0,4616	2,279	2,279	0,0
60	0,5630	2,120	2,123	—0,1
120	0,6643	1,958	1,964	—0,3
180	0,7657	1,785	1,787	—0,1
240	0,8670	1,586	1,567	+0,6

* Опытные данные по плотности жидкостей взяты из Технической энциклопедии [3] и Справочника химика [4].

Таблица 4

Фосген COCl_2
 $T_K = 455,2$, $b_0 = 0,4788$

$t, ^\circ\text{C}$	$\tau = \frac{T}{T_K}$	$d, \text{г/см}^3$ рассчитанная по (1)	$d, \text{г/см}^3$ опытная	$\Delta d, \%$
10	0,6221	1,405	1,405	-0,0
70	0,7539	1,252	1,252	-0,0
100	0,8198	1,167	1,165	+0,2

Таблица 5

Углекислота CO_2
 $T_K = 304,2$, $b_0 = 0,5285$

$t, ^\circ\text{C}$	$\tau = \frac{T}{T_K}$	$d, \text{г/см}^3$ рассчитанная по (1)	$d, \text{г/см}^3$ опытная	$\Delta d, \%$
-50	0,7337	1,147	1,155	-0,7
-30	0,7994	1,082	1,075	+0,7
-10	0,8652	0,9986	0,9813	+1,9
0	0,8980	0,9516	0,9251	+2,8

Уравнение (1) представляется более обоснованным, чем уравнение Заславо-го, так как оно может быть связано с уравнением ван-дер-Ваальса. Для этого надо допустить зависимость a и b от температуры. В этом случае уравнение ван-дер-Ваальса можно написать в следующем виде:

$$p = \frac{RT}{V - b_T} - \frac{a_T}{V^2} \quad (3)$$

Примем следующие значения a_T и b_T

$$b_T = b_0 (1 + \tau)^{0,5} \quad (4)$$

$$a_T = a_\infty \frac{(1 + \tau)^{0,5}}{\tau^{0,5}} \quad (5)$$

$$a_\infty = 4b_0 RT_K \quad (6)$$

Если этого вместо уравнения (3) получим

$$p = \frac{RT}{V - b_0 (1 + \tau)^{0,5}} - \frac{4b_0 RT_K (1 + \tau)^{0,5}}{V^2 \tau^{0,5}} \quad (7)$$

Так как при низких температурах давление насыщенного пара жидкостей невелико, то, учитывая малую сжимаемость жидкостей, можно в уравнении (7) для случая жидкостей положить

$$p = 0$$

$$\frac{RT}{V - b_0 (1 + \tau)^{0,5}} - \frac{4b_0 RT_K (1 + \tau)^{0,5}}{V^2 \tau^{0,5}} = 0 \quad (8)$$

Решая квадратное уравнение (8) относительно V , находим

$$V = \frac{2b_0 (1 + \tau)^{0,5}}{1 \pm (1 - \tau^{1,5})^{0,5}}$$

Два корня для V соответствуют двум точкам пересечения изотерм с осью V (в PV -координатах).

Объему жидкости соответствует корень

$$V = \frac{2b_0(1+\tau)^{0,5}}{1+(1-\tau^{1,5})^{0,5}}.$$

$$d = \frac{1+(1-\tau^{1,5})^{0,5}}{2b_0(1+\tau)^{0,5}}$$

или

$$\frac{d_T}{d_K} = \frac{1}{d_K 2b_0} \cdot \frac{1+(1-\tau^{1,5})^{0,5}}{(1+\tau)^{0,5}}. \quad (1)$$

Приняв

$$\frac{1}{d_K 2b_0} = k,$$

получим уравнение (1).

Для определения величины b_0 из уравнения (10) необходимо знать плотность жидкости при одной температуре. Таким образом были рассчитаны величины b_0 для веществ, приведенных в табл. 1—5. Оказалось, что величина b_0 связана с критической плотностью простым соотношением:

$$b_0 d_K \approx 0,25$$

или

$$b_0 \approx \frac{0,25}{d_K} = \frac{V_K}{4}. \quad (1)$$

В табл. 6 приведены значения b_0 и d_K для веществ, приведенных в табл. 1—5.

Таблица 6

Вещество	T , °C, при которой рас- считано b_0 по (10)	b_0 , см ³ /г	d_K , г/см ³	$b_0 d_K$	$\frac{1}{2b_0 d_K}$
Этиловый эфир . . .	—60	0,9480	0,2625	0,249	2,01
Уксусная кислота . .	+50	0,7025	0,3506	0,246	2,03
Олово хлорное . . .	0	0,3320	0,7419	0,246	2,03
Фосген	+10	0,4788	0,520	0,249	2,01
Углекислота	—40	0,5285	0,4683	0,250	2,00

Из анализа уравнения состояния (7) следует, что все изотермы в PV -координатах для температур, ниже критической, пересекают ось V . Кривая изотермы, соответствующей критической температуре, касается своим минимумом оси V . Таким образом выбор величины a_∞ , определяемый уравнением (6), равносильно предположению, что критическая температура соответствует та изотерма, которая касается своим минимумом оси объемов.

На основании правила Максвелла о равенстве работ при двух путях перехода от газообразного состояния к жидкому из уравнения ван-дер-

Также можно вывести уравнение для упругости пара:

$$P(V_{\Gamma} - V_{\text{ж}}) = \int_{V_{\text{ж}}}^{V_{\Gamma}} PdV; \quad (12)$$

как по (3)

$$P = \frac{RT}{V - b_{\Gamma}} - \frac{a_{\Gamma}}{V^2};$$

$$PV_{\Gamma} - PV_{\text{ж}} = RT \ln(V_{\Gamma} - b_{\Gamma}) - RT \ln(V_{\text{ж}} - b_{\Gamma}) + \frac{a_{\Gamma}}{V_{\Gamma}} - \frac{a_{\Gamma}}{V_{\text{ж}}}.$$

При низких давлениях пара удельный объем пара во много раз больше удельного объема жидкости, поэтому для приближенного расчета

$$PV_{\text{ж}} = 0; \quad PV_{\Gamma} = RT;$$

$$V_{\Gamma} - b_{\Gamma} = V_{\Gamma}; \quad \frac{a_{\Gamma}}{V_{\Gamma}} = 0;$$

$$RT = RT \ln V_{\Gamma} - RT \ln(V_{\text{ж}} - b_{\Gamma}) - \frac{a_{\Gamma}}{V_{\text{ж}}},$$

енив

$$V_{\Gamma} = \frac{RT}{P};$$

$$\lg P = \lg \frac{RT}{V_{\text{ж}} - b_{\Gamma}} - \frac{0,4343 a_{\Gamma}}{RTV_{\text{ж}}} - 0,4343, \quad (13)$$

как

$$b_{\Gamma} = b_0(1 + \tau)^{0,5}; \quad a_{\Gamma} = \frac{4b_0RT_{\text{ж}}(1 + \tau)^{0,5}}{\tau^{0,5}}$$

$$V_{\text{ж}} = \frac{2b_0(1 + \tau)^{0,5}}{1 + (1 - \tau^{1,5})^{0,5}}.$$

ставив эти значения в (13), получим

$$\lg P = \lg \frac{RT}{V_{\text{ж}} - b_0(1 + \tau)^{0,5}} - \frac{2 \cdot 0,4343}{1 - (1 - \tau^{1,5})^{0,5}} - 0,4343. \quad (14)$$

и R выражено в см^3 ат град $^{-1}$, $V_{\text{ж}}$ и b_0 в см^3 , а P в мм рт. ст., то в правой части уравнения (14) необходимо прибавить логарифм 760. Уравнение (14) является сравнительно простым, но ввиду сделанных в его выводе допущений оно дает лишь приближенные значения и только для небольших давлений, для которых сделанные допущения до некоторой степени оправданы.

Таблица 7

Этиловый эфир

$b_0 = 0,9480$. $R = 1,107 \text{ см}^3 \text{ ат град}^{-1} \cdot \text{г}^{-1}$

$t, ^\circ\text{C}$	$\tau = \frac{T}{T_{\text{ж}}}$	$V, \text{см}^3/\text{г}$	$b_{\Gamma}, \text{см}^3/\text{г}$	$p, \text{рассчит.}, \text{мм рт. ст.}$	$p, \text{опытн.}, \text{мм рт. ст.}$
-100	0,3705	1,189	1,110	0,039	0,05
-80	0,4133	1,218	1,127	0,55	0,6
-40	0,4990	1,285	1,161	20,4	19,0
0	0,5846	1,359	1,194	207	185,3
40	0,6703	1,450	1,226	977	921,3

Результаты расчетов по уравнению (14) для этилового эфира и хлорного олова приведены в табл. 7 и 8.

Таблица 8

Хлорное олово

$$b_0 = 0,3320. B = 0,3150 \text{ см}^3 \text{ ат град}^{-1} \text{ г}^{-1}$$

$t, ^\circ\text{C}$	$\tau = \frac{T}{T_K}$	$V, \text{ см}^3/\text{г}$	$b_0, \text{ см}^3/\text{г}$	$p, \text{ расчит. мм рт. ст.}$	$p, \text{ опыт. мм. рт. ст.}$
80	0,4846	1,4388	0,4010	5,54	5,53
100	0,5430	0,4710	0,4150	125,9	122,2
120	0,6643	0,5092	0,4282	874,4	895,4

Автор выражает благодарность М. И. Темкину за помощь и ценные советы.

ВЫВОДЫ

1. Дано уравнение состояния, в основу которого положено уравнение ван-дер-Ваальса, причем принято, что константы a и b являются функциями температуры.

2. Из уравнения состояния выведено уравнение, связывающее плотность жидкости с приведенной температурой.

3. Из уравнения состояния выведено уравнение для расчета давления насыщенного пара жидкостей.

Поступила
3. XI 1954

ЛИТЕРАТУРА

1. А. Эйкен. Курс химической физики, ОНТИ, 1925, т. I, стр. 265.
2. J. J. Saslawsky, Zs. phys. Chem., 109, 111, 1924; 113, 111, 1925.
3. Техническая энциклопедия. Справочник физических, химических и технологических величин, т. V, 1930, стр. 181, 393, 395, 397.
4. Справочник химика, ГОНТИ, т. I, 1951, стр. 627, 628.

ПРИЧИНЫ ОБРАЗОВАНИЯ ГУБКИ НА КАТОДЕ ПРИ ЦИНКОВАНИИ ИЗ КИСЛЫХ РАСТВОРОВ В ПРИСУТСТВИИ СОЛЕЙ ЭЛЕКТРОПОЛОЖИТЕЛЬНЫХ МЕТАЛЛОВ

Н. Т. Кудрявцев и А. Г. Атанасянц

Как известно [1], присутствие в кислом цинковом электролите небольшого количества солей меди, мышьяка и сурьмы вызывает образование на катоде губчатых осадков. По вопросу о причинах влияния примесей посторонних металлов на катодный процесс при электроосаждении цинка высказывались различные мнения. Наиболее распространенным из них является предположение [2, 3], что мышьяк, медь, сурьма и некоторые другие металлы, выделяясь совместно с цинком на катоде, снижают перенапряжение водорода. Разряд ионов водорода и выделение его на катоде вызывают подщелачивание прикатодного слоя и выпадение гидроксидов цинка. Последняя, осаждающаяся на катоде, затрудняет формирование компактного осадка и он становится рыхлым, губчатым [4].

Предполагается [2—4] также, что наряду с действием гидроокисей причиной возникновения губчатых осадков является образование водородистого цинка (гидрида), который, разлагаясь, дает губку.

Такое объяснение нельзя считать справедливым, так как, во-первых, в таких металлах, как мышьяк, медь, перенапряжение водорода достаточно высоко, и, во-вторых, добавление к электролиту гидроокиси цинка и образование ее при введении в раствор щелочи, как правило, не вызывает выделения на катоде губчатых осадков цинка.

Падение выхода металла по току при осаждении цинка в присутствии меди, мышьяка, сурьмы, а также кобальта, никеля, германия и кадмия, которые авторы [2, 3, 5] объясняют тем, что эти примеси, выделяясь на катоде, образуют с цинком микрошары. В результате действия этих микрошаров цинк, как более электроотрицательный металл, растворяется, а на металлах примесей Co, Ge, Cd с пониженным перенапряжением водорода, как на катодных участках микрошар, выделяется водород. Такая точка зрения вполне приемлема для объяснения причин падения выхода по току при электроосаждении цинка, но она не объясняет, почему в присутствии некоторых из этих примесей возникают губчатые образования на катоде.

На основании данных исследований цинкатоных электролитов Н. Т. Кудрявцевым высказывалось предположение, что возможными причинами образования губки в данном случае являются или контактное отщепление катодным осадком цинка (при недостаточной его поляризации) более электроположительного металла [6], или разряд ионов более электроположительного металла на предельном токе, или оба эти процесса вместе [7] в зависимости от того, каковы концентрации примесей и величина плотности тока при электроосаждении цинка. Чтобы выяснить, насколько целесообразно такое объяснение, были проведены соответствующие эксперименты.

Установление истинной причины отрицательного влияния примесей других металлов при электроосаждении цинка было необходимо также для разработки более рациональных условий очистки электролита от этих примесей.

Для решения поставленной задачи необходимо было выяснить величины минимальных концентраций примесей металлов, при которых воз-

никами губчатые образования на катоде, время, по истечении которого становятся заметными эти образования при погружении пинна в раствор без тока (контактное вытеснение), и, наконец, изменение катодного потенциала в зависимости от плотности тока и времени электролиза в новом электролите с добавками солей других металлов и в чистых растворах солей этих металлов при малых концентрациях.

В связи с этим исследованием проводились методом измерения катодных потенциалов, а также путем визуального наблюдения за изменением состояния поверхности пинна при поляризации его током при электроосаждении пинна и при погружении в раствор без тока в зависимости от природы и содержания примесей в нем.

В качестве электролитов применялись следующие растворы:

№ 1. $\text{ZnSO}_4 \cdot 7\text{H}_2\text{O} - 215 \text{ г/л}$ (1,5 N), pH ~ 4;

№ 2. $\text{ZnSO}_4 \cdot 7\text{H}_2\text{O} - 215 \text{ г/л} + \text{Al}_2(\text{SO}_4)_3 \cdot 18\text{H}_2\text{O} - 30 \text{ г/л}$; pH ~ 4;

№ 3. $\text{ZnSO}_4 \cdot 7\text{H}_2\text{O} - 215 \text{ г/л} + \text{Al}_2(\text{SO}_4)_3 \cdot 18\text{H}_2\text{O} - 30 \text{ г/л} +$
+ декстрин — 10 г/л; pH ~ 4.

Соли меди, сурьмы и мышьяка добавлялись к электролитам указанных выше составов в различных количествах до явного образования губки на катоде.

Медь вводилась в электролиты в виде сернокислотной соли $\text{CuSO}_4 \cdot 5\text{H}_2\text{O}$ в количестве от 1 до 30 мг/л, сурьма — в виде трихлорида сурьмы SbCl_3 от 1 до 100 мг/л, мышьяк в виде трихлорида AsCl_3 от 1 до 5 мг/л, мышьяк в металле во всех случаях.

Трихлориды сурьмы и мышьяка в присутствии концентрированной соляной кислоты на протяжении электролиза сурьмы SbCl_3 и мышьяка AsCl_3 подвергались гидролизу с образованием осадков гидратов окислов сурьмы и мышьяка.

Трихлорид мышьяка AsCl_3 практически не растворялся в едкой щелочи, поэтому который затем нейтрализовался серной кислотой.

Осадки гидролизались при температурах 20 и 50° без перемешивания раствором электролита, проводились при плотности тока на катоде, равной 1 А/дм². Проводимость электролита была равной 40 мин., что соответствовало толщине электролита 0,5 мм.

Плотность тока была равной 1 А/дм². Катоды были изготовлены из чистого пинна, катоды из свинцовой и медной ленты. Катоды были зачищены в водосточные ванны — электролиты.

Подготовка поверхности катодов осуществлялась путем обезжиривания, травления в азотной и HCl, медь в HNO₃, окисления в щелочи и деаэрирования в водосточной ванне под током. Во всех случаях катоды помещались в ванны под ток.

Продолжительность до выделения электрохимических металлов, проводилось из расчета 1 мин. в новом электролите. Если при этом покрытие было недостаточным, то электролит перерабатывался дополнительным током или окислялся до получения хорошего осадка.

Для исследования в мышьяковых растворах в присутствии тока применялись две температуры электролиза: 20 и 50° с толщиной слоя 0,5 мм. В этом случае электролиз проводился в течение 10 мин. В этом случае электролиз проводился в течение 10 мин. В этом случае электролиз проводился в течение 10 мин.

Опыты показали, что в присутствии меди, сурьмы и мышьяка в новом электролите поверхность пинна темнела при электролизе, так и в отсутствие тока темнела. Причем тем быстрее, чем большие концентрации этих примесей. При некотором предельном содержании этих металлов катод покрывался губчатой массой. Последняя состоит из металла пинна и меди и мышьяка. Минимальная концентрация меди, сурьмы и мышьяка, при которой становился заметным образование губки на катоде во время электролиза, а также быстрее потемнение поверхности пинна с последующим образованием губки в отсутствие тока, зависит от природы металла примеси, состава и температуры электролита.

Наибольшее влияние оказывает мышьяк, минимальная концентрация катодов для образования губки примерно в 30 раз ниже концентрации меди и в 10 раз ниже концентрации сурьмы.

В растворах сернокислотного пинна с добавками солей других металлов и поверхностно-активных веществ (электролиты № 2 и 3) влияние приме-

выражено несколько слабее, чем в чистом растворе сульфата цинка (электролит № 1).

С повышением температуры электролитов допустимый предел концентрации указанных металлов уменьшается.

Наибольшее изменение цвета — потемнение поверхности цинка при осаждении его на катоде — наступает при содержании в электролите: меди и сурьмы по 10 мг/л, а мышьяка всего лишь 1 мг/л.

Минимальные концентрации металлов примесей в цинковых электролитах, при которых на катоде возникают губчатые образования, приведены в следующей таблице.

Минимальные концентрации меди, сурьмы и мышьяка в цинковых электролитах, при которых образуется губка на катоде при $D_{\text{к}} = 1 \text{ А дм}^2$

Характер губки	Металл примеси	Температура электролитов					
		20°			50°		
		№ 1	№ 2	№ 3	№ 1	№ 2	№ 3
		Концентрация примесей в мг/л					
Слоистые губчатые образования	Медь	~100	~100	~100	50	50	50—100
	Сурьма	~30	~50	≥50	~30	~30	30—50
	Мышьяк	1	3	5	1	3	5
Сплошная губка по поверх- ности	Медь	200	200—300	300	100	100—200	>200
	Сурьма	50	50—100	≥100	30—50	50	>50
	Мышьяк	3	5—8	8	3	5	>5

Как правило, при концентрациях меди, сурьмы и мышьяка, соответствующих образованию сплошной губки на катоде во время электролиза, при погружении в эти растворы без тока быстро темнеет, покрываясь черной губчатой массой, после чего наступает выделение водорода. Последнее объясняется, по видимому, действием микропар, образующихся между цинком и высадившимися на нем кристаллами металла примеси. В этом цинк, являясь анодом такой микропары, переходит в раствор. В другом более положительном металле, как на катодном участке, выделяется водород.

Изменение поверхности цинка и выделение водорода при погружении без тока в электролите № 3 (с добавками) наступает позже, чем в электролите № 1 (без добавок).

При электролизе во всех случаях выделения водорода почти не наблюдается. Исследования выходов по току показали, что они не отличаются обычно получаемых при электроосаждении цинка из чистых цинковых электролитов при pH ~ 4 и составляют 96—98 %.

Согласно некоторым данным [8], структура электролитических осадков зависит от структуры покрываемой поверхности. При известных условиях покрытие может воспроизводить структуру катода. Это явление объясняется ориентирующим влиянием структуры основания на форму роста кристаллов, которое оказывается тем большим, чем меньше эффект изменения условий электролиза. С целью выяснения влияния состояния поверхности катода (гладкая или губчатая поверхность) на характер осадков цинка при наращивании их из чистых электролитов № 1—3 были проведены соответствующие опыты.

Губка на поверхности катода создавалась путем осаждения цинка из чистых электролитов, но с добавками меди, мышьяка и сурьмы при концентрациях, соответствующих образованию губчатого осадка. Дальнейшее

осаждение цинка из чистых электролитов на губчатой поверхности происходило при комнатной температуре и плотности тока $D_k = 1 \text{ A/dm}^2$ в течение 2,5 час., что соответствует толщине компактного осадка около 30 μ .

Эти данные показали, что в чистом цинковом электролите № 1 без добавок осадок цинка имеет такую же губчатую форму, как и покрываемая поверхность. В электролите № 2 с добавкой сульфата алюминия губчатая поверхность частично перекрывается компактным слоем цинка, но общий цвет сохраняется. В электролите № 3, содержащем, кроме сульфата

алюминия, органическую добавку декстрина, губчатая поверхность во время электролиза полностью перекрывалась плотным светлым слоем цинка. Таким образом губчатая форма осадка цинка на губчатой поверхности основания при некоторых условиях может долго сохраняться и при электролизе чистого электролита без примесей, вызывающих губку.

Разница в характере осадков, полученных из электролитов различного состава, повидимому, объясняется неодинаковой величиной катодной поляризации, которая является существенным фактором в процессе электрокристаллизации металлов.

Как известно [1], с повышением катодной поляризации при допустимых в гальваностегии плотностях тока в большинстве случаев уменьшается величина кристаллов в осадке, и увеличивается рассеивающая способность электролита, что приводит к образованию более плотных и равномерных покрытий. В электролите № 3, как показано ниже, катодная поляризация значительно выше,

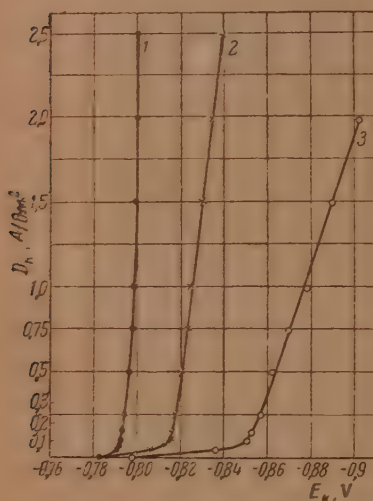


Рис. 1. Катодная поляризация в цинковых электролитах при температуре 20° без перемешивания: 1 — ZnSO_4 1,5 N; 2 — ZnSO_4 1,5 N + $\text{Al}_2(\text{SO}_4)_3 \cdot 18\text{H}_2\text{O}$ — 30 г/л; 3 — ZnSO_4 1,5 N + $\text{Al}_2(\text{SO}_4)_3 \cdot 18\text{H}_2\text{O}$ — 30 г/л + декстрин — 10 г/л

чем в электролите № 1, и, следовательно, ее влияние на структуру осадка больше и, очевидно, преобладает над ориентирующим действием структуры основания.

Нами были также измерены катодные потенциалы в зависимости от плотности тока и времени электролиза в цинковых электролитах и в растворе сернокислой меди при малой концентрации, соответствующей условиям образования губки на катоде при электроосаждении цинка.

Измерения производились обычным компенсационным методом на платиновом катоде, в отверстие которого с обратной стороны, заплавленном стеклом, была вставлена капиллярная трубка — гебер. Перед каждой серией измерения потенциалов платиновый катод покрывался сначала медью и затем цинком, слоями толщиной в 5 μ каждый. В качестве эталона сравнения служил каломельный полуэлемент.

Результаты этих опытов приведены на рис. 1—3.

Как следует из графика кривых, приведенного на рис. 1, катодная поляризация в электролите № 3 с декстрином выражена значительно резче, чем в электролите № 1 (без добавок). При температуре 20° и плотности тока 1 A/dm^2 в электролите № 3 катодная поляризация составляет примерно 100 mV, в то время как в электролите № 1 она достигает всего лишь 15 mV. В электролите № 2 катодная поляризация при этих условиях также выше, чем в первом электролите, и составляет около 50 mV.

при повышении температуры до 50° катодная поляризация в электролите 2 снижается примерно в два раза.

В присутствии солей меди, сурьмы и мышьяка в малых количествах, из которых только начинает образовываться на катоде губчатый осадок,

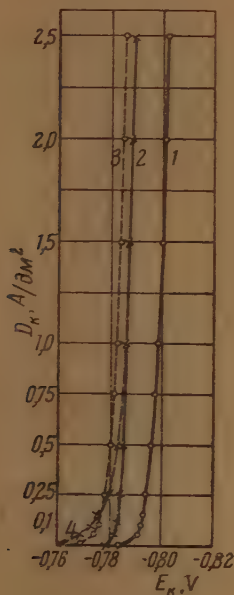


Рис. 2

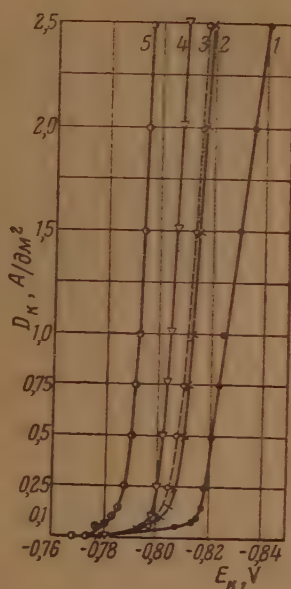


Рис. 3

с. 2. Катодная поляризация в цинковых электролитах. 1— ZnSO_4 —1,5 N; 2— ZnSO_4 —1,5 N + As — 0,003 г/л ($t = 20^\circ$); 3 — ZnSO_4 —1,5 N; 4 — ZnSO_4 —1,5 N + As — 0,003 г/л; 1 и 2 при $t = 20^\circ$; 3 и 4 при $t = 50^\circ$

с. 3. Катодная поляризация в цинковых электролитах при температуре 20° без перемешивания. 1 — ZnSO_4 1,5 N + $\text{Al}_2(\text{SO}_4)_3 \cdot 18\text{H}_2\text{O}$ — 30 г/л; 2 — ZnSO_4 1,5 N + $\text{Al}_2(\text{SO}_4)_3 \cdot 18\text{H}_2\text{O}$ — 30 г/л + As — 0,005 г/л; 3 — ZnSO_4 1,5 N + $\text{Al}_2(\text{SO}_4)_3 \cdot 18\text{H}_2\text{O}$ — 30 г/л + Cu — 0,1 г/л; 4 — ZnSO_4 1,5 N + $\text{Al}_2(\text{SO}_4)_3 \cdot 18\text{H}_2\text{O}$ — 30 г/л + Sb — 0,03 г/л; 5 — ZnSO_4 1,5 N + $\text{Al}_2(\text{SO}_4)_3 \cdot 18\text{H}_2\text{O}$ — 30 г/л + Cu — 0,2 г/л

к, катодный потенциал становится менее отрицательным, что особенно заметно при температуре 20° (рис. 2 и 3).

Наиболее сильное влияние оказывает мышьяк, который при содержании всего лишь 0,005 г/л снижает катодную поляризацию примерно на такую же величину, как и медь при содержании в 0,1 г/л, т. е. мышьяк действует в 20 раз эффективнее меди (рис. 3).

При повышенной температуре (50°) в присутствии этих примесей, за исключением мышьяка, потенциалы сдвигаются также в положительную сторону, но гораздо в меньшей степени — всего лишь на несколько милливольт, — чем при комнатной температуре.

Измерения потенциалов цинка без тока в зависимости от времени выдержки (кривые $E - \tau$) в электролите № 2 с добавкой меди ~ 0,1 г/л показали, что в течение первых 5—6 мин. они падают от более отрицательных к менее отрицательным значениям (рис. 4). Это можно объяснить частичной заменой цинка медью, выделяющейся на поверхности цинка за счет контактного вытеснения.

Испытания же потенциалов цинка без тока в растворах солей меди, сурьмы и мышьяка при «предельных» их концентрациях относительно насыщенного электрода показали, что величины этих потенциалов с временем меняются и сдвигаются в сторону электроотрицательных значений на несколько десятков милливольт. Наибольший сдвиг потенциалов наблюдается в растворах солей мышьяка и сурьмы. Так, за 65 мин. потенциалы цинка изменились в растворах солей: меди (0,2 г/л) на 20 мВ, сурьмы (0,005 г/л) на 30 мВ и мышьяка (0,005 г/л) на 54 мВ. Это указывает на то, что металлы примеси, выделяясь на цинке, активизируют его поверхность, являясь как бы деполаризатором цинка. Последнее связано с действием микропар, возникающих на поверхности электрода между цинком и электроотрицательным металлом. На деполаризующее действие

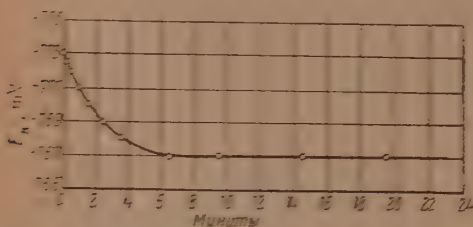


Рис. 4. Изменения потенциала цинка без тока E — в электролите № 2 с добавкой меди 0,1 г/л

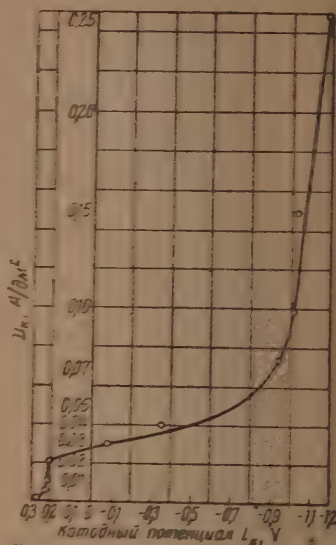


Рис. 5. Катодная поляризация в растворе насыщенной меди (0,2 г/л Cu) при температуре 20°

Cu, As и Sb указывает также сдвигение катодной поляризации при электролизе цинковых растворов, содержащих примеси этих металлов.

Чтобы установить, при каких примерно плотностях тока достигается предельный ток по выделению какого-либо электроотрицательного металла, добавляемого в цинковый электролит, были измерены катодные потенциалы при электролизе насыщенного раствора сурьмистой меди, содержащего 0,2 г/л меди. Измерения производились при комнатной температуре описанным выше методом. Полученная при этом поляризационная кривая рис. 5 показывает, что резкий сдвиг потенциалов от положительных величин по большим отрицательным значениям, соответствующим области предельного тока, наступает уже при плотностях тока 0,02—0,05 А/дм². При плотностях тока 0,05 А/дм² и выше на катоде образуется черный губчатый осадок. При плотностях тока ниже 0,02 А/дм² осадка меди в этом растворе получались плотными и светлыми.

В соответствии с этим были проведены также наблюдения за изменением характера катодного осадка при электролизе цинкового электролита № 2 в присутствии 0,1 и 0,2 г/л меди при комнатной температуре и плотностях тока $I_k = 0,01; 0,02; 0,05$ и 0,1 А/дм² на латунном и цинковом катодах. Эти опыты показали, что при плотностях тока ниже 0,02 А/дм² на обоих катодах в начале электролиза, в течение 3—5 мин., выделяется только одна медь в виде плотного розового и красного осадка. Затем цвет осадка постепенно меняется, начиная с краев катода, приобретая темную окраску вследствие частичного выделения цинка, наряду с медью. Через 30—40 мин. сначала на краях, а затем по всей поверхности катода образуется сплошная тонкодисперсная губчатая масса черного цвета.

В электролите № 2, содержащем 0,1 г/л Cu, при $D_K = 0,01$ А/дм² электролиз продолжался непрерывно 35 час. Губчатая форма осадка сохраняется до конца электролиза. За это время было пропущено через электролит (0,25 л) около 0,17 А·ч. Для полного выделения меди из раствора при содержании ее в ванне в 0,025 г требовалось примерно 0,022 А·ч, что составляет около 13% всего количества электричества, затраченного на электролиз. Однако к концу электролиза в растворе еще оставалось около 30% от первоначального количества. Анализ полученного осадка показал, что он содержит до 35% меди, включая и ту часть меди, которая была выделена на катоде в виде плотного осадка в начале электролиза. При дальнейшем электролизе в той же ванне в течение около 30 час. был получен губчатый осадок цинка с содержанием меди около 8%.

Таким образом расчет и химический анализ показывают, что губчатый осадок на катоде при электролизе цинковых растворов с примесью меди, как же, очевидно, и других электроположительных металлов состоит в основном из цинка.

Переход компактного осадка в губчатую форму здесь

можно объяснить тем, что по мере выделения на катоде меди концентрация ее в прикатодном слое, и в первую очередь у краевых участков, где плотность тока выше, падает, вследствие чего разряд ионов меди происходит на предельном токе. Как было показано ранее [6, 9], выделение металлов на катоде при достижении предельного тока диффузии ионов в большинстве случаев (Cu, Zn, Ni, Fe, Co и др.) происходит в виде компактного осадка. Так как по мере обеднения прикатодного слоя медью потенциал повышается, приближаясь к потенциалу выделения цинка, наряду с выделением меди осаждается цинк в губчатой форме.

При плотности тока около 0,02 А/дм² губка образуется уже в самом начале электролиза. Измерения потенциалов при $D_K = 0,02$ А/дм², в зависимости от времени электролиза (рис. 6), показывают, что в течение первых 2—3 мин. они меняются от менее отрицательных к более отрицательным значениям, что объясняется относительным увеличением содержания цинка в губчатом осадке.

При плотности тока выше 0,02 А/дм², вследствие разряда ионов на предельном токе, образование губки на катоде происходит очень быстро, с первого же момента электролиза. Также быстро образуется губка на катоде, если электролит содержит значительное количество солей электроположительных металлов, как это было показано в опытах с погружением цинка в растворы с примесями меди, мышьяка и сурьмы. При этом происходит контактное вытеснение цинком электроположительного металла (наряду с выделением на предельном токе), который, вследствие большой скорости процесса, выделяется на нем в губчатой форме. В связи с этим и электролитический осадок цинка растет на такой поверхности тоже в губчатой форме. Разница в потенциалах между цинком и электроположительными металлами (Cu, As, Sb) так велика, что этот процесс протекает даже при загрузке предварительно оцинкованного катода под нагрузкой.

Таким образом этими опытами было установлено, что губчатые осадки на катоде при электролизе слабых цинковых растворов, содержащих примеси более электроположительных металлов, образуются как вследствие разряда ионов последних на предельном токе, что нарушает нор-

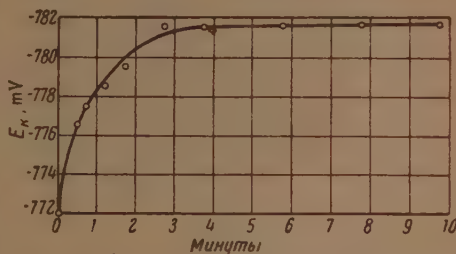


Рис. 6. Изменения потенциала цинкового катода со временем электролиза при плотности тока 0,02 А/дм² в электролите № 2 с добавкой меди 0,2 г/л Cu

маленький рост кристаллической решетки металла, так и вследствие быстрого вытеснения идином электроположительного металла. Переходит главным образом при очень малых концентрациях электроположительных металлов в раствор — преимущественно при повышенном содержании в растворе. Однако в обоих случаях в большей или меньшей степени существенно друг друга действующи обе эти причины.

Наличие замешанных чистых электроположительных металлов электролитов, повышающих степень аллиминия и органическую добавку, образует я. видимому, снижением активности ионов электролита и на поверхности поверхности цинка. Вследствие адсорбции органической добавки.

Это предположение согласуется также с тем, что катодная поляризация в электролите № 3 и 2 выше, чем в электролите № 1, не имеющих добавки.

Уменьшение скорости диффузии концентрации электроположительных металлов с повышением температуры связано с повышением активности их ионов и поверхности цинка.

Таким образом, что мышьяк и сурьма оказывают влияние при значительных концентрациях, чем медь, увеличивает также на более высокую активность или окислительную деполаризацию способность ионов электролитов в данных условиях.

ВЫВОДЫ

1. Изучены деполаризация влияния солей металлов более электроположительных, чем цинк, на характер изменения его поверхности и электролитных потенциалов при электролизе и в отсутствие тока в цинковых электролитах.

2. Показано, что в присутствии солей меди, сурьмы и мышьяка на поверхности цинка образуется губчатый осадок как при электролизе и при погружении его в раствор без тока.

3. Минимальные концентрации примесей солей более электроположительных металлов, при которых становится заметным образование губки на цинке, зависят от природы металла примеси, состава и температуры электролита.

Наибольшее влияние из трех металлов оказывает мышьяк, минимальная концентрация которого (3—5 мг л) при электроосаждении цинка (толщина слоя $M = 1 \sim 20$, $I_k = 1$ А дм², примерно в 30 раз ниже концентрации меди (100—200 мг л) и в 10 раз ниже концентрации сурьмы.

В цинковом электролите с добавками солей других металлов и органических веществ, повышающих катодную поляризацию, допустимые концентрации этих примесей немного увеличивается, а с повышением температуры — уменьшается.

4. Показано, что при электроосаждении цинка из чистых электролитов на катод с губчатой поверхностью губчатая форма осадка сохраняется тем продолжительнее, чем ниже катодная поляризация.

5. Электроосаждение цинка в присутствии солей меди, мышьяка, сурьмы в таких количествах, при которых на катоде образуется губка, протекает при менее электроотрицательных потенциалах, причем наибольшее влияние на величину потенциала при комнатной температуре оказывает мышьяк.

6. На основании результатов этих и ряда других опытов, проведенных, главным образом, в электролите с примесью меди, можно сделать вывод, что основными причинами образования губки на катоде при электроосаждении цинка из кислых растворов с примесями электроположительных металлов, является разряд ионов этих металлов на предельном токе в моментное вытеснение их цинком. Первое протекает преимущественно при очень малых концентрациях электроположительных мета-

в, второе — при повышенном содержании их в растворе. При известных условиях действуют обе причины одновременно.

Химико-технологический институт
им. Д. И. Менделеева
Москва

Поступила
4.XI.1954

ЛИТЕРАТУРА

- Н. Т. Кудрявцев, Электрохимическое цинкование. Металлургиздат, 1944;
В. И. Лайнер и Н. Т. Кудрявцев, Основы гальваностегии, т. 1, Металлур издат, 1953.
W. Palmoev, A. Wejnarth, Zs. f. Elektrochem., 29, 557, 1923.
Ю. В. Баймаков, Электролиз в металлургии, Металлургиздат, т. I, 1939, стр. 301—303.
В. Г. Хомяков, В. П. Машовец и Л. Л. Кузьмин, Технология электрохимических производств, Госхимиздат 1949, стр. 471—472.
А. Г. Печерская и В. В. Стендер, Журн. прикл. химии, 23, 931, 1950;
Журн. физ. химии, 24, 856, 1950.
Н. Т. Кудрявцев, Журн. физ. химии, 26, 270, 1952.
В. И. Лайнер и Н. Т. Кудрявцев, Основы гальваностегии, т. I, Металлургиздат, 1953, стр. 288.
G. Finch, H. Willman, L. Jank, Discuss. Farad. Soc., № 1, 144, 1947.
М. А. Лощкарев, А. Озеров и Н. Т. Кудрявцев, Журн. прикл. химии, 22, 298, 1949.
-

О НЕКОТОРЫХ ФОРМУЛАХ ПОТЕНЦИАЛОВ ИОНИЗАЦИИ АТОМНЫХ ИОНОВ

П. В. Немцев

В работе [1] мы установили функциональную зависимость потенциалов ионизации в виде формулы:

$$E_{z,n} = E_{n,n} + (E_{n+1,n} - E_{n,n})(z-n) + k_n(z-n-1)(z-n). \quad (1)$$

Здесь $E_{z,n}$ — потенциал ионизации, соответствующий атому с порядковым номером z и порядковому номеру ионизированного электрона; причем отсчет этих электронов ведется, начиная с ближайшего к ядру электрона; k_n — коэффициенты, постоянные для всех атомов при данном n ; численные значения которых приведены в таблице.

Здесь мы хотим показать, что кроме этой закономерной связи потенциалов ионизации существуют и другие связи, выражаемые другими формулами.

Заметим, что если все $E_{z,n}$ представить в виде полуквадратной таблицы, где атомный номер z будет давать строки, а n — столбцы, то, кроме того, очевидно $z \geq n$, то формула (1) дает непосредственную связь приращений потенциалов ионизации с изменением атомного номера, т. е. связь потенциалов ионизации, расположенных по вертикали.

Установленная нами следующая эмпирическая формула:

$$E_{z+1,n+1} - E_{z,n} = (E_{n+1,n+1} - E_{n,n}) + [k'_n + \delta'_n(z-n-1)](z-n), \quad (2)$$

даст связь потенциалов ионизации, как непосредственно видно из формулы, расположенных уже вдоль диагоналей таблицы $E_{z,n}$ параллельно главной диагонали. Здесь k'_n — коэффициенты и δ'_n — поправки к ним; причем при данном n они остаются одними и теми же для всех атомов. Численные значения k'_n и δ'_n приведены ниже в таблице.

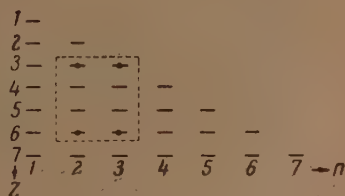
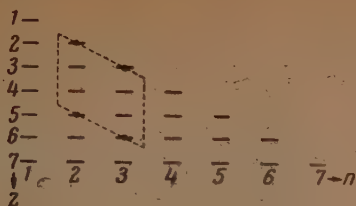
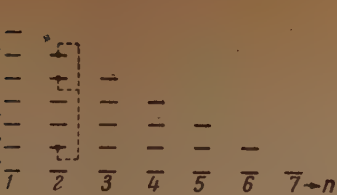
Пользуясь этой формулой, можно также заранее вычислять потенциалы ионизации, экспериментально не наблюдаемые, и тем самым контролировать вычисление по первой формуле. Укажем еще на существование двух формул:

$$E_{z-1,n+1} - E_{z,n} = E_{n+1,n+1} - E_{n+2,n} - [k''_n + \delta''_n(z-n-3)](z-n-2); \quad (3)$$

$$E_{z,n+1} - E_{z,n} = E_{n+1,n+1} - E_{n+1,n} - [k'''_n + \delta'''_n(z-n-2)](z-n-1). \quad (4)$$

Здесь k''_n , k'''_n , δ''_n , δ'''_n — коэффициенты, аналогичные k'_n и δ'_n , также приведенным в таблице.

Первая из этих формул [формула (3)] дает связь потенциалов ионизации по диагоналям таблицы $E_{z,n}$, ортогональным к главной диагонали; вторая — по горизонталям. Те связи потенциалов ионизации, о которых мы говорили при приведении соответствующих формул, можно представить в виде следующих четырех простых схем.



приведем вычисление потенциалов ионизации и сравним полученные с экспериментальными данными. Так, например, по формулам (4) потенциал ионизации для 16-го электрона Sc_{21} будет

$$E_{21,16} = 114,19; 114,19; 114,196; 114,1,$$

таблице экспериментальных данных

$$E_{21,16} = 114,2.$$

формуле (3) для неона и 6-го электрона

$$E_{10,6} = 127,05;$$

таблице

$$E_{10,6} = 127,0.$$

формуле (4), вычисляя E для атома Cr_{24} и 18-го электрона, получим

$$E_{24,18} = 167,57;$$

таблице же

$$E_{24,18} = 167,6.$$

мы видим из приведенных примеров, теоретические вычисления хорошее совпадение с экспериментом, и таким образом все эти достаточно приведенные формулы позволяют контролировать и уточнять вычисления $E_{z,n}$, полученные исходя из формулы (1).

Как и раньше [1], заметим, что для $n = 19-28, 37-45, 78$ формулы (4) требуют некоторой поправки.

Заметим, что все значения потенциалов ионизации атомов можно брать как величины различных основных уровней энергии с отрицательными знаками, если примем за нуль шкалы энергии атома с одним удаленным валентным электроном, т. е.

$$E_{z,n} = -13,547 \frac{T_{z,n}}{R} \text{ eV [2].}$$

R — постоянная Ридберга и $T_{z,n}$ — терм.

n	k'	δ'	k''	δ''	k'''	δ'''	k
1	10,18	0	44	0	16,93	0	13,54
2	-38,07	-10,12	92,15	-10,15	65,05	-10,14	13,538
3	2,94	0,03	10,71	0,026	3,89	0,029	3,12
4	0,31	0,107	13,45	0,095	6,56	0,098	3,44
5	2,17	0,0442	11,97	0,046	4,91	0,041	3,541
6	2,07	0,0525	12,26	0,045	5,15	0,05	3,59
7	0,90	0,025	13,66	0,03	6,41	0,02	3,639
8	2,07	0,0525	12,59	0,0487	5,28	0,048	3,671
9	1,97	0,045	12,92	0,0525	5,45	0,045	3,721
10	-15,17	-2,1525	30,5	-2,09	22,74	-2,140	3,772
11	1,21	0,025	5,27	0,021	2,03	0,023	1,62
12	-0,87	0,0805	7,4	0,075	4,15	0,085	1,64
13	1,26	0,045	5,63	0,041	2,18	0,038	1,72
14	1,21	0,0325	5,79	0,0237	2,32	0,032	1,762
15	0,61	0,032	6,6	0,0373	2,99	0,029	1,799
16	1,2	0,0375	6,13	0,0412	2,46	0,046	1,831
17	1,14	0,0465	6,33	0,0532	2,59	0,039	1,869
18	-4,77	0,123	12,4	0,125	8,65	0,135	1,911
19	0,50	0,05	7,71	0,05	3,60	0,06	2,04
20	0,69	0,025	7,77	0,046	3,4	0,02	2,091
21	0,50	0,0333	7,9	0,037	3,7	0,04	2,1
22	0,57	0,053	8,04	0,0565	3,72	0,0525	2,15
23	-0,37	-0,023	9,11	-0,03	4,74	-0,026	2,195
24	0,68	0,032	8,03	0,045	3,64	0,03	2,16
25	0,58	0,052	8,25	0,058	3,78	0,035	2,2
26	0,60	0,04	8,35	0,025	3,93	0,035	2,25
27	0,62	0,033	8,5	0,033	4,0	0,044	2,3
28	-7,05	-1,205	16,38	-1,203	11,68	-1,202	2,325
29	0,65	0,03	3,83	0,016	1,6	0,02	1,115
30	-1,04	0,0533	5,59	0,0487	3,31	0,051	1,137
31	0,80	0,027	4,13	0,04	1,57	0,027	1,187
32	0,74	0,03	4,14	0,0425	1,71	0,0301	1,2212
33	0,2	0,0125	4,78	0,01	2,31	0,021	1,2511
34	0,74	0,038	4,33	0,041	1,78	0,038	1,26
35	0,8	0,03	4,36	0,026	1,74	0,03	1,3
36	-4,2	0,055	9,5	0,052	6,82	0,04	1,321
37	0,69	0,031	4,81	0,031	2,14	0,038	1,35
38	0,97	0,035	4,53	0,02	1,78	0,035	1,385
39	0,04	0,05	5,26	0,045	2,81	0,05	1,425
40	0,65	0,045	5,23	0,038	2,33	0,0537	1,475
41	-0,16	-0,014	6,17	-0,021	3,17	-0,0162	1,515
42	0,72	0,028	5,24	0,033	2,28	0,035	1,5
43	0,56	0,054	5,54	0,0565	2,45	0,0437	1,525
44	0,65	0,035	5,66	0,0433	2,5	0,0375	1,59
45	0,55	0,0291	6,01	0,0387	2,74	0,034	1,625
46	-3,98	-0,735	10,58	-0,74	7,28	-0,742	1,65
47	0,60	0,025	3,05	0,025	1,23	0,023	0,912
48	-1,02	-0,0067	4,77	-0,0163	2,89	-0,011	0,937
49	0,67	0,0275	3,04	0,03	1,19	0,024	0,928
50	0,61	0,0325	3,23	0,0314	1,21	0,021	0,958
51	0,14	0,005	3,84	0,011	1,85	0,008	0,995
52	0,55	0,02	3,46	0,02	1,46	0,016	1,0
53	0,59	0,0251	3,52	0,02	1,45	0,0187	1,0205
54	-5,19	0,88	9,35	0,88	7,20	0,99	1,04
55							2,025
78	1,69	0,395	6,72	0,362	4,24	0,37	1,26
79	0,53	0,032	2,95	0,04	1,20	0,037	0,88
80	-1,05	-0,075			2,85	-0,075	0,925
81							0,885

Устанавливая функциональную зависимость потенциалов ионизации атомов, мы тем самым устанавливаем функциональную зависимость различных основных уровней энергии внутри атомов.

В заключение приведем таблицу всех коэффициентов k и δ , встречающихся во всех четырех приведенных выше формулах.

ВЫВОДЫ

Показано на существование некоторых эмпирических формул, при помощи которых можно предвычислять все потенциалы ионизации атомных ионов. Эти формулы, являясь независимыми, дают возможность проверки правильности получения величин потенциалов ионизации.

Поступила
5.XI.1954

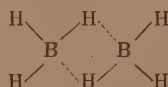
ЛИТЕРАТУРА

- В. Немцев, Журн. физ. химии, 29, 1031, 1955.
А. Блохин, Физика рентгеновских лучей, ГТТЛ, Москва, 1953.
-

КОЛЕБАТЕЛЬНЫЕ СПЕКТРЫ И СТРУКТУРА ДИБОРАНА

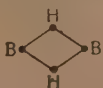
Л. М. Свердлов и И. Н. Зайцева

Проблема структуры диборана B_2H_6 — простейшего из бороводородов — в течение долгого времени привлекает к себе внимание многих исследователей. Особенность молекулы диборана заключается в том, что имеющиеся в нем 12 валентных электронов должны обеспечить больше шести связей. Различными авторами было предложено несколько моделей диборана. Первоначально многие авторы приписывали диборану этаноподобную структуру $H_3B\dot{B}H_3$ (I). Б. В. Некрасовым [1] была предложена этиленоподобная структура диборана (II):



два соединенных по ребру тетраэдра). Ряд других авторов [2, 3] также предложили этиленоподобную модель диборана, в которой атомы располагаются несколько иначе: два атома бора и четыре атома водорода находятся в одной плоскости, а остальные два атома водорода расположены на линии, перпендикулярной к этой плоскости и проходящей через середину линии $B-B$ на равных расстояниях от этой плоскости (этиленоподобная модель диборана с двумя равноценными водородными мостиками II). Ответ на вопрос — какая из этих моделей правильна, должен дать опыт.

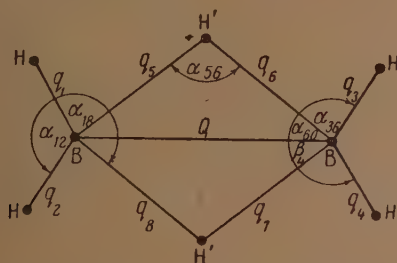
Первоначально, электронографический анализ не позволил сделать однозначный выбор в пользу какой-либо одной модели, поскольку теоретические кривые интенсивности, рассчитанные для моделей I и II, одинаково удовлетворительно совпадали с опытной кривой [2, 3]. Позднее Хедберг и Шомакер [4], произведя новое электронографическое исследование диборана, интерпретировали свои результаты на основе модели II. Многие авторы исследовали колебательные спектры диборана, попытавшись интерпретировать полученные спектры с точки зрения той или иной модели. Ряд авторов [5] интерпретировали колебательные спектры, исходя из этаноподобной модели. Однако такая интерпретация наталкивается на большие трудности: в комбинационном спектре $B_2^{11}H_6$ имеются две очень интенсивные поляризованные линии 2524 и 2104 cm^{-1} , которые должны соответствовать полносимметричным колебаниям $B-H$ в этаноподобной модели (симметрия D_{3d} или D_{3h}) должно быть одно такое колебание. Кроме того, исследование вращательной структуры инфракрасных спектров поглощения диборана показало [6], что эта молекула должна быть асимметричным волчком, в то время как этаноподобной структуре соответствует модель симметричного волчка. Исследование колебательных спектров инфракрасного поглощения и комбинационного рассеяния указывает на то, что в молекуле имеется центр симметрии. Это обстоятельство ограничивает число возможных моделей, оставляя лишь плоскую и неплоскую модель диборана с двумя водородными мостиками. Анализ тонкой структуры одной из инфракрасных полос диборана с центром у 368 cm^{-1} (эта линия соответствует неплоскому колеба-

нию кольца ) позволяет [6] исключить модель диборана, в

рой все атомы лежат в одной плоскости. В последние годы большинство авторов [6, 7] интерпретируют колебательные спектры, исходя из модели II (симметрия V_h). Наиболее полная интерпретация была представлена в работе [7] на основе анализа типа полос, интенсивностей, степени поляризации спектров инфракрасного поглощения и комбинационного рассеяния молекул $B_2^{10}H_6$, $B_2^{10}D_6$, $B_2^{10}H_8$. Для того чтобы окончательно утвердить эту интерпретацию (см. табл. 3), необходимо, очевидно, теоретический расчет частот нормальных колебаний диборана, исходя из модели II. Этот теоретический расчет на основе этой модели ранее уже производился [8]. Однако его нельзя признать удовлетворительным. Во-первых, авторы исходили из примитивной валентно-силовой модели, учитывая только диагональные силовые коэффициенты в матрице потенциальной энергии. Во-вторых, авторы допустили грубую ошибку, считая, что одна из колебаний (неплоскому колебанию кольца) в функции потенциальной энергии соответствует член, пропорциональный четвертой степени смещений координат, а не квадратичный член. В-третьих, авторы неправильно интерпретировали известные в то время колебательные спектры диборана.

РАСЧЕТ ЧАСТОТ И СИЛОВЫХ КОЭФФИЦИЕНТОВ

Расчет частот нормальных колебаний и постоянных потенциальной энергии диборана производился нами по методике М. А. Ельяшевича [9].



Колебательные координаты диборана

Для диборана имеется 18 нормальных колебаний. Для расчета были приняты 29 колебательных координат — изменения длин связей и величин углов (обозначения см. рисунок):

$$(i = 1 - 4), q_j (j = 5 - 8), Q, \alpha_{12}, \alpha_{34}, \beta_i (i = 1 - 4), \alpha_{jQ} (j = 5 - 8), \\ \alpha_{56}, \alpha_{78}, \alpha_{ij} (i = 1, 2, j = 5, 8; i = 3, 4, j = 6, 7).$$

Учитывая симметрию диборана, введем координаты симметрии. Имеются колебания следующих типов симметрии:

$$\Gamma = 4A_g + A_u + 2B_{1g} + 2B_{1u} + 2B_{2g} + 3B_{2u} + B_{3g} + 3B_{3u}.$$

Введем координаты симметрии для типов симметрии A_g , A_u и B_{3g} :

$$Q^{A_g} = \frac{1}{2} (q_1 + q_2 + q_3 + q_4), \quad Q'^{A_g} = \frac{1}{2} (q_5 + q_6 + q_7 + q_8), \quad Q^{A_g};$$

$$\alpha_1^{A_g} = \frac{1}{\sqrt{2}} (\alpha_{12} + \alpha_{34}), \quad \alpha_2^{A_g} = \frac{1}{2} (\alpha_{5Q} + \alpha_{6Q} + \alpha_{7Q} + \alpha_{8Q});$$

$$\alpha_3^{A_g} = \frac{1}{\sqrt{2}} (\alpha_{56} + \alpha_{78}), \quad \beta^{A_g} = \frac{1}{2} (\beta_1 + \beta_2 + \beta_3 + \beta_4);$$

$$\alpha_4^{A_g} = \frac{1}{2\sqrt{2}} (\alpha_{15} + \alpha_{18} + \alpha_{25} + \alpha_{36} + \alpha_{47} + \alpha_{46} + \alpha_{37} + \alpha_{28});$$

$$\alpha_4^{A_u} = \frac{1}{2\sqrt{2}} (\alpha_{15} - \alpha_{18} - \alpha_{25} - \alpha_{36} - \alpha_{47} + \alpha_{46} + \alpha_{37} + \alpha_{28});$$

$$\alpha_4^{B_{3g}} = \frac{1}{2\sqrt{2}} (\alpha_{15} - \alpha_{18} - \alpha_{25} + \alpha_{36} + \alpha_{47} - \alpha_{46} - \alpha_{37} + \alpha_{28}).$$

Между координатами симметрии имеются следующие 11 дополнительных соотношений:

$$1) \alpha_1^{A_g} + \beta^{A_g} \sqrt{2} = 0;$$

$$2) Q^{A_g} \sigma_1 \operatorname{cosec} \frac{\theta_1}{2} \sqrt{2} - q'^{A_g} \sigma_1 \operatorname{ctg} \frac{\theta_1}{2} \sqrt{2} - \alpha_3^{A_g} = 0;$$

$$3) Q^{A_g} \sigma_1 \operatorname{cosec} \frac{\theta_1}{2} - q'^{A_g} \operatorname{ctg} \frac{\theta_1}{2} \alpha_1 + \alpha_{2Q}^{A_g} = 0;$$

$$4) Q^{A_g} \sigma_1 \operatorname{ctg} \Phi \sec \frac{\theta_1}{2} \sqrt{2} - q'^{A_g} \operatorname{ctg} \Phi \sigma_1 \sqrt{2} - \alpha_1^{A_g} \operatorname{ctg} \Phi \operatorname{tg} \frac{\theta}{2} + \alpha_4^{A_g} = 0;$$

$$5) \alpha_4^{B_{1g}} - \frac{\cos \frac{\theta_1}{2} \sin \frac{\theta}{2}}{\sin \Phi} \sqrt{2} \beta^{B_{1g}} = 0;$$

$$6) q'^{B_{2g}} \sigma_1 \operatorname{tg} \frac{\theta_1}{2} + \alpha_{2Q}^{B_{2g}} = 0;$$

$$7) q'^{B_{1u}} \sigma_1 \operatorname{ctg} \frac{\theta_1}{2} - \alpha_{2Q}^{B_{1u}} = 0;$$

$$8) q'^{B_{1u}} \sigma_1 \operatorname{ctg} \frac{\theta_1}{2} \sqrt{2} + \alpha_3^{B_{1u}} = 0;$$

$$9) \alpha_1^{B_{2u}} + \beta^{B_{3u}} \sqrt{2} = 0;$$

$$10) q'^{B_{3u}} \sigma_1 \operatorname{tg} \frac{\theta_1}{2} + \alpha_{2Q}^{B_{3u}} = 0;$$

$$11) q'^{B_{3u}} \operatorname{ctg} \Phi \operatorname{tg}^2 \frac{\theta_1}{2} \sigma_1 \sqrt{2} - \operatorname{ctg} \Phi \operatorname{tg} \frac{\theta}{2} \alpha_1^{B_{3u}} + \alpha_4^{B_{3u}} = 0.$$

При расчете кинематических коэффициентов были использованы следующие геометрические параметры [4]: $s(B-H) = 1,18 \text{ \AA}$; $s_1(B-H') = 1,33$; $\angle HBN = \theta = 120^\circ$, $\angle H'BN' = \theta_1 = 97^\circ$. Ангармоничность учитывалась введением «спектроскопических масс» для водорода и дейтерия.

Потенциальная функция дибора характеризуется 87 силовыми коэффициентами, которые образуют 33 линейно независимых комбинации. Для определения этих 33 постоянных имеется 49 наблюдаемых частот.

Переходя к координатам симметрии и учитывая дополнительные условия (1), нетрудно получить симметризованные матрицы кинематических (табл. 1) и силовых коэффициентов, перемножая которые получим векторные уравнения дибора и его изотопозамещенных $B_2^{11}H_6$, $B_2^{10}H_6$ и $B_2^{10}D_6$. Используя отнесение частот, данное в работе [7], мы по методу вариационных постоянных произвели расчет силовых коэффициентов дибора (табл. 2). С этой системой силовых коэффициентов были получены вековые уравнения в численном виде. Корни этих уравнений вычислялись по методу итераций Л. С. Маянца [10].

Таблица 1

Симметризованные матрицы кинематических коэффициентов диборана

q	q'	α_1	Q
$\epsilon_H + \epsilon_B (1 + \cos \theta)$	$2\epsilon_B \cos \Phi$	$-V\sqrt{2} \epsilon_B \sigma \sin \theta$	$-2\epsilon_B \cos \frac{\theta}{2}$
$2\epsilon_B \cos \Phi$	$\epsilon_B (1 + \cos \theta_1) + \epsilon_H (1 - \cos \theta_1)$	$2V\sqrt{2} \epsilon_B \sigma \sin \frac{\theta}{2} \cos \frac{\theta_1}{2}$	$2\epsilon_B \cos \frac{\theta_1}{2}$
$-V\sqrt{2} \epsilon_B \sigma \sin \theta$	$2V\sqrt{2} \epsilon_B \sigma \sin \frac{\theta}{2} \cos \frac{\theta_1}{2}$	$2\sigma^2 [\epsilon_H + \epsilon_B (1 - \cos \theta)]$	$2V\sqrt{2} \epsilon_B \sigma \sin \frac{\theta}{2}$
$-2\epsilon_B \cos \frac{\theta}{2}$	$2\epsilon_B \cos \frac{\theta_1}{2}$	$2V\sqrt{2} \epsilon_B \sigma \sin \frac{\theta}{2}$	$2\epsilon_B$

q	β	α_4
$\epsilon_H + \epsilon_B (1 - \cos \theta)$	$-\epsilon_B \sigma \sin \theta$	$V\sqrt{2} \epsilon_B (\sigma \cos \Phi - \sigma_1) \frac{1 + \cos \theta}{\sin \Phi}$
$-\epsilon_B \sigma \sin \theta$	$\sigma^2 [\epsilon_H + \epsilon_B (1 + \cos \theta)]$	$\frac{V\sqrt{2}}{\sin \Phi} \{ \epsilon_B \sigma \sigma_1 \sin \theta + \sigma^2 \sin \frac{\theta}{2} \cos \frac{\theta_1}{2} \times$ $\times [\epsilon_H + \epsilon_B (1 + \cos \theta)] \}$
$V\sqrt{2} \epsilon_B (\sigma \cos \Phi - \sigma_1) \times$ $\times \frac{1 - \cos \theta}{\sin \Phi}$	$\frac{V\sqrt{2}}{\sin \Phi} \{ \epsilon_B \sigma \sigma_1 \sin \theta +$ $+ \sigma^2 \sin \frac{\theta}{2} \cos \frac{\theta_1}{2} \times$ $\times [\epsilon_H + \epsilon_B (1 + \cos \theta)] \}$	$\frac{2(1 - \cos \theta)}{\sin^2 \Phi} [\epsilon_B (\sigma \cos \Phi -$ $- \sigma_1)^2 + \epsilon_H \sigma_1^2] +$ $+ \epsilon_H \sigma^2 \left(1 + \frac{\cos \theta_1 - \cos^2 \Phi}{\sin^2 \Phi} \right)$

q	q'	α_1
$\epsilon_H + \epsilon_B (1 + \cos \theta)$	$2\epsilon_B \cos \Phi$	$-V\sqrt{2} \epsilon_B \sigma \sin \theta$
$2\epsilon_B \cos \Phi$	$(\epsilon_H + \epsilon_B) (1 + \cos \theta_1)$	$2V\sqrt{2} \epsilon_B \sigma \sin \frac{\theta}{2} \cos \frac{\theta_1}{2}$
$-V\sqrt{2} \epsilon_B \sigma \sin \theta$	$2V\sqrt{2} \epsilon_B \sigma \sin \frac{\theta}{2} \cos \frac{\theta_1}{2}$	$2\sigma^2 [\epsilon_H + \epsilon_B (1 - \cos \theta)]$

q	α_4
$\epsilon_H + \epsilon_B (1 - \cos \theta)$	$\frac{V\sqrt{2}(1 - \cos \theta)}{\sin \Phi} \epsilon_B (\sigma \cos \Phi - \sigma_1)$
$\frac{V\sqrt{2}(1 - \cos \theta)}{\sin \Phi} \epsilon_B (\sigma \cos \Phi - \sigma_1)$	$\frac{2(1 - \cos \theta)}{\sin^2 \Phi} \epsilon_B (\sigma_1 - \sigma \cos \Phi)^2 +$ $+ \epsilon_H \sigma^2 \left(1 + \frac{\cos \theta_1 - \cos^2 \Phi}{\sin^2 \Phi} \right)$

Таблица 1 (продолжение)

B_{11}	φ	α_4
φ	$(\varepsilon_H - \varepsilon_B)(1 - \cos \theta_1)$	$\sqrt{2} \frac{1 - \cos \theta_1}{\sin \Phi} [(\varepsilon_H + \varepsilon_B) \sigma_1 \cos \Phi - \varepsilon_H \sigma^2]$
α_4	$\sqrt{2} \frac{1 - \cos \theta_1}{\sin \Phi} \times$ $\times [(\varepsilon_H + \varepsilon_B) \sigma_1 \cos \Phi - \varepsilon_B \sigma]$	$\frac{1 - \cos \theta_1}{\sin^2 \Phi} \{2\varepsilon_B (\sigma - \sigma_1 \cos \Phi)^2 + \varepsilon_H \sigma^2 + 2\varepsilon_H \sigma_1^2 \cos^2 \Phi\}$
B_{25}	φ	α_4
φ	$\varepsilon_H (1 + \cos \theta_1) + \varepsilon_B (1 - \cos \theta_1)$	$-\sqrt{2} \frac{1 - \cos \theta_1}{\sin \Phi} \times$ $\times [\varepsilon_H \sigma_1 \cos \Phi + \varepsilon_B (\sigma - \sigma_1 \cos \Phi)]$
α_4	$-\sqrt{2} \frac{1 - \cos \theta_1}{\sin \Phi} \times$ $\times [\varepsilon_H \sigma_1 \cos \Phi + \varepsilon_B (\sigma - \sigma_1 \cos \Phi)]$	$\frac{1 - \cos \theta_1}{\sin^2 \Phi} \left[\varepsilon_H \sigma^2 + \frac{1}{2} \varepsilon_H \sigma_1^2 (1 - \cos \theta_1) \right.$ $\left. \times (1 + \cos \theta) + 2\varepsilon_B (\sigma - \sigma_1 \cos \Phi)^2 \right]$
A_u	$(\alpha_4 \alpha_4) \varepsilon_H \sigma^2 \frac{1 - \cos \theta_1}{\sin^2 \Phi}$	
B_{3g}	$(\alpha_4 \alpha_4) \varepsilon_H \sigma^2 \frac{1 - \cos \theta_1}{\sin^2 \Phi} + 2\varepsilon_H \sigma_1^2 \frac{1 - \cos \theta}{\sin^2 \Phi}$	

Обозначения: $\varepsilon_1 = \frac{m_H}{m_1}$; $\sigma = \frac{s(C-H)}{s(B-H)}$; $\sigma_1 = \frac{s(C-H)}{s_1(B-H)}$; $\theta = \angle HBN$;
 $\theta_1 = \angle H'BN'$; $\Phi = \angle HBN'$.

ОБСУЖДЕНИЕ РЕЗУЛЬТАТОВ

Результаты расчета представлены в табл. 3, в которой для всех частот указан род координат. Совпадение между вычисленными и наблюдаемыми частотами очень хорошее — средняя ошибка составляет 6 см⁻¹, максимальная ошибка равна 28 см⁻¹. Отсюда можно сделать вывод, что интерпретация колебательных спектров произведена правильно, а следовательно, верна этиленоподобная модель диборана с двумя равноценными водородными мостиками, на основе которой была произведена интерпретация и расчет частот нормальных колебаний диборана. В пользу этой модели свидетельствует также то, что небольшое изменение геометрических параметров мало влияет на результаты расчета. Мы провели два варианта расчета: 1) используя данные Белла [8] $s(B-H) = 1,18$, $s_1(B-H') = 1,39$ Å, $\angle HBN = 120^\circ$, $\angle H'BN' = 109^\circ$, и 2) $s(B-H) = 1,18$ Å, $s_1(B-H') = 1,39$ Å, $\angle HBN = \angle H'BN' = 109^\circ 28'$. В обоих случаях было получено такое же хорошее совпадение вычисленных и наблюдаемых частот, причем силовые коэффициенты в этих вариантах сравнительно мало отличаются от системы силовых коэффициентов табл. 2.

Приведенные в табл. 2 численные значения силовых коэффициентов соответствующих координатам симметрии, являются (вследствие наличия дополнительных соотношений между координатами) весьма сложными комбинациями 87 силовых коэффициентов для естественных координат.

Таблица 2

Симметризованные матрицы силовых коэффициентов диборана*

	q	q'	α_1	Q	B_{3u}	q	q'	α_1
	6,07	0,09	0,15	0,2	q	6,12	0,25	0,15
	0,09	3,64	-0,2	-0,35	q'	0,25	2,72	-0,2
	0,15	-0,2	0,77	-0,38	α_1	0,15	-0,2	0,72
	0,2	-0,35	-0,38	4				

u	q	β	α_4	B_{1u}	q'	α_4
	5,92	0	0	q'	3,19	0,37
	0	1,02	-0,025	α_4	0,37	0,724
	0	-0,025	0,056			

	q'	α_4	B_{1g}	q	α_4	A_u	α_4	B_{3g}	α_4
	2,8	0,19	q	5,76	0	α_4	0,639	α_4	0,31
	0,19	0,744	α_4	0	0,85				

В единицах 10^8 см^{-2}

Таблица 3

Интерпретация колебательных спектров диборана и его изотопозамещенных
(в см^{-1})

Коорд.	Симм.	$B_2^{11}\text{H}_6$		$B_2^{10}\text{H}_6$		$B_2^{10}\text{D}_6$		$B_2^{10}\text{D}_2\text{H}_4$	$B_2^{10}\text{H}_4\text{D}_2$
		набл.	выч.	набл.	выч.	набл.	выч.	выч.	выч.
(B — H)	A_g	2524	2518		2525	1860	1867	2524	1839
(B — H')	A_g	2104	2076		2080	1511	1527	1546	2091
α_1 (HBN)	A_g	1180	1181		1189	929	934	1188	951
(B — B)	A_g	794	788	820	816	726	701	787	712
α_1 (HBN')	A_u	829	829	829	829	592	593	829	593
(B — H')	B_{2g}	1747	1744		1747	1273	1279	1298	1732
α_1 (HBN')	B_{2g}	1035	1032	1044	1051	870	871	1050	875
(B — H')	B_{2u}	2612	2609	2625	2626	1999	2003	2626	2006
β (BBH)	B_{2u}	950	955		956	705	696	956	697
α_1 (HBN)	B_{2u}	368	366	368	367	262	269	273	363
(B — H)	B_{1g}	2691	2582		2601	1980	2000	2601	2000
α_1 (HBN')	B_{1g}	920	917	930	930	740	746	930	747
(B — H')	B_{1u}	1915	1924	1920	1932	1465	1450	1451	1932
α_1 (HBN')	B_{1u}	973	958	977	965	728	731	954	742
α_1 (HBN')	B_{3g}	1012	1015		1015	730	726	831	932
(B — H)	B_{3u}	2525	2526	2528	2531	1845	1852	2531	1852
(B — H')	B_{3u}	1602	1607	1606	1612	1205	1194	1199	1607
α_1 (HBN)	B_{3u}	1177	1170	1181	1177	881	883	1176	888

Коэффициенты влияния диборана *

Обобщ. силы	Обобщенные силы							
	$f(q_1)$	$f(q_2)$	$f(Q)$	$f(\beta_1)$	$f(\alpha_{12})$	$f(\alpha_{13})$	$f(\alpha_{23})$	$f(\alpha_{3Q})$
$f(q_1)$	0,169	-0,007	-0,006	0,014	-0,028	0,006	-0,004	0,000
$f(q_2)$	-0,003	-0,007	-0,006	0,014	-0,028	0,006	-0,004	0,000
$f(q_3)$	-0,001	0,003	-0,005	0	0	0,001	-0,004	-0,002
$f(q_4)$	0,002	0,003	-0,003	0	0	0,001	-0,004	-0,002
$f(q_5)$	-0,007	0,339	0,017	-0,36	0,071	-0,05	-0,204	-0,069
$f(q_6)$	0,003	-0,031	0,017	0,033	-0,006	-0,063	-0,204	0,27
$f(q_7)$	0,003	-0,016	0,017	0,003	-0,006	-0,036	0,037	-0,01
$f(q_8)$	-0,007	-0,009	0,267	-0,036	0,071	0,043	0,037	-0,02
$f(Q)$	-0,006	0,017	-0,051	-0,051	0,101	0,022	0,267	-0,13
$f(\beta_1)$	0,014	-0,036	-0,051	-0,999	-0,707	0,522	-0,032	0,03
$f(\beta_2)$	0,014	-0,036	-0,051	-0,292	-0,707	-0,118	-0,032	0,03
$f(\beta_3)$	0	0,003	-0,051	-0,153	0,007	-0,165	-0,032	-0,00
$f(\beta_4)$	0	0,003	-0,051	0,147	0,007	0,162	-0,032	-0,00
$f(\alpha_{12})$	-0,028	0,071	0,101	-0,707	1,414	-0,404	0,064	-0,05
$f(\alpha_{34})$	0	-0,006	0,101	0,007	-0,013	0,003	0,064	0,00
$f(\alpha_{15})$	0,006	-0,05	0,022	0,522	-0,404	3,505	0,106	-0,05
$f(\alpha_{18})$	0,003	0,013	0,022	0,522	-0,404	1,594	0,019	-0,05
$f(\alpha_{25})$	0,003	-0,05	0,022	-0,118	-0,404	-2,652	0,106	-0,05
$f(\alpha_{28})$	0,003	0,043	0,022	-0,118	-0,404	-2,163	0,019	-0,05
$f(\alpha_{36})$	0,001	-0,063	0,022	-0,165	0,003	2,186	0,106	-0,05
$f(\alpha_{37})$	0,001	-0,036	0,022	-0,165	0,003	1,746	0,019	-0,05
$f(\alpha_{46})$	0,001	-0,063	0,022	0,162	0,003	-2,302	0,106	-0,05
$f(\alpha_{47})$	0,001	-0,036	0,022	0,162	0,003	-1,912	0,019	-0,05
$f(\alpha_{56})$	-0,004	-0,204	0,267	-0,032	0,064	0,106	0,587	-0,29
$f(\alpha_{78})$	-0,001	0,037	0,267	-0,032	0,064	0,019	0,238	-0,11
$f(\alpha_{3Q})$	0,006	-0,069	-0,134	0,034	-0,067	-0,059	-0,294	0,305
$f(\alpha_{6Q})$	-0,002	0,273	-0,134	-0,002	0,004	-0,047	-0,294	-0,01
$f(\alpha_{7Q})$	-0,002	-0,015	-0,134	-0,002	0,004	0,027	-0,119	0,05
$f(\alpha_{8Q})$	0,006	-0,022	-0,134	0,034	-0,067	-0,046	-0,119	0,06

* В единицах 10^{-6} см².

Поэтому последние не могут быть определены, за исключением силовых коэффициентов, характеризующих взаимодействие внешних связей В — Н между собой: $k_{q_1}(B-H) = 5,97$; $h_{12} = 0,13$; $h_{13} = 0,03$; $h_{14} = -0,01$ (в единицах 10^6 см⁻²). Кроме силовых коэффициентов был произведен также расчет системы коэффициентов влияния k_{ij}^{-1} диборана, дающих более полную характеристику силового поля молекулы, и их вариантов к преобразованию координат [10], 33 линейно независимых коэффициентов влияния были определены по обычной методике перехода к обратным матрицам; остальные коэффициенты мы вычислили, учитывая, что коэффициенты влияния подчинены тем же дополнительным условиям (1), что и сами колебательные координаты симметричной. Полученная система коэффициентов влияния помещена в табл. 4.

Рассмотрение коэффициентов влияния позволяет сделать следующие выводы об особенностях силового поля диборана: 1) прочность внешней связи В — Н в два раза больше прочности внутренней связи В — Н. Это находится в хорошем согласии с увеличением длины внутренней связи В — Н' (1,33 Å) по сравнению с длиной внешней связи В — Н (1,18 Å). Сравнение коэффициентов влияния связи В — Н в диборане и в молекуле В¹¹Н показывает увеличение прочности связи В — Н в диборане на 25% (длина связи В¹¹Н равна 1,23 Å) [11]; 2) обращает на себя внимание малая прочность угла НВН' и очень сильное взаимодействие этих типов

ов; 3) сравнение коэффициентов влияния $k_Q^{-1}(\text{ВВ})$ в диборане и в молекуле В_2^{11} показывает уменьшение прочности связи В—В в диборане на ~40%, в согласии с увеличением длины связи В—В с 1,59 Å в В_2^{11} до 1,77 Å в диборане; 4) обращает внимание сравнительно большая прочность углов Н'ВВ и ВН'В .

Используя найденную систему силовых постоянных были вычислены также частоты колебаний частично дейтерированных диборанов $\text{В}^{10}\text{D}_2\text{В}^{10}\text{H}_2$ и $\text{D}_2\text{В}^{10}\text{H}_2\text{В}^{10}\text{D}_2$, колебательные спектры которых еще не исследованы. Предсказанные частоты приведены в табл. 3.

ВЫВОДЫ

1. По методу итерации Л. С. Маянца рассчитаны частоты и формы нормальных колебаний диборана и его изотопозамещенных. Получено хорошее совпадение вычисленных и наблюдаемых значений частот.
2. Показано, что верна неплоская этиленоподобная модель диборана с двумя равноценными водородными мостиками [2], на основе которой произведена интерпретация и расчет частот колебаний диборана.
3. Произведен расчет постоянных потенциальной энергии (силовых коэффициентов и коэффициентов влияния) диборана и выяснены особенности силового поля молекулы.
4. Показана ошибочность расчета частот и силовых коэффициентов диборана, произведенного в работе [8].

Саратовский государственный
университет им. Н. Г. Чернышевского

Поступила
15.XI.1954

ЛИТЕРАТУРА

- Б. В. Некрасов, Журн. общ. химии, **10**, 1021, 1940.
 Я. Сыркин и М. Дяткина, Журн. физ. химии, **15**, 459, 1941.
 Я. Сыркин и М. Дяткина, ДАН, **35**, 200, 1942; H. Longuet-Higgins, R. Bell, Journ. Chem. Soc., 250, 1943.
 K. Hedberg a. V. Schomaker, Journ. Amer. Chem. Soc., **73**, 1482, 1951.
 T. Anderson, A. Burg, Journ. Chem. Phys., **6**, 586, 1938, F. Stitt, Journ. Chem. Phys., **9**, 780, 1941.
 W. Anderson a. E. Barker, Journ. Chem. Phys., **18**, 698, 1950;
 W. Price, Journ. Chem. Phys., **16**, 894, 1948.
 R. Lord a. E. Nielsen, Journ. Chem., Soc., **19**, 1, 1951.
 R. Bell a. H. Longuet-Higgins, Proc. Roy. Soc., **A183**, 357, 1945,
 М. В. Волькенштейн, М. А. Ельяшевич, Б. И. Степанов, Колебания молекул, т. I, ГТТИ, М., 1949.
 Л. С. Маянц, Труды ФИАН, **5**, 63, 1950.
 Г. Гердбер, Спектры и строение двухатомных молекул, ГИИЛ, М., 1949.

РЕНТГЕНОГРАФИЧЕСКОЕ ИССЛЕДОВАНИЕ СТРУКТУРЫ 3,5-ДИХЛОР-4-НИТРОАНИЛИНА

Г. С. Жданов и Г. А. Гольдер

На основании исследования структуры пикрилхлорида нами была установлена [1] зависимость длины связи $C-N$ от угла поворота нитрогруппы относительно плоскости бензольного кольца. Это изменение длины связи является следствием различной степени взаимодействия π -электронов бензольного ядра и нитрогруппы. Так, для нитрогруппы, компланарной с бензольным ядром, расстояние $C-N$ укорочено примерно на $0,1 \text{ \AA}$ в сравнении с суммой ковалентных радиусов атомов углерода и азота. В нитрогруппе, повернутой, вследствие пространственных затруднений относительно плоскости бензольного кольца, это расстояние равно сумме ковалентных радиусов, что указывает на ослабление взаимодействия при увеличении угла между направлениями облаков π -электронов бензольного кольца и нитрогруппы.

Дальнейшее исследование установленного эффекта было продолжено на примере 3,5-дихлор-4-нитроанилина $[Cl_2C_6H_4NO_2NH_2]$. В этой молекуле (рис. 1) нитрогруппа должна быть значительно повернута относительно бензольного ядра (возможный интервал углов поворота $55-90^\circ$).

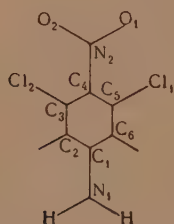


Рис. 1. Молекула 3,5-дихлор-4-нитроанилина

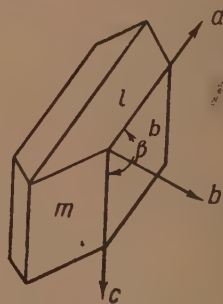


Рис. 2. Кристалл 3,5-дихлор-4-нитроанилина

и, следовательно, взаимодействие π -электронов должно быть значительно ослаблено, и можно ожидать, что длина связи $C-N$ нитрогруппы с кольцом будет близка к сумме одинарных ковалентных радиусов. Положение аминогруппы не ограничено соседними атомами, поэтому наиболее вероятно компланарное расположение с укорочением связи $C-N$ аминогруппы с кольцом.

Синтез и получение кристаллов 3,5-дихлор-4-нитроанилина выполнены В. П. Глушковой. Кристаллы, имеющие форму вытянутых пластинок (рис. 2), светлорозоватого цвета, ограничены пинакоидами b (010) и гранями двух ромбических призм m (110) и l (111). Гониометрическими измерениями установлена принадлежность кристаллов к лауэвскому классу C_{2h} . Это было подтверждено рентгеновскими полихроматическими снимками вдоль направлений a , b и c , выбранных за кристаллографические оси. По рентгенограммам колебания найдено $a = 7,51$, $b = 14,8$ и

7,29 Å. Из гониометрических измерений, подтвержденных рентгенометрическими развертками вдоль осей (010) и (100), моноклин-угол $\beta = 94^\circ$. При измеренной пикнометрически плотности $\sigma_n = 1,68$, то молекул в элементарной ячейке $z = 4$, рентгеновская плотность = 1,72. Из рентгеногониометрических разверток вдоль осей (010) (00) установлены следующие правила отражений: отражения типа присутствуют только при $h + k = n$; типа $h0l$ — только при $h = 2n$; типа oko только при $k = 2n$. Правила отражений, приводят к рентгеновской группе № 7, содержа пространственные группы $C_{2h}^6 = C_{2v}^2$ или $C_s^4 = C_s$. Наличие установленного гониометрическими измерениями центра симметрии в кристалле позволяет отнести кристалл 3,5-дихлор-4-нитроанилина к пространственной группе $C_{2h}^6 = C_{2v}^2$. В этой пространственной группе кратность общего положения атомов равна восьми, и, следовательно, наличие четырех молекул в элементарной ячейке налагает определенные ограничения на возможные варианты пространственного расположения молекул в кристалле. В данном случае, для молекулы 3,5-дихлор-4-нитроанилина вытекает необходимое условие совпадения центра симметрии молекулы (направление $N_1 - C_1 - C_4 - N_2$ на рис. 1) с осью симметрии 2-го порядка в кристалле, координаты которой:

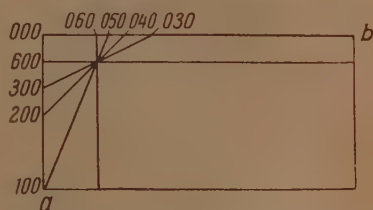


Рис. 3. График пересечения следов плоскостей, дающих сильное отражение в проекции на плоскость (100)

$$0y \frac{1}{4}; 0y \frac{3}{4}; \frac{1}{2}, \frac{1}{2} + y, \frac{1}{4}; \frac{1}{2}, \frac{1}{2} - y, \frac{3}{4}.$$

Вследствие этого расстояния между атомами, расположенными вдоль оси молекулы, проектируются при возможных поворотах молекулы без искажений.

Для определения интенсивностей отражений были сняты на Cu-K-лучении рентгеногониометрические развертки вдоль осей (100) и (001), применением методики многократной закладки пленки. Интенсивность

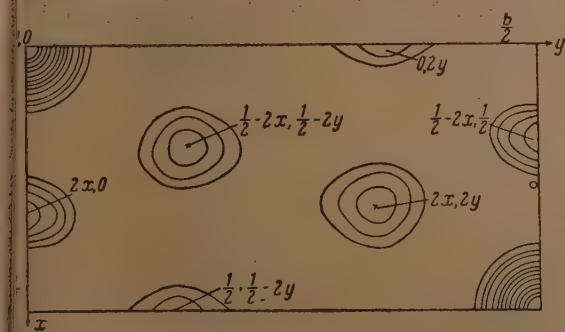


Рис. 4. Проекция межатомных расстояний на плоскость (100)

определялась визуально по маркам шкалы почернений. При подсчете структурных амплитуд учитывались поляризационный и кинематический множители. Для группы сильных отражений были построены графики пересечения соответствующих плоскостей в проекции на плоскость ab (рис. 3). Точка пересечения

наибольшего числа следов плоскостей, по нашему предположению, является координатой x, y , наиболее тяжелого атома в молекуле — атома хлора. Из этого графика координаты атома хлора $x/a = 0,167$, $y/b = 0,166$. В проекции межатомных расстояний на плоскость (100) (рис. 4) хорошо выражены максимумы, которые соответствуют расстоянию Cl — Cl в молекуле. Несколько менее четко разрешены максимумы в проекции меж-

атомных расстояний на плоскость (001). Здесь, как мы увидим далее, оказался значительный угол поворота молекулы относительно этой плоскости. Координаты атома хлора: из проекции на плоскость (100) $y/b = 0,165$; $z/c = 0,072$, на плоскость (001) $x/a = 0,163$, $y/b = 0,163$. Указанные координаты атомов хлора приводят к двум возможным вариантам расположения молекул в ячейке. В результате сравнения экспериментальных и рассчитанных структурных амплитуд был выбран вариант

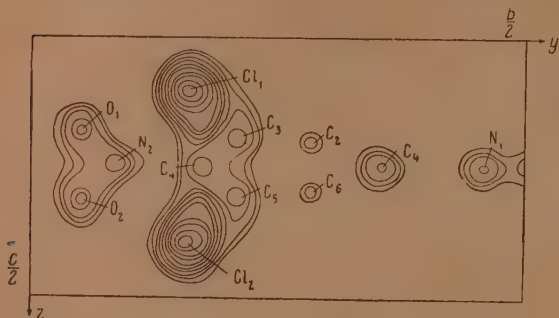


Рис. 5. Проекция электронной плотности на плоскость (100)

ре — 110°C [2,3]. Это дало увеличение поля отражений почти на 50% в сравнении со съемкой при комнатной температуре. При вычислении структурных амплитуд F_T вводилась температурная поправка $\exp \left\{ -B \frac{\sin^2 \theta}{\lambda^2} \right\}$ при $B = 1,0 \text{ \AA}^{-2}$. Величина $R = [|F_{\text{ор}}| - |F_T|] : |F_{\text{ор}}|$, где $F_{\text{ор}}$ — измеренные при температуре -110°C структурные амплитуды, равнялась в этом случае 0,19. При таком значении величины можно приступить к построению проекций — электронной плотности. В результате построения ряда последовательных приближений проекций электронной плотности на плоскости (100) и (001) было достигнуто удовлетворительное разрешение большинства атомов в молекуле 3,5-дихлор-4-нитроанилина (рис. 5 и 6). Значение R при подсчете F_T по координатам атомов в окончательной проекции, равнялось 0,13. Недостаточно хорошо разрешены и отличаются по высоте пиков максимумы, соответствующие атомам углерода в бензольном кольце, не лежащие на оси 2-го порядка (атомы C_2, C_3, C_5, C_6). В табл. 1 приведены координаты атомов хлора, полученные различными методами, и координаты y для других атомов, полученные из проекций электронной плотности на плоскости (100) (001). В табл. 2 приведены окончательные координаты всех атомов.

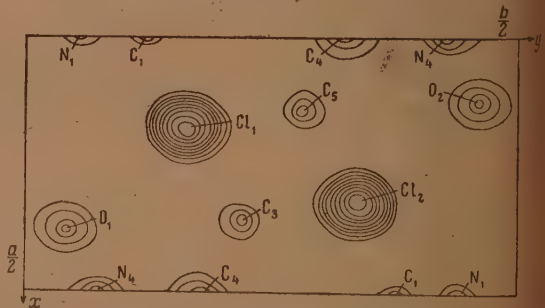


Рис. 6. Проекция электронной плотности на плоскость (001)

Как видно из табл. 1, максимальное отклонение в определении координат атомов хлора различными методами от среднего значения по оси x достигает $0,015 \text{ \AA}$, по оси y — $0,03 \text{ \AA}$. Большое расхождение в значении координаты z объясняется недостаточно хорошим разрешением атомов хлора в проекции межатомных расстояний на плоскость (100).

Таблица 1

Координаты атомов из различных определений

Атом	Из проекции F^a (001)		Из проекции F^a (100)		Из графика интенсивн.		Из проекции F^a (001)		Из проекции F^a (100)	
	x	y	y	z	x	y	x	y	y	z
1	0,165	0,167	0,164	0,095	0,167	0,166	0,163	0,163	0,165	0,072
2	—	0,359	0,362	—	—	—	—	—	—	—
3	—	—	0,312	—	—	—	—	—	—	—
4	—	0,219	—	—	—	—	—	—	—	—
5	—	0,172	0,174	—	—	—	—	—	—	—
6	—	0,453	0,454	—	—	—	—	—	—	—
7	—	0,075 ₃	0,076 ₃	—	—	—	—	—	—	—
8	—	0,042 ₅	0,041 ₂	—	—	—	—	—	—	—

Из приведенных в табл. 1 и 2 координат атомов вычислено, что плоскость бензольного кольца образует угол около 24° с плоскостью (100) кристалла, а нитрогруппа повернута относительно плоскости бензольного кольца на 64° .

Длины связей в молекуле, рассчитанные для атомов, достаточно хорошо разрешенных в проекции электронной плотности, приведены в табл. 3.

Ошибка в определении межатомных расстояний оценивается нами в среднем $\pm 0,02$ Å. Угол $\text{Cl}-\text{C}_3-\text{C}_4$ равен 123° . Увеличение этого валентного угла на 1° объясняется, вероятно, внедрением атома азота (N_2) между атомами хлора.

В молекуле 3,5-дихлор-4-нитроанилина расстояние $\text{C}-\text{N}$ в нитрогруппе равно $1,44$ Å при повороте ее относительно плоскости бензольного

Таблица 2

Координаты атомов в проекции на плоскости (001) и (100)

Атом	x	y	z
Cl	0,165	0,166	0,095
C ₁	0,500	0,360	0,250
C ₂	—	0,312	0,185
C ₃	0,353	0,219	—
C ₄	0,500	0,173	0,250
N ₁	0,500	0,454	0,250
N ₂	0,500	0,076	0,250
O	0,390	0,042	0,143

Таблица 3

Длины связей в молекуле (Å)

C_1-N_2	C_4-N_2	C_3-Cl	Cl_1-Cl_2	C_1-C_4
1,37	1,44	1,74	5,51	2,80

кольца на 64° ; в пикрилхлориде, при угле поворота около 80° , это расстояние составляло $1,46$ Å. Таким образом найденная в молекуле 3,5-дихлор-4-нитроанилина длина связи $\text{C}-\text{N}$ для нитрогруппы подтверждает зависимость длины связи от поворота присоединенной группы относительно плоскости бензольного кольца.

Укороченное, в сравнении с суммой ковалентных радиусов $1,47$ Å, расстояние $\text{C}-\text{N}$ в аминогруппе, равное $1,37$ Å, позволяет предполагать компланарное расположение группы NH_2 в плоскости бензольного ядра.

В недавно опубликованной работе [4] по исследованию структуры 1,3,5-трифенилбензола были определены длины связей С—С между тремя присоединенными фенильными группами и центральным ядром, а также углы поворота фенильных групп. В этой молекуле разница углов поворота фенильных групп составляет всего 10° ; тем не менее можно отметить некоторое уменьшение, правда очень малое, на $0,03 \text{ \AA}$ длины связи С—С с уменьшением угла поворота фенильной группы, являющегося в этом случае следствием усиления взаимодействия π -электронов. Подобного рода зависимость длины связи С—N или С—С от угла поворота соответствующих групп может быть отмечена в ряде других структурных исследованиях [4, 5]. В исследованных нами нитропроизводных бензола

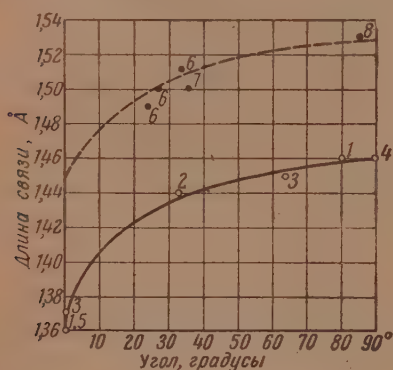


Рис. 7. Зависимость расстояний С—N (о) и С—С (•) от угла поворота присоединенных групп относительно бензольного кольца: 1 — пикрилхлорид [1]; 2 — ди-*p*-анизил [6]; 3 — 3,5-дихлор-4-анилин, в этой статье; 4 — гидрохлорид [7]; 5 — *p*-нитроанилин [8]; 6 — 1,3,5-трифенилбензол [4]; 7 — 2,2'-дихлорбензилдин [9]; 8 — *m*-толидин [10]

связей типа С—N (светлые кружки) и типа С—С (черные кружки). Экспериментальные точки для этих двух групп связей располагаются около одной кривой, если точки для фенильных производных опустить на $0,07 \text{ \AA}$, т. е. на величину превышения ковалентного радиуса атома углерода над атомом азота.

ВЫВОДЫ

1. Кристалл 3,5-дихлор-4-нитроанилина принадлежит к моноклинной сингонии: $a = 7,51$, $b = 14,8$ и $c = 7,29 \text{ \AA}$, $\beta = 94^\circ$, число молекул в элементарной ячейке $z = 4$, $\sigma_n = 1,68$, $\sigma_x = 1,72 \text{ г/см}^3$, пространственная группа $C_{2h}^6 - C2/c$.

2. Установлена конфигурация молекулы 3,5-дихлор-4-нитроанилина. Угол поворота нитрогруппы относительно бензольного кольца 64° , длина связи С—N = $1,44 \pm 0,02 \text{ \AA}$. Найденное для аминогруппы расстояние С—N = $1,37 \pm 0,02 \text{ \AA}$, позволяет предположить компланарность этой группы с бензольным ядром.

3. Подтверждена ранее установленная зависимость длины связи С—N от угла поворота присоединенной группы из-за различной степени взаимодействия π -электронов бензольного ядра и присоединенных групп.

4. Показано, что аналогичное сокращение длины С—С связи имеет

го в случае фенильных производных, и, следовательно, эффект сокращения длины связи присоединенной группы от угла ориентации имеет ий характер.

Физико-химический институт
им. Л. Я. Карпова
Москва

Поступила
16.XI.1954

ЛИТЕРАТУРА

- Г. А. Гольдер, Г. С. Жданов, М. М. Уманский, ДАН, 92, 311, 1953.
М. М. Уманский, Г. С. Жданов, Г. С. Гольдер, В. Г. Капышев, Л. А. Лебедев, Зав. лаборатория, № 6, 703, 1952.
Г. А. Гольдер, Сборник, «Рентгеновские методы в химической промышленности», Госхимиздат М.—Л., 1953, стр. 139.
Farag M. Shehata, Acta crystallogr., 7, 117, 1954.
F. Fowweather, A. Hargreaves, Acta crystallogr., 3, 81, 1952.
A. W. Hanson, Acta crystallogr., 6, 32, 1953.
W. West, Acta crystallogr., 3, 232, 1950.
S. C. Abrahams, J. M. Robertson, Acta crystallogr., 1, 252, 1948.
D. L. Smare, Acta crystallogr., 1, 150, 1948.
F. Fowweather, Acta crystallogr., 5, 820, 1952.
-

О СТРОЕНИИ ЦЕНТРОВ СВЕЧЕНИЯ КРИСТАЛЛОФОСФОРОВ.

О. М. Полторак и А. В. Лавров

Кристаллофосфоры — это вещества, люминесценция которых практически невозможна для совершенно чистых соединений с ненарушенной решеткой кристалла. Их свечение становится возможным при поглощении энергии (видимого или ультрафиолетового света, рентгеновских лучей α -частиц, потока электронов и т. д.) решеткой реального кристалла с последующей отдачей в виде света в определенных местах кристалла — центрах свечения. Центрами свечения обычно являются «химические дефекты» решетки кристаллофосфора, т. е. присутствующие в небольшом количестве посторонние для основной решетки атомы или ионы. В качестве центров свечения могут также выступать сверхстехиометрические количества одного из компонент кристаллофосфора (Zn в ZnO и ZnS).

Основное вещество кристаллофосфора мы будем называть носителем, а необходимую для его люминесценции примесь — активатором.

Энергетическая схема свечения кристаллофосфоров в общих чертах разработана на основе зонной теории строения ионных кристаллов. Менее полно рассмотрен вопрос о строении центров свечения. Этот вопрос имеет много общего с вопросом об активных центрах катализаторов, нанесенных на адсорбенты. В обоих случаях активность при увеличении концентрации активатора проходит через максимум, лежащий при очень малых заполнениях носителя активатором, она может быть снижена при добавлении небольших количеств «ядов» (для кристаллофосфоров обычно железо, никель и др.).

В связи с этим для определения строения центров свечения кристаллофосфоров мы применили метод, разработанный и успешно примененный в катализе Н. И. Кобозевым [1] для определения строения активных центров.

Здесь речь идет об общности методов анализа кривой активности — концентрация, различия же в физической сущности происходящих здесь процессов обуславливают весьма различное понимание основных представлений: о самой активности, об активном центре и т. д. Поскольку люминесценция кристаллофосфора невозможна как без кристалла, так и без активатора, то под центром свечения мы будем понимать комбинацию определенного числа (n) атомов или ионов активатора с некоторой областью кристалла носителя минимального размера Δ . Эту область кристалла, состоящую из p ионов решетки носителя и n атомов или ионов активатора, мы будем называть областью свечения.

Применение флуктуационного анализа Н. И. Кобозева позволяет рассмотреть кривую активности — концентрация активатора опрелелить величину n , а при некоторых допущениях и оценить величину p .

Основным здесь является представление о флуктуационном характере распределения примеси в представленной ей области реального кристалла, разделенного микротрещинами и дефектами решетки на «блоки» или микрокристаллики.

Распределение атомов активатора в решетке реального кристалла минерала отличается от обычного флуктуационного распределения в идеальном пространстве тем, что из-за «блочной» структуры кристалла носителя это распределение не всегда будет соответствовать равновесному распределению активатора. Диффузия активатора внутри «блоков»

ки носителя происходит значительно легче, чем между блоками. Так: внутри каждого блока имеются определенные дефекты структуры решетки носителя, характеризующиеся повышенной энергией взаимодействия с активатором, то с течением времени все атомы активатора, попавшие в один блок, соберутся вблизи места с наибольшей энергией взаимодействия и образуют n -атомный центр в комбинации с кристаллом, размер которого определяется величиной блока. Ввиду затрудненности перемещения атомов активатора от блока к блоку равновесное распределение может осуществляться лишь внутри блоков, а общее равновесное распределение, когда все атомы активатора должны собраться у мест с наибольшей энергией взаимодействия, может не осуществиться. Очевидно, что, когда на каждый блок придется столько атомов активатора, сколько их можно быть в активном центре, общая активность люминофора будет максимальной. Математически зависимость активности люминофора, обусловленная наличием n -атомной группировки активатора, от концентрации активатора, как и в теории активных ансамблей Н. И. Кобозева, выражается уравнением:

$$A = \text{const} \frac{c^n e^{-c/z}}{z^{n-1} n!}, \quad (1)$$

где A — «эффективность» кристаллофосфора, определяющаяся числом центров свечения z_n , c — молярная доля активатора в кристаллофосфоре, z — число блоков, из которых состоит 1 моль решетки носителя, n — число атомов активатора в центре свечения.

Это уравнение может быть получено следующим образом.

Если предположить, что N атомов активатора в момент приготовления кристаллофосфора распределяются по z блокам или микрокристалликам носителя по закону Пуассона, то вероятность попадания n атомов в один блок может быть найдена по закону Пуассона (справедливому при $n \ll p$, где p — число атомов или молекул носителя в одном блоке)

$$W_n = \frac{v^n e^{-v}}{n!},$$

где $v = N \frac{\Delta}{V} = \frac{N}{z}$ — среднее число атомов (или ионов) активатора, приходящееся на один блок, Δ — средний объем блока, V — объем 1 моля носителя.

Число блоков, содержащих по n атомов активатора,

$$z_n = z W_n = \frac{N^n e^{-N/z}}{z^{n-1} n!}.$$

Если по аналогии с катализом предположить, что наиболее активными или даже исключительно активными являются центры свечения, состоящие из n атомов активатора, то «активность» кристаллофосфора, пропорциональная числу центров свечения

$$A = k z_n = k \frac{N^n e^{-N/z}}{z^{n-1} n!}.$$

Если центры свечения могут иметь различную природу и состоят из разного числа атомов, то активность кристаллофосфора выразится суммой по этим центрам

$$A = \sum_i k_i \frac{N^{n_i} e^{-N/z}}{z^{n_i-1} n_i!}$$

Выражению для активности кристаллофосфора можно придать несколько более удобный для практических вычислений вид. Если c — молярная доля активатора, то при $c \ll 1$ можно пренебречь изменением объема кристаллофосфора при введении активатора:

$$N = c N_0; \quad N_0 = 6 \cdot 10^{23}; \quad v = c \frac{N_0}{z} = c p,$$

где $p = N_0/z$ — число молекул носителя в одном блоке. Тогда для A можно написать выражение (при активности только n -атомного центра)

$$A = \text{const} \frac{c^n e^{-pc} p^{n-1}}{n!} \quad (2)$$

Удельная активность кристаллофосфора, или активность, рассчитанная на 1 моль вещества активатора:

$$a = \frac{A}{c} = \text{const} \frac{c^{n-1} p^{n-1} e^{-pc}}{n!} \quad (3)$$

Эти уравнения значительно упрощаются для практически наиболее распространенного случая $n = 1$:

$$A = \text{const} c e^{-pc}; \quad a = \text{const} e^{-pc} \quad (4)$$

Сравнение данных эксперимента с теоретическими кривыми наиболее показательно при построении «обобщенной кривой», аналогично подобной кривой для катализаторов, когда данные по зависимости активности люминофора от концентрации активатора описываются кривой, одинаковой для всех веществ. При концентрации активатора соответствующей максимальной активности при $n = 1$:

$$pc_{\text{макс}} = 1; \quad A_{\text{макс}} = \text{const} c_{\text{макс}} e^{-1} = \text{const} \frac{1}{p} e^{-1}, \quad A = \text{const} c e^{-pc},$$

тогда

$$\frac{A}{A_{\text{макс}}} = p c e^{1-pc} = \nu e^{1-\nu}, \quad (5)$$

где ν — среднее число атомов активатора в области миграции. Таким образом зависимость относительной активности $A/A_{\text{макс}}$ для любого люминофора от ν является универсальной функцией, зависящей только от ν . Величина p , необходимая для вычисления среднего числа молекул активатора в блоке носителя, может быть найдена как по положению максимума кривой активность — молярная доля активатора, так (более надежно) и из графика зависимости логарифма удельной активности люминофора от молярной доли активатора. При $n = 1$ в координатах $\lg \frac{A}{c}$ p должна получаться прямая, по тангенсу угла наклона которой определяется величина p .

На рис. 1 в координатах $\lg \frac{A}{c}$ по c приведены данные различных авторов [2—4] по активированию окиси кальция сурьмой, висмутом и свинцом. Для систем CaO. Pb и CaO. Sb зависимость логарифма удельной активности $\lg \frac{A}{c}$ от концентрации активатора достаточно точно передается прямой линией, что свидетельствует об активности только единичных атомов или ионов активатора (в случае активности двух- или полиатомных центров на ней должен был появиться максимум). Общая активность кристаллофосфора в зависимости от концентрации активатора проходит через максимум. На основе данных, представленных на рис. 1, были вычислены величины областей миграции p , и при их помощи построены «обобщенные кривые», приведенные на рис. 2, 4 и 6. Так как люминесцентная активность зависит от малейших загрязнений, о чем можно судить по самим концентрациям активаторов, а в настоящее время вообще еще не получены вполне воспроизводимые данные, то согласно экспериментальных результатов, полученных различными авторами за последние 25 лет, с теоретической кривой, вычисленной по уравнению (5), нужно признать вполне удовлетворитель-

и. Как и в катализе, для разобранных выше систем при больших концентрациях активатора наблюдаются большие отклонения от теории. Причины этого будут рассмотрены ниже. В системе $\text{CaO} \cdot \text{Bi}$ при больших концентрациях активатора, лежащих максимум общей активности, на кривой удельной активности наблюдается излом, соответствующий уменьшению величины p (рис. 1).

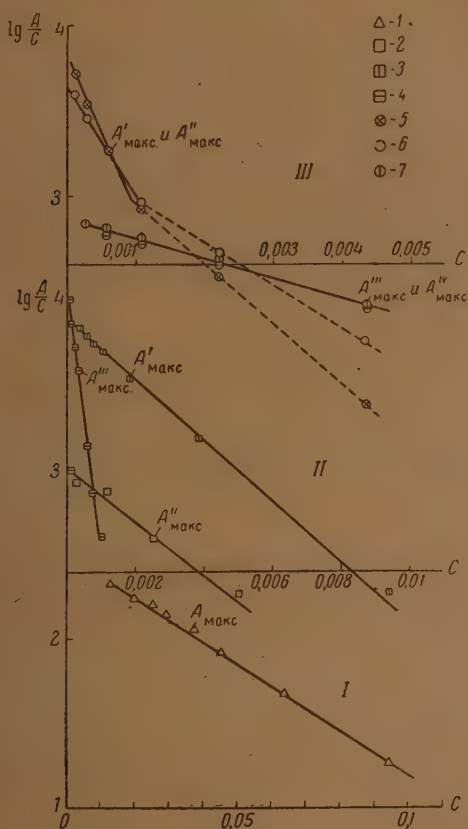


Рис. 1. Зависимость удельной люминесцентной активности A/c от молярной доли активатора (c) для систем $\text{CaO} \cdot \text{Bi}$, $\text{CaO} \cdot \text{Pb}$, $\text{CaO} \cdot \text{Sb}$. I: 1 — $\text{CaO} \cdot \text{Sb}$ по данным Ивлиса [2]; II: 2 — $\text{CaO} \cdot \text{Pb}$ по данным Ивлиса [2]; 3 — $\text{CaO} \cdot \text{Pb}$ по данным Фонда и Фрелиха [4], эффективность измерялась по интенсивности желтого свечения; 4 — $\text{CaO} \cdot \text{Pb}$ по данным Ивлиса и Ли [3], эффективность ультрафиолетового излучения. III: 5 — $\text{CaO} \cdot \text{Bi}$ по данным Ивлиса и Ли [3], $T_{\text{люминоф}} = -193^\circ \text{C}$; эффективность измерялась по интенсивности в максимуме низкотемпературной полосы излучения; 6 — $\text{CaO} \cdot \text{Bi}$ по [3], $T_{\text{люминоф}} = 20^\circ \text{C}$; эффективность измерялась интенсивностью излучения в максимуме низкотемпературной полосы; 7 — $\text{CaO} \cdot \text{Bi}$ по [3], $T_{\text{люминоф}} = 20^\circ \text{C}$ и -193°C ; эффективность измерялась по интенсивности желтого свечения. Все данные оценены по графикам, приведенным в указанных работах

подобных случаях, часто встречающихся и в катализе, рассматривается только участок прямой, включающий точку, соответствующую максимуму общей активности. Этот излом, вероятно, обусловлен трудностью диффузии висмута в решетке окиси кальция, из-за чего при больших концентрациях активатора произошло деление областей миграции.

Во всех случаях за меру активности принята яркость свечения кристаллофосфора, измеряемая при длине волны, соответствующей максимуму спектральной полосы испускания кристаллофосфора в стационарных условиях возбуждения. Определенная таким способом активность пропорциональна числу основных центров свечения в единице объема кристаллофосфора. Интенсивность свечения при произвольно выбранной

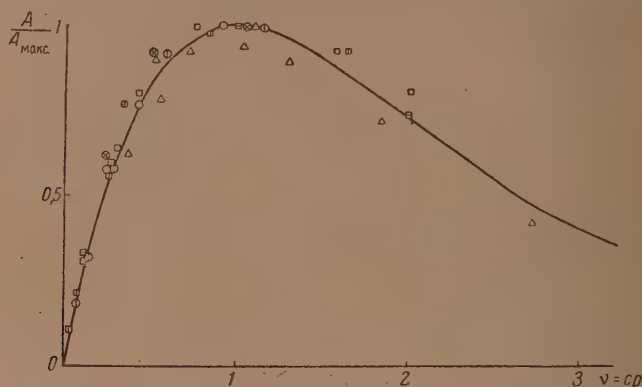


Рис. 2. Относительные эффективности A/A_{\max} кристаллофосфоров CaO:Bi , CaO:Sb , CaO:Pb в зависимости от среднего числа атомов активатора в области миграции. Обозначения те же, что и на рис. 1; v_{cp} — среднее число атомов активатора в области свечения

длине волны не обладает такими свойствами, в связи с чем мы не рассматривали данных ряда авторов по измеренной таким образом «активности» кристаллофосфоров.

При всех подобных расчетах также предполагается, что с изменением концентрации активатора изменяется только число, но не природа центров свечения. Это должно выражаться в том, что при изменении концентрации активатора не должно меняться положение максимума спектральной полосы испускания кристаллофосфора, определяющейся природой центров свечения. Однако при увеличении концентрации активатора происходит изменение свойств решетки носителя, приводящее к работе центров свечения в других условиях. В связи с этим при достаточно больших концентрациях активатора, как правило, происходит смещение полосы испускания. Подобные данные широко освещены в литературе по люминесценции (см., например, [5—7]). Но из рассмотрения тех же данных видно, что во многих случаях для практически и теоретически наиболее интересной области, соответствующей максимальной активности кристаллофосфора, подобные эффекты весьма невелики и играют роль небольших поправок, сказывающихся лишь при незначительных для нас больших концентрациях активатора, далеко за максимумом общей активности.

В связи с этим при анализе ряда данных по активности кристаллофосфоров рассматривались лишь те, при которых еще не происходило заметного смещения полос испускания. Так, например, для системы ZnS:Cu представленной на рис. 3 и 4, рассматривались только концентрации активатора до $1,5 \cdot 10^{-1}$ молярной доли, при которой смещение полосы испускания становится уже заметным. На рис. 3 представлены данные по удельной активности сульфидов кадмия и цинка, активированных серебром и медью. Эти системы, особенно чувствительные к различным загрязнениям, характерны и в другом отношении: удельная активность при малых концентрациях активатора часто намного выше теоретической

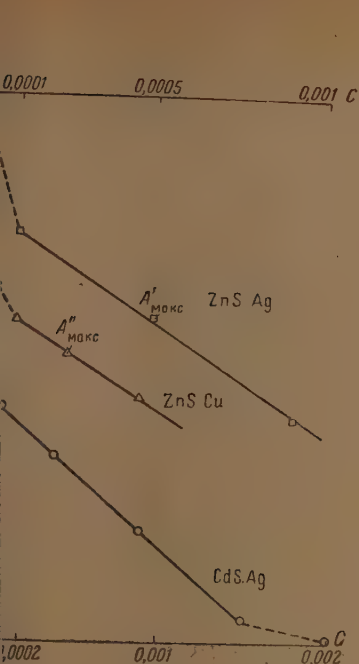


Рис. 3

3. Зависимость удельной активности от молярной доли (c) активатора для кристаллофосфоров CdS. Ag, ZnS. Ag, ZnS. Cu. CdS. Ag по данным Москвина [5]; Zn по данным Пирлмана с сотр. [8]; ZnS. Ag по данным Русановой [9]

5. Зависимость удельной активности от молярной доли (c) активатора для кристаллофосфоров $ZnF_2 \cdot Mn$ и $(CaSiO_3 + 0,01\% Ti)Mn$. 1 — $ZnF_2 \cdot Mn, T = 25^\circ C$, возни рентгеновскими лучами; 2 — $ZnF_2 \cdot Mn, T = 25^\circ C$, возбуждение светом 19 Å; 3 — $ZnF_2 \cdot Mn, T = 25^\circ C$, возбуждение светом $\lambda = 1849 \text{ Å}$; 4 — $ZnF_2 \cdot Mn, -193^\circ C$, возбуждение светом $\lambda = 1849 \text{ Å}$; 5 — $(CaSiO_3 + 0,01\% Ti)Mn$, возбуж- пучком электронов. Данные по кристаллофосфору $ZnF_2 \cdot Mn$ оценены по графика работы Джонсона и Вильямса [10], а для $(CaSiO_3 + 0,01\% Ti)Mn$ взяты из книги Москвина [11]

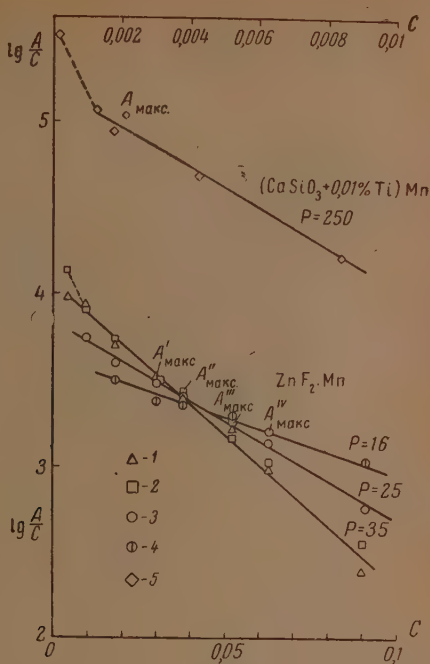


Рис. 5

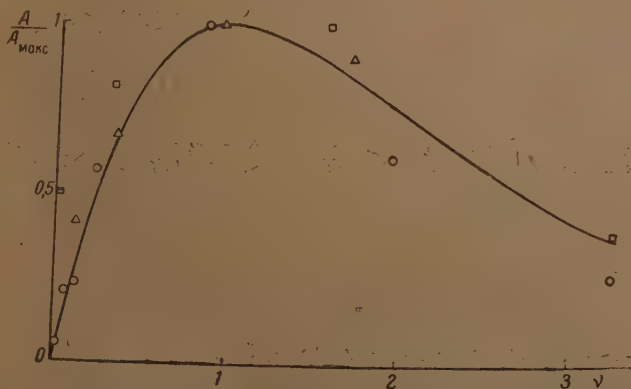


Рис. 4. Относительная активность A/A_{\max} кристаллофосфоров CdS. Ag, ZnS. Cu и ZnS. Ag в зависимости от ($v=cp$) среднего числа атомов активатора в области миграции. Обозначения те же, что и на рис. 3 ($v=cp$)

Известно, что это обусловлено активностью дефектов решетки сульфида цинка. Во многих случаях, как, например, для $\text{ZnS} \cdot \text{Cu}$ по [9] активность носителя так велика, что это исключало возможность использования данных для нашего анализа. Для системы $\text{ZnS} \cdot \text{Ag}$ по [9] за меру активности взята величина $A - A_0$, где A_0 — активность чистого сульфида цинка. (Для других случаев активности чистых носителей малы и не приводились в работах.)

На рис. 4 данные по активированию сульфидов цинка и кадмия серебром и медью представлены в виде обобщенных кривых. По указанным выше причинам здесь сильнее выражен разброс точек около теоретической кривой как при малых (активность «собственных» дефектов носителя), так и при больших (изменение природы центров) концентрациях активатора. Однако если говорить об общей закономерности в изменении свойств кристаллофосфора при введении активатора, то она и в этом случае с некоторым приближением выражается уравнением (5).

На рис. 5 представлены данные по зависимости удельной активности кристаллофосфоров $\text{ZnF}_2 \cdot \text{Mn}$ и $(\text{CaSiO}_3 + 0,01\% \text{ Ti}) \cdot \text{Mn}$ от концентрации марганца. На рис. 6 те же данные сравнены с «обобщенной кривой». В этом случае согласие данных опыта с предсказаниями теории вполне удовлетворительно для люминофоров, которые, как и катализаторы, очень чувствительны к действию активаторов и ядов.

Здесь мы имеем яркий пример независимости строения центра свечения от характера возбуждения. Независимо от того, происходило ли возбуждение ультрафиолетовым светом с $\lambda = 1849 \text{ \AA}$, более короткими длинами волн или рентгеновскими лучами, общий вид зависимости яркости свечения от концентрации активатора остается примерно одинаковым, удовлетворительно согласуясь с предсказанием теории.

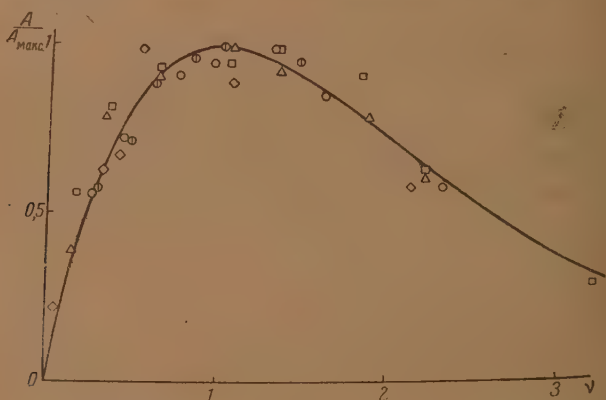


Рис. 6. Относительная активность кристаллофосфоров $\text{ZnF}_2 \cdot \text{Mn}$ и $(\text{CaSiO}_3 + 0,01\% \text{ Ti}) \cdot \text{Mn}$ в зависимости от ($\nu = \bar{c}_p$) среднего числа атомов активатора в области миграции. Обозначения те же, что и на рис. 5

В случае $\text{CaSiO}_3 + 0,01\% \text{ Ti}$, активированного Mn , и CdS , активированного серебром, возбуждение достигалось при помощи электронов.

Во всех случаях отклонение данных опыта от теоретической кривой не превышает отклонений, связанных с активностью «собственных» дефектов решетки носителя или некоторым изменением свойств центра свечения при увеличении количества активатора в кристаллофосфоре.

Во всех 15 рассмотренных случаях получено удовлетворительное совпадение опытных данных с предсказаниями теории. Из анализа кри-

имости удельной активности от концентрации активатора видна прецедентная активность одноатомных (вернее, одноионных) центров активатора. Будущее покажет, является ли подобная автономность действия активатора совершенно обязательной для работы люминофора, или центры свечения могут содержать более чем один атом активатора. По аналогии с катализом, где показано [1], что строение активного центра в основном определяется сложностью проводимого процесса перемещаемых при реакции связей и т. д., можно ожидать, что тому процессу акта излучения

электрон + ионизированный центр свечения = центр свечения + фотон

материально будет соответствовать единичный активный центр (1).

Подчеркнем, что подобное рассмотрение центров свечения возможно и для кристаллофосфоров. Для веществ, у которых свойством люминесценции обладают отдельные молекулы, как, например, соли уранила, законы концентрационного тушения люминесценции могут не совпадать с закономерностями активации кристаллофосфоров.

Известно, что фосфоры, активированные марганцем и сурьмой, являясь в некотором роде промежуточными между кристаллофосфорами и люминофорами типа уранила (свечение дискретных центров). Среди этих кристаллофосфоров они выделяются тем, что концентрации активатора для них значительно выше, чем для других фосфоров.

Таблица 1

Носитель	Активатор	Температура люминофора, °C	Возбуждение	Область миграции	Автор
.....	Марганец	25	$\lambda = 1849 \text{ Å}$	25	[10]
.....	»	-193	$\lambda = 1849 \text{ Å}$	16	[10]
.....	»	25	Рентг. лучи	35	[10]
.....	»	25	$\lambda < 1849 \text{ Å}$	35	[10]
$\text{Os} + 0,01\% \text{ Ti}$	Марганец	25	Электронн. пучок	250	[11]
.....	Свинец	25	Свет ртутной лампы	415	[2]
.....	»	25	То же	330	[4]
.....	»	20	» »	3 960	[3]
.....	Висмут	-193	» »	1 900	[3]
.....	»	20	» »	1 650	[3]
.....	»	-193	» »	270	[3]
.....	»	20	» »	270	[3]
.....	Сурьма	20	» »	29	[2]
.....	Медь	Комнатная	Свет ртутной лампы	10 000	[8]
.....	Серебро	»	Электронн. пучок	1 600	[5]
.....	»	»	»	3 500	[9]

В таблице приведены данные для рассмотренных нами фосфоров. При рассмотрении отчетливо обнаруживается отличие люминофоров $\text{ZnF}_2 \cdot \text{Mn}$ и $\text{CaO} \cdot \text{Sb}$ от других кристаллофосфоров. В то время когда в центрах свечения большинства кристаллофосфоров атом или ион активатора может быть окружен решеткой носителя, содержащей несколько сот или тысяч атомов, что соответствует нижней границе блочной структуры носителя, в случае $\text{ZnF}_2 \cdot \text{Mn}$ и $\text{CaO} \cdot \text{Sb}$ достаточно нескольких десятков атомов носителя. Но уже в $\text{CaSiO}_3 \cdot \text{Mn}$ это число имеет «обычный» поряд-

док, т. е. в одних решетках Мп является типичным активатором люминофора, в других — его свечение приближается к типу свечения чистых кристаллов.

В связи с этим рассмотрим вопрос о характере распределения атомов активатора в решетке носителя.

Выражение для активности фосфора в зависимости от концентрации активатора имеет вид:

$$A = \text{const } ce^{-pc}$$

было получено еще в 1909 г. из анализа экспериментальных данных Ивлингом [12] и истолковано в 1930 г. Ивлисом [2] с точки зрения флуктуаций при распределении атомов активатора в изотропной среде. В настоящее время эта идея вновь рассмотрена в работах Ивлиса и Лидона [10] и Джонсона и Вильямса [10]. Отличие современной точки зрения от исходной заключается в том, что ими учтено различие в коэффициентах поглощения света решеткой, дефектами решетки и атомами активатора. Тогда эффективность люминофора будет определяться не только числом центров свечения, но и указанными коэффициентами. В этом случае получаются более сложные уравнения с еще одним или двумя параметрами, которые лучше описывают опытные данные, чем выражение (6).

Так как сейчас нет даже ориентировочных данных для выбора значений этих коэффициентов, которые подбираются произвольно, то подобные уравнения превращаются просто в более или менее удачно выбранные эмпирические формулы, а согласие с достаточно невоспроизводимыми данными является весьма иллюзорным подтверждением более точной теории. В связи с этим мы остановились на более простой, но теоретически ясной картине, описываемой уравнением (5), и не вводили поправок на различие в коэффициентах поглощения.

Отличие флуктуационного анализа, по Н. И. Кобозеву, от упомянутого выше работ Ивлиса, Джонсона и Вильямса состоит в учете блочной (зачинной) структуры носителя, благодаря чему становится возможным рассмотрение энергетически неравновесных (не отвечающих e -закону) распределений активатора, что соответствует совершенно различной физической обстановке работы кристаллофосфоров.

Если атомы или ионы люминофора связаны с ионами носителя примерно такими же силами, как друг с другом, то выражение для зависимости числа центров свечения от молярной доли активатора в обоих случаях примет одинаковый вид:

$$A = \text{const } ce^{-pc}$$

По Н. И. Кобозеву, p — среднее число атомов в блоке или микрокристаллике носителя, которое может не совпадать с числом ионов решетки, необходимым для люминесценции активатора.

По Ивлису и др., p — минимальное число атомов регулярной решетки носителя, необходимое одному атому активатора.

Опытные данные в ряде случаев дают однозначное решение этой проблемы. Например, для активированной свинцом CaO получаются значения p , отличающиеся в 12 раз (331 и 3960). Решетки CaO действительно могут различаться дефектами структуры и размером блоковой мозаики, в связи с чем понятно различие в величине p при флуктуационном распределении по Н. И. Кобозеву. Если же рассматривать p как минимальный размер области свечения, то подобное различие в величине совершенно неестественно. Ведь носитель, хотя он и может содержать различное число дефектов, имеет одну и ту же основную решетку, которая входит в виде одинаковой регулярной решетки в центр свечения. Тогда Ивлису, во всех случаях активатор, окруженный регулярной решеткой, должен иметь примерно одинаковую область свечения.

Если же обратиться к практически наиболее вероятному случаю, когда атомы или ионы активатора взаимодействуют друг с другом иначе, чем с ионами регулярной решетки или ее дефектами, то распределение Пуассона вообще не будет иметь места и применение формулы типа Ивлиса станет неправомерным. Атомы активатора при равновесии, которого они обязательно достигнут, если диффузия происходит по кристаллу, будут распределены не по закону Пуассона, а по более общему закону распределения по энергии

$$n_i = n e^{-\varepsilon_i/kT},$$

в результате чего все атомы активатора будут должны или собираться вместе, или осесть большими группами на определенных дефектах решетки (например, гранях, ребрах, трещинах микрокристаллов и т. д.). Поэтому с невозможностью из теории вывести закономерность типа (6). При флуктуационном распределении по Н. И. Кобозеву, атомы активатора распределяются по e -закону и достигают «равновесного» распределения только в трех областях миграции, где они и собираются, соединяясь друг с другом или оседая на дефектах с наибольшей энергией притяжения, что и является причиной образования n -атомного центра внутри области миграции. Но равновесия по блокам нет, ввиду чего начальное распределение молекул между блоками, скорее всего близкое к распределению Пуассона (вероятность попадания на границы блоков в момент введения активатора), может сохраниться и в дальнейшем. Очевидно, что подобная точка зрения является более общей, чем предположение о наличии равновесного распределения Пуассона в любых условиях приготовления и работы кристаллофосфоров.

Однако в некоторых случаях, «переходных» между кристаллофосфоридами и фосфорами со свечением дискретных центров, число ионов решетки, окружающих ион активатора, так мало (20—30), а концентрации активатора настолько велики, что в каждой области миграции, имеющей размер сотен (или даже тысяч) атомных объемов, нужно ожидать образования твердого раствора активатора в носителе, распределенного в пространстве по закону Пуассона. Близость свойств ионов цинка и марганца, для которых наблюдается подобное явление, делает это предположение более вероятным. В этом случае в системах ZnF_2 , Mn и $\text{CaO} \cdot \text{Sb}$ величина p — одного порядка (см. табл. 1). Но подобное соответствие активатора носителем, при котором осуществляется равновесное распределение Пуассона, является весьма редким явлением. Так, тот же активатор — марганец в решетке CaSiO_3 — имеет «обычный» размер области миграции. Таким образом на опыте встречаются оба типа распределения, но чаще — более общее распределение по Н. И. Кобозеву. Наличие неравновесности распределения активатора подтверждается также известным явлением тускания люминофоров, когда после определенного срока работы яркость свечения люминофоров необратимо уменьшается, т. е. падает число центров свечения. Наряду с разрушением решетки носителя одной из причин этого тускания может быть та, что, кроме оптических переходов, на центре свечения с определенной вероятностью происходят и безизлучательные переходы энергии в механическую энергию движения. Часть этой энергии может быть воспринята атомом активатора, который по этой причине приобретает повышенную способность к диффузии (как бы повышенную локальную температуру, из-за чего станут более вероятными переходы между блоками) и (если исходное распределение было неравновесным) при равновесии исчезнут центры свечения — единичные атомы активатора, окруженные решеткой носителя.

При равновесном распределении Пуассона переход между областями кристалла не изменит числа центров свечения, так как оно должно устанавливаться спонтанно. Следовательно, подобное явление может свидетельствовать о неравновесном распределении активатора.

В отличие от катализа для люминофоров величина области миграции или блока может зависеть от размера атома или иона активатора, так как с ним резко изменяется вероятность диффузии в кристалле, тогда как при движении по поверхности носителя размер атомов катализатора не играет такой роли, и область миграции определяется носителем.

Одиночные центры свечения люминофоров, как правило, являются ионными центрами (для активатора). Этот результат интересно сопоставить с тем фактом общего значения, что каталитически активной формой ионных центров также являются единичные ионы, закрепленные на решетке носителя. Это найдено методом теории активных ансамблей для ионов Cu^{+} , Ag^{+} , Fe^{+} , Co^{+} , Ni^{+} в случае оксидного, каталитического и карбоксилазного процессов. Исследование люминофора $\text{ZnS} \cdot \text{Cu}$ в качестве метанолового катализатора, проведенное И. В. Крыловой и Н. И. Кобозевым, показало, что центры люминесценции здесь совпадают с центрами катализа и представляют собой сверхстехиометрические или нанесенные единичные атомы или ионы цинка и меди, закрепленные в решетке люминофора.

Л. А. Николаевым и И. Н. Барщевским [13] при исследовании фотохимического восстановления метиленовой сини формальдегидом обнаружена одноатомность фотокаталитических центров Cu^{+} и Pb^{+} в решетке ZnO . Интересно, что если для металлических катализаторов носитель часто играет роль только фиксатора атомной фазы катализатора и мало влияет на его активность, в случае ионного катализа носитель, как и люминесценции, всегда активно участвует в проведении процесса, активируя или дезактивируя ионный центр.

Одноатомность активных центров свечения, фотокатализа и катализа имеющих общую структуру: активный центр — ион + решетка носителя (не меньше определенного размера), вероятно, имеет более глубокие физические причины, раскрытие которых представит большой интерес для области люминесценции и катализа.

В заключение выражаем глубокую признательность проф. Н. И. Кобозеву за интерес к работе и обсуждение полученных результатов.

ВЫВОДЫ

Показано, что строение центров свечения кристаллофосфоров может быть изучено методом флуктуационного анализа, разработанного Н. И. Кобозевым в теории каталитически активных ансамблей.

В рассмотренных случаях центр свечения представляет собой единственный атом или ион активатора, окруженный кристаллической решеткой, состоящей из нескольких сот атомов.

Московский государственный университет
им. М. В. Ломоносова

Поступила
24.XI.1954

ЛИТЕРАТУРА

1. Н. И. Кобозев, Журн. физ. химии, **13**, 1, 1939; Уч. зап. МГУ, вып. 8, книга 1, 13, N. I., 1946.
2. I. Ewles, Proc. Roy. Soc., **A129**, 509, 1930.
3. I. Ewles, N. Lee, Journ. Electrochem. Soc., **100**, 392, 1953.
4. Fonda, Froelich, Cornell Symposium on Solid Luminescent Materials, part 24, Ithaca 1946.
5. А. В. Москвин, Катодолюминесценция, т. II, Гостехтеоретиздат, М.—Л., 1948.
6. В. Л. Левшин, Фотолуминесценция жидких и твердых веществ, Гостехтеоретиздат М.—Л. 1951.
7. Н. Риль, Люминесценция Гостехтеоретиздат, М.—Л., 1946.
8. D. Paerlman, N. Nail, F. Urbach, Solid Luminescent Materials, part 21, Wiley, 1948; цитир. по [10].
9. А. И. Русанова, Изв. АН СССР, **15**, серия физ. № 6, 754 1951.
10. P. Johnson, F. Williams, Journ. Chem. Phys., **18**, 1477, 1950.
11. А. В. Москвин, Катодолюминесценция т. I, Гостехтеоретиздат, М.—Л., 1948.
12. Brünninghaus, C. R., **1**, 49, 1375, 1909.
13. Л. А. Николаев и И. Н. Барщевский Журн. физ. химии, **29**, 265, 271, 1954.

О ТЕПЛОТЕ ГИДРАТАЦИИ ИОНОВ

В. Н. Кондратьев и Н. Д. Соколов

Теплота гидратации иона представляет собой характеризующую этот ион элементарную константу и в принципе может быть непосредственно измерена или вычислена теоретическим путем. Известна одна попытка экспериментального определения теплоты гидратации отдельных ионов [1], основанная на измерении контактной разности потенциалов металл — раствор; несмотря на малую точность полученного результата, эта попытка показала принципиальную возможность измерения теплоты сольватации отдельного иона. Что же касается теоретических расчетов теплот гидратации отдельных ионов, то все существующие расчеты следует признать неудовлетворительными, поскольку они исходят из тех или иных произвольных допущений. Вычисляемые на основе такого рода допущений теплоты гидратации не могут иметь значения абсолютных величин, какое им приписывается горами расчетов*.

Одна из первых попыток определения индивидуальных теплот гидратации ионов была предпринята Берналом и Фаулером [2]. Основываясь на развитой ими теории водных растворов, из которой следует определенная зависимость теплоты гидратации иона от его радиуса, эти авторы произвольно приписывают ионам K^+ и F^- , имеющим приблизительно одинаковые радиусы, близкие значения теплот гидратации: 94 ккал (K^+) и 97 ккал (F^-). Эти же значения кладет в основу своих расчетов Н. Гапон [3]. Исходя из вытекающей из теории Борна зависимости теплоты гидратации от радиуса иона и применяя другой прием разделения получающейся из опыта теплоты гидратации пары ионов на теплоты гидратации катиона и аниона (см. ниже), Латимер, Питцер и Сланский [4] для ионов K^+ и F^- находят соответственно 75,8 и 122,6 ккал.

Из более поздних попыток определения индивидуальных теплот гидратации ионов можно указать на попытку, содержащуюся в работах [5] и [6]. Эти авторы исходят из предположения [7], что изоэлектронные ионы Cs^+ и J^- , обладающие в кристаллах различными радиусами, в водных растворах имеют одинаковые эффективные радиусы и, в соответствии с этим, одинаковые значения энергии гидратации и энтропии гидратации. Однако это предположение ошибочно, поскольку известно, что изоэлектронные ионы различного знака имеют различные размеры не только в кристаллах, но и в свободном состоянии, причем отношение их размеров в обоих состояниях практически одинаково**.

Укажем для сравнения, что, согласно [5], теплоты гидратации ионов K^+ и F^- равны соответственно 80 и 113 ккал***.

* В частности, эти расчеты не учитывают работы прохождения иона через двойной электрический слой на поверхности раздела вакуум — жидкость.

** Если в качестве условного размера свободного иона выбрать расстояние от ядра до максимума плотности внешних электронов, то, например, для изоэлектронных ионов K^+ и Cl^- отношение этих расстояний, вычисленное по методу Хартри — Фока, будет равным 0,79, при вычислении по правилу Слетера — равным 0,74, в то время как отношение кристаллографических радиусов этих ионов (по Поллингу) равно 0,73. Для ионов Cs^+ и J^- отношение указанных расстояний, согласно Слетеру, получается равным 0,78, что совпадает с отношением кристаллографических радиусов этих ионов. Приводимую в работе [66] табл. 1 также нельзя рассматривать как доказательство равенства теплот гидратации ионов Cs^+ и J^- , так как малая величина разности теплот гидратации солей $CsBr$ и RbJ , естественно, еще ничего не говорит о величине разности теплот гидратации ионов Cs^+ и J^- .

*** Сводку теплот гидратации ионов по данным различных авторов см. в [8, 9].

Различные теоретически необоснованные приемы, применяющиеся для разделения суммарных теплот гидратации на теплоты гидратации отдельных ионов, вносят большую путаницу в расчеты энергетических характеристик ионов и ионных реакций. Эта путаница усугубляется еще тем, что авторы пользуются различными значениями исходных величин — теплот образования ионных пар в растворе и в газовой фазе. Отсюда возникает настоятельная необходимость построения единой системы теплот гидратации ионов.

Исходным опытным материалом, на основе которого строится любая система теплот гидратации ионов, являются непосредственно измеряемые теплоты ионизации солей и кислот в водных растворах и тепловые эффекты ионных реакций. Ввиду постоянства суммарного заряда ионов, участвующих в каждой элементарной стадии реакции, из этих измерений получаются лишь суммы или разности теплот образования соответствующих ионов. При табулировании численных значений этих величин условно принимается, что теплота образования иона водорода в водном растворе равна нулю. Теплоты образования прочих ионов принимают при этом некоторые относительные значения, которые и приводятся в таблицах теплот образования ионов в водных растворах. Из значений индивидуальных теплот образования ионов в растворе и в газовой фазе по формуле

$$H = \Delta H_{\text{газ}} - \Delta H_{\text{раств}} \quad (1)$$

могут быть вычислены теплоты гидратации H , которые можно назвать относительными теплотами гидратации. Получаемые таким путем теплоты гидратации отдельных ионов отличаются от истинных (абсолютных) на одинаковое (по абсолютной величине) для всех ионов слагаемое.

Эта система относительных теплот гидратации в настоящее время представляется наиболее рациональной из всех существующих систем и может играть роль стандартной системы. В этой системе значения теплот гидратации берется непосредственно из стандартных термодинамических таблиц, что унифицирует расчеты и обеспечивает ту степень точности, которая отвечает точности современных измерений теплот образования. Вычисленные по формуле (1) из соответствующих значений $\Delta H_{\text{газ}}$ и $\Delta H_{\text{раств}}$ относительные теплоты гидратации ионов щелочных металлов и ионов галогенов приведены в табл. 1*.

* В основу этих вычислений положены приводимые ниже табличные значения теплот образования ионов щелочных металлов в газовой фазе и в водном растворе (при бесконечном разведении [10]).

	Li ⁺	Na ⁺	K ⁺	Rb ⁺	Cs ⁺
$\Delta H_{\text{газ}}^*$	162,860	146,015	123,07	118,297	110,081
$\Delta H_{\text{раств}}$	-66,554	-57,279	-60,04	-58,9	-59,2

табличные значения теплот образования атомов галогенов в газовой фазе и ионов галогенов в водном растворе [10]:

	F	Cl	Br	I
$\Delta H_{\text{газ}}$	18,3	29,012	26,71	25,482
$\Delta H_{\text{раств}}$	F ⁻ -78,66	Cl ⁻ -40,023	Br ⁻ -28,90	I ⁻ -13,37

Таблица 1

Относительные теплоты гидратации ионов щелочных металлов и ионов галогенидов при 298,1° абс (ккал)**

Li ⁺	Na ⁺	K ⁺	Rb ⁺	Cs ⁺	F ⁻	Cl ⁻	Br ⁻	I ⁻
-29,41	203,29	183,11	177,2	169,3	13,5	-18,3	-26,4	-34,6

** Заметим, что в этой системе теплота гидратации протона, согласно (1), равна теплоте его образования в газовой фазе; таким образом $H_{H^+} = 367,1$ ккал [10].

В работах ряда авторов (см., например, [2, 4]) было показано, что попытка установления функциональной зависимости между теплотой гидратации и радиусом иона не является бесплодной; это заключение находит некоторое обоснование в борновской теории сольватации ионов и отображает элементарную природу теплоты сольватации. Аналогичная зависимость может быть установлена также и в случае относительных теплот гидратации.

Согласно борновской теории сольватации, свободная энергия сольватации иона равна

$$-\Delta F = \frac{Ne^2}{2r} \left(1 - \frac{1}{\epsilon}\right), \quad (2)$$

где N — число Авогадро, e — заряд иона, r — его радиус и ϵ — диэлектрическая постоянная растворителя. На основе этого выражения Латишер, Питцер и Сланский [4] вычислили теплоты (и энтропии) гидратации ионов щелочных металлов и ионов галогенидов. Полученные этими авторами значения H могут быть представлены [15] формулой вида

$$H = \frac{A}{r+C} + B, \quad (3)$$

где r — радиус иона по Полингу, A , B и C — эмпирические постоянные. Взяв за основу выражение (3) и пользуясь приведенными в табл. 1 значениями относительных теплот гидратации, можно выбрать значения констант A , B и C так, чтобы вычисленные при их помощи значения H_{M^+} и H_{X^-} минимально отличались от приведенных в табл. 1 экспериментальных значений. При этом оказывается, что для катионов и анионов постоянная A имеет приблизительно одно и то же значение, постоянные B и C — различные значения (B_+ , B_- и C_+ , C_-). Расчет приводит к следующим выражениям для H_{M^+} и H_{X^-}

$$H_{M^+} = \frac{262}{r + 1,10} + 75,4 \text{ ккал}, \quad (4)$$

$$H_{X^-} = \frac{262}{r + 0,35} - 139,6 \text{ ккал} \quad (5)$$

Продолжение сноски (см. стр. 1266)

Следующие значения сродства к электрону атомов галогенидов:

	F	Cl	Br	I
E_X	$83,5 \pm 2$ [11]	$87,3 \pm 0,1$ [12]	$82,0 \pm 0,4$ [13]	$73,5 \pm 2$ [14]

(r в ангстремах), которые воспроизводят экспериментальные значения средней абсолютной погрешностью около 0,2 ккал.

Если, как это было сделано в работе [4] для свободной энергии гидратации, разделить теплоту гидратации пары ионов $H_{M^+} + H_{X^-}$ на два слагаемых так, чтобы получаемые при этом новые значения относительных теплот гидратации (H'_{M^+} и H'_{X^-}) отдельных ионов как функции от обратной величины эффективного радиуса $r^* = r + C$ укладывались на одну и ту же прямую, т. е. положить $B'_+ = B'_-$ при условии, чтобы сумма $B'_+ + B'_-$ имела значение, получающееся из равенства (4), то найдем

$$H'_{M^+} = \frac{262}{r + 1,10} - 32,1 \text{ ккал}, \quad (6)$$

$$H'_{X^-} = \frac{262}{r + 0,35} - 32,1 \text{ ккал}. \quad (7)$$

Получающиеся из формул (6) и (7) значения теплот гидратации отдельных ионов мало отличаются от значений, принятых Латимером с сотр. [4] и Фервеем [16] (табл. 2).

Таблица 2

Относительные теплоты гидратации ионов щелочных металлов и ионов галогенов при 298,1° абс (в ккал) по [4] и [16] и вычисленные по формулам (6) и (7)

	Li ⁺	Na ⁺	K ⁺	Rb ⁺	Cs ⁺	F ⁻	Cl ⁻	Br ⁻	I ⁻
[4]	121,2	94,6	75,8	69,2	62,0	122,6	88,7	81,4	72,1
[16]	120	95,5	75	69	61	122	89,5	83	73,5
Ф-лы(6) и (7)	122,0	95,7	75,7	69,5	61,8	121,1	89,2	81,8	72,3

Само собой разумеется, что приведенные в табл. 2 числа, имеющие смысл относительных величин, как и числа табл. 1, лишь условно можно назвать теплотами гидратации соответствующих ионов. Однако суммы этих чисел для ионов разного знака и разности для ионов одного знака имеют смысл абсолютных значений соответствующих сумм или разностей.

Системе относительных теплот гидратации, определяемой формулами (6) и (7), отвечает своя система теплот образования ионов в водных растворах. Как видно из формул (4), (5) (6), и (7), переход к этой системе теплот гидратации от системы, определяемой формулами (4), (5), соответствует уменьшению величины H_{M^+} (4) на $(B'_+ - B'_-) = (B'_- - B'_-) = 107,5$ ккал и увеличению H_{X^-} (5) на ту же величину. Теплоты же образования ионов в растворе в системе, определяемой формулами (6) и (7), как это следует из формулы (1), получаются из теплот образования в первой системе путем увеличения их на 107,5 ккал в случае катионов и путем уменьшения на ту же величину в случае анионов. Так, например, для теплоты образования иона водорода мы получаем $\Delta H'_{H_{aq}} = 0 + 107,5 = 107,5$ ккал. Заметим, что в этой системе теплота гидратации водорода (протона) равна $H'_{H^+} = 367,1 - 107,5 = 259,6$ ккал.

Помимо теоретического интереса возможность представления теплоты гидратации ионов формулами вида (4), (5) или (6), (7) имеет также и практический интерес. Так, например, этими формулами можно воспользоваться для приближенной оценки неизвестных теплот гидратации. В качестве примера рассмотрим ионы NH_4^+ и H_3O^+ . Из табличных значений теплот

образования этих ионов в водном растворе, — 31,74 и — 68,317 ккал, и их теплот образования в газовой фазе, 144,8 и 120,7 ккал * одним следующие значения относительных теплот гидратации этих ионов: $H_{\text{NH}_4^+} = 176,5$ ккал и $H_{\text{H}_3\text{O}^+} = 189,0$ ккал.

С другой стороны, теплоты гидратации ионов аммония и гидроксония можно оценить на основании формулы (4) или (6). Допуская, что эти формулы приближенно применимы также и к многоатомным ионам (помимо числа к ионам, не имеющим сферической симметрии, как, например, H_3O^+), для вычисления относительных теплот гидратации ионов NH_4^+ и H_3O^+ воспользуемся следующим методом [20]. Сопоставляя ион H_3O^+ с изoeлектронной молекулой NH_3 и вычисляя радиус последней по формуле **

$$r = \frac{1}{2} \left(\frac{M}{Nd} \right)^{1/3} \quad (8)$$

— молекулярный вес, N — число Авогадро, d — плотность), $r = 1,77 \text{ \AA}$, заключаем, что средний радиус гидроксония должен быть меньше этой величины. Подставляя $r = 1,77 \text{ \AA}$ в формулу (4), мы, очевидно, найдем нижний предел относительной теплоты гидратации иона H_3O^+ , $H_{\text{H}_3\text{O}^+} = 167$ ккал. В качестве верхнего предела теплоты гидратации H_3O^+ можно взять теплоту гидратации изoeлектронного иона Na^+ , равную 203 ккал (табл. 1). Вычисляя относительную теплоту гидратации иона H_3O^+ как среднее из двух предельных значений, находим $H_{\text{H}_3\text{O}^+} = 185$ ккал, вместо полученного ранее значения 189 ккал.

Точно так же нижний предел теплоты гидратации иона аммония мы найдем, вычисляя средний радиус молекулы CH_4 (2,00 \AA), при помощи которого из формулы (4) получаем $H_{\text{NH}_4^+} = 160$ ккал. Верхним пределом здесь, очевидно, также может служить теплота гидратации Na^+ , откуда для относительной теплоты гидратации иона аммония получаем $H_{\text{NH}_4^+} = 181,5$ ккал, вместо 176,5 ккал. В качестве верхнего предела можно также взять теплоту гидратации иона H_3O^+ (189 ккал). В этом случае мы получаем $H_{\text{NH}_4^+} = 174,5$ ккал ***. Таким образом мы можем заключить,

* Теплота образования иона NH_4^+ в газовой фазе получается из табличных значений теплот образования аммиака и иона H^+ [10] и средства к протону молекулы NH_3 . Из последней величины из известных значений теплот образования атомов галогенов (табл. 1), их средства к электрону (см. стр. 1267) и из вычисленных Блейком [17] энергий кристаллических решеток хлористого, бромистого и иодистого аммония получается соответственно $P_{\text{NH}_3} = 211,6, 211,4$ и $210,9$ ккал, т. е. в среднем 211,3 ккал.

Величина $\Delta H_{\text{H}_2\text{O}}$ получается из табличных значений теплот образования воды и иона H^+ и средства к протону молекулы воды, $P_{\text{H}_2\text{O}}$, вычисленного следующим путем. $P_{\text{NH}_3} = 211,3$ ккал в предположении, что энергия изоморфных кристаллов NH_4ClO_4 , H_3OClO_4 одинакова (Шерман [18]), для средства к протону молекулы воды следует прибавить 3,6 ккал, что с внесением поправки на различие межионных расстояний в кристаллах NH_4ClO_4 и H_3OClO_4 на основании приближенной формулы Борна [19] для энергии кристаллической решетки кубической структуры, $u = 545 (d/M)^{1/3}$ (d — плотность, — молекулярный вес), дает $P_{\text{H}_2\text{O}} = 188,6$ ккал.

** Как можно убедиться, формула (8), получающаяся из среднего объема, приходящегося на одну молекулу (или ион) данного вещества в конденсированном состоянии, наиболее близко передает значения радиусов по Полигму, которые положены в основу выражений (4) — (7). Так, вычисляя по формуле (8) средний радиус иона в кристалле KF , мы найдем $r = 1,34 \text{ \AA}$ вместо $r = 1,34_5 \text{ \AA}$, получающегося как среднее значение радиусов иона K^+ (1,33 \AA) и иона F^- (1,36 \AA).

*** Подставляя в (4) радиус иона аммония, приведенный Полигмом [21], 1,48 \AA , для теплоты гидратации мы получаем значение 177,0 ккал, практически точно совпадающее с значением, полученным из теплот образования иона NH_4^+ в растворе и газовой фазе (176,5 ккал). Близкое значение получается также из радиуса $r_{\text{NH}_4^+} = 1,43 \text{ \AA}$, принятого К. П. Миценко [5] и Б. В. Некрасовым [22] (179,0 ккал).

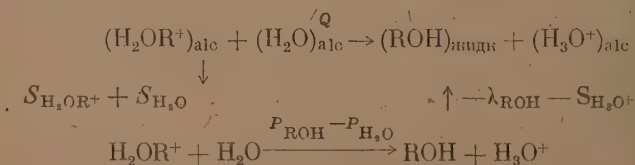
что погрешность вычисляемых по формуле (4) относительных теплот гидратации составляет несколько килокалорий и, повидимому, значительно (в несколько раз) меньше абсолютной величины разности между предельными и средним значениями величины H .

Заметим, что (4), (6) приближенно применимы также для расчета относительных теплот гидратации ионов элементов, принадлежащих к главным подгруппам второй и третьей групп периодической системы, если только в левой части этих формул вместо H_{M+} поставим H_{M+}/n^2 , где n — заряд соответствующего иона. Однако погрешность вычисленных по этим формулам значений H_{Mn+} достигает 3—4%. Теплоты гидратации ионов элементов побочных подгрупп закономерностям (4) и (6) не подчиняются.

Возможность приближенного определения относительных теплот гидратации ионов, заключающаяся в формулах (4) и (5), может быть также использована для приближенной оценки различных энергетических характеристик атомов, молекул и кристаллов. Приведем следующие примеры.

Из полученной в результате рентгенографического исследования NaOH постоянной кристаллической решетки $a = 5,00 \text{ \AA}$ при помощи радиуса иона Na^+ , равного $0,95 \text{ \AA}$, может быть вычислен радиус иона HO^- , $r = 1,55 \text{ \AA}$. При помощи этого значения на основании формулы (5) мы находим относительную теплоту гидратации HO^- , равную -2 ккал, и на основании (1) при помощи известной теплоты образования гидроксила в растворе $[\Delta H_{\text{HO}^{\text{aq}}} = -54,96 \text{ ккал}]$, — теплоту образования иона HO^- в газовой фазе, $\Delta H_{\text{HO}^-} = -57$ ккал. Из последней величины и теплоты образования радикала HO в газовой фазе, $\Delta H_{\text{HO}} = 10,1$ ккал [10], по формуле $E_{\text{HO}} = \Delta H_{\text{HO}} - H_{\text{HO}}$ вычисляем сродство к электрону гидроксила $E_{\text{HO}} = 67$ ккал. Из всех значений E_{HO} , приводимых различными авторами, заключающихся в пределах 40—88 ккал [11] наиболее близкими к найденному нами является значение 66 ккал, получающееся из равновесия $e + \text{HO} \rightleftharpoons \text{HO}^-$ в водородо-воздушных пламенах [23].

В качестве второго примера рассмотрим вопрос о сродстве молекул спиртов к протону, P_{RON} . Этот вопрос имеет важное значение в связи с вопросом о форме существования ионов карбония (R^+) в водных растворах. Из кругового процесса



мы получаем следующее равенство:

$$P_{\text{RON}} = P_{\text{H}_2\text{O}} + (S_{\text{H}_3\text{O}^+} - S_{\text{H}_2\text{OR}^+}) - (S_{\text{H}_2\text{O}} - \lambda_{\text{RON}}) - Q, \quad (9)$$

связывающее сродство к протону молекулы спирта RON со сродством к протону молекулы H_2O . Здесь $S_{\text{H}_3\text{O}^+}$ и $S_{\text{H}_2\text{OR}^+}$ — теплоты сольватации ионов H_3O^+ и H_2OR^+ в спирте, $S_{\text{H}_2\text{O}}$ — теплота растворения воды в спирте и λ_{RON} — теплота испарения спирта.

Для определения Q можно воспользоваться данными по диссоциационному равновесию в водно-спиртовых растворах. Константа равновесия



$$K = \frac{(\text{H}_2\text{OR}^+)_{\text{alc}} (\text{H}_2\text{O})_{\text{alc}}}{(\text{H}_3\text{O}^+)_{\text{alc}}},$$

измерена при различных температурах для случая метилового спирта [24]. Температурная зависимость хорошо передается формулой

$$K = 9,24 \cdot 10^2 e^{-4800/RT}$$

Следовательно, при $R = \text{CH}_3$, $Q = 4,8$ ккал. Температурная зависимость константы равновесия для других спиртов неизвестна. Измерены только значения K при 25°C для этилового и *n*-бутилового спиртов [25]: 9 ($\text{C}_2\text{H}_5\text{OH}$) и $0,033$ (*n*- $\text{C}_4\text{H}_9\text{OH}$). Если предположить, что энтропийный множитель константы K для этих спиртов имеет то же значение, что и для метилового спирта, то для величин Q найдем 9 ккал ($\text{C}_2\text{H}_5\text{OH}$) и $6,0$ ккал (*n*- $\text{C}_4\text{H}_9\text{OH}$).

При вычислении сродства к протону молекул спиртов мы исходим из следующих допущений. Измерения теплот образования различных солей кислот в водных и спиртовых растворах (при бесконечном разведении) показывают, что теплоты сольватации различных ионов в метиловом и *n*-бутиловом спиртах лишь на несколько килокалорий отличаются от теплот гидратации этих ионов [26, 10]. Поэтому входящую в (9) разность $-\Delta S_{\text{H}_2\text{OR}^+}$ мы можем заменить разностью теплот гидратации ионов H^+ и H_2OR^+ , допуская при этом погрешность не более $1-2$ ккал. Поэтому так же величина $\Delta S_{\text{H}_2\text{O}}$ может быть положена равной теплоте ионизации воды $\lambda_{\text{H}_2\text{O}}$.

Вычисляя относительные теплоты гидратации ионов H_2OCH_3^+ , $\text{H}_2\text{OC}_2\text{H}_5^+$ и *n*- C_4H_9^+ при помощи изложенного выше метода, мы получаем следующие значения: 162 , 155 и 147 ккал*. При помощи этих значений, полученных ранее теплоты гидратации гидроксония (стр. 1269), и величин Q и табличных значений величин $\lambda_{\text{H}_2\text{O}}$ и λ_{RON} для разности $P_{\text{RON}} - P_{\text{H}_2\text{O}}$ мы находим

Спирт	CH_3OH	$\text{C}_2\text{H}_5\text{OH}$	<i>n</i> - $\text{C}_4\text{H}_9\text{OH}$
$P_{\text{RON}} - P_{\text{H}_2\text{O}}$	20,5	28,0	37,5

ставляя сюда величину $P_{\text{H}_2\text{O}} = 188,6$ ккал (см. сноску ** на стр. 1269), получим $P_{\text{RON}} = 209,0$ (CH_3OH), $216,5$ ($\text{C}_2\text{H}_5\text{OH}$) и $226,0$ (*n*- $\text{C}_4\text{H}_9\text{OH}$) ккал. Из полученных значений сродства к протону молекул спиртов можно также сродство молекулы воды к соответствующим ионам карбония. Следовательно, ввиду того что ион H_2OR^+ может быть получен как путем присоединения протона к молекуле спирта, так и путем присоединения R^+ к молекуле воды [27], мы будем иметь следующее соотношение между величиной P_{RON} и сродством H_2O к иону карбония ($\text{C}_\text{H}_2\text{O}$):

$$C_{\text{H}_2\text{O}} = P_{\text{RON}} + \Delta H_{\text{H}_2\text{O}} - \Delta H_{\text{RON}} + \Delta H_{\text{R}^+} - \Delta H_{\text{H}^+}. \quad (10)$$

ставляя сюда найденные выше значения сродства к протону молекул спиртов, известные из табличных данных теплоты образования

При определении относительной теплоты гидратации иона H_2OCH_3^+ (162 ккал) в качестве нижнего предела взято значение, получающееся из формулы (4) при среднем радиусе изоэлектронной молекулы CH_3NH_2 (159 ккал). Верхний предел найден при помощи радиуса иона RNH_4^+ , принятого равным $1,84 \text{ \AA}$.

Относительные теплоты гидратации ионов $\text{H}_2\text{OC}_2\text{H}_5^+$ и $\text{H}_2\text{OC}_4\text{H}_9^+$ вычислялись при помощи средних радиусов изоэлектронных молекул $\text{C}_2\text{H}_5\text{NH}_2$ и *n*- $\text{C}_4\text{H}_9\text{NH}_2$ (нижний предел) и радиусов ионов H_2OCH_3^+ и $\text{H}_2\text{OC}_2\text{H}_5^+$ (верхний предел).

воды, спиртов и протона (в газовой фазе) [9], а также теплоты образования ионов R^{+} , для величины C_{H_2O} находим $95(CH_3^+)$, $74(C_2H_5^+)$ $57(H.C_4H_9^+)$ ккал.

ВЫВОДЫ

Предложена система относительных теплот гидратации ионов, основанная на общепринятой системе теплот образования ионов в растворе, в которой теплота образования иона водорода в разбавленном растворе принимается равной нулю.

На основе зависимости теплоты гидратации иона от его радиуса вычислены теплоты гидратации некоторых алкоксониевых ионов, сродство к протону молекул простейших спиртов и сродство молекулы воды к некоторым ионам карбония.

Академия наук СССР
Институт химической физики
Москва

Поступила
25. XI. 1954

ЛИТЕРАТУРА

1. O. Klein u. E. Lange, Zs. Elektrochem., 43, 570, 1937.
2. Дж. Бернал и Р. Фаулер, Усп. физ. наук, 14, 586, 1934.
3. Е. Н. Гапон, Журн. физ. химии, 22, 233, 1948.
4. W. M. Latimer, K. S. Pitzer a. C. M. Slansky, Journ. Chem. Phys., 7, 108, 1939.
5. К. П. Мищенко, Журн. физ. химии, 26, 1736, 1952.
6. а) А. Ф. Капустинский, С. И. Дракин и Б. М. Якушевский, Журн. физ. химии, 27, 433, 1953; б) С. И. Дракин и Б. М. Якушевский, Журн. физ. химии, 27, 1636, 1953.
7. Е. Ланге и К. П. Мищенко, Zs. phys. Chem., A1, 49, 1, 1930.
8. В. А. Плесков, Усп. химии, 16, 254, 1947.
9. H. Strehlow, Zs. Elektrochem., 56, 119, 1952.
10. Selected values of chemical thermodynamic properties, Washington, 1952.
11. H. O. Pritchard, Chem. Rev., 52, 529, 1953.
12. McCallum a. J. E. Mayer, Journ. Chem. Phys., 11, 56, 1943.
13. P. M. Doty a. J. E. Mayer, Journ. Chem. Phys., 12, 323, 1944.
14. Н. И. Ионов, ЖЭТОФ, 18, 174, 1948.
15. J. L. Franklin, Trans. Farad. Soc., 48, 443, 1952.
16. E. J. W. Verwey, Rec. trav. chim., 61, 127, 1942.
17. W. E. Bleick, Journ. Chem. Phys., 2, 160, 1934.
18. J. Sherman, Chem. Rev., 11, 93, 1932.
19. M. Born, Atomtheorie des festen Zustandes, Berlin, 1923, стр. 747.
20. Вап-Аркель и де-Бур, Химическая связь с электростатической точки зрения, 1935.
21. Л. Полинг, Природа химической связи, Госхимиздат, М.—Л., 1947.
22. Б. В. Некрасов, цитировано по [5].
23. H. Smith a. T. M. Sugden, Proc. Roy Soc., A211, 31, 58, 1952.
24. A. T. Williamson a. C. N. Hinshelwood, Trans. Farad. Soc., 30, 1145, 1934; H. A. Smith, Journ. Amer. Chem. Soc., 61, 254, 1939.
25. H. Goldsmith, Zs. phys. Chem., 89, 129, 1915; 108, 121, 1924; L. S. G. a. J. M. Kohlthoff, Journ. Amer. Chem. Soc., 62, 1494, 1940.
26. К. П. Мищенко, Acta phys. chim. URSS, 3, 693, 1935; C. M. Slansky, Journ. Amer. Chem. Soc., 62, 2430, 1940.
27. R. A. Ogg, Journ. Amer. Chem. Soc., 61, 1946, 1939.
28. Mitchell a. Coleman, Journ. Chem. Phys., 17, 44, 1949; McDowell a. Warren, Disc. Farad. Soc., 10, 53, 1951.
29. D. P. Stevenson a. J. A. Hipple, Journ. Amer. Chem. Soc., 64, 1942.
30. D. P. Stevenson, Trans. Farad. Soc., 49, 867, 1953.

* Из масс-спектрометрических измерений для теплоты образования ионов $C_2H_5^+$ в газовой фазе получаются следующие значения: 263 ± 1 ккал [28] и 220 ккал [29]. Из этих значений с использованием теплоты образования иона $H.C_4H_9^+$ равной 202 ккал [30], путем экстраполяции для теплоты образования иона $H.C_2H_5^+$ получается значение 188 ккал.

ЭЛЕКТРОНОГРАФИЧЕСКОЕ ИССЛЕДОВАНИЕ ПОЛИМЕРОВ

III. ИЗУЧЕНИЕ ИЗМЕНЕНИЙ В СТРУКТУРЕ КРИСТАЛЛИЧЕСКИХ И АМОРФНЫХ ПОЛИМЕРОВ С ТЕМПЕРАТУРОЙ

В. А. Каргин и Г. С. Маркова

Исследованиями структурных, механических и термодинамических свойств полимеров были установлены основные представления о молекулярном процессе кристаллизации полимеров и объяснены некоторые закономерности этого процесса [1]. Изучение поведения и свойств кристаллических полимеров подтвердило наличие в них фазовых переходов, сопровождающихся резкими изменениями ряда свойств полимеров, а именно: плотности, теплоемкости механических свойств, структуры и т. д. В опубликованных работах проводилась аналогия между свойствами соединения кристаллов низкомолекулярных веществ, с одной стороны, и полимерными кристаллами, — с другой [2]. Однако последующее исследование кристаллических полимеров установило ряд существенных отличий между полимерными кристаллами и кристаллами низкомолекулярных веществ. Тем самым возникла необходимость дополнительного исследования свойств полимерных кристаллов.

В результате изучения процессов деформации и релаксации кристаллических полимеров обнаружен своеобразный процесс перестройки полимерных кристаллов под действием внешнего усилия (процесс рекристаллизации). Явление рекристаллизации специфично для кристаллических полимерных веществ и подобно фазовому превращению в кристаллах [3]. Были исследованы процессы обратимой высокоэластичной деформации, развивающиеся в пределах самих кристаллов без существенного изменения структуры.

Целью данной работы является исследование структур полимерных кристаллов в широком температурном интервале, что служит продолжением ранее опубликованных работ, в которых был указан ряд отличий между кристаллами низко- и высокомолекулярных веществ [4].

ЭКСПЕРИМЕНТАЛЬНАЯ ЧАСТЬ

Были исследованы электронографическим методом образцы гуттаперчи, полиэтилена, полиамида (6—4) (из гексаметилендиамин и адипиновой кислоты), полиметилметакрилата, полистирола и полихлорвинила. Образцы готовились в виде очень тонких пленок на воде испарением растворителя из раствора.

Пленки гуттаперчи готовились на поверхности воды при комнатной температуре из раствора в смеси равных объемов бензола и бензина; полученный продукт был очищен экстракцией в ацетоне.

Пленки полиэтилена получались из технического продукта (молекулярный вес около 20 000) на поверхности воды при 80—85° из раствора в бензине.

Пленки полиамида получались из технического продукта молекулярного веса 20 000 из раствора в метакрезоле на поверхности воды.

Образцы полиметилметакрилата, полистирола и поливинилхлорида получались соответственно из растворов в дихлорэтаноле, смеси бензола и бензина и циклогексаноне. Дополнительная очистка полимеров не проводилась.

Полученные пленки вылавливались на платиновые сетки на подложке из денитрованной целлюлозы. Пленка денитрованной целлюлозы была

получена обработкой пленки из целлюлозы в 5% водно-спиртовом растворе NaHS .

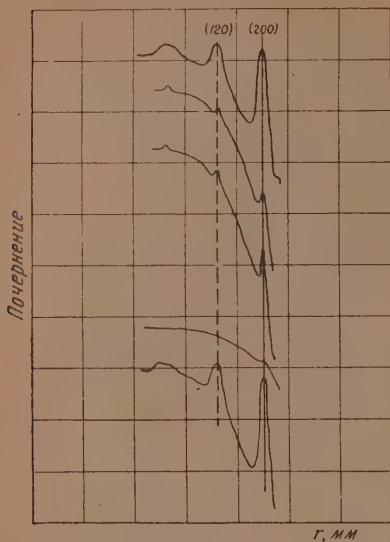


Рис. 1. Микрофотометрические кривые интенсивности рассеяния образца гуттаперчи при разных температурах. На ординате дано относительное почернение

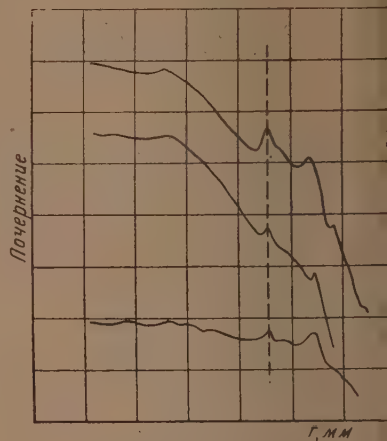


Рис. 2. Микрофотометрические кривые интенсивности рассеяния образца амиды при разных температурах. На ординате дано относительное почернение

Съемка электронограмм производилась при помощи электронографа ЭМ-4 системы ГОИ с рабочим напряжением 40 кВ и расстоянием от образца до фотопластинки 350 мм. Межплоскостные расстояния рефлексов рассчитывались по формуле $d = L\lambda/r$; стандартные снимки получались с образца NaCl ,

готовленного напылением соли в вакууме на коллоксилиновую подложку. Оценка интенсивности рефлексов проводилась визуально.

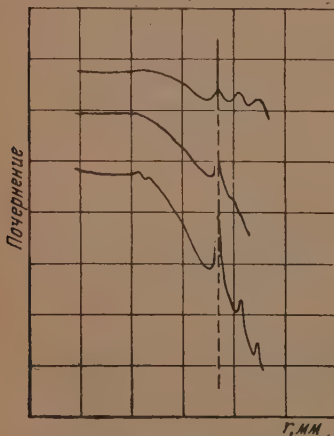


Рис. 3. Микрофотометрические кривые интенсивности рассеяния образца полиэтилена при разных температурах. На ординате дано относительное почернение

Нагрев образцов осуществлялся в специальном нагревателе непосредственно перед электронографом. Образцы исследуемого вещества помещались на рамку внутри нагревателя; нагрев камеры происходил за счет теплоизлучения. Температура образцов контролировалась термометром (медь-константан), помещенной в медного блока нагревателя. Предварительно было проведено калибрование нагревателя при помощи двух термометров, помещенных в центре нагревателя над образцами и в теле нагревателя. Калибрование было проведено на веществах с известными температурами плавления.

Сквозное отверстие в нагревателе совпадало с отверстием в рамке, в которой помещался исследуемый препарат. Это позволяло вести наблюдения за веществом в процессе нагрева.

ромер электронограмм производился на горизонтальном компара-
ИЗА-2, микрофотометрирование электронограмм осуществлялось
регистрирующем микрофотометре системы Цейсс. Результаты измере-
приведены в табл. 1—4, на рис. 1—3 — кривые микрофотомет-
вания.

Гуттаперча

электронограммы нерастянутых пленок состоят из ряда резких колец.
1). Межплоскостные расстояния, соответствующие кольцам на
электронограммах, согласуются с рас-
считанными по ромбической ячейке
параметрами: $a=7,82 \text{ \AA}$, $b=11,86 \text{ \AA}$,
 $c=4,7 \text{ \AA}$ и соответствуют известным
температуре данным для β -формы
гуттаперчи.

Таблица 1

Гуттаперча нерастянутая

№ кольца	Интенсивность	d , \AA	hkl
1	сл.	5,93	020
2	о. слн.	4,71	120
3	о. слн.	3,90	200
4	слн.	2,97	040
5	слн.	2,77	140
6	ср.	2,37	050
7	слн.	1,96	060
8	слн.	1,92	160
9	о. сл.	1,76	411

Первоначально нагрев образцов
приводит к некоторому падению ин-
тенсивности дальних рефлексов и
снижению интенсивности остальных
рефлексов. Наблюдается некоторое
ослабление общего фона диффузного
рассеяния, что, повидимому, сви-
детельствует об эффекте снятия
напряжений в образце (эффект «от-
жига»). Последующий нагрев приво-
дит к возрастанию фона диффузного
рассеяния.

В интервале температур вблизи температуры плавления кристалли-
чной фазы (около 56°C) обнаружено обострение рефлексов (120) и (200).
Сохранении положения максимумов интенсивности рефлексов (рис. 1).
Повышение температуры приводит к быстрому исчезновению
резких рефлексов; дифракционная картина соответствует картине
аморфной гуттаперчи. Исходная картина восстанавливается после мед-
ленного охлаждения образца. Восстановление дифракционной картины
связано с тем, что в процессе плавления полимера не происходит необ-
ратимого процесса разрушения кристаллической решетки под действием
теплового пучка. Обострение некоторых рефлексов вблизи темпера-
туры плавления гуттаперчи и восстановление исходной картины диффрак-
ции после охлаждения свидетельствуют о том, что процесс не является
необратимым только «отжига» образца.

Полиэтилен и полиамид (6—4)

электронограммы нерастянутых пленок полиэтилена соответствуют
тем, имеющимся в литературе. Все рефлексы хорошо индицируются

Таблица 2

Полиэтилен нерастянутый

Интенсивность	d , \AA	hkl	№ кольца	Интенсивность	d , \AA	hkl
о. слн.	4,13	110	11	о. сл.	1,68	311
ср.	3,73	200	12	сл.	1,61	130
о. сл.	2,98	210	13	о. сл.	1,51	230
о. слн.	2,48	020	14	о. сл.	1,45	510
о. сл.	2,35	120	15	сл.	1,39	031
сл.	2,26	011	16	о. сл.	1,30	231
сл.	2,17	111	17	о. сл.	1,27	002
сл.	2,09	201	18	сл.	1,21	112
сл.	1,94	211	19	сл.	1,10	312
сл.	1,73	121				

по ромбической ячейке с параметрами решетки: $a = 7,47 \text{ \AA}$, $b = 4,97 \text{ \AA}$, $c = 2,53 \text{ \AA}$. Значения межплоскостных расстояний, соответствующих кольцам на электронограммах, приведены в табл. 2 и 3. Индифференцирование электронограмм полиамида (6—4) не проведено.

При нагреве пленок полиэтилена и полиамида наблюдаются изменения дифракционных картин, в основном подобные изменениям, описанным ранее в случае гуттаперчи. Так, вблизи температур плавления полиэтилена и полиамида наблюдается обострение некоторых рефлексов, постепенное исчезновение более дальних рефлексов и возрастание общего диффузного фона (рис. 2, 3).

При нагреве образцов выше их температур плавления дифракционные картины состоят из трех диффузных колец, характерных для картин рассеяния от аморфных полимеров.

Таблица 3

Полиамид (6—4) нерастворенный

№ кольца	Интенсивность	d , \AA
1	о. слн.	4,34
2	сл.	3,70
3	слн.	2,34
4	ср.	2,17
5	слн.	1,94
6	сл.	1,73
7	сл.	1,59
8	сл.	1,47
9	ср.	1,20
10	ср.	1,17

Исходные картины рассеяния в случае полиэтилена, так и в случае полиамида восстанавливаются после охлаждения полимеров из плава.

Полиметилметакрилат, полистирол, поливинилхлорид

Электронограммы нерастворенных пленок указанных полимеров состоят из нескольких диффузных колец (табл. 4). При нагреве пленок выше температуры размягчения полимерами не обнаружено существенных изменений картин рассеяния и по положению максимумов интенсивности.

ности рефлексов, так и по соотношению интенсивностей и полуширин рефлексов. Это подтверждает отсутствие как фазового перехода, так

Таблица 4

Вещество	Средние значения периодов идентичности, \AA			
Полистирол	4,46	—	2,03	1,14
Полихлорвинил . . .	5,15	3,60	2,21	1,57
Полиметилметакрилат	6,68	2,83	2,10	1,13

каких-либо существенных структурных изменений при плавлении исследованных нами аморфных полимеров.

ОБСУЖДЕНИЕ РЕЗУЛЬТАТОВ

Таким образом для ряда кристаллических полимеров установлен фазовый переход, сопровождающийся заменой дальнего порядка в расположении молекулярных цепей на ближний порядок, аналогичный рядку в жидкости. Показано резкое изменение дифракционных картин в узком интервале температур, заключающееся в исчезновении дальних рефлексов, перераспределении относительной интенсивности и обострении отдельных рефлексов.

Возрастание тепловых колебаний, а следовательно, и гибкости полимерных цепей с температурой, повидимому, облегчает перестройку по

ного кристалла и повышает совершенство его кристаллической структуры. Это явление специфично для всех исследованных нами кристаллических полимеров и отличается от явления плавления кристаллических низкомолекулярных веществ, для которых повышение температуры плавления приводит к возрастанию тепловых колебаний атомов в кристалле и тепловому расширению интерференционных линий.

Весьма существенным обстоятельством является установленная нами обратимость структурной картины при нагреве выше температуры плавления кристаллической фазы полимера и последующем охлаждении образца. Можно было предполагать, что отличие полимерных кристаллов от кристаллов низкомолекулярных веществ обусловлено кинетическими затруднениями, связанными с упорядочением больших молекулярных цепей, и что повышение температуры просто приводит к увеличению скорости процессов упорядоченного расположения молекулярных цепей. Однако мы видим, что при последующем охлаждении порядок в кристалле лишь уменьшается, хотя с кинетической точки зрения он должен был бы уменьшаться, а увеличиться. Следовательно, своеобразие кристаллических образований полимеров связано со своеобразием равновесных форм кристаллов, построенных из отдельных звеньев больших молекул, а не только с кинетическими затруднениями процесса кристаллизации.

ВЫВОДЫ

1. Проведено электронографическое исследование при различных температурах образцов полиэтилена, гуттаперчи, полиамида (6—4), полиметакрилата, полистирола и поливинилхлорида.

2. Для всех исследованных кристаллических полимеров установлен обратимый переход. Подтверждено отсутствие фазового превращения для полиметакрилата, полистирола и поливинилхлорида в интервале температур выше температуры размягчения полимеров.

3. Обнаружено обострение ряда рефлексов на дифракционных картинах, происходившее при температурах, близких к плавлению полимерных кристаллов, и установлена обратимость структурных картин при последующем охлаждении. Полученные данные указывают на специфическое строение полимерных кристаллов.

Физико-химический
институт им. Л. Я. Карпова
Москва

Поступила
8.XII.1954

ЛИТЕРАТУРА

- П. Александров, Труды Первой и Второй конференций по высокомолекулярным соединениям, 1945, стр. 7—9; Е. Е. Лысенко, Журн. техн. физики, 10, 1151, 1651, 1940.
W. Bunn, Trans. Farad. Soc., 35, 482, 1939; A. Charlesby, Proc. Roy. Soc., 57, 496, 1945.
А. Каргин, Т. И. Соголова, Журн. физ. химии, 27, 1208, 1213, 1953; ДАН, 88, 867, 1953.
А. Каргин, Г. С. Маркова, Журн. физ. химии, 27, 1236, 1953.

ПРЕВРАЩЕНИЕ СЕРНЫХ СВЯЗЕЙ В ВУЛКАНИЗАТАХ ПРИ ТЕРМИЧЕСКОМ ВОЗДЕЙСТВИИ

Н. Н. Тихомирова и А. С. Кузьминский

Вулканизация каучука — важнейший технологический процесс формирования резины. В настоящее время общепринятыми являются представления, согласно которым линейные молекулы каучука в процессе вулканизации связываются друг с другом одним или несколькими атомами серы с образованием пространственных трехмерных структур. Поэтому изучение свойств серных связей вулканизатов, установление факторов, определяющих преимущественное образование того или иного типа серных связей, представляет значительный практический и теоретический интерес.

Однако число работ, посвященных этому вопросу, весьма ограничено. В работах [1—8] показано, что серные связи вулканизатов способны распадаться и перегруппировываться как при термическом, так и при механическом воздействиях. В обширном исследовании [9] рассмотрена возможность взаимодействия полисульфидной серы вулканизата с радикалами ускорителя (например, тиурама). На основании данных этих работ можно утверждать, что те необратимые изменения в структуре вулканизатов, которые наблюдаются при их старении, в значительной мере обусловлены превращением серных связей.

В настоящей работе мы поставили перед собой цель — разработать метод оценки степени лабильности серных связей в вулканизатах и исследовать влияние различных факторов на структуру серной сетки вулканизатов. Исследования проводились с применением радиоактивного изотопа серы S^{35} .

РЕАКЦИЯ ИЗОТОПНОГО ОБМЕНА СЕРЫ В ВУЛКАНИЗАТАХ

В работе [10] было показано, что в органических полисульфидах тип $R_1 - S - S_n - S - R_2$, где R_1 и R_2 — алифатические радикалы, в реакциях изотопного обмена могут участвовать только средние атомы серы. Атомы серы, непосредственно связанные с углеродом, не способны принимать участие в реакциях изотопного обмена. Представляло интерес выяснить, будет ли наблюдаться реакция изотопного обмена в вулканизатах, содержащих полисульфидную серу. Опыты по изотопному обмену были проведены с ненаполненным вулканизатом на основе технического Набутиенового каучука (СКБ) следующего состава (в вес. ч. и 100 вес. ч. каучука): стеариновая кислота — 2, окись цинка — 1, сера — 6, дифенилгуанидин (ДФГ) — 1. Вулканизат, приготовленный с активной серой (удельная активность серы 0,2 мКи/г) в течение 50 час подвергали экстракции ацетоном для удаления свободной серы. Затем в образец этого вулканизата набуханием его в бензоле вводили свободную неактивную серу. После удаления бензола образец выдерживали определенное время в атмосфере азота при заданной температуре. По окончании опыта измеряли активность свободной и связанной серы образца вулканизата в виде сульфата бария. Опыты, проведенные при трех температурах 100, 120 и 143°, показали, что между свободной и связанной серой в условиях опыта происходит интенсивный обмен. Эти данные, конечно, недостаточны для заключения о механизме реакции обмена между свобод-

связанной серой в вулканизате, однако, несомненно, сам факт налицо. Реакция обмена подтверждает возможность разрыва и восстановления серных связей при тепловой обработке вулканизатов.

ФАКТОРЫ, ВЛИЯЮЩИЕ НА ОБРАЗОВАНИЕ ПОДВИЖНЫХ СЕРНЫХ СВЯЗЕЙ ВУЛКАНИЗАТОВ

Были рассмотрены факторы, влияющие на образование подвижных легко распадающихся и восстанавливающихся серных связей при вулканизации каучука. С этой целью была применена несколько измененная методика, предложенная в работе [9]. Методика сводилась к следующему: на образец вулканизата (диаметр образца — 30 мм, толщина образца — 1 мм), приготовленного с активной серой и экстрагированного для удаления свободной серы, накладывали пленку толщиной 0,5 мм такого же вулканизата, но приготовленного с неактивной серой. Пленки плотно поджимались на ручном прессе, при этом особое внимание уделялось удалению пузырьков воздуха из пространства между пленками. Толщина верхней активной пленки была достаточно полно поглощения β -излучения серы S^{35} . Поэтому начальный уровень активности торцевым счетчиком со стороны верхней неактивной пленки составлял 30—40 имп./мин. Из всех последующих замеров эта величина вычиталась, как активность фона. Приготовленный таким образом образец термостатировали при заданной температуре (в интервале от 100 до 150° С) в атмосфере азота и через определенные промежутки времени измеряли активность со стороны верхней пленки. При этом по мере нагревания активность последней нарастала. В этих опытах исследовались вулканизаты, приготовленные на основе технического На-бу-ренового каучука (СКБ), отличающиеся вулканизирующими группами. Состав вулканизатов в весовых частях на 100 вес. ч. каучука приведен в табл. 1.

Таблица 1

Ингредиенты	Тип вулканизата		
	I	II	III
СКБ	100,0	100,0	100,0
Стеариновая кислота	2,0	2,0	2,0
Оксид цинка	5,0	5,0	5,0
Сера	6,0	3,0	2,0
Дифенилгуанидин	1,0	—	—
Меркаптобензотиазол (каптакс)	—	1,0	—
Тетрамелитиурамдисульфид (тиурам)	—	—	0,1

Результаты исследований приведены на рис. 1 в координатах $i - t$, где t — время нагревания в часах, а i — относительная активность, равная отношению I/I_0 , где I — активность верхней пленки в данный момент времени, I_0 — исходная активность вулканизата, приготовленного с активной серой.

Появление активности в верхней неактивной пленке можно объяснить следующим образом. Поскольку в наших образцах экстракцией была удалена вся свободная сера, появление активности в верхней пленке может произойти только за счет диффузии свободной активной серы, образовавшейся при тепловом разрыве полисульфидных связей вулканизата. Известно, что при термическом распаде органических полисульфидов (130—150° С) выделяется свободная сера [11]. Свойства полисульфидных связей, известные на простых модельных соединениях, могут быть перенесены

на полисульфидные связи, образующиеся при вулканизации каучука. Поэтому можно предполагать, что при тепловой обработке серных вулканизатов полисульфидные связи также разрываются с выделением серы.

Из рис. 1 видно, что исследованные вулканизаты отличаются друг от друга как по начальной скорости нарастания i , так и по предельному значению $i_{\text{пред}}$.

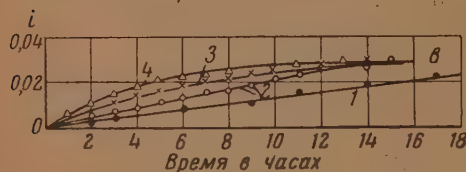
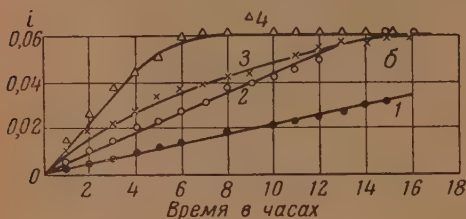
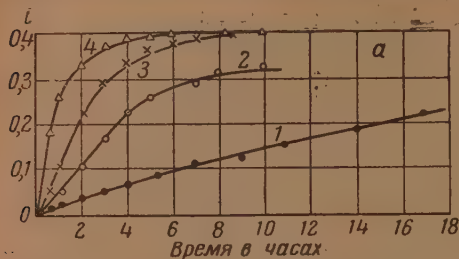


Рис. 1. Диффузия серы, образовавшейся при тепловом разрыве серных связей вулканизатов различной структуры. а — вулканизирующая группа: 1,0 вес. ч. дифенилгуанидина + 6,0 вес. ч. серы; 1—100°, 2—120°, 3—140°, 4—150°; б — вулканизирующая группа: 1,0 вес. ч. каптакса + 3,0 вес. ч. серы; 1—120°, 2—130°, 3—140°, 4—150°; в — вулканизирующая группа: 0,1 вес. ч. тиурама + 2,0 вес. ч. серы; i — относительная активность, t — время нагревания в часах

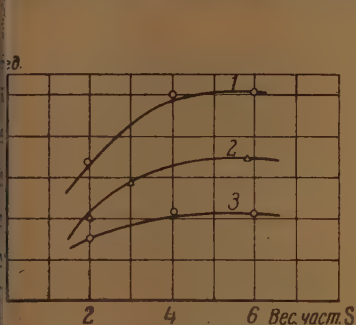
более прочные связи еще не разрываются в сколько-нибудь заметном количестве. Таким образом величина наблюдаемого предельного значения i определяется содержанием лабильных серных связей, т. е. связей, способных распасться в данных условиях.

Мы попытались оценить сравнительное содержание лабильных серных связей в различных вулканизатах путем определения предельного значения i . На рис. 2 показана зависимость величины $i_{\text{пред}}$ от содержания серы в исходных неэкстрагированных вулканизатах. Кривая 1 получена для вулканизатов с дифенилгуанидином в качестве ускорителя, кривая 2 — для вулканизатов с каптаксом, кривая 3 — для вулканизатов с тиурамом. Значения $i_{\text{пред}}$ для всех этих вулканизатов определялись при температуре 140°. Из рассмотрения этой зависимости можно прийти к следующим заключениям: 1) независимо от природы ускорителя, во всех вулканизатах имеются лабильные, легко поддающиеся разрыву серные связи; 2) количество подвижных серных связей определяется природой ускорителя; исследованные вулканизаты располагаются в следующий ряд в

отношению $i_{\text{пред}}$. Следует отметить, что значения $i_{\text{пред}}$ для одного и того же вулканизата при разных температурах совпадают. Для низких температур (100—120°) время достижения этих предельных значений значительно больше, и соответствующие точки на графиках отложены.

В том случае, если бы активная сера в нижней пленке вулканизата находилась в свободном состоянии, предельное значение i определялось бы только отношениями толщин слоев d и l и должно было бы равно $I_d/(d+l)$, где d и l — толщины нижней и верхней пленок. В нашем случае, если $d = 1,0$ мм, а $l = 0,3$ мм, это отношение равно примерно 0. Как видно из приведенных на рис. 1, это предельное значение ни в одном случае не достигается, несмотря на кажущееся достижение равновесия. Это свидетельствует о том, что в исследованных вулканизатах имеются серные связи различной природы, резко отличающиеся по прочности. Поэтому, когда при температурах порядка 100—150° уже практически достигается равновесное распределение активной серы за счет менее прочных связей

убывания относительного содержания этих связей: вулканизат дифенилгуанидином и серой, вулканизат с каптаксом и серой, вулканизат с тиурамом и серой; 3) при малом содержании серы для всех трех вулканизатов значение $i_{пред}$ невелико и быстро увеличивается по мере повышения содержания серы до ~ 4 вес. ч. Это свидетельствует о том, что чем больше серы (до 4 вес. ч.), тем больше относительное количество лабильно связанной серы. Для вулканизатов с большим исходным содержанием серы (> 4 вес. ч.) относительное количество лабильно связанной серы не меняется при повышении исходного содержания серы. Эти закономерности слабее всего выражены для вулканизатов с тиурамом, у которых содержание лабильных серных связей весьма незначительно.



2. Зависимость предельного значения $i_{пред}$ от общего содержания серы в вулканизатах. 1 — ускоритель дифенилгуанидин; 2 — ускоритель каптакс; 3 — ускоритель тиурам

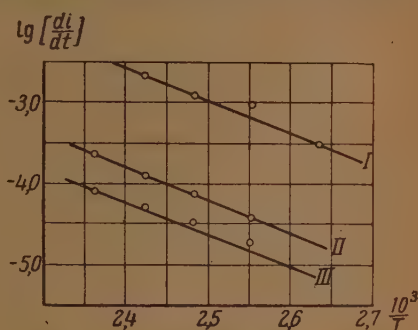


Рис. 3. Температурная зависимость скорости диффузии серы. I — вулканизат с вулканизующей группой 1,0 вес. ч. дифенилгуанидина + 6,0 вес. ч. серы; II — вулканизат с вулканизующей группой 1,0 вес. ч. каптакса + 3,0 вес. ч. серы; III — вулканизат с вулканизующей группой 0,1 вес. ч. тиурама + 2,0 вес. ч. серы

По данным о скорости нарастания i для вулканизатов типа I, II, III табл. 1) была рассчитана эффективная энергия активации процесса. Она оказалась одинаковой для всех трех вулканизатов и равной приблизительно 8500 кал/моль (рис. 3). Столь низкое значение энергии активации

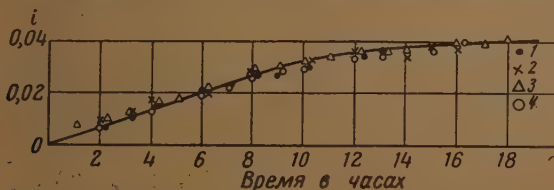


Рис. 4. Диффузия серы из вулканизата, приготовленного на основе каучука СКБ, содержащего 1 — 1,0 вес. ч. неозона; 2 — 3,0 вес. ч. неозона; 3 — 0,8 вес. ч. дифениламина; 4 — каучук, не содержащий антиоксиданта

говорит о том, что в данном случае определяющей стадией является процесс диффузии свободной серы, а не химическая реакция разрыва связей. Представляло интерес выяснить влияние природы антиоксиданта и природы каучука на характер образующейся при вулканизации структурной сетки. С этой целью были исследованы ненаполненные вулканизаты с вулканизующей группой 1,5 вес. ч. каптакса и 2,0 вес. ч. серы, приготовленные на основе *Na*-бутадиенового каучука СКБ, не содержащего антиоксиданта, на основе каучука, содержащего 1,0 вес. ч. нео-

зона 3,0 вес. ч. неозона и 0,8 вес. ч. дифениламина. Эти антиданти были выбраны потому, что они резко отличаются друг от друга своим ингибирующим свойствам [12]. Полученные данные приведены на рис. 4. Как видно из рисунка, для всех исследованных вулканизатов $i_{\text{пред}}$ при 140° равняется $\sim 0,04$, что совпадает с $i_{\text{пред}}$ вулканизата, полученного на основе технического каучука СКБ с той же вулканизующей группой. Таким образом, независимо от природы антиоксиданта, содержание подвижных серных связей в этих вулканизатах одинаково.

На примере вулканизатов, приготовленных на основе бутадиенового каучука (СКБ-50) с разными вулканизующими группами показано, что изменение природы каучука может приводить к образованию серных структур с меньшим содержанием подвижных серных св

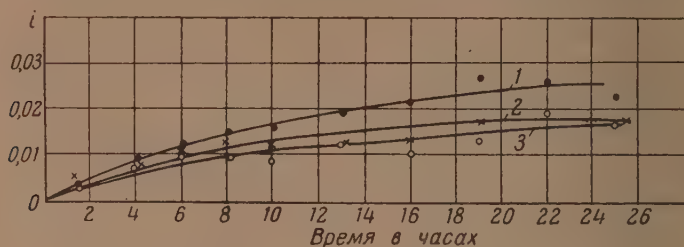


Рис. 5. Диффузия серы, образовавшейся при тепловом разрыве серных связей вулканизата на основе СКБ-50. 1—вулканизующая группа—дифенилгуанидин 1,5, сера 2,0 вес. ч.; 2 — вулканизующая группа тиурам 3,0, сера 0,5 вес. ч.; 3 — вулканизующая группа каптакс 1,5, сера 2,0 вес. ч.

Данные этих опытов приведены на рис. 5, откуда видно, что для всех вулканизатов характерно более низкое значение $i_{\text{пред}}$, по сравнению с вулканизатами на основе СКБ. Обращает на себя внимание также факт, что предельное значение i для этих вулканизатов, полученных дифенилгуанидином, каптаксом и тиурамом в качестве ускорителей, отличаются друг от друга.

ПРЕВРАЩЕНИЕ СЕРНЫХ СВЯЗЕЙ ПРИ ТЕПЛОВОЙ ОБРАБОТКЕ ВУЛКАНИЗАТОВ

В описанных выше опытах было показано, что при тепловой обработке вулканизатов происходит разрыв полисульфидных связей с выделением серы. С целью выяснения характера вновь образующихся связей мы ставили ряд исследований.

Таблица 2

Содержание серы в виде ZnS в процентах к общей сере

Вулканизующая группа	До прогрева	После прогрева (15 час., 140°)
Тиурам 0,4; сера 2,0	4,8	5,2
Каптакс 1,0; сера 3,0	2,2	2,3
Дифенилгуанидин 1,5; сера 2,0	5,0	6,5

Согласно современным представлениям [13] в вулканизатах дисульфидных связей пропорционально концентрации ZnS . Мы определили содержание ZnS в экстрагированных вулканизатах до и после тепловой обработки их в атмосфере азота. Как видно из данных, при

в табл. 2, во всех случаях после тепловой обработки вулканизата одается увеличение содержания ZnS .
 го свидетельствует о том, что в результате тепловой обработки увелич-
 я относительное содержание поперечных связей меньшей степени
 ридности. Следовательно, тепловая обработка вулканизата должна
 одить к уменьшению числа лабильных серных связей, к увеличению
 ей прочности серных связей вулканизата. Этот вывод был подтверж-
 альнейшими опытами. Мы исследовали диффузию серы при темпера-
 х $120-150^\circ$ из экстрагированного вулканизата с вулканизирующей
 пой 1,5 вес. ч. дифенилгуа-
 на + 6,0 вес. ч. серы в
 ку термовулканизата (каучук
 , прогретый в прессе при
 в течение 90 мин.). Во всех
 аях на кривых $i = f(t)$ наблю-
 я максимум. Типичная кри-
 риведена на рис. 6. Появле-
 максимума можно объяснить
 ующим образом. В нижней
 ке полисульфидного вулкани-
 все время происходит разрыв
 образование серных связей.
 зоначный подъем кривой
 $f(t)$ в этом случае, как и в
 ыдущих опытах с верхними
 ками из того же вулканизата, объясняется образованием сво-
 ой серы и ее распределением путем диффузии между нижней
 ерхней пленками. В предыдущих опытах процесс образования
 их связей проходил совершенно одинаково как в верхней, так и в ниж-

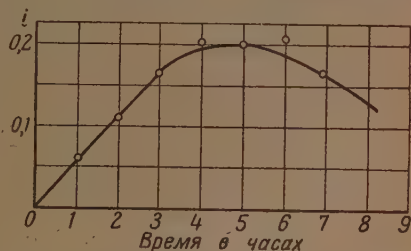
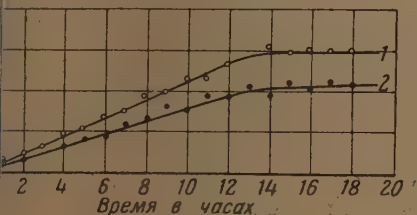


Рис. 6. Диффузия серы из экстрагированного вулканизата с вулканизирующей группой 1,5 вес. ч. дифенилгуанидина + 6,0 вес. ч. серы в пленку термовулканизата при 140°



7. Диффузия серы из экстрагированного вулканизата с вулканизирующей группой 1,0 вес. ч. каптакса + 3,0 вес. ч. серы 130° . 1 — без предварительного прогрева; 2 — после предварительного прогрева при 130° в течение 15 час.

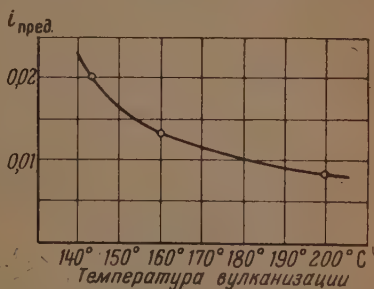
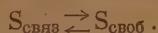


Рис. 8. Зависимость $i_{пред}$ от температуры вулканизации (вулканизат на основе каучука СКС-30А)

пленке, в результате чего после достижения $i_{пред}$ активность верхней
 нки не менялась. В случае верхней пленки из термовулканизата обра-
 ние серных связей в ней не происходит. Снижение i после достиже-
 максимума может быть объяснено только тем, что в нижней полисуль-
 ной пленке процесс разрыва и образования новых серных связей при-
 к постепенному увеличению числа более прочных связей и умень-
 ию числа лабильных связей (см. опыты по определению содержания
). Поскольку это увеличение средней прочности связей не заканчи-
 ся с достижением максимального значения i , наблюдается обратная
 фузия свободной серы из термовулканизата и понижение кривой

$i = f(i)$. Фактически, в полисульфидном вулканизате под действием тепловой обработки смещается влево равновесие:



Образование более прочных связей в процессе тепловой обработки вулканизатов в случае одинаковой природы верхней и нижней пленки может быть обнаружено следующим образом. Исследуемый образец предварительно подвергается прогреву в атмосфере азота при 130° в течение 10—15 час. Затем такой образец испытывается обычным образом. На рис. 7 представлены данные по диффузии серы из предварительно прогретого образца с вулканизирующей группой каптакс + сера, где отчетливо видно, что предварительная тепловая обработка вулканизата приводит к снижению предельного значения i (кривая 2), т. е. к увеличению доли относительно более прочных серных связей.

Таким образом наши опыты показали, что при тепловой обработке серных вулканизатов происходит перестройка серных структур с образованием новых связей, более прочных и меньшей степени сульфидности. Поэтому температура, при которой происходит вулканизация каучука, должна иметь весьма существенное значение для характера образующейся вулканизационной структуры. Действительно, исследование вулканизатов на основе каучука СКС-30А с вулканизирующей группой: альтакс — 0,6; дифенилгуанидин — 0,75; сера — 2,0 вес. ч. показало, что с повышением температуры вулканизации уменьшается относительное содержание подвижных серных связей. На рис. 8 показана зависимость величины $i_{\text{пред}}$ для этих вулканизатов от температуры вулканизации*.

ВЫВОДЫ

1. Показано, что в вулканизатах имеет место обмен между свободной и связанной серой.
2. Предложен метод оценки относительной прочности серных связей в вулканизатах при помощи радиоактивного изотопа серы, S^{35} , по скорости диффузии серы между двумя пленками вулканизата и по значению величины $i_{\text{пред}}$, характеризующей равновесное распределение активной серы. Этим методом изучен ряд вулканизатов.
3. Тепловая обработка вулканизатов сопровождается изменением серных структур в сторону образования более прочных серных связей.

Научно-исследовательский институт
резиновой промышленности
Москва

Поступила
13.XII.1954

ЛИТЕРАТУРА

1. Г. Л. Слонимский, В. А. Каргин, Г. Н. Буйко, Е. В. Родова и М. Льюис-Риера, ДАН, 93, 523, 1953.
2. В. А. Догадкин и З. Н. Тарасова, ДАН, 85, 1069, 1952.
3. А. С. Кузьминский и Л. И. Любчанская, ДАН, 93, 519, 1953.
4. А. С. Кузьминский и Л. И. Любчанская, ДАН, 90, 409, 1953.
5. А. С. Кузьминский и С. И. Басс, Журн. прикл. химии, 27, 189, 1954.
6. U. Shankar, Journ. Sci. a. Ind. Res., 10A, 263, 1951.
7. E. H. Farmy, F. W. Hupley, Journ. Chem. Soc., 1520, 1947.
8. S. Kambara, K. Okita, Rubb. Chem. a. Techn. 25, 209, 1952.
9. С. Е. Бреслер, В. И. Прядилова и В. Я. Хайнман, Журн. техн. физ., 24, 4, 478, 1954.
10. Е. Н. Гурьянова, ДАН, 86, 107, 1952.
11. G. F. Bloomfield, Journ. Chem. Soc., 1547, 1947.
12. А. С. Кузьминский и Л. Г. Ангерт, ДАН, 82, 747, 1952.
13. R. T. Armstrong, J. R. Little, K. W. Doak, Rubb. Chem. a. Techn. 17, 788, 1944.

* Эта часть работы проводилась сотрудником института В. А. Солдатовой.

О НЕКОТОРЫХ ОСОБЕННОСТЯХ ДЕЙСТВИЯ ИНГИБИТОРОВ ЦЕПНЫХ РЕАКЦИЙ С ВЫРОЖДЕННЫМ РАЗВЕТВЛЕНИЕМ ПРИ КВАДРАТИЧНОМ ОБРЫВЕ ЦЕПЕЙ

Д. Г. Кнорре

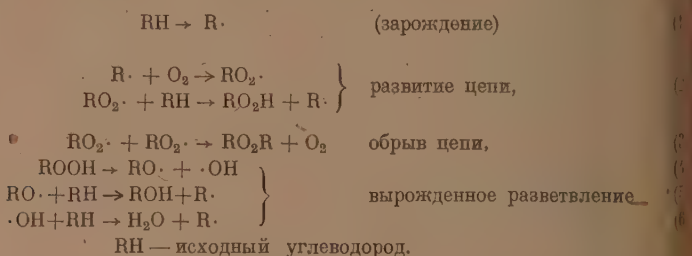
Недавно Э. К. Майзус и Н. М. Эмануэль [1] обратили внимание на своеобразное действие добавок ацетона на реакцию окисления пропана в присутствии НВг. Ими было замечено, что ацетон, будучи добавлен в достаточном количестве в исходную смесь пропана, кислорода и НВг, полностью подавляет окисление. В то же время, будучи добавлен в тех же количествах в эту же смесь через 10—15 сек. после начала окисления, ацетон не оказывает никакого действия на реакцию. Дальнейшее исследование этой реакции показало, что различие в действии ацетона при добавках в исходную смесь и в идущую реакцию связано с своеобразным протеканием окисления пропана в присутствии НВг. Было установлено, что в начальный период окисления пропана в смеси проходит быстрая затормозившаяся реакция, в ходе которой образуется некоторый промежуточный продукт. Этот продукт далее распадается на мономолекулярно-инициирующую цепную неразветвленную реакцию окисления пропана в ацетон. Добавка ацетона в исходную смесь может полностью подавить начальную инициирующую реакцию, а следовательно, и весь дальнейший процесс окисления. Такая же добавка ацетона через 10—15 сек. после начала окисления, когда начальная инициирующая стадия уже прошла, не может повлиять на дальнейшее развитие процесса, поскольку на второй стадии — неразветвленную цепную реакцию окисления пропана в ацетон — ацетон не действует. Таким образом резкое различие в действии ацетона на окисление пропана при введении его в исходную смесь и в идущую реакцию объясняется существованием в этой реакции двух макроскопических стадий.

Сильное уменьшение ингибирующего действия при введении ингибитора в идущую реакцию по сравнению со случаем введения ингибитора в исходную систему наблюдалось различными авторами в ряде других цепных процессов. В связи с этим представляет интерес выяснить, могут ли эти особенности действия ингибиторов найти объяснение в рамках классической цепной схемы с единым на протяжении всего процесса механизмом зарождения, развития, разветвления и обрыва цепей, или же особенности во всех случаях являются указанием на существование в суммарном процессе нескольких макроскопических стадий, каждой со своим элементарным механизмом. Н. М. Эмануэль [2] проанализировал этот вопрос для цепных разветвленных и неразветвленных реакций и показал, что если исходить из классической схемы развития цепного процесса, то тормозящее действие одной и той же добавки ингибитора должно быть практически одинаковым, независимо от времени введения ингибитора в реагирующую систему. Тем самым было показано, что для разных классов реакций резкое различие в действии ингибитора на исходную смесь и на идущую реакцию указывает на существование макроскопических стадий в процессе.

В то же время в литературе до сих пор не рассматривался вопрос о зависимости действия ингибитора от времени введения его в систему

для случая реакции с вырожденным разветвлением цепей. Между тем реакция жидкофазного окисления углеводородов, которые, согласно утвердившимся в науке представлениям, относятся к этому типу процессов такого рода зависимость некоторыми авторами наблюдалась. Так, Р. Бертсон и Уотерс [3] нашли, что добавки 3% фенола, бензилового спирта или циклогексанола к тетралину перед окислением сильно удлиняют период индукции окисления тетралина. Но то же количество этих веществ при введении их в идущую реакцию снижает скорость окисления соответственно только на 30; 9 и 7%.

В связи с этим, а также учитывая, что, по мнению большинства авторов, в жидкофазном окислении обрыв цепей осуществляется путем рекомбинации свободных радикалов, в настоящей работе был проведен математический анализ действия ингибиторов в реакциях с вырожденным разветвлением при квадратичном обрыве цепей. Наиболее обоснованная и наиболее принятая в литературе по окислению жидких углеводородов схема окисления имеет следующий вид:



Действие ингибиторов сводится к обрыву цепи в результате взаимодействия одного из ведущих цепь радикалов с молекулой ингибитора. Например, по схеме:



где S· — малоактивный радикал, не способный продолжать цепь.

В силу наличия разветвления цепей реакция имеет автокаталитический характер. Это означает, что в ходе реакции резко возрастает концентрация свободных радикалов. Возрастает при этом и скорость квадратичного обрыва цепей. Поскольку последние пропорциональны квадрату концентрации активных центров, а скорость обрыва на молекулах ингибитора пропорциональна их первой степени, то при одной и той же концентрации молекул ингибитора отношение скоростей обрыва на ингибиторе и квадратичного обрыва путем рекомбинации радикалов в начале реакции должно быть значительно больше, чем в последующие стадии. Следовательно, можно себе представить такой случай, когда некоторая добавка ингибитора, будучи введена в исходную смесь, создает скорость обрыва значительно большую, чем может обеспечить в начале реакции квадратичный обрыв, т. е. сильно затормозит процесс. В то же время эта же добавка, будучи введена в идущую реакцию, обеспечит дополнительный обрыв цепей, составляющий незначительную долю от того квадратичного обрыва путем рекомбинации, который имеет место в реагирующей системе, т. е. практически не изменит скорости реакции.

Изложенные выше соображения легко подтвердить соответствующими математическими выкладками на основе приведенной схемы окисления.

Полагая концентрации $\text{RO}\cdot$, $\text{R}\cdot$ и $\cdot\text{OH}$ стационарными, мы приходим к следующей системе дифференциальных уравнений для кинетики процесса окисления:

$$\frac{d[\text{RO}_2]}{dt} = w_0 + 2k_4[\text{ROOH}] - k_7[\text{SH}][\text{RO}_2] - k_3[\text{RO}_2]^2, \quad (8)$$

$$\frac{d[\text{ROOH}]}{dt} = k_2[\text{RO}_2][\text{RH}] - k_4[\text{ROOH}],$$

w_0 — скорость зарождения, k_2, k_3, k_4, k_7 — константы скоростей реакций (2), (3), (4) и (7).

Поскольку при исследовании реакции окисления в жидкой фазе обычно ограничиваются небольшими глубинами превращений (как правило, не больше 10%), чтобы избежать искажающего влияния на кинетику всевозможных вторичных реакций, мы в нашем анализе будем считать величину $[\text{RH}]$ постоянной, равной $[\text{RH}]_0$. Равным образом мы будем считать постоянной величину $[\text{SH}]$, так как ингибиторы, для которых наблюдалось понижение эффективности при введении их в реакцию: циклогексанол, фенол и др., не очень сильные и являются в значительных количествах, так что расходом их можно пренебречь. Кроме того, для того чтобы иметь систему уравнений с наименьшим числом параметров, введем безразмерные концентрации и время.

$$[\text{RO}_2] = \sqrt{\frac{w_0}{k_3}} \xi, \quad [\text{ROOH}] = \frac{w_0}{2k_4} \eta, \quad t = \frac{\sqrt{w_0 k_3}}{2k_2 k_4 [\text{RH}]_0} \tau;$$

$$\frac{2k_2 k_4 [\text{RH}]_0}{k_3 w_0} = \alpha; \quad \frac{k_7 [\text{SH}]}{\sqrt{w_0 k_3}} = \sigma; \quad \frac{\sqrt{k_3 w_0}}{2k_2 [\text{RH}]_0} = \gamma.$$

Тогда система дифференциальных уравнений (8) примет вид:

$$\alpha \frac{d\xi}{d\tau} = 1 + \eta - \sigma\xi - \xi^2, \quad (9)$$

$$\frac{d\eta}{d\tau} = \xi - \gamma\eta.$$

Эта система не может быть проинтегрирована в квадратурах. Поэтому можно воспользоваться методом квазистационарных концентраций, т. е. пренебречь величиной $\alpha \frac{d\xi}{d\tau}$. Тогда вместо одного из дифференциальных уравнений мы получим уравнение алгебраическое, после чего второе уравнение может быть легко проинтегрировано. Такой прием, естественно, приводит к правильным результатам лишь при достаточно малых значениях параметра α .

Нетрудно вывести достаточное условие применимости метода квазистационарных концентраций к нашему случаю. Разобьем мысленно весь интересующий нас интервал времени на такие отрезки $\Delta\tau$, чтобы изменением величины η в пределах каждого отрезка можно было пренебречь. Тогда на каждом из этих отрезков первое уравнение (9) может быть легко проинтегрировано, и изменение ξ со временем будет с достаточной степенью точности описываться соотношением:

$$\xi = \frac{\xi_1 C \exp\left\{\frac{\sqrt{\sigma^2 + 4(1+\eta)}\tau}{\alpha}\right\} - \xi_2}{1 + C \exp\left\{\frac{\sqrt{\sigma^2 + 4(1+\eta)}\tau}{\alpha}\right\}},$$

ξ_1 и ξ_2 — корни уравнения

$$1 - \eta - \sigma\xi - \xi^2 = 0, \quad (10)$$

а C — постоянная интегрирования (своя для каждого отрезка $\Delta\tau_i$). Согласно этому выражению величина ξ на каждом отрезке стремится к своему предельному значению ξ_1 , являющемуся функцией η .

Это предельное значение достигается при достаточно большом значении показателя экспоненты, практически при $\tau_{\text{пред}} \sim \frac{\alpha}{\sqrt{\sigma^2 + 4(1 + \eta)}}$. Ясно, что если $\tau_{\text{пред}} \ll \Delta\tau_i$, то на большей части каждого из рассматриваемых отрезков $\xi \approx \xi_1$, и, следовательно, с достаточной точностью выполняется условие квазистационарности (10).

Поскольку $\tau_{\text{пред}} < \alpha/\sqrt{\eta}$, достаточным условием выполнимости соотношения $\tau_{\text{пред}} \ll \Delta\tau_i$ является $\alpha/\sqrt{\eta} \ll \Delta\tau_i$ или практически

$$\frac{\alpha}{\sqrt{\eta}\Delta\tau_i} < 0,1. \quad (11)$$

Для того чтобы в пределах каждого $\Delta\tau_i$ изменением η можно было пренебречь, достаточно взять такие $\Delta\tau_i$, чтобы величина $\Delta\eta/\eta$ была мала; практически опять-таки достаточно считать ее меньшей 0,1. Но $\Delta\eta_i = \xi_i\Delta\tau_i$, где ξ_i — среднее значение ξ на отрезке $\Delta\tau_i$. Это значение во всяком случае меньше предельного значения ξ_1 . В то же время, уже начиная с $\eta \sim \sigma^2$,

$$\xi_1 = -\frac{\sigma}{2} + \sqrt{\frac{\sigma^2}{4} + 1 + \eta} < \sqrt{\eta}.$$

Условие $\Delta\eta_i/\eta < 0,1$ можно поэтому заменить условием $\sqrt{\eta}\Delta\tau_i/\eta < 0,1$, поскольку при этом автоматически получается, что

$$\frac{\Delta\eta_i}{\eta} = \xi_i \frac{\Delta\tau_i}{\eta} < \frac{\xi_1\Delta\tau_i}{\eta} < \frac{\sqrt{\eta}\Delta\tau_i}{\eta} < 0,1.$$

Объединяя последнее неравенство с неравенством (11), получаем достаточное условие применимости условия квазистационарности (10) к нашей системе

$$\frac{\alpha}{\eta} < 0,01. \quad (12)$$

Оценим величину α/η для интересующего нас случая окисления углеводородов. Подставляя выражение параметра α и величины η через соответствующие концентрации и константы скорости, мы преобразуем условие (12) в условие

$$\frac{k_3[\text{RH}]_0}{k_3[\text{ROOH}]} < 0,01.$$

Величина k_3 есть константа скорости рекомбинации двух радикалов, т. е. величина порядка 10^{-10} см³сек.⁻¹, величина k_2 есть константа скорости бимолекулярной реакции, равная $10^{-10} e^{-E/RT}$ см³сек.⁻¹. Если принять $E = 10$ ккал, $T = 100^\circ\text{C}$, то критерий примет вид:

$$\frac{[\text{ROOH}]}{[\text{RH}]_0} > 10^{-4},$$

т. е. условием квазистационарности можно пользоваться, начиная с глубины окисления 0,01%, что для практических целей вполне достаточно.

Поскольку скорость окисления определяется скоростью расходования перекиси, то введем еще одну переменную

$$-\frac{d\zeta}{d\tau} = -\frac{d[O_2]}{dt} \frac{V \sqrt{k_3/w_0}}{k_2[RH]_0}$$

Используя условие квазистационарности, мы получаем

$$-\frac{d\zeta}{d\tau} = \xi = -\frac{\sigma}{2} + \sqrt{\frac{\sigma^2}{4} + 1 + \eta},$$

$$\frac{d\eta}{d\tau} = -\frac{\sigma}{2} + \sqrt{\frac{\sigma^2}{4} + 1 + \eta} - \gamma\eta.$$

Скорость окисления согласно этому соотношению определяется только концентрацией гидроперекиси в соответствующий момент времени. Отношение скоростей реакции в присутствии ингибитора к скорости реакции без ингибитора равно

$$I = \frac{-\frac{\sigma}{2} + \sqrt{\frac{\sigma^2}{4} + 1 + \eta}}{\sqrt{1 + \eta}}$$

Видно, что именно эта величина I характеризует собой эффективность действия ингибитора. Из вида этой функции следует, что эффективность падает по мере накопления в системе гидроперекиси. В начальный период времени при $\sigma \gg 1$ эта величина равна

$$I_0 \approx \frac{1}{\sigma}.$$

В идущей реакции она значительно больше и в пределе при $\eta \rightarrow \infty$, $\rightarrow 1$. Практически реакция окажется нечувствительной к добавке ингибитора уже в случае, когда

$$[\eta \gg \sigma^2/4. \quad (13)$$

Следует заметить, однако, что практически концентрация η не может возрастать неограниченно. Предел ей кладется прежде всего расходом перекиси на реакцию разветвления. Поэтому соотношение (13) может реально выполняться лишь в случаях, когда предельное значение $\eta = \eta_{\text{макс}}$ много больше $\sigma^2/4$. Это предельное значение определяется из уравнения

$$-\frac{\sigma}{2} + \sqrt{\frac{\sigma^2}{4} + 1 + \eta_{\text{макс}}} - \gamma\eta_{\text{макс}} = 0,$$

которое дает

$$\eta_{\text{макс}} = \frac{1 + \sigma\gamma + \sqrt{(1 - \sigma\gamma)^2 + 4\gamma^2}}{2\gamma^2}.$$

Нетрудно показать отсюда, что неравенство (13) может выполняться в случае, если

$$\sigma\gamma \ll 1.$$

Действительно, при этом $\gamma \ll 1$ и

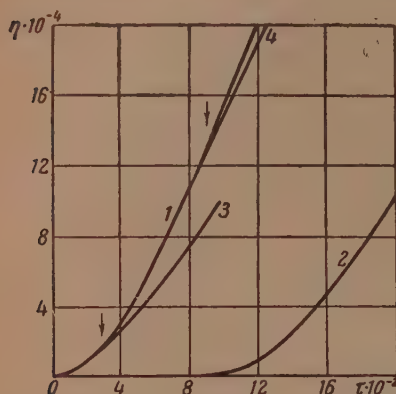
$$\eta_{\text{макс}} \approx \frac{1 - \sigma\gamma + 1 - \sigma\gamma + (2\gamma^2/1 - \sigma\gamma)}{2\gamma^2} \sim \frac{1}{\gamma^2} \gg \frac{\sigma^2}{4}.$$

Итак, проведенный анализ показывает, что в случае, если между параметрами σ и γ существует соотношение

$$\sigma\gamma \ll 1 \text{ (при } \sigma \gg 1), \quad (14)$$

ингибитор будет сильно тормозить реакцию при введении его в исходную смесь и практически не будет оказывать действия на реакцию при введении его в идущую реакцию при концентрациях перекиси, приближающихся к стационарной.

На рисунке в качестве иллюстрации приведены кинетические кривые накопления гидроперекиси, рассчитанные при значении $\gamma = 10^{-3}$ для реакции в отсутствие ингибитора, при добавке ингибитора с $\sigma = 100$ исходную смесь и при добавке того же ингибитора в идущую реакцию для двух различных моментов времени. Этот рисунок наглядно показывает, насколько сильной может быть зависимость действия ингибитора от времени введения его в реагирующую систему.



Расчетные кинетические кривые накопления перекисей: 1 — в отсутствие ингибитора; 2 — в присутствии ингибитора при $\sigma = 100$; 3 и 4 — в случае введения той же добавки ингибитора в реакцию в моменты времени, указанные стрелками

рекомбинации свободных радикалов равна нулю и концентрация ингибитора равна 10^{19} см^{-3} (меньше 1% от концентрации углеводорода), то получаем условие (13) в виде

$$[\text{ROOH}] > 10^{15} e^{(E_4 - 2E_7)/RT}.$$

Энергия активации распада сложных перекисей есть величина порядка 30 ккал [4], концентрация $[\text{ROOH}]$ при окислении углеводородов может достигать величины порядка 10^{20} ($\sim 10\%$ от исходного углеводорода) и, следовательно, неравенство (13) выполняется при

$$E_7 > 12 \text{ ккал.}$$

Это вполне разумное значение для энергии активации реакции малоактивного радикала $\text{RO}_2 \cdot$ с насыщенной молекулой ингибитора. Таким образом условие

$$\eta \ll \sigma^2$$

вполне может иметь место в реальных процессах окисления.

Что касается второго условия, то оно сводится к условию

$$\frac{k_7 [\text{SH}]}{k_2 [\text{RH}]_0} \ll 1.$$

Поскольку для не очень эффективных ингибиторов $k_7 < k_2$ и всегда $[\text{SH}] < [\text{RH}]_0$ (добавка ингибитора меньше концентрации углеводорода) то это условие выполняется.

Следовательно, при окислении в жидкой фазе углеводородов и родственных соединений (а возможно, и в других реакциях с вырожденным разветвлением и квадратичным обрывом цепей) можно ожидать

в некоторых случаях резких отличий в поведении ингибиторов при введении в исходную смесь и в идущую реакцию, не связанных с существованием макроскопических стадий в цепном процессе.

ВЫВОДЫ

1. Математический анализ системы уравнений, описывающей кинетику цепных процессов с вырожденным разветвлением и квадратичным срывом цепей, показывает, что при определенных соотношениях между константами скоростей элементарных стадий эффективность действия ингибитора может значительно уменьшиться, если ингибитор в том же количестве ввести не в исходную систему, а через некоторое время после начала реакции.

2. Эти соотношения, в частности, могут иметь место при действии очень сильных ингибиторов на процесс жидкофазного окисления углеводородов и родственных соединений. Поэтому в этих реакциях можно ожидать в некоторых случаях наличие резкой зависимости поведения ингибитора от времени введения его в реакцию.

Академия наук СССР
Институт химической физики
Москва

Поступила
14. XII. 1954

ЛИТЕРАТУРА

3. К. Майзус, Н. М. Эмануэль, ДАН, 74, 241, 437, 801, 1952;
3. К. Майзус, А. М. Маркевич, Н. М. Эмануэль, ДАН, 89, 1049, 1953.
Н. М. Эмануэль, ДАН, 95, 603, 1954.
A. Robertson, W. A. Waters, Trans. Farad. Soc., 42, 201, 1946.
J. L. Bolland, G. Gee, Trans. Farad. Soc., 42, 236, 1946.

МАГНИТНЫЕ СВОЙСТВА ЖЕЛЕЗО-УГОЛЬНЫХ КАТАЛИЗАТОРОВ В СИЛЬНЫХ ПОЛЯХ

В. Б. Евдокимов

Ранее нами сообщались [1] некоторые данные о магнитных свойствах железо-угольных катализаторов. В настоящем сообщении приведены результаты исследования магнитных свойств железо-угольных катализаторов в полях напряженностью от 3000 до 11 000 эрстед.

При выбранной методике приготовления объектов исследования могут образоваться только малые ферромагнитные частицы.

Судя по литературным данным [2—11], при исследовании малых ферромагнитных частиц, повидимому, необходимо применять обычные методы исследования ферромагнетиков с тем существенным отличием, что внешние магнитные поля должны быть сильнее тех, которые обычно применяются при намагничивании компактных ферромагнитных тел.

В связи с вышеуказанным было целесообразно исследовать магнитные свойства железо-угольных катализаторов с малыми заполнениями в сильных полях, так как наличие ферромагнитной составляющей для больших заполнений доказывается измерениями в полях от 1000 до 3000 эрстед [12].

АППАРАТУРА И МЕТОДИКА ИССЛЕДОВАНИЯ

Для измерения магнитной восприимчивости железо-угольных катализаторов в сильных полях была изготовлена установка по методу цилиндра. Установка состоит из электромагнита и полумикровесов, установленных на специальной стойке.

Электромагнит был изготовлен из железа «Армако» сечением 90×90 мм. Зазор между полюсами электромагнита можно было менять при помощи набора сменных полюсных наконечников от 8 до 100 мм. На обе катушки было намотано в общей сложности 2500 витков провода ПВД — 1,96. Ток в катушках регулировался при помощи реостата трамвайного типа, набора реостатов типа «Рустрат» и отсчитывался по многопредельному милливольтамперметру М 80/1 класса 0,5.

При измерении восприимчивости по методу цилиндра образец цилиндрической формы подвешивается на коромысле чувствительных весов (или какого-либо другого измерительного приспособления) таким образом, что один из концов образца находится в поле H_1 , а другой в поле H_2 , как это показано на рис. 1. Уравновесив образец без поля, включают поле и определяют вес образца в поле. Магнитная восприимчивость рассчитывается по формуле:

$$\chi = \frac{2l\Delta W}{m(H_1^2 - H_2^2) 1,019},$$

где l — длина слоя вещества в сантиметрах; ΔW — изменение веса вещества в полевых миллиграммах; $H_1^2 - H_2^2$ — константа поля при силе тока i ; 1,019 — коэффициент перевода миллиграммов веса в дин. Определение веса вещества (m), а также изменение веса в поле (ΔW) производились при помощи полумикровесов с чувствительностью 0,02 мг на одно деление при нагрузке в 50 г.

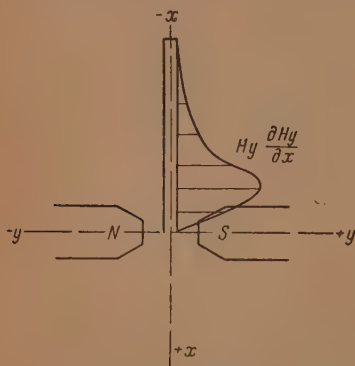


Рис. 1. Схема расположения образца в магнитном поле при измерении магнитной восприимчивости по методу цилиндра

Для точных определений магнитной восприимчивости требуется, чтобы образец производимо попадал в одну и ту же точку поля, если только конструкцией полюс-наконечников не обеспечивается такая топография поля вдоль линии подвеса изца, при которой смещение образца не приводит к значительным ошибкам. Регу-рование высоты подвеса достигалось помощью латунного зажима, в кото-укреплялась пробирка, содержащая ество.

При определении магнитной воспри-вности железо-угольных катализаторов ада определялось изменение веса в е запаянной пробирки с образцом ка-лизатора Fe/уголь в атмосфере водорода, м верхняя часть пробирки около м от верхнего края отрезалась, про-ка тщательно мылась царской водкой, мылась неоднократно дистиллирован-водой, тщательно высушивалась до по-ниного веса, после чего производилась туировка пробирки в тех же полях, и пробирка-образец. Значение ΔW в муде (1) равно

$$\Delta W = \Delta W_{\text{пр+в}} - \Delta W_{\text{пр}}, \quad (2)$$

Ток в катуш-ках электро-магнита в амперах	$\Delta W_{\text{пр}}$ изменение веса про-бирки в поле в мг	
	1-е определе-ние	2-е определе-ние
2	-0,04	-0,04
4	—	-0,13
6	-0,25	-0,26
8	-0,57	-0,59
10	-0,90	-0,90
12	-1,11	-1,13
14	-1,35	-1,36
16	-1,51	-1,49
18	-1,64	-1,67
20	-1,73	-1,79
22	-1,90	-1,89
24	-2,00	-2,04

ΔW — изменение в весе вещества в поле в миллиграммах; $\Delta W_{\text{в+пр}}$ — изменение в вещества + пробирка в поле в миллиграммах; $\Delta W_{\text{пр}}$ — изменение в весе пробир-поле в миллиграммах. Предварительно было установлено, что удаление верхней и пробирки (около 5 мм) не сказывается на результатах градуировки (общая длина бирки 230 мм).

Доказательством чистоты пробирок служила полная воспроизводимость их гра-ировок. В качестве примера приведем повторные градуировки одной и той же про-ки (см. таблицу).

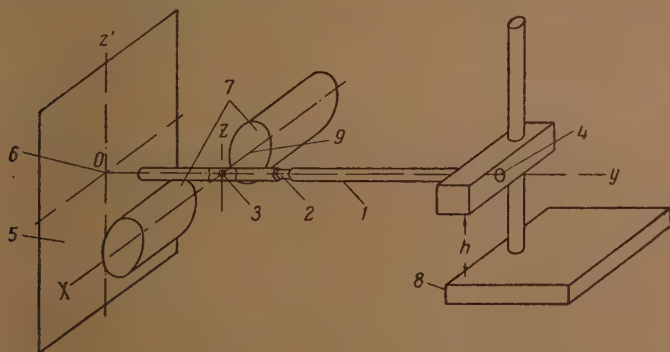


Рис. 2. Схема приспособления для определения константы магнитного поля ($H_1^2 - H_2^2$) баллистическим способом

Отсюда видно, что повторные градуировки совпадают с точностью $\pm 0,02$ мг прак-ески во всех полях.

Для расчета магнитной восприимчивости по формуле (1) необходимо знать вели-у константы поля ($H_1^2 - H_2^2$). Значение константы можно определить весовым см по веществу с известной восприимчивостью или непосредственным путем, на-мер баллистическим способом.

Для определения ($H^2 - H_2^2$) баллистическим способом употреблялось простое приспособление, суть которого состоит в следующем (рис. 2). Внутри неподвижно репленной латунной трубки 1 вращается с легким трением стеклянная трубка 2, юнцы которой укреплены измерительная катушка 3 (диаметром 4 мм, 250 витков вода ПЭ 0,05). На другом конце стеклянной трубки 4 укреплено приспособление, изобразенное на схеме и состоящее из двух ограничителей, маховика и пружины. помощи которой катушка опрокидывается на 180° . Острые 6 такого своеобразного

измерителя напряженности поля [13] упирается в лист миллиметровой бумаги и фиксирует положение измерительной катушки 3 в зазоре электромагнита. При помощи этого простого приспособления были определены значения константы поля при различных значениях тока в катушках электромагнита.

Контрольные определения восприимчивости воды (тридистиллат, полученный в кварцевой аппаратуре) с использованием константы поля, найденной баллистическим способом, дали следующие результаты

$$\text{1-е определение} \\ \chi_{\text{H}_2\text{O}} = -0,719 \cdot 10^{-6} \text{ CGS } \mu_0;$$

$$\text{2-е определение} \\ \chi_{\text{H}_2\text{O}} = -0,726 \cdot 10^{-6} \text{ CGS } \mu_0.$$

Среднее значение магнитной восприимчивости из двух определений равно $\bar{\chi}_{\text{H}_2\text{O}} = -(0,723 \cdot 10^{-6} \pm 0,004) \cdot 10^{-6} \text{ CGS } \mu_0$, т. е. ошибка определения, повидимому, не превышает 1% при плотности образца $\rho \approx 1$ и восприимчивости $\pm 1,0 \cdot 10^{-6} \text{ CGS } \mu_0$.

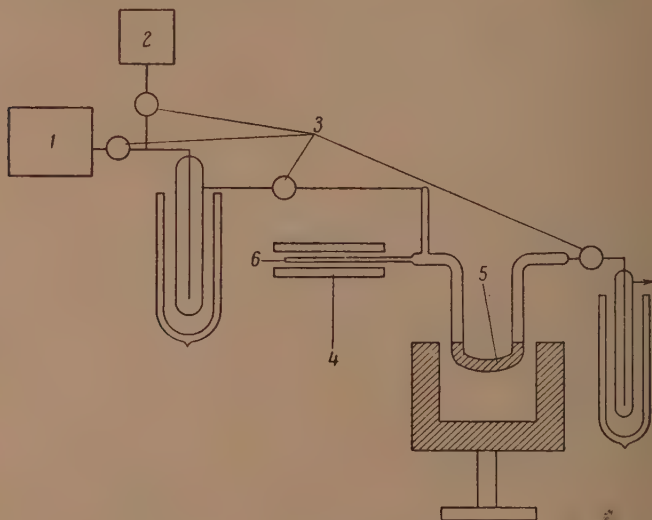


Рис. 3. Схема установки для получения образцов железо-угольных катализаторов

Наиболее точные определения восприимчивости воды, выполненные [14] при точности 1,1 на 10 000, дали значение

$$\chi_{\text{H}_2\text{O}} = -0,71992 \cdot 10^{-6} \text{ CGS } \mu_0,$$

а по данным работы [15]

$$\chi_{\text{H}_2\text{O}} = -0,7218 \cdot 10^{-6} \text{ CGS } \mu_0$$

при точности 7 на 10 000.

Таким образом полученное значение магнитной восприимчивости для воды

$$\bar{\chi}_{\text{H}_2\text{O}} = -(0,723 \pm 1,004) \cdot 10^{-6} \text{ CGS } \mu_0,$$

близкое по значению к лучшим определениям, позволяет сделать вывод, что константа магнитного поля ($H_1^2 - H_2^2$) была определена с достаточной точностью для измерений магнитной восприимчивости абсолютным методом.

Образцы железо-угольных катализаторов готовились по описанному ранее [12] «бескислородному» методу в установке, схема которой приведена на рис. 3. Водород для восстановления катализаторов получался электролизом, затем пропусклся через раствор плюмбита, колонки с хлористым кальцием, силикагелем, колонки с плавленным КОН, колонки с силикагелем (на рис. 3 эта часть установки изображена условно I). Непосредственно перед реактором 5 водород попадал в ловушку, охлаждаемую жидким азотом. Выход из системы замыкался также ловушкой, охлаждаемой жидким азотом. Перед началом опыта система некоторое время промывалась водородом, после чего отрезок 6 (заготовка будущей ампулы для магнитных измерений) запаивался с внешнего конца. Во время разложения пентакарбонила железа, адсорбированного на угле, в реакторе 5 при пропускании тока водорода отрезок 6 нагревался специальной печью до 80°C .

Сахарный уголь, использованный в качестве носителя, готовился сжиганием трех- и перекристаллизованных кристаллов сахара в кварцевом тигле при пропускании медленного тока сухой двуокиси углерода. Образовавшаяся в результате нагревания хрупкая поздраватая масса интенсивно черного цвета растиралась в агатовой пиле в тонкий порошок, который сначала прокаливался в кварцевом тигле с чуть открытой крышкой в муфельной печи при 800°C в течение 16 час., а затем в токе водорода в кварцевом реакторе при 600°C в течение 8 час.

Поверхность такого угля, определенная методом Панета [16], оказалась равной $1\text{ м}^2/\text{г}$. Магнитная восприимчивость сахарного угля равна $-(0,17 \pm 0,01) \cdot 10^{-6}$ э.е., как видно из рис. 4, не зависит от внешнего магнитного поля вплоть до 100 эрстед.

ОБСУЖДЕНИЕ ПОЛУЧЕННЫХ РЕЗУЛЬТАТОВ

На рис. 4 приведены результаты измерения магнитной восприимчивости железо-угольных катализаторов с различными степенями заполнения.

По оси ординат отложено значение магнитной восприимчивости на 1 г железо-угольного катализатора, т.е. восприимчивость 1 г композиции слабого диамагнетика—сахарного угля и адсорбированного на его поверхности железа, а по оси абсцисс — напряженность магнитного поля в эрстедах. Из четырех катализаторов, исследованных в сильных полях, только один катализатор со степенью заполнения 0,0042, по видимому, имеет восприимчивость, незначительно зависящую от напряженности поля. Катализатор со степенью заполнения 0,00007 ($g = 0,0013\%$) — парамагнетик: его восприимчивость равна $+0,08 \cdot 10^{-6}$, а восприимчивость угля, как указывалось выше, равна $-0,17 \cdot 10^{-6}$. Следовательно, слой нанесенного на него парамагнетика

$$\chi_{\text{катал}} = \chi_{\text{катал}} - \chi_{\text{носит}} = -0,08 - (-0,17) \cdot 10^{-6} = +0,09 \cdot 10^{-6}.$$

В одной из предыдущих работ [12] катализатор со степенью заполнения 0,000052 ($g = 0,001\%$ весу), полученного по «кислородной» методике [12], было найдено, что восприимчивость катализатора равна $+0,25 \cdot 10^{-6}$.

Следовательно, восприимчивость слоя $\chi_{\text{слой}} = +0,42 \cdot 10^{-6}$. Таким образом в практически одинаковых степенях заполнения (0,000052 и 0,0007) восприимчивость образцов отличается примерно в пять раз. Это отличие объясняется главным образом за счет того, что катализаторы, полученные по «кислородной» методике, содержат некоторое количество адсорбированного железа в окисной форме, которая увеличивает уровень магнитной восприимчивости.

На резкое увеличение магнитной восприимчивости железо-угольных катализаторов при окислении указывалось ранее [12]. Необходимо отметить, что факт увеличения восприимчивости при окислении атомизированных ве-

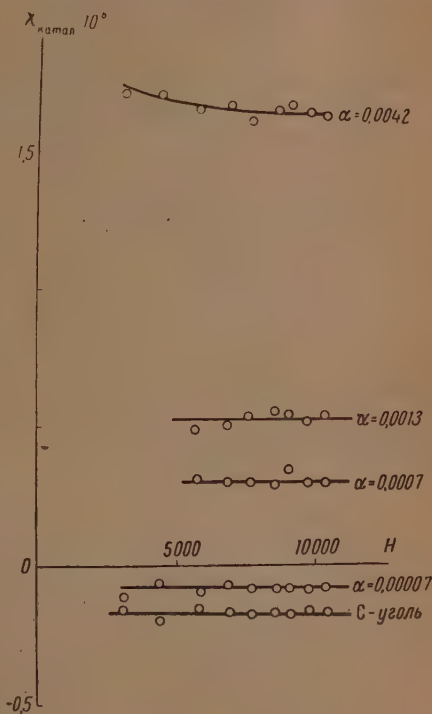


Рис. 4. Зависимость магнитной восприимчивости железоугольных катализаторов с различными степенями заполнения от внешнего магнитного поля

ществ, адсорбированных поверхностью носителя, можно обнаружить и на других объектах [17]. Поэтому во всех выводах, которые могут быть получены на основе магнитных измерений, следует основываться и на результатах, полученных при изучении магнитных свойств железо-угольных катализаторов, приготовленных по «бескислородной» методике, т. е. по такой методике, при которой образцы железо-угольных катализаторов непосредственно перед магнитными измерениями не подвергаются ника-

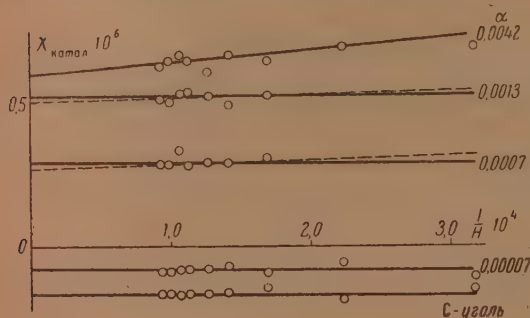


Рис. 5. Магнитная восприимчивость железо-угольных катализаторов как функция обратного поля $\left(\frac{1}{H}\right)$. Для образца $\alpha = 0,0042$ отложено значение $(\chi_{\text{катализ}} - 1) \cdot 10^6$

$\frac{1}{H}$. Из этого рисунка видно, что восприимчивость катализатора с $\alpha = 0,0042$ ($g = 0,008\%$ железа по весу) хотя и очень слабо, но все же зависит от напряженности магнитного поля. Восприимчивость катализаторов с меньшими заполнениями не зависит от поля вплоть до 11 000 эрстед. Последнее следует рассматривать как доказательство того, что эти образцы катализаторов Fe/уголь не содержат включений кристаллического железа.

Количество ферромагнитной примеси в образцах железо-угольных катализаторов можно оценить при помощи метода Хонда [8], тем более что определения магнитной восприимчивости железо-угольных катализаторов делались в полях до 11 000 эрстед.

Восприимчивость композиции диамагнитного носителя и железа, нанесенного на его поверхность, в первом приближении можно представить в виде суммы восприимчивостей компонентов

$$\chi_{\text{катализ}} = \gamma_n \chi_n + \gamma_{\text{Fe адс}} \chi_{\text{Fe адс}}$$

Здесь $\chi_{\text{катализ}}$ — восприимчивость 1 г катализатора Fe/уголь; χ_n — восприимчивость 1 г носителя; $\chi_{\text{Fe адс}}$ — восприимчивость 1 г нанесенного железа; γ_n ; $\gamma_{\text{Fe адс}}$ — доля железа и доля носителя по весу. Для малых степеней заполнения с большим приближением можно считать, что доля носителя γ_n равна единице. Обозначив $\chi_{\text{катализ}} - \chi_n = \chi_{\text{слой}}$, можно найти восприимчивость адсорбированного железа:

$$\chi_{\text{Fe адс}} = \frac{\chi_{\text{слой}}}{\gamma_{\text{Fe адс}}} = \frac{\chi_{\text{слой}}}{g_{\text{Fe}}} \cdot 100.$$

Если рассчитать восприимчивость адсорбированного железа, то можно получить следующие результаты:

α	ξ %	$\chi_{\text{слой}} \cdot 10^4$	$\chi_{\text{Fe адс}} \cdot 10^4$
0,00007	0,0013	+0,09	6,92
0,0007	0,013	+0,47	3,92
0,0013	0,025	+0,60	2,50
0,0042	0,080	+1,87	2,34

Таким образом восприимчивость слоя нанесенного вещества при уменьшении степени заполнения уменьшается, а восприимчивость 1 г сорбированного железа увеличивается, незначительно превышая верхнюю границу парамагнетизма [5].

Исследование железо-угольных катализаторов в сильных полях позволяет сделать более достоверные выводы о количестве ферромагнитной примеси. Рассматривая наклон прямых $\left(\chi, \frac{1}{H}\right)$ как меру количества ферромагнитной примеси, можно оценить ее количество:

$$\chi_{\text{катал}} = \gamma_{\text{пара}} \chi_{\infty} + \gamma_{\text{кр Fe}} \chi_{\text{кр Fe}}$$

здесь χ_{∞} — восприимчивость катализатора, экстраполированная на бесконечно большие поля, или истинная восприимчивость железо-угольных катализаторов Fe/уголь без ферромагнитной примеси; $\chi_{\text{кр Fe}}$ — восприимчивость кристаллического железа в высокодисперсном состоянии; $\gamma_{\text{пара}}$; $\gamma_{\text{кр Fe}}$ — доля железа в парамагнитном состоянии и доля железа в кристаллическом состоянии по весу.

Отсюда можно найти содержание ферромагнитной примеси железа в виде кристаллов к основной массе железа в докристаллическом состоянии в процентах по весу от всего содержания на поверхности угля:

$$\gamma_{\text{кр Fe}}^{\%} = \frac{(\chi_{\text{катал}} - \chi_{\infty}) \cdot 10^4}{(\chi_{\text{кр Fe}} - \chi_{\infty}) g} \quad (3)$$

Для расчета $\gamma_{\text{кр Fe}}^{\%}$ по данной формуле необходимо знать значение восприимчивости кристаллического железа в высокодисперсном состоянии. С этой целью оценим возможные значения $\chi_{\text{кр Fe}}$. Будем считать, что намагничивание ферромагнитных частиц осуществляется целиком за счет вращения вектора \mathbf{I}_s . Если исключить истинное намагничивание считать, что частицы примерно шарообразны, то в первом приближении наименьшая восприимчивость будет определяться величиной внешнего магнитного поля:

$$\chi \approx \frac{I_s}{H_{\text{внеш}}}$$

По данным Дриго [6] для пленок железа толщиной в 10 \AA атомных слоев ($\sim 26 \text{ \AA}$) намагниченность в поле 500 эрстед равна $\sim 0,5 I_s$. Если принять, что плотность железа в этом случае равна $\sim 7 \text{ г/см}^3$, а поле равно 3000 эрстед, то получим

$$\chi_{\text{кр Fe}} \approx \frac{0,5 \cdot 1700}{3000 \cdot 7} = 0,04.$$

Подчеркнем, что полученное значение 0,04 является наименьшим, поскольку намагничивание нами рассматривается пропорциональным только $/H_{\text{внеш}}$. Кроме того, нами принимается, что плотность тонких ферро-

магнитных пленок, а также маленьких ферромагнитных частиц, не отличается от плотности компактного железа, хотя несомненно, что их плотность может быть только меньше.

Опытное определение $\chi_{\text{кр Fe}}$ приводит к большим значениям, чем 0,04. Для определения $\chi_{\text{кр Fe}}$ готовилась смесь высокодисперсного ферромагнитного порошка с диамагнитным разбавителем. В качестве исходного высокодисперсного ферромагнитного порошка была взята окись железа, полученная окислением пентакарбонила железа при 150°C. При

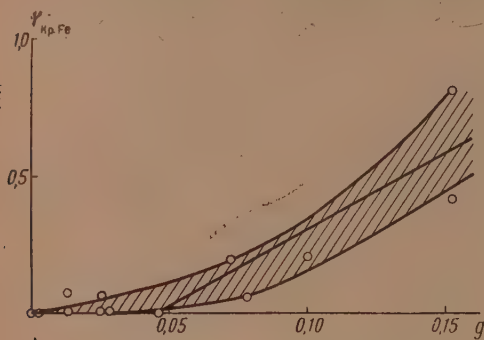


Рис. 6. Содержание кристаллического железа в железугольных катализаторах в зависимости от содержания железа на поверхности угля. $\gamma_{\text{кр}}^{\%}$ — процент кристаллического железа от общего содержания железа на поверхности; g — общее содержание железа (в процентах) в железугольных катализаторах

этой температуре окисления с ограниченным доступом кислорода по данным [19] образуются кристаллы $\gamma\text{-Fe}_2\text{O}_3$ размером около 20 Å. Восприимчивость такого препарата в виде порошка в поле 3000 эрстед равна $27 \cdot 10^{-6}$ CGS μ_0 , что достаточно хорошо согласуется с данными [19].

Длительным смешением в стеклянной ступке $\gamma\text{-Fe}_2\text{O}_3$ с предварительно растертым SiO_2 была приготовлена однородная на-глаз смесь, содержащая примерно 0,1% железа по весу. Восстановление образца производилось, как описано выше, в реакторе для восстановления в течение 10 час. при 650°C. Магнитным измерениям подвергался образец, запаянный в ампуле в атмосфере водорода, после чего анализом было установлено, что он содержит 0,16% железа по весу. Восприимчивость одного грамма образца, запаянного в ампуле в атмосфере водорода, в поле напряженностью 1000 эрстед, оказалась равной

$$\chi_{\text{обр}} = 1320 \cdot 10^{-6},$$

или на 1 г железа:

$$\chi_{\text{кр Fe}} = 0,83.$$

Эта величина, возможно, несколько завышена, так как при восстановлении не исключена возможность образования ферромагнитных мостиков между отдельными частичками. Для оценки величины можно было бы использовать оба значения: 0,83 и 0,04, получив, соответственно, два значения $\gamma_{\text{кр Fe}}^{\%}$ — максимальное и минимальное. Однако для упрощения изложения можно принять некоторое промежуточное значение $\chi_{\text{кр Fe}}$. Ранее нами для значения $\chi_{\text{кр Fe}}$ была найдена величина $1 \div 3$ [12]. Поэтому в качестве промежуточного значения можно было бы принять величину $\chi_{\text{кр Fe}} \approx 0,3$. Учитывая, что указанная величина во много раз больше величин, входящих в формулу (3), величиной χ_{∞} , стоящей в знаменателе, можно пренебречь по сравнению с $\chi_{\text{кр Fe}}$. При расчете $\gamma_{\text{кр Fe}}^{\%}$ вместо значения $\chi_{\text{кр Fe}}$ будем употреблять максимальное значение восприимчивости $\chi_{\text{кр Fe}}^{\text{макс}}$, тем самым заведомо увеличивая рассматриваемое значение $\gamma_{\text{кр Fe}}^{\%}$. По аналогии с результатами, полученными ранее [12], будем считать, что максимальная восприимчивость железугольных катализа-

ров будет достигаться в поле 2000—3000 эрстед. Максимальное значение восприимчивости железо-угольных катализаторов, исследованных полях до 1100 эрстед, будем находить экстраполяцией полученных данных на поле 3000 эрстед, как показано на рис. 5. Результаты расчета $\gamma_{\text{кр}}^{\text{Fe}}\%$ приведены на рис. 6, где по оси ординат отложены значения $\gamma_{\text{кр}}^{\text{Fe}}\%$ — процент кристаллического железа от всего содержания железа на поверхности угля, а по оси абсцисс — общее содержание железа по весу. Из этого рисунка видно, что, во-первых, процент кристаллического железа от общего содержания железа в процентах по весу крайне мал, составляя доли процента, а во-вторых, он уменьшается при уменьшении содержания железа.

ВЫВОДЫ

При тех степенях заполнения, при которых на железо-угольных катализаторах обычно наблюдается максимум каталитической активности ($x = 0,0004$) [20], количество железа в кристаллическом состоянии пренебрежимо мало. При малых степенях заполнения, меньших чем 0,01, железо на поверхности угля находится преимущественно в атомном состоянии или в состоянии несложных атомных групп. Атомизированное состояние железа на поверхности угля следует из фактов:

- 1) независимости магнитной восприимчивости железо-угольных катализаторов от внешнего магнитного поля до 11 000 эрстед;
- 2) практически полного отсутствия кристаллической примеси железа образцам железо-угольных катализаторов [12, 21];
- 3) повышения величины восприимчивости железо-угольных катализаторов при окислении [12, 21];
- 4) отсутствия точек Кюри у образцов железоугольных катализаторов малыми заполнениями [12, 21, 1].

Независимым и прямым доказательством атомизации, кроме того, является обращение знака магнитной восприимчивости серебра, адсорбированного на различных носителях [22].

Общим доказательством атомизации веществ при малом их содержании на поверхности носителя является рост восприимчивости на 1 г нанесенного (адсорбированного) вещества [12, 21, 22]. Этот рост восприимчивости на 1 г адсорбированного вещества $\chi_{\text{адс. веш.}}$ при уменьшении степени заполнения свойственен всем типам магнетиков и не зависит от того, взят ли в качестве наносимого вещества для приготовления адсорбционного катализатора диа-, пара- или ферромагнетик. Увеличение восприимчивости на 1 г нанесенного вещества при уменьшении степени заполнения обнаруживается у большого круга веществ: металлов [12, 21, 23], солей [12, 21, 22] и окислов [23], обладающих в исходном состоянии самыми разнообразными кристаллическими решетками.

Московский государственный университет
им. М. В. Ломоносова

Поступила
18.XII.1954

ЛИТЕРАТУРА

1. В. Б. Евдокимов, Н. И. Кобозев, Журн. физ. химии, 28, 362, 1954.
2. С. В. Вонсовский, Современное учение о магнетизме, ГИТТЛ, 1952, стр. 262.
3. Е. И. Кондорский, ДАН, 70, 215, 1950; 80, 197, 1951; 82, 365, 1952; Изв. АН СССР, сер. физ., 16, 398, 1952.
4. Ch. Kittel, Phys. Rev., 70, 965, 1946. См. сборник «Физика ферромагнитных областей», ИИЛ, 1951, стр. 94, 126, 127.
5. С. В. Вонсовский, Современное учение о магнетизме, ГИТТЛ, 1952, стр. 299—302; С. В. Вонсовский и Я. С. Шур, Ферромагнетизм, ГИТТЛ, 1948, стр. 247—248 и 500—510.
6. A. Drigo, Nuovo Cim., 8, 498, 1951.
7. M. J. Klein and R. S. Smith, Phys. Rev., 81, 378, 1951.

8. K. Hounda, *Ann. d. Phys.*, **32**, 1048, 1910.
 9. M. Owen, *Ann. d. Phys.*, **37**, 674, 1912.
 10. A. Knappworst, *Zs. phys. Chem.* **A188**, 246, 1941.
 11. Р. И. Янус, *ЖЭТФ*, **7**, 1132, 1937.
 12. В. Б. Евдокимов и И. И. Озерецковский и Н. И. Кобозев, *Журн. физ. химии*, **26**, 135, 1952.
 13. А. Г. Калашников, *Журн. техн. физики*, **13**, 407, 1943; *Изв. АН СССР, сер. геофиз.*, № 4, 1953; *Флюксометр*, Изд-во АН СССР, 1949.
 14. A. Piccard et. Devoud, *Arch. sci. phys. et nat.*, (5) **2**, 455, 1920; см. П. Селвуд, *Магнетохимия*, ИИЛ, 1949.
 15. H. Auer, *Ann. d. Phys.*, **18**, 593, 1933.
 16. Panetha. Vorwerk, *Zs. phys. Chem.*, **101**, 445, 1922; Panetha. Kann, *Ber.*, **57**, 1221, 1924.
 17. P. Jacobson a. P. W. Selwood, *Journ. Amer. Chem. Soc.*, **76**, 2641, 1954.
 18. С. Л. Киперман и М. И. Темкин, *Проблемы кинетики и катализа*, т. VI, Гетерогенный катализ, 1949, стр. 206; М. И. Темкин и С. Л. Киперман, *Журнал физ. химии*, **27**, 753, 1953.
 19. R. NauI, Th. Schoon, *Zs. Elektroch.*, **45**, 663, 1939.
 20. Л. Л. Клячко-Гурвич и Н. И. Кобозев, *Журн. физ. химии*, **14**, 650, 1940.
 21. В. Б. Евдокимов, *Диссертация*, МГУ, 1954.
 22. Н. И. Кобозев, В. Б. Евдокимов, И. А. Зубович, А. Н. Мальцев, *Журн. физ. химии*, **26**, 1349, 1952.
 23. P. W. Selwood, *Advances in Catalyse and related sybjects*, **3**, 27, 1951.
-

СВЯЗЬ ТЕПЛОТЫ ПАРООБРАЗОВАНИЯ С ПЛОТНОСТЬЮ ЖИДКОСТИ И ЕЕ НАСЫЩЕННОГО ПАРА И ПОВЕРХНОСТНЫМ НАТЯЖЕНИЕМ ЖИДКОСТИ

Р. З. Магарил

Возможность вычислять теплоту парообразования в зависимости от температуры имеет большое практическое значение при проектировании установок по перегонке, конденсации, теплообменных аппаратов и т. д. Термодинамика выражает связь между теплотой парообразования и температурой общеизвестным уравнением Клапейрона — Клаузиуса:

$$\lambda = AT \frac{\partial p}{\partial T} (v_{\text{п}}^{\text{г}} - v_{\text{ж}}).$$

Для вычисления теплоты парообразования по этому уравнению необходимо располагать данными по зависимости упругости насыщенного пара от температуры.

Непосредственное калориметрическое определение теплоты парообразования в широком интервале температур затруднительно и недостаточно надежно (погрешность порядка 1%). Этим объясняется обилие полуэмпирических и эмпирических зависимостей, предложенных для определения теплоты парообразования в зависимости от температуры (подробно см. 1).

Многие закономерности мало пригодны для практических целей, так как либо охватывают узкий температурный интервал, либо содержат много переменных, либо требуют знания зависимости упругости насыщенного пара от температуры, критических постоянных и др.

Теплота парообразования, как и некоторые другие свойства жидкости (поверхностное натяжение, внутреннее давление, вязкость и др.), тесно связана с величиной сил молекулярного взаимодействия, зависящих от расстояния между молекулами, и, следовательно, от плотности жидкости.

Общеизвестна формула А. И. Бачинского [2], связывающая поверхностное натяжение жидкости с плотностями жидкости и ее насыщенного пара, хорошо согласующаяся с экспериментом в широком интервале температур, не доходящем приблизительно на 50° до критической точки.

В результате рассмотрения литературных данных по теплотам парообразования и другим свойствам жидкостей нами была получена зависимость, связывающая теплоту парообразования с плотностями жидкости и ее насыщенного пара при данной температуре:

$$\lambda = C (d_0 - d)^n,$$

где λ — теплота парообразования, d_0 — плотность жидкости, d — плотность насыщенного пара, C , n — постоянные для данной жидкости.

Для определения теплоты парообразования в широком интервале температур по этой формуле необходимо знать d_0 и d в зависимости от температуры и иметь два опытных значения λ при разных температурах для определения постоянных C и n .

Результаты расчета, принимая во внимание невысокую точность данных по теплотам парообразования вообще и возможную неточность использованных литературных данных в частности, хорошо согласуются с опытными данными (табл. 1).

Данные по теплотам парообразования и плотностям взяты из [3, 4].
Очевидно, что для температур, далеких от критической, плотности пара можно пренебречь, что упрощает вычисление теплоты парообразования необходимостью знать лишь плотность жидкости.

Таблица 1

Вещество	C	n	Интервал температур °K	$\Delta\lambda_{\text{ср}}, \%$	$\Delta\lambda_{\text{макс}}, \%$
CH_3OH	0,02463	1,401	343,16—493,16	0,7	2,0
$\text{C}_6\text{H}_5\text{CH}_3$	0,007504	1,407	463,16—553,16	2,2	4,8
H_2O	0,03238	1,422	273,16—573,16	2,2	4,1
$(\text{CH}_3)_2\text{CO}$	0,01534	1,359	333,16—473,16	1,5	4,5
C_3H_8	0,05735	1,179	213,16—370	0,5	1,5

Сопоставив формулу А. И. Бачинского с предложенной формулой получаем выражение, связывающее теплоту парообразования с поверхностным натяжением

$$\lambda = C \left(\frac{\sigma}{c} \right)^{n/4} = K \sigma^m,$$

Результаты расчета по этой формуле также хорошо согласуются с опытными данными (табл. 2—4).

Таблица 2

Бензол C_6H_6 ; $m = 0,3192$; $K = 35,39$

$T, ^\circ\text{K}$	$\sigma,$ дин/см	$\lambda_{\text{оп}},$ ккал/кг	$\lambda_{\text{выч}},$ ккал/кг	$\Delta\lambda, \%$
283,16	30,32	105,2	105,2	0
293,16	29,02	103,7	103,7	0
323,16	25,08	99,1	99,0	-0,1
343,16	22,52	95,9	95,6	-0,3
373,16	18,78	90,7	90,2	-0,5
423,16	12,86	80,3	80,0	-0,4
473,16	7,41	67,7	67,1	-0,9
523,16	2,66	49,5	48,4	-2,2
533,16	1,84	43,0	43,0	0
561,66	0	0	0	0

Таблица 3

Толуол $\text{C}_6\text{H}_5\text{CH}_3$; $m = 0,4239$; $K = 25,32$

$T, ^\circ\text{K}$	$\sigma,$ дин/см	$\lambda_{\text{оп}},$ ккал/кг	$\lambda_{\text{выч}},$ ккал/кг	$\Delta\lambda, \%$
273,16	30,74	109	108,1	-0,8
283,16	29,60	107	106,4	-0,6
293,16	28,43	105	104,7	-0,3
303,16	27,30	103	102,9	-0,1
313,16	26,13	101	101,0	0
323,16	24,99	99	99,1	+0,1
333,16	23,81	97	97,1	+0,1
353,16	21,53	93	93,0	0
373,16	19,39	89	89,0	0
403,16	16,3	83	82,7	-0,4
561,66	0	0	0	0

Таблица 4

Вещество	K	m	Температурный интервал $T, ^\circ K$	$\Delta \lambda_{\text{ср}},$ %	$\Delta \lambda_{\text{макс}},$ %
CH_3OH	86,86	0,3713	273,16—473,16	1,0	1,8
$(\text{CH}_3)_2\text{CO}$	58,6	0,2536	273,16—353,16	0,3	0,7
H_2O	101,6	0,4096	273,16—373,16	0,2	0,5

Данные по поверхностному натяжению взяты из [5]. Звездочкой отмечены точки, по которым определялись константы K и m .

ВЫВОДЫ

1. Предложена формула, связывающая теплоту парообразования жидкости при любой температуре с плотностями жидкости и насыщенного пара при этой температуре $\lambda = C(d_0 - d)^n$, дающая хорошее соответствие опытными данными в широком интервале температур.
2. Для температур, далеких от критической, можно пользоваться формулой: $\lambda = C d_0^n$.
3. Предложена формула, связывающая теплоту парообразования жидкости с ее поверхностным натяжением при данной температуре, $\lambda = K \sigma^m$, дающая хорошее соответствие с опытом в широком интервале температур.

Поступила
24.XII.1954

ЛИТЕРАТУРА

- М. Х. Карапетьянц, Теплоты испарения низших углеводородов C_1 — C_4 . Физико-химические свойства индивидуальных углеводородов, вып. 4, под ред. М. Д. Тиличевой, Гостоптехиздат, М.—Л., 1953.
- А. И. Бачинский, Изв. Физ. института и Института биологической физики, 2, 60, 1922.
- В. Л. Гурвич и Н. П. Сосновский, Избирательные растворители в переработке нефти, Гостоптехиздат, М.—Л., 1953.
- ВТИ. Таблицы термодинамических свойств воды и водяного пара, основанные на экспериментальных данных, Госэнергоиздат, М.—Л., 1952.
- Техническая энциклопедия. Справочник физических, химических и технологических величин, т. 10, Советская энциклопедия, М., 1933.

СПЕКТРЫ ПОГЛОЩЕНИЯ ЛЕЙКО-ОСНОВАНИЙ КРАСИТЕЛЕЙ В КИСЛЫХ РАСТВОРАХ И В ТВЕРДОМ СОСТОЯНИИ

1. ЛЕЙКО-ОСНОВАНИЯ ТИАЗИНОВЫХ И ОКСАЗИНОВЫХ КРАСИТЕЛЕЙ В КИСЛЫХ РАСТВОРАХ

[А. Т. Вартамян]

Все красители при достаточно длительном освещении в присутствии кислорода претерпевают необратимое деструктивное фотоокисление [1]. Ряд красителей претерпевает обратимое восстановительное выцветание, в результате которого краситель переходит в соответствующее лейко-основание. Окисление (дегидрирование) лейко-основания приводит к регенерации красителя. Это свойство может быть использовано для спектрального контроля превращений, происходящих при восстановительно-окислительных процессах в красителях.

К числу типичных красителей, выцветающих в результате восстановления, принадлежат тиазиновые и оксазиновые красители, представляющие значительный интерес благодаря их фотохимическим и индикаторным свойствам.

Спектры поглощения лейко-оснований некоторых красителей упомянутых классов были исследованы до сих пор в буферных растворах в присутствии восстановителей [2—5]. Что же касается спектров поглощения лейко-оснований в твердом состоянии, то, насколько нам известно, они еще не исследованы, вероятно, вследствие трудностей, связанных с получением слоев, пригодных для спектрофотометрирования.

Нами было установлено, что некоторые красители различных классов в твердом состоянии переходят в присутствии газообразного сероводорода в неокрашенные соединения. Скорость образования этих соединений резко зависит от температуры и растет с ее повышением.

Детальное спектральное исследование бесцветных соединений показало, что в результате взаимодействия многих красителей с газообразным сероводородом образуется лейко-основание соответствующего красителя. Тем самым был найден способ непосредственного получения лейко-оснований красителей в твердом состоянии, без выделения их из растворов.

Настоящая работа помимо доказательства образования лейко-оснований при взаимодействии некоторых тиазиновых, оксазиновых и трифенилметановых красителей с газообразным сероводородом содержит результаты исследования спектров поглощения лейко-оснований как в твердом состоянии, так и в кислых растворах, а также превращений, претерпеваемых твердыми пленками лейко-оснований в присутствии кислорода. В данной статье приведены результаты исследования спектров поглощения лейко-оснований тиазиновых и оксазиновых красителей в кислых средах. Результаты исследования лейко-оснований в твердом состоянии будут приведены в следующих сообщениях.

ЭКСПЕРИМЕНТАЛЬНАЯ ЧАСТЬ

Для получения пленок лейко-оснований красителей, пригодных для спектрофотометрирования, мы пользовались прибором, изображенным на рис. 1. Слой красителя наносился на поверхность кварцевого «пальца» А путем осаждения из спиртового раствора. Стеклоянная рубашка В, в которую вставлялся «палец», была присоединена к высоковакуумной установке. На расстоянии 10 мм от слоя красителя ставилась кварцевая пластинка В. После тщательного удаления воздуха из сосуда в него впускался

ной сероводород. Для ускорения реакции восстановления красителя сероводородом температура слоя красителя доводилась до 100° , а иногда и выше ($130-150^\circ$). Нагревание красителя производилось маслом, налитым в «палец» и подогреваемым электрической спиралью. Во избежание оседания красителя на поверхность пластинки В во время обработки слоя сероводородом кварцевый «палец» вставлялся в стеклянную чашку в таком положении, чтобы к пластинке была обращена не покрытая красителем сторона «пальца».

В присутствии газообразного сероводорода краситель постепенно обесцвечивается. Время, необходимое для обесцвечивания, зависит от толщины и температуры пленки, а также от давления сероводорода и природы красителя. При 100° полное выцветание слоя метиленового голубого, толщиной порядка 10μ , наступает в течение нескольких минут ($p_{H_2S} \approx 100 \text{ мм}$). Было обнаружено, что образующиеся неокрашенные соединения возникают с большой скоростью при температурах выше 80° . Благодаря этому можно было на поверхность кварцевой пластинки осаждать возгонкой равномерные прозрачные слои окрашенных веществ, вполне пригодные для спектрофотометрирования. После того как слой красителя оказался целиком выцветшим, поворотом «пальца» на 180° слой выцветшего красителя устанавливался против кварцевой пластинки; после удаления сероводорода на кварцевую поверхность возгонкой в вакууме наносился равномерный слой выцветшего красителя.

Можно было, конечно, наносить краситель непосредственно на кварцевую пластинку и на ней перевести в бесцветное соединение. Однако мы отказались от этого пути по трем соображениям: во-первых, очень трудно получить осаждением из раствора равномерные пленки тионина и метиленового голубого, что весьма существенно для спектрофотометрирования; во-вторых, при осторожной возгонке на поверхности пластинки осаждается только бесцветное соединение, и можно быть уверенным, что на пластинке красителя нет, и, в-третьих, при возгонке можно надеяться на дополнительную очистку бесцветного соединения от возможных следов примесей в красителе. Были испытаны следующие красители: тионин (фиолетовый Лаута), метиленовый голубой (свободный от хлористого цинка), тионин голубой О и капри синий. Все красители очищались перекристаллизацией из спиртового раствора.

Сероводород получался нагреванием смеси серы и парафина [6]. В опытах применялся тщательно высушенный сероводород.

Измерения спектров поглощения производились на кварцевом спектрофотометре И-4.

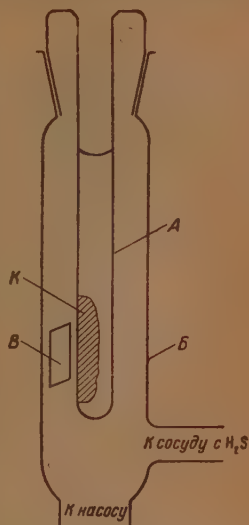


Рис. 1. Прибор для получения твердых слоев лейко-оснований красителей

ПОЛУЧЕННЫЕ РЕЗУЛЬТАТЫ И ИХ ОБСУЖДЕНИЕ

В условиях вакуума бесцветные соединения, образующиеся при действии газообразного сероводорода на тиазиновые и оксазиновые красители в твердом состоянии, остаются без изменений в течение неопределенно долгого времени. На воздухе, как на свету, так и в темноте, они приобретают окраску, совпадающую с окраской исходного красителя. Естественно было предположить, что образующиеся в описанных выше условиях цветные соединения являются лейко-основаниями, которые при окислении (дегидрировании) переходят в соответствующий краситель. Для подтверждения этого предположения был поставлен описанный ниже опыт.

Известно, что водные растворы лейко-оснований тиазиновых и оксазиновых красителей довольно быстро окрашиваются вследствие регенерации красителя. Если действие сероводорода на эти красители приводит к образованию лейко-оснований, то водный раствор последних должен перейти в раствор соответствующего красителя. Кривые на рис. 2 и 3 представляют собой спектры поглощения водного раствора метиленового голубого и капри синего для концентрации $5 \cdot 10^{-6} \text{ г/см}^3$. Точки на этих кривых получены для водного раствора лейко-основания после регенерации красителя. Для удобства сравнения максимумы при $665 \text{ м}\mu$ (для метиленового голубого) и максимумы при $650 \text{ м}\mu$ (для капри синего) приведены

к одинаковой величине. Из этих рисунков видно, что точки лежат на кривых, и, следовательно, при действии сероводорода на тиазиновые и оксазиновые красители образуются соответствующие лейко-основания. С по-

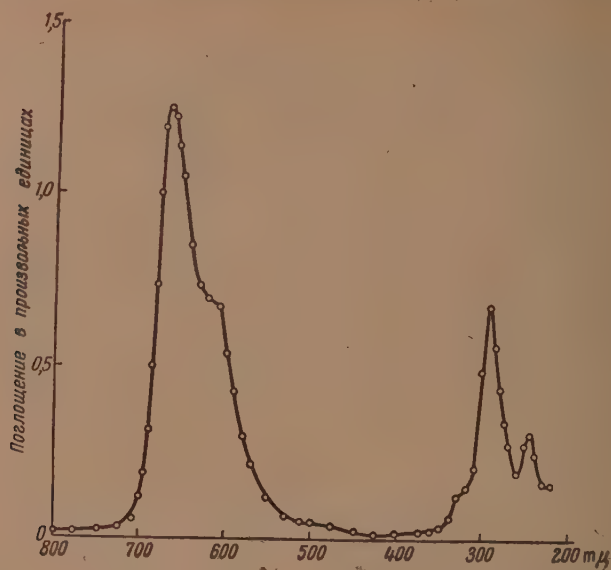


Рис. 2. Кривая — спектр поглощения водного раствора метиленового голубого, концентрация $5 \cdot 10^{-6}$ г/см³; точки — то же для водного раствора лейко-основания после регенерации красителя

вышением температуры водного раствора лейко-основания скорость регенерации красителя резко возрастает. Регенерация красителя в водном

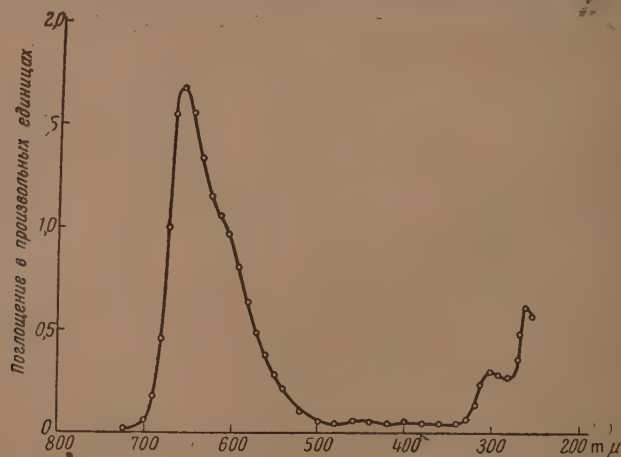


Рис. 3. То же, что на рис. 2, но для капри синего

растворе несомненно связана с дегидрированием лейко-основания кислотом, поскольку известно, что водный раствор лейко-основания метиленового голубого, запаянный в стеклянный сосуд и совершенно свободный от следов кислорода, остается неизменным в темноте, и только на свет слегка окрашивается, приобретая голубую окраску [7]. Эта фотореакция по видимому, необратима.

Холст [2] полагает, что в растворе децинормальной соляной кислоты лейко-основание метиленового голубого настолько стабильно, что изменяемая кривая поглощения деликом должна быть приписана лейко-основанию. Эта кривая воспроизведена на рис. 4 (кривая 1). На ней видны три максимума: сильный максимум при 255 м μ , средний — при 295 м μ и слабый — при 330 м μ . В аналогичных условиях спектр поглощения лейко-основания метиленового голубого, полученного восстановлением газовой сероводородом (рис. 4, кривая 2), также состоит из трех полос максимумами при 250, 290 и 320 м μ . Несмотря на близкое совпадение этих измерений с измерениями Холста, все же мы полагаем, что полоса

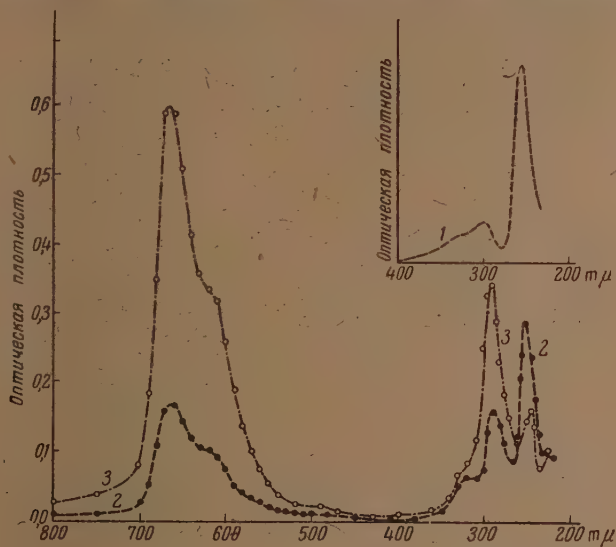


Рис. 4. 1 — спектр поглощения лейко-основания метиленового голубого в растворе 0,1 N HCl по данным Холста [2]; 2 — то же по нашим измерениям; 3 — то же, что кривая 2 спустя 20 час. после растворения

максимумом при 290 м μ принадлежит не лейко-основанию, а регенеровавшему метиленовому голубому, поскольку ион последнего обладает интенсивной полосой поглощения с максимумом при 290 м μ (рис. 2). Наличие метиленового голубого в растворе следует и из поглощения в violet области (кривая 2). По мере старения раствора (рис. 4, кривая 3) полоса поглощения лейко-основания с максимумом при 250 м μ исчезает, зато возрастает интенсивность полос метиленового голубого с максимумами при 665, 290 и 245 м μ . Эти результаты показывают, что в растворе 0,1 N HCl наблюдается переход лейко-основания в краситель, и по сравнению с чистым водным раствором он лишь несколько затруднен. На рис. 4, кроме того, следует, что регенерированный метиленовый голубой, по крайней мере, в течение 20 час. (кривая 3) не претерпевает никаких существенных изменений в растворе 0,1 N HCl. В аналогичных условиях спектр поглощения тионина (фиолетовый Лаута) также подобен спектру поглощения одновалентного иона тионина [3].

Совершенно иное наблюдается у лейко-оснований тиазиновых и оксациановых красителей в растворах с высокой концентрацией кислоты. На рис. 5 приведены спектры поглощения лейко-основания метиленового голубого в растворе 5 N HCl, полученные спустя 1 час и 20 час. (кривые 1 и 2 соответственно) после растворения. Прежде всего видно, что, как и для раствора 0,1 N HCl (рис. 4), изменение характера поглощения является мед-

ленным процессом, однако в отличие от предыдущего случая спектр имеет сложный вид. Вместо полосы при 665 $\text{m}\mu$ появляется новая полоса с максимумом при 746 $\text{m}\mu$. Помимо этой главной полосы наблюдается ряд более слабых полос. В видимой области спектра их максимумы расположены при 676, 618, 570 (очень слабый) и 400 $\text{m}\mu$. Этот спектр совпадает со спектром, полученным Льюисом и Бигельейзенем [8] для метиленового

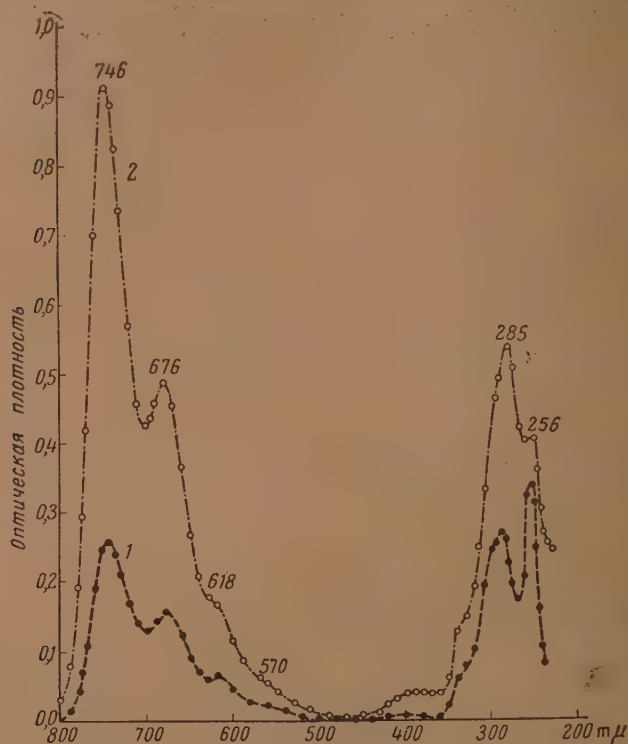


Рис. 5. Спектр поглощения лейко-основания метиленового голубого в растворе 5N HCl. 1 — спустя 1 час после растворения лейко-основания; 2 — спустя 20 час.

голубого в растворе 3M серной кислоты. Поэтому можно предположить, что первой стадией превращения лейко-основания в растворе 5N HCl также является образование катиона красителя (Kp^+), и лишь на второй стадии совершается присоединение протона, ведущее к образованию нового соединения KpH^{++} . Но можно думать, что на первой стадии образуется KpH_2^+ , который впоследствии переходит в KpH^{++} . Авторы [8] на основании экспериментальных исследований и ряда соображений приходят к заключению, что присоединение первого протона имеет место центрального атома азота. Близость побочных максимумов при 676, 618 $\text{m}\mu$ к максимумам мономерного катиона метиленового голубого (665 и 608 $\text{m}\mu$), казалось, свидетельствует об их принадлежности непрореагировавшему с кислотой метиленовому голубому, образовавшемуся в результате регенерации. Однако, как показали опыты [8], кривая поглощения мономерного иона KpH^{++} подобна кривой поглощения мономерного иона метиленового голубого и содержит полосу с максимумом при 676 $\text{m}\mu$. На полученной нами кривой для KpH^{++} наблюдаются четыре полосы, интенсивность которых падает в сторону больших частот. Расстояние частот их максимумов равно 1390 cm^{-1} . Возможно, что эти полосы имеют колебательную природу. Отчетливо выраженная полоса при 400 $\text{m}\mu$

всей вероятности, имеет происхождение, одинаковое с полосой при μ , наблюдающейся у родственного метиленовому голубому красителя — тионина — в растворе 4,8 N HCl. Она приписывается недиссоциированным комплексам катиона и аниона [3]. В ультрафиолетовой области наблюдаются полосы поглощения, характерные для соединения H^{++} . Если в растворе 5 N HCl могли бы длительно существовать ионы метиленового голубого, то их присутствие привело бы к появлению макси-

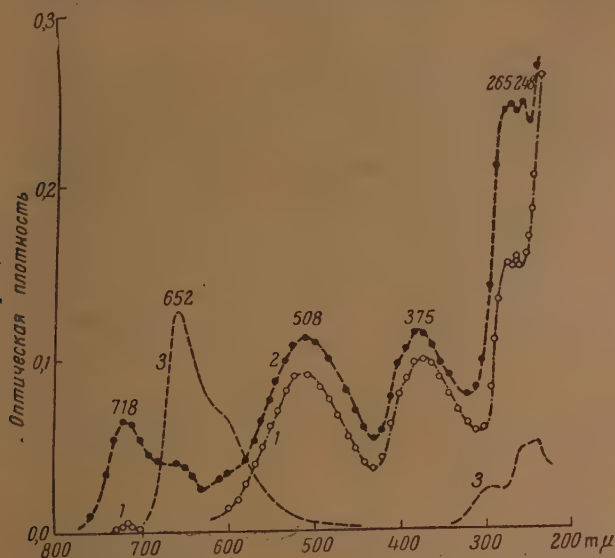


Рис. 6. 1 — спектр поглощения капри синего в растворе 5N HCl; 2 — спектр поглощения лейко-основания капри синего в растворе 5N HCl; 3 — спектр поглощения водного раствора капри синего. Все растворы были промерены спустя 16 час. после растворения

ма при 245 μ . Отсутствие этой полосы на кривой 2 (рис. 5), повиди-
му, также свидетельствует о принадлежности полос с максимумами
при 676 и 618 μ иону KrH^{++} . Впрочем и для метиленового голубого раз-
ность частот максимумов поглощения равна 1390 см^{-1} .

Подобно метиленовому голубому ведет себя и оксонин. В спектре
поглощения оксонина в кислом растворе Михаэлис и Граник [9] наблю-
дают полосу с максимумом при 650 μ , смещенную по отношению к макси-
муму одновалентного катиона на 75 μ в сторону длинных волн. Спектр
поглощения одновалентного катиона капри синего подобен спектру ме-
тиленового голубого и оксонина (кривая 3, рис. 6). Однако капри синий
в кислой среде с теми же значениями pH, при которых наблюдается бато-
хромный эффект для оксонина и метиленового голубого, обнаруживает
основной гипсохромный эффект, что свидетельствует о присоединении
протона преимущественно к атому азота одной из аминогрупп. Вероят-
ность присоединения протона к центральному атому азота очень мала.
Из кривой 1 рис. 6 видно, что по сравнению с коротко-
волновой полосой при 510 μ полоса с максимумом при 718 μ крайне
слабая. Для обнаружения этой длинноволновой полосы указанные ав-
торы [8] применяли весьма концентрированный раствор капри синего.
Так как поглощение такого концентрированного раствора могло быть
измерено только до 590 μ , то, чтобы получить и коротковолновую полосу
с максимумом при 510 μ , они вынуждены были разбавить раствор в 50
раз. После введения поправки на концентрацию была построена кривая

поглощения в целом. Исследование лейко-основания капри синего в растворе 5*N* HCl показало, что в этих условиях сразу получается полная кривая поглощения смеси соединений, образующихся из капри синего при присоединении протона как к центральному атому азота, так и к азоту аминогруппы (рис. 6, кривая 2). Обращает на себя внимание большая величина максимума поглощения при 718 мμ. Она лишь несколько уступает максимуму при 510 мμ. Следовательно, в этих условиях присоединение протона к центральному атому азота и к азоту аминогруппы почти одинаково вероятно.

Гипсохромный эффект, наблюдающийся в кислых растворах капри синего, приписывается повышению основных свойств диметиламиногруппы, вследствие вывода ее из плоскости иона красителя под влиянием стерического эффекта метильной группы в орто-положении [8]. Из кривой (рис. 6) следует, однако, что при переходе лейко-основания в двухвалентный ион KrH^{++} стерический эффект играет незначительную роль.

В заключение нам хотелось бы подчеркнуть что, давно установленное обратимое выцветание метиленового голубого в отсутствие кислорода наблюдалось на окрашенных желатиновых пленках [10], иногда в смеси с глицерином [11], при освещении видимым светом. Следовательно, в упомянутых старых работах речь шла о фотовосстановлении красителя в присутствии различных восстановителей.

ВЫВОДЫ

1. При действии газообразного сероводорода на тиазиновые и оксазиновые красители в твердом состоянии образуются соответствующие лейко-основания.

2. Скорость образования лейко-оснований растет с повышением температуры красителя.

3. В условиях вакуума лейко-основания исследованных красителей (тионин, метиленовый голубой, тионин голубой и капри синий) при температурах выше 80° возгоняются с заметной скоростью.

4. Лейко-основания в растворе 0,1*N* HCl постепенно переходят в соответствующий краситель вследствие окисления (дегидрирования).

5. Лейко-основания в растворе 5*N* HCl переходят в двухвалентные ионы KrH^{++} , спектры поглощения которых совпадают со спектрами поглощения красителей в кислых растворах.

6. При переходе лейко-основания капри синего в двухвалентный ион KrH^{++} в растворе 5*N* HCl стерический эффект влияния метильной группы в ортоположении на диметиламиногруппу, повидимому, не играет заметной роли, поскольку протон присоединяется почти с одинаковой вероятностью как к центральному атому азота, так и к атому азота диметиламиногруппы.

Поступила
25.XII.1954

ЛИТЕРАТУРА

1. А. Н. Теренин, Фотохимия красителей, Изд-во АН СССР, М.—Л., 1947, гл.
2. G. Holst, Zur Photochemie der reversiblen Redox Prozesse, Lund, 1938.
3. L. F. Epstein, F. Karush, E. Rabinowitch, Journ. Opt. Soc. Amer., **31**, 77, 1941.
4. F. Vlès, Arch. phys. biol., **16**, № 5, Suppl. 27*, 1943, Chem. Abs., **40**, 4290, 1944.
5. Е. П. Рострюкова, Автореферат диссертации, Ин-т физ. химии и Л. В. Писаржевского, Киев, 1953.
6. L. Palasciano, Zs. analyt. Chem., **111**, 263, 1938.
7. W. M. Clark, H. D. Gibbs, B. Cohen, Public Health Reports, **4**, 1130, 1925.
8. G. N. Lewis, J. Bigeleisen, Journ. Amer. Chem. Soc., **65**, 1144, 1943.
9. L. Michaelis, S. Granick, Journ. Amer. Chem. Soc., **63**, 1636, 1941.
10. П. И. Лазарев, Социения, т. 2, Изд-во АН СССР, М.—Л., 1950, стр. 44.
11. A. Hübl, Wien. Mitteil., 268, 1909.

ИССЛЕДОВАНИЕ РАВНОВЕСИЯ ЖИДКОСТЬ — ПАР В СИСТЕМЕ АРГОН — КИСЛОРОД

В. Г. Фастовский и Ю. В. Петровский

Расширение областей промышленного применения чистого аргона (сталлургия, сварочная техника, электровакуумная промышленность и др.) требует точных физико-химических данных для обоснованного проектирования крупной газоразделительной аппаратуры. Аргон получают ректификацией промежуточной фракции (отбираемой из воздушных разделительных аппаратов), содержащей 10—12% аргона, кислород и смеси азота. Таким образом, данные о фазовом равновесии бинарной системы $\text{Ar} - \text{O}_2$ представляют первостепенное значение для технологии получения чистого аргона.

В литературе известна одна работа [1], посвященная изучению фазового равновесия в этой системе, выполненная так называемым лейденским методом, в котором производится определение температуры и давления ндта конденсации смеси известного состава, а затем, на основании термодинамических соотношений, вычисляется состав равновесного пара. Для технических расчетов необходимы данные о равновесных составах жидкости и пара при постоянном общем давлении (что имеет место при ректификации), которые представлены в упомянутой работе [1] в виде кривых температура — состав жидкости и пара; свойства смеси, определяемые большой разницей в температурах кипения чистых компонентов ($\sim 3^\circ$), делают весьма затруднительным практическое использование таких кривых для построения диаграммы $x - y$ (состав жидкости — состав равновесного пара). Табличные же данные в работе [1] отсутствуют.

Эти обстоятельства указывают на целесообразность повторного исследования равновесия в системе аргон — кислород методом, допускающим посредственное определение равновесных составов обеих фаз. Результаты такого исследования излагаются ниже.

ЭКСПЕРИМЕНТАЛЬНАЯ ЧАСТЬ

Схема установки показана на рис. 1. Камера равновесия 1, выполненная из латуни, имеет внутренний диаметр 53 мм и рабочую высоту 70 мм (объем 155 см³); она помещена в криостате 2 из листовой красной меди диаметром 134 мм и высотой 350 мм (объемом около 5 л). Криостат помещен в железный кожух 3 диаметром 450 мм и изолирован стеклянной ватой 4. В камере равновесия находится мешалка 5, вал которой введен через сальник 6 и связан с червячным колесом редуктора 7, приводимого в движение электромотором 8. Гильза 9 для установки термопары также размещена в камере 1. Трубка 10 служит для подачи смеси и отбора пробы паровой фазы, трубка 11 — для отбора пробы жидкости и трубка 12 — для присоединения манометров — вакуумного 13 и пружинного 14. Трубка 15, идущая до дна криостата 2, служит для налива жидкого азота, трубка 6, с кольцевым перфорированным распределителем 17 — для подачи газа, перемешивающего жидкость в криостате. Уровень жидкого азота регулируется указателем 18, а давление в криостате — манометром 19. Пары из криостата выводятся по трубке 20 с вентилем, служащим для регулирования давления над жидким азотом.

Измерение температуры в камере равновесия производилось при помощи медно-платиновой термопары, калиброванной в Московском государственном институте физики и измерительных приборов (МГИИП), компенсационным методом с точностью $\pm 0,05^\circ$ (термо-э. д. с. измерялась с точностью до 1 мкВ).

Чистые газы. Аргон, содержащий примеси кислорода (0,1—0,2%) и азота (0,5—0,6%), подвергался дополнительной очистке на лабораторной установке [2], включающей ректификационную колонну и серию печей с медью и металлическим каль-

ОПЫТНЫЕ ДАННЫЕ

Опыты проводились с шестью смесями различных составов. Полученные данные представлены в табл. 1.

Таблица 1

Равновесные составы мол. % аргона		Давление абсолютное, мм рт. ст.	Температура ° К
в жидкости	в паре		
21,1	29,4	909	90,0
21,1	28,5	1134	93,2
21,2	28,1	1291	94,6
21,3	28,1	1515	96,4
27,7	36,8	908	90,6
27,8	36,8	1146	93,0
28,0	35,8	1291	94,3
28,0	35,4	1529	96,2
39,1	46,5	908	90,2
39,0	46,6	1144	92,6
38,9	46,0	1288	93,9
38,9	45,8	1526	95,8
49,7	57,7	912	89,9
49,6	57,3	1135	92,2
49,8	57,0	1296	93,6
49,6	57,0	1529	95,5
60,1	66,3	917	89,7
59,9	66,0	1143	92,0
59,9	66,0	1290	93,3
60,1	65,9	1524	95,2
83,0	86,6	912	89,3
83,2	86,8	1143	91,6
83,1	85,7	1293	92,9
83,1	85,5	1524	94,7

ОБРАБОТКА ОПЫТНЫХ ДАННЫХ

Опытные данные (табл. 1) нанесены на график $\lg \pi = f(1/T)$, причем составы жидкости усреднены (колебания в составах не превышали 0,2% от данной смеси). На этом же графике (рис. 2) нанесены точки для чистых кислорода [4] и аргона [5]. Опытные точки для каждой из шести смесей жатся на прямые, располагающиеся между линиями для чистых кислорода и аргона. Пересекая полученные прямые линиями, параллельными оси абсцисс и соответствующими четырем выбранным значениям π (12, 1140, 1292 и 1520 мм рт. ст.), получаем скорректированные значения T , которые, совместно со значениями x , приведенными в табл. 1, позволяют построить кривую $T = \varphi(x)$, как это сделано на рис. 3, для указанных четырех давлений.

Сопоставление зависимостей $T = \varphi(x)$, полученных нами и в работе [1], показывает хорошее совпадение: для большинства точек расхождение в значениях температуры не превышает $0,1^\circ$ и лишь для отдельных точек достигает $0,2-0,25^\circ$.

Располагая зависимостью $T = \varphi(x)$ и используя уравнение вап-Лаара модифицированной форме [6], можно вычислить равновесные составы пара и сопоставить с ними полученные экспериментальные значения. Методика расчета изложена в работе [7]. Сущность его сводится к определению методом последовательных приближений значений коэффициентов

уравнения ван-Лаара и вычислению при их помощи коэффициентов активности, располагая значениями которых, можно вычислить равновесный состав пара. Коэффициенты уравнения ван-Лаара определяются выражениями:

$$\begin{aligned} A &= \lg \gamma_a \left[1 + \frac{x_b \lg \gamma_b}{x_a \lg \gamma_a} \right]^2, \\ B &= \lg \gamma_a \left[1 + \frac{x_a \lg \gamma_a}{x_b \lg \gamma_b} \right]^2, \end{aligned} \quad (1)$$

где x_a и x_b — молярные доли легко- и тяжелолетучего компонентов; γ_a и γ_b — коэффициенты активности.

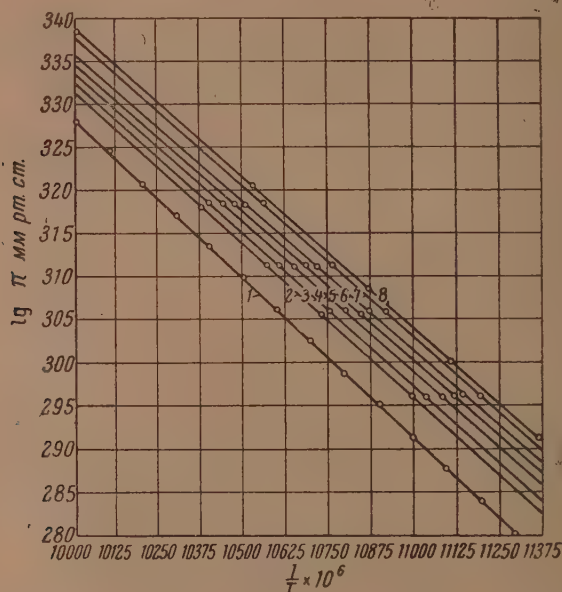


Рис. 2. Опытные данные в системе $\lg \pi = f(1/T)$.
1 — чистый кислород; 2 — смесь с 21,2 мол. % Ar;
3 — смесь с 27,9 мол. % Ar; 4 — смесь с 39,0 мол. % Ar;
5 — смесь с 49,7 мол. % Ar; 6 — смесь с 60,0 мол. % Ar;
7 — смесь с 83,1 мол. % Ar; 8 — чистый аргон

В качестве базисной точки выбирается значение $x_a = 0,5$, для которого, в первом приближении, предполагается $\gamma_a = \gamma_b$; в этом частном случае уравнение, определяющее состав равновесного пара:

$$y_a = \frac{p_a x_a \gamma_a}{p_a x_a \gamma_a + p_b x_b \gamma_b}, \quad (2)$$

где p_a и p_b — упругости паров чистых компонентов при данной температуре (соответствующей смеси $x_a = 0,5$ мол. доли), принимает вид:

$$y_a = \frac{p_a}{p_a + p_b}. \quad (3)$$

Коэффициенты активности для каждого из компонентов вычисляются по уравнениям:

$$\gamma_a = \frac{\pi y_a}{p_a x_a}, \quad \gamma_b = \frac{\pi y_b}{p_b x_b}, \quad (4)$$

где π — общее давление.

Эти уравнения применимы в области умеренных давлений, где справедлив закон Дальтона. Затем вычисляются значения коэффициентов активности для ряда контрольных точек по уравнениям:

$$\lg \gamma_a' = \frac{A}{\left(1 + \frac{Ax_a'}{Bx_b'}\right)^2}, \quad \lg \gamma_b' = \frac{B}{\left(1 + \frac{Bx_b'}{Ax_a'}\right)^2}, \quad (5)$$

где x_a' и x_b' — молярные доли легко- и тяжелолетучего компонента.

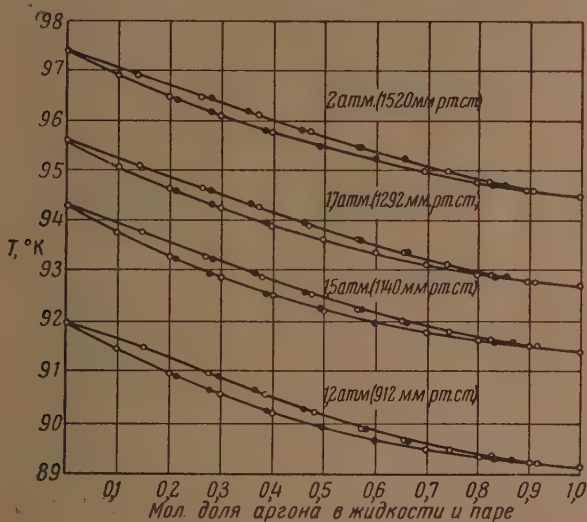


Рис. 3. Диаграммы $T - (x, y)$ для четырех давлений

Для каждой из контрольных точек вычисляется общее давление по уравнению:

$$p_a x_a' \gamma_a' + p_b x_b' \gamma_b' = \pi_{\text{выч}}, \quad (6)$$

где p_a и p_b соответствуют температуре смеси состава x_a' .

Значение $\pi_{\text{выч}}$ сопоставляется с опытным значением и определяется ошибка $\Delta\pi = \pi - \pi_{\text{выч}}$ для каждой из контрольных точек. Характер ошибок (величина и знак) указывает на требуемое направление изменения значения y_a для базисной точки. Произведя такое изменение значения y_a , повторяют расчет, вновь определяя $\Delta\pi$ для каждой из контрольных точек. В тех случаях, когда выбранное значение y_a близко к действительному, характер ошибок уже не дает возможности судить о требуемом направлении изменения величины y_a , и для решения этого вопроса вычисляется средняя квадратичная ошибка: $\Delta\pi_{\text{ср}} = \sqrt{\frac{\sum (\pi - \pi_{\text{выч}})^2}{N}}$, где N — число контрольных точек (включая базисную). Выбирается то значение y_a , которому соответствует минимальная средняя квадратичная

ошибка. Располагая значениями коэффициентов A и B в уравнении ван-Лаара, соответствующими уточненному значению y_a для базисной точки, легко определить по уравнениям (5) величины коэффициентов активности для смеси любого состава (в частности, значения γ_a и γ_b для контрольных точек определяются в процессе уточнения величины y_a) и вычислить состав равновесного пара по уравнению:

$$y_a = \frac{P_a x_a' \gamma_a'}{P_{\text{вых}}}, \quad (7)$$

Подобные расчеты были нами выполнены для системы аргон — кислород при четырех давлениях с использованием экспериментально определенных зависимостей $T = \varphi(x)$: результаты их представлены в табл. 2. При всех значениях оказалось, что состав равновесного пара, определенный для базисной точки ($x_a = 0,5$ мол. доли аргона) по уравнению (3), является наиболее точным, так как ему соответствует наименьшая квадратичная ошибка, определенная указанным выше методом. Повидимому, это объясняется тем, что изученная система не очень сильно отличается от идеальной. Тем не менее применение закона Рауля здесь недопустимо, так как получаемая при этом зависимость $T = \varphi(x)$ существенно отличается от установленной экспериментально.

Таблица 2

Содержание аргона в жидк. x мол. %	$\pi=912$ мм рт. ст. (1,2 атм)		$\pi=1140$ мм рт. ст. (1,5 атм)		$\pi=1292$ мм рт. ст. (1,7 атм)		$\pi=1520$ мм рт. ст. (2,0 атм)	
	T °К	Содержание аргона в паре y мол. %	T °К	Содержание аргона в паре y мол. %	T °К	Содержание аргона в паре y мол. %	T °К	Содержание аргона в паре y мол. %
0	91,98	0	94,30	0	95,60	0	97,40	0
10	91,48	15,04	93,76	14,61	95,08	14,14	96,90	13,92
20	90,98	27,68	93,28	27,07	94,64	26,45	96,46	26,11
30	90,56	38,57	92,87	38,02	94,25	37,51	96,08	37,21
40	90,19	48,40	92,52	47,91	93,89	47,56	95,74	47,33
50	89,88	57,43	92,22	57,03	93,60	56,86	95,44	56,64
60	89,65	65,93	91,97	65,70	93,34	65,63	95,18	65,53
70	89,46	74,37	91,78	74,30	93,10	74,27	94,95	74,22
80	89,30	82,81	91,62	82,77	92,91	82,60	94,74	82,53
90	89,18	91,30	91,48	91,20	92,76	91,15	94,56	91,08
100	89,07	100	91,35	100	92,66	100	94,43	100

В табл. 3 приведены значения коэффициентов A и B уравнения ван-Лаара для четырех различных давлений; пользуясь ими, можно вычислить состав равновесного пара для любого выбранного состава жидкости (x) на основании приведенных выше уравнений (5) — (7).

Таблица 3

Общее давление, π , мм рт. ст. . .	912	1140	1292	1520
Значения коэффициентов уравнения ван-Лаара	0,09662	0,08426	0,06849	0,06391
$A = B$				

На основании данных, приведенных в табл. 2, на рис. 3 построены кривые конденсации для четырех указанных давлений. На этой же диа-

амме нанесены точки, соответствующие равновесным составам пара, определенным экспериментально и приведенным в табл. 1. Они хорошо совпадают с расчетными значениями, что позволяет использовать данные табл. 2 для построения диаграмм $x-y$, необходимых для расчета ректификационной аппаратуры.

На рис. 4 построена такая диаграмма для давления $\pi = 912$ мм рт. ст. (1,2 атм.). Характерной ее особенностью являются малые разности концентраций равновесных пара и жидкости в области высоких содержаний аргона, чем и объясняются затруднения, связанные с получением технически чистого аргона (~95% Ar) ректификационным методом. В то же время очевидно, что при достаточном числе тарелок в колонне (или при достаточной высоте слоя насадки) получение технически чистого аргона методом ректификации вполне возможно, что и было экспериментально подтверждено нами в более ранней работе [8]. Полученные данные позволяют уточнить необходимое число тарелок в ректификационной колонне применительно к поставленной задаче разделения.

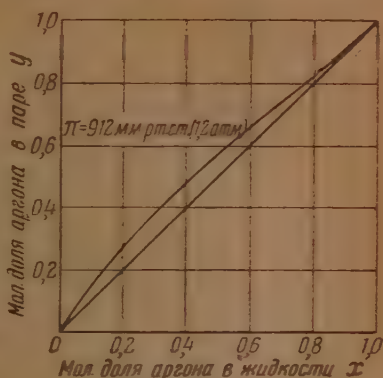


Рис. 4. Диаграмма $x-y$ для давления 912 мм рт. ст. (1,2 атм.)

ВЫВОДЫ

1. Изучено фазовое равновесие жидкости и пара в системе аргон — кислород при давлениях 912, 1140, 1292 и 1520 мм рт. ст. (1,2; 1,5; 1,7; 2,0 атм). Получены данные о равновесных составах жидкости и пара соответствующих им температурах для шести различных смесей.
2. На основании экспериментально установленной зависимости температуры кипения от состава жидкости $\bar{T} = \tau(x)$ вычислены составы равновесного пара, с которыми сопоставлены опытные данные. Хорошее совпадение расчетных и опытных значений делает возможным применение уравнения ван-Лаара с коэффициентами, значения которых приведены для четырех исследованных давлений. Представленные данные позволяют построить $x-y$ диаграмму, необходимую для расчета разделительной аппаратуры.

Электротехнический институт
им. В. И. Ленина
Москва

Поступила
31.XII.1954

ЛИТЕРАТУРА

1. P. Bourbo, I. Ischkin, Phys. Zs. Sowjetun. 10, 271, 1936.
2. В. Г. Фастовский, А. Е. Ровинский, Кислород, № 1, 36, 1952; Зав. лабор., 20, 537, 1951.
3. В. Г. Фастовский, Ю. В. Петровский, Кислород, № 4, 21, 1948.
4. H. J. Hoge, Journ. Res. Natl. Bur. Stand., 44, 321, 1950.
5. A. M. Clark, F. Din, J. Robb, A. Mishehels, T. Wassenaar, T. Zwietering, Physica, 17, 876, 1951.
6. H. C. Carlson, A. P. Colburn, Ind. Eng. Chem., 34, 581, 1942.
7. A. Rose, E. T. Williams, W. W. Sanders, R. L. Heiny, J. F. Ryan, Ind. Eng. Chem., 45, 1568, 1953.
8. В. Г. Фастовский, Ю. В. Петровский, Кислород, № 3, 21, 1952.

ДИСКУССИИ

О ТЕОРИИ ПОЛЯРОГРАФИЧЕСКИХ МАКСИМУМОВ

М. ШТАКЕЛЬБЕРГА

А. Н. Фрумкин -

В 1951 г. появилась обзорная статья «Максимумы на полярографических кривых ток — напряжение» [1], с которой мы только недавно имели возможность ознакомиться. Отметим, что в обзоре Штакельберга, внесшего значительный вклад в область полярографического анализа, широко используются экспериментальные данные советских исследователей, особенно Т. А. Крюковой; в трактовке полярографических максимумов 2-го рода он полностью опирается на теорию, развитую А. Н. Фрумкиным, В. Г. Левичем и Т. А. Крюковой. В соответствии с более ранними работами советских [2] и немецких [3] исследователей Штакельберг принимает, что возникновение максимумов 1-го рода связано с тангенциальными движениями поверхности ртути, вызванными неравномерностью поляризации. Однако, по Штакельбергу, до сих пор не существует приемлемой теории, объясняющей спад тока при увеличении поляризации, наблюдаемый в случае этих максимумов; в частности, по мнению Штакельберга, предложенная А. Н. Фрумкиным и В. Г. Левичем теория максимумов 1-го рода [4—6] в этом смысле «не может удовлетворить»*. Штакельберг считает поэтому необходимым развить новую теорию полярографических максимумов. Покажем, что предложенная Штакельбергом теория ошибочна и что рассмотренные качественно Штакельбергом эффекты, как показывает количественная их трактовка в более ранних работах А. Н. Фрумкина и В. Г. Левича, не могут привести к спаду тока на кривых ток — напряжение при наличии тангенциальных движений поверхности электрода.

Рассмотрим вкратце ход рассуждений Штакельберга. Следуя ему, предположим для конкретизации проблемы, что капля в целом является катодом, а поверхность ртути заряжена отрицательно. В этих условиях относительно более сильная поляризация нижней части капли вызывает движение поверхности ртути, направленное вверх, к шейке капли. С этим движением связан конвективный перенос зарядов двойного слоя, который приводит к накоплению в верхней части капли избыточных зарядов в его обкладках, благодаря чему возникает электрическое поле, тормозящее движение поверхности. По Штакельбергу, накопление зарядов не может продолжаться до бесконечности, и тангенциальное движение может поддерживаться, только если в растворе имеется деполаризатор, например восстанавливающие катионы. Последние обмениваются с ионами двойного слоя и разряжаются на поверхности капли, что обеспечивает удаление избыточных зарядов. Этот процесс, который Штакельберг называет «эффектом обмена» (Austauscheffekt), по его мнению, является необходимым условием для поддержания тангенциального движения. При наступлении концентрации поляризации, концентрация деполаризатора у поверхности капельного электрода падает до нуля, эффект обмена делается невозможным, и тангенциальное движение поверхности ртути затормаживается, вследствие чего происходит спад тока.

Нетрудно показать ошибочность этого рассуждения. В действительности присутствие деполаризатора совсем не является необходимым для поддержания тангенциальных движений при неравномерной поляризации капли. Объемная электропроводность раствора обеспечивает выравнивание нарушений плотности заряда в ионной обкладке двойного слоя, вызванных конвективным движением поверхности и в отсутствие деполаризатора. Соотношения эти были количественно рассмотрены в [4, 5 и 6].

Рассмотрим сначала более простой случай капли, свободно движущейся в электрическом поле, созданном в электролите прохождением тока. Если капля идеально поляризуема и на ее поверхности не происходит реакции разряда или ионизации, т. е. «эффект обмена» Штакельберга полностью исключен, то имеет место равенство

$$\alpha = \frac{aE\varepsilon}{2\mu + 3\mu' + (\varepsilon^2/\chi)}, \quad (1)$$

* Штакельберг почти не излагает соображений, которые привели его к этому выводу. Упомянутые работы А. Н. Фрумкина и В. Г. Левича цитируются им; однако при чтении этой части работы Штакельберга создается впечатление, что основное содержание их осталось ему неизвестным.

u — скорость, приобретаемая под действием поля капель в целом, E — напряженность поля на достаточном расстоянии от капли, a — радиус капли, ϵ — плотность зарядов во внешней обкладке двойного электрического слоя на границе ртуть/раствор, μ' соответственно вязкости раствора и ртути, κ — удельная электропроводность раствора. Вывод уравнения (1) основывается на предположении, что изменения похлостной плотности зарядов, вызываемые их конвективным переносом при движении поверхности, выравниваются благодаря объемной электропроводности раствора ртути (последнюю практически можно считать бесконечно большой).

Между скоростью движения поверхности ртути v относительно центра капли на экваторе, где эта скорость максимальна, и величиной u существует соотношение

$$v = \frac{1}{2} u = \frac{1}{2} \frac{3aE\epsilon}{2\mu + 3\mu' + (\epsilon^2/\kappa)}. \quad (2)$$

Величина ϵ^2/κ , имеющая размерность вязкости, является количественным выражением эффекта торможения движения электрическим полем, возникающим вследствие конвективного переноса зарядов двойного слоя. Из (2) следует, что торможение, хотя и уменьшает скорость движения, не приводит, однако, к его остановке, как это принимает Штакельберг.

Уравнение (1) было подвергнуто опытной проверке на ртутных каплях, свободно падающих в вязкой среде [7], при возможно тщательном устранении кислорода и других деполаризаторов, и хорошо подтвердилось на опыте. Таким образом для возникновения тангенциальных движений поверхности присутствие деполаризатора излишне. Необходимо отметить, что это обстоятельство не полностью ускользнуло от внимания Штакельберга. Как явствует из примечания на стр. 251 цитированной работы, Штакельберг первоначально предполагал, что при удалении воздуха из раствора электролита (т. е. устранения возможности образования ионов ртути) движение ртути, возникающее при прохождении тока через раствор, должно прекратиться. Опыт, однако, не подтвердил этого предположения. Остается непонятным, почему Штакельберг не учел этот полученный им результат в своих рассуждениях об условиях возникновения полиграфических максимумов.

Рассмотрим теперь те изменения, которые вносит в условия движения капли присутствие в растворе деполаризатора. Вопрос этот также уже был подвергнут количественной трактовке [5, 6]. Для случая свободно движущейся капли можно получить такое решение задачи, если принять, что между плотностью катодного тока, проходящего через границу металл/раствор, j , и изменением разности потенциалов на этой границе при прохождении тока $\Delta\phi$ существует линейное соотношение

$$\Delta\phi = -w j, \quad (3)$$

где w — постоянная, которую формально можно рассматривать как некоторое сопротивление на границе металл/раствор. Случаю идеально поляризуемой капли, т. е. $w = 0$, соответствует $w = \infty$. Если поляризация имеет концентрационное происхождение, то величина w в различных частях капли различна, что мы, однако, пока не будем учитывать. При конечном w уравнение (2) нужно заменить на

$$v = \frac{1}{2} \frac{3aE \left(1 + \frac{a}{2w\kappa}\right)^{-1} \epsilon}{2\mu + 3\mu' + \frac{\epsilon^2}{\kappa} \left(1 + \frac{a}{2w\kappa}\right)^{-1}} = \frac{1}{2} \frac{3aE\epsilon}{(2\mu + 3\mu') \left(1 + \frac{b}{2w\kappa}\right) + \frac{\epsilon^2}{\kappa}}. \quad (4)$$

Как видно, при наличии конечной проводимости границы металл/раствор, скорость движения капли уменьшается, а не увеличивается, несмотря на то, что наличие проводимости уменьшает эффект торможения, который в этом случае равен $\frac{\epsilon^2}{\kappa} \left(1 + \frac{a}{2w\kappa}\right)^{-1}$.

Вместо $\frac{\epsilon^2}{\kappa}$ для идеально поляризуемой капли. Происходит это потому, что одновременно в том же отношении уменьшается падение потенциала в электролите вдоль поверхности капли, равное (при отсутствии конвективной электропроводности поверхности) $aE \left(1 + \frac{a}{2w\kappa}\right)^{-1}$. При $w = 0$, согласно уравнению (4), $v = 0$, как это и следовало ожидать для неполяризуемой капли, разность потенциалов, а следовательно, и пограничное натяжение на поверхности не изменяются при прохождении тока.

Развитая теория может быть приближенно перенесена на случай неравномерно поляризованной закрепленной капли, служащей катодом [6]. Наиболее существенное отличие между этим случаем и случаем свободной капли, движущейся в электрическом поле, заключается в том, что для капли катода полный ток на каплю отличается от нуля. Как было показано, поле тока, текущего на капельный электрод, можно разложить по полю симметричного радиального тока, текущего на каплю и вызывающего изменение концентрации восстанавливающегося вещества, и поле тока, проходящего через каплю (или по ее поверхности), как в случае свободно движущейся капли; ин-

теграл последнего компонента, взятый по всей поверхности капли, очевидно, равен нулю. Такое разложение позволяет приближенно перенести выводы, сделанные для свободной движущейся капли, на капельный электрод, если учесть, что разность потенциалов между различными точками в растворе у поверхности капли, определяющая разность пограничных натяжений и, следовательно, движение капли, в этом случае при постоянном w пропорциональна плотности тока на каплю j . Величина w при этом также оказывается функцией плотности поляризующего тока. Существенное осложнение вносит то обстоятельство, что величина w при наличии концентрационной поляризации, вообще говоря, различна в разных частях капли. Для первой ориентировки мы рассмотрим сначала выводы, к которым приводит теория, если предположить, что зависящая от плотности тока на каплю концентрация деполяризатора близ поверхности и, следовательно, величина w во всех точках поверхности капли одинаковы. Тогда скорость движения поверхности капли можно рассчитать, как это было показано в [6], по уравнениям, которые легко выводятся из уравнения (4). Для проверки правильности представления Штакельберга существенно определить зависимость φ от j , где j выражает теперь среднюю плотность тока, текущего на каплю. Так как изменения φ с j на катоде не малы, то вместо (3) нужно пользоваться уравнением

$$w = - \frac{\partial \varphi}{\partial j}. \quad (5)$$

Для дальнейших расчетов мы предположим, что зависимость φ от j подчиняется обычному уравнению полярографической волны разряда катионов с образованием амальгам:

$$\varphi = \varphi_{i_d} + \frac{RT}{n_k F} \ln \left(\frac{j_d}{j} - 1 \right), \quad (6)$$

где j_d — плотность предельного тока диффузии при данном режиме движения раствора и ртути, n_k — валентность разряжающегося катиона. Из (5) и (6) следует

$$w = \frac{RT}{n_k F j} \frac{1}{1 - (j/j_d)}. \quad (7)$$

Как вытекает из уравнения (7), при приближении j к j_d величина w возрастает, что, согласно уравнению (4), должно привести к увеличению тангенциальной скорости v и дальнейшему возрастанию j .

Для того чтобы составить себе полное представление о зависимости v от j , необходимо еще учесть, как было разъяснено выше, что в рассматриваемом случае величина E в уравнении (4) в первом приближении должна считаться пропорциональной j . Это приводит к следующему соотношению [см. [6], уравнение (6)]:

$$v \sim \frac{ak'}{\kappa} j \varepsilon : \left\{ (2\mu + 3\mu') \left[1 + k'' \frac{j}{j_d} \left(1 - \frac{j}{j_d} \right) \right] + \frac{\varepsilon^2}{\kappa} \right\}, \quad (8)$$

где k' и k'' — постоянные. Из уравнения (8) следует, что при постоянном ε, v монотонно возрастает с j во всем интервале возможных изменений j , и максимум на кривой зависимости v от потенциала электрода, с которым связано появление спада тока, может возникнуть только за счет изменения величины ε при изменении потенциала. Таким образом в рамках изложенной элементарной теории нельзя объяснить спада тока, наблюдаемого в случае полярографических максимумов, концентрационной поляризации, как это делает Штакельберг. Ошибка Штакельберга в этой части работы заключается в том, что, учитывая возрастание торможения, вызванного конвективным переносом зарядов при наступлении значительной концентрационной поляризации (т. е. при переходе с потенциал полуволны), он не учитывает одновременного возрастания разностей потенциалов между различными точками поверхности капли.

Кроме эффекта обмена, Штакельберг рассматривает влияние, которое оказывает на развитие полярографических максимумов движение содержащего деполяризатор раствора вдоль поверхности капли от точек с более низким пограничным натяжением к точкам с более высоким. Так как скорость движения жидкости имеет наибольшее значение на границе ртуть/раствор, то близлежащие к границе раздела слои текут под более отдаленными, остающимися относительно неподвижными. Это явление Штакельберг называет «эффектом подтекания» (Unterströmungseffekt).

Как впервые было замечено З. А. Иофа, В. В. Лосевым и И. И. Третьяковым [8] и количественно разобрано А. Н. Фрумкиным и В. Г. Левичем [4] *, движение электролита по-разному влияет на подачу деполяризатора в случае отрицательных и положительных максимумов. В случае отрицательных максимумов движение, направленное

* Заметим, что Штакельберг не цитирует этих работ.

нижней части капли к ее шейке, приводит нижнюю часть капли в соприкосновение с необходимым раствором, в то время как к верхней части капли поступает раствор, уже потерявший часть деполаризатора при соприкосновении с ее нижней частью. Благодаря этому поляризуемость верхней части капли оказывается повышенной по сравнению с поляризуемостью нижней, причем это различие должно выступать сильнее, чем больше изменяется концентрация растворенного вещества при прохождении мимо поверхности капли, т. е. чем сильнее выражена концентрационная поляризация. Различие в поляризуемостях приводит к тому, что сдвиг потенциала при прохождении тока в верхней части капли оказывается относительно большим, а в нижней — относительно меньшим, чем это можно было ожидать при учете одних только метрических факторов. В результате превышение сдвига потенциала нижней части над сдвигом потенциала верхней, определяющее градиент пограничного натяжения и тангенциальное движение поверхности ртути, оказывается сниженным, а заметное обеднение раствора может даже обратиться в нуль. Это приводит к ослаблению движения в случае отрицательных максимумов и к спаду тока при наступлении концентрационной поляризации. В случае положительных максимумов свежая струя раствора движется сверху вниз, ослабляя без того относительно более слабую поляризацию верхней части капли, что приводит к устойчивости движения поверхности, направленного сверху вниз; скорость этого движения при возрастании поляризации падает только из-за убывания ϵ при приближении к точке нулевого заряда (максимуму электрокапиллярной кривой) ртути. Для количественного рассмотрения этих явлений необходимо учесть, что, в отличие от предполагавшегося ранее в первом приближении, величины w и i_d в разных частях капли в действительности различны — по-разному зависят от среднего значения j .

Трактовка роли «эффекта подтекания» в развитии движений, характеризующих гидрографические максимумы, у Штакельберга во многих отношениях близка к картине, данной А. Н. Фрумкиным и В. Г. Левичем. Однако, вместо того чтобы искать величину разности потенциалов между различными точками поверхности капли, определяющую разность пограничных натяжений и скорость тангенциального движения поверхности, Штакельберг сосредоточивает внимание на определении условий, при которых во всех точках поверхности может осуществляться «эффект обмена», необходимый, по его мнению, для поддержания тангенциального движения. С этой точки зрения, остается, однако, непонятным, почему наступление концентрационной поляризации не приводит к спаду тока в случае положительных максимумов. Неправильность трактовки Штакельберга хорошо видна на примере единственного приводимого количественного расчета. Поскольку для поддержания движения по Штакельбергу необходима подача вещества к шейке капли, которая осуществляется благодаря «эффекту подтекания», Штакельберг вычисляет величину $\Delta^0 C$ — изменения концентрации на поверхности капли. От $\Delta^0 C$, очевидно, зависит эффективность переноса вещества тангенциальной струей раствора, т. е. величина «эффекта подтекания». При помощи уравнения полярографической волны Штакельберг находит

$$\Delta^0 C = C^* \frac{nF}{RT} \frac{e^p}{(e^p + 1)^2} \Delta E_K, \quad (9)$$

где C^* , по Штакельбергу, — концентрация деполаризатора в объеме раствора, ΔE_K — изменение потенциала катода E_K вдоль поверхности капли и $p = (E_K - E_{1/2})nF/RT$. Штакельберг считает все величины, входящие в правую часть уравнения (9), кроме ΔE_K , постоянными и выводит отсюда, что величина $\Delta^0 C$ проходит через максимум при $E_K = E_{1/2}$, в чем он и видит причину спада тока при наступлении заметной концентрационной поляризации в случае отрицательных максимумов. В действительности, как было разобрано выше, величина ΔE_K в случае отрицательных максимумов сама сложным образом зависит от плотности поляризующего тока, и именно ее изменение и определяет изменение скорости движения капли при возрастании поляризации.

Для проверки правильности представлений Штакельберга имеет значение появившаяся одновременно с разбираемой статьей работа Т. И. Поповой и Т. А. Крюковой [9]. Авторы опровергают, в частности, утверждение Штакельберга (стр. 241). «Этим (т. е. существующей теорией положительных максимумов 1-го рода — автор), однако, не объясняется, почему эти максимумы не возрождаются вновь при переходе через нулевой потенциал в виде отрицательных максимумов».

Как явствует из изложенного выше, условия развития движений при полярографических максимумах 1-го рода чрезвычайно осложнены тем, что определяющая величина и скорость тангенциального движения поверхности ртути — неравномерность поляризации капли, в свою очередь, весьма сложным образом зависит от этих движений, влияющих как на силу суммарного поляризующего тока, так и на его распределение по поверхности капли. В работе Т. И. Поповой и Т. А. Крюковой для упрощения условий ток, протекание которого создает разности потенциалов между различными точками в растворе у поверхности капли, был отделен от тока, текущего на каплю. С этой целью капля помещалась в электролит, например 0,01 N $KClO_4$, через который при помощи двух платиновых электродов пропускался ток. Напряжение поля в элект-

ролите составляло 0,2—0,7 В/см, чему соответствует разность потенциалов между полюсами обтекавшейся током капли, равная 0,03—0,1 В. Капля одновременно служила катодом, на котором разряжались ионы Hg_2^{2+} . Последние присутствовали в растворе, однако в столь малой концентрации, что без наложения внешнего поля ток, текущий на каплю, не вызывал заметных движений поверхности, и на поляризационной кривой наблюдались лишь площадка нормального тока диффузии. Ток, текущий на каплю, служил таким образом только индикатором движений, вызываемых посторонним электрическим полем. В этих условиях при наложении внешнего электрического поля на поляризационной кривой в полном согласии с теорией А. Н. Фрумкина В. Г. Левича появляются два полярографических максимума — положительный отрицательный, чем снимается выдвинутое Штакельбергом возражение. Как нашл Т. И. Попова и Т. А. Крюкова, зависимость силы тока от потенциала следует уравнению (2), если учесть, что согласно В. Г. Левичу [10], величина i пропорциональна $c^{1/2}$. Описанные явления наблюдались при весьма малых концентрациях деполаризатора, например, на фоне 0,01N KClO_4 при $[\text{Hg}_2^{2+}] = 5 \cdot 10^{-5} \text{ N}$, что лишний раз доказывает неправильность представления Штакельберга о необходимости осуществления «эффекта обмена» для возникновения полярографических максимумов *. Далее, ток на каплю практически на всем протяжении поляризационной кривой (ср. рис. 3 и 5 штированной работы) был предельным током диффузии, так что согласно уравнению (7) величину w в уравнении (4) можно было считать бесконечно большой. Наступление концентрационной поляризации при правильном выборе условий возбуждения движения, таким образом, отнюдь не мешает существованию полярографических максимумов. Очевидно, что результаты опытов Т. И. Поповой и Т. А. Крюковой не совместимы с теорией Штакельберга.

Упомянем еще в заключение, что в другой более поздней работе [11] Штакельберг, рассматривая условия образования поверхности растущей капли, указывает на необходимость учета, помимо тангенциальных движений, приводящих к появлению полярографических максимумов 2-го рода, еще некоторого особого «эффекта пристройки» (Anbaueffekt), который может дать дополнительное увеличение предельного тока диффузии, доходящее до 13%. Смысл разграничения между движениями, приводящими к максимумам 2-го рода, и «эффектом пристройки» у Штакельберга нам остался неясен.

В действительности распределение скоростей в растворе вблизи растущей капли полностью охватывается трактовкой максимумов 2-го рода, которая была дана в упомянутых работах советских авторов, и учет каких-либо дополнительных эффектов при рассмотрении тангенциального движения поверхности растущей капли является излишним.

Академия наук СССР
Институт физической химии

Поступила
17. II. 1955

ЛИТЕРАТУРА

1. M. Stackelberg, Fortschr. chim. Forsch., 2, 229, 1951.
2. А. Н. Фрумкин, Б. П. Брунс, Acta phys. chim. URSS, 1, 232, 1943; Б. П. Брунс, А. Н. Фрумкин, З. А. Иофа, Л. Ванюкова, С. Золотаревская, Журн. физ. химии, 13, 786, 1939; Б. П. Брунс, А. Н. Фрумкин, Л. В. Ванюкова, С. Золотаревская, Acta phys. chim. URSS, 9, 359, 1938.
3. W. Seidel, Angew. Chem., 48, 463, 1935; H. Antweiler, Z. Elektrochem., 44, 719, 1938; M. Stackelberg, H. Antweiler, L. Kieselbach, Z. Elektrochem., 44, 663, 1938.
4. А. Н. Фрумкин, В. Г. Левич, Журн. физ. химии, 19, 573, 1945; Acta phys. chim. URSS, 20, 769, 1945.
5. В. Г. Левич, Журн. физ. химии, 21, 689, 1947.
6. А. Н. Фрумкин, В. Г. Левич, Журн. физ. химии, 21, 1335, 1947.
7. И. А. Багодкая Журн. физ. химии, 23, 1231, 1949.
8. З. А. Иофа, В. В. Лосев, И. И. Третьяков, Журн. физ. химии, 19, 358, 1945.
9. Т. И. Попова, Т. А. Крюкова, Журн. физ. химии 25, 283, 1951.
10. В. Г. Левич, Журн. физ. химии 22, 721, 1948.
11. M. Stackelberg, Z. Elektrochem., 57, 338, 1953.

* При повышении концентрации ионов Hg_2^{2+} в растворе высота полярографических максимумов в условиях опытов Т. И. Поповой и Т. А. Крюковой росла пропорционально этой концентрации до тех пор, пока последняя не достигала примерно значения $2 \cdot 10^{-4} \text{ N}$ при концентрации фона 0,01 N. На таком фоне при более высоких концентрациях Hg_2^{2+} ток на каплю вызывает уже заметные тангенциальные движения и без наложения внешнего поля, что приводит к нарушению симметрии положительной и отрицательной ветви поляризационной кривой и осложнению картины явления.

ЗАМЕТКА ПО ТЕОРИИ ПОРИСТЫХ ЭЛЕКТРОДОВ

Дж. Дж. Коулмен

Замечания, изложенные здесь, относятся к статье М. Д. Кочергинского и П. Д. Луцера [1] «О поляризации пористого окисно-марганцевого электрода марганцево-цинкового элемента». При обсуждении теории этих электродов вышеуказанные авторы ают заключение, что потенциал частиц MnO_2 в начальной стадии разряда не оди- тов во всем объеме электрода. После того как в течение некоторого времени имел то разряд, потенциал частиц может быть несколько различным, но весьма трудно ить о том, насколько это различие может иметь место в начальной стадии раз- а. Заключение М. Д. Кочергинского и П. Д. Луковцева кажется мне парадок- льным.

Обсуждение этого парадокса затрагивает основные положения существующих рий пористых электродов [2, 3] и представляет поэтому общий интерес.

Мне кажется неестественным полагать, что частицы MnO_2 в катоде могут обладать личными потенциалами до того, как имел место какой-либо разряд. Вероятно, что оторые частицы были восстановлены, в то время как другие восстановлены не и. Авторы статьи при обсуждении не указывают каких-либо физических процессов, орые смогли бы привести к такому восстановлению.

Напротив, на стр. 666 при обсуждении того, что имеет место после разряда, они орят: «Так как частицы в агломерате соединены между собой электропроводным летом, то между ними возникает ток, направленный от частиц с большим потенциа- и к частицам с меньшим потенциалом...». Здесь они, повидимому, имеют в виду процесс, имеющий место после прекращения работы элемента и ведущий к некото- сокращению разности потенциалов, возникающей в результате разряда или како- го другого процесса.

К парадоксальному заключению о том, что разность потенциалов частиц агломерата жна существовать и в начале разряда, авторы приходят, применяя закон Кирхгофа тористому электроду. Они рассматривают электрод, разделенным на 1, 2..., n слоев, и которых слой n является внешним, и выводят уравнение

$$(i_1 + i_2 + \dots + i_{n-1}) dr_1 = i_n dr_2, \quad (1)$$

i_s — поляризующий ток, проходящий в s -ом слое dr_1 — сопротивление, оказывае- электролитом (ионному) току, проходящему через любой слой к соседнему, и — аналогичное сопротивление, связанное с проводящим скелетом сажи. Продолжая ее, они говорят (а), что

$$i_1 + i_2 + \dots i_{n-1} > i_n \quad (2)$$

то (b) сопротивление электролита dr_1 больше сопротивления проводящего скелета

. Положение (а), в общем, должно быть справедливым для больших n . Положение будет справедливым или ложным в зависимости от состава электрода; однако здесь не нуждается в рассмотрении случаев, в которых оно заведомо ошибочно.

Положения (а) и (b) отвергают уравнение (1), которое выше было выведено на ове предположения о постоянстве потенциалов, и это приводит авторов к выводу, потенциалы частиц агломерата никогда не могут быть одинаковыми.

Разрешение этого парадокса становится очевидным, если мы продолжим анализ, орий ведет к вышеприведенному уравнению (1). М. Д. Кочергинский и П. Д. Лу- цев, применяют закон Кирхгофа только к одному разветвлению рабочей сети. именим его ко всем разветвлениям. При $n = 3$ получим

$$(i_1 + i_2) dr_1 = i_3 dr_2,$$

$$i_1 dr_1 = (i_2 + i_3) dr.$$

и уравнения могут быть разрешены, давая при этом

$$i_1/i_3 = dr_2/dr_1, \quad (3)$$

$$i_2 = 0. \quad (4)$$

Аналогичный анализ общего случая дает

$$i_1/i_n = dr_2/dr_1, \quad (5)$$

$$i_2 = i_3 = i_4 = \dots = i_{n-1} = 0. \quad (6)$$

Уравнения (3)–(6) показывают, что поляризационный ток всегда концентрируется в двух внешних слоях, не зависимо от того, что они могут быть как угодно малыми. При $n \rightarrow \infty$ плотность поляризующего тока в этих слоях будет бесконечно большой.

Когда анализ такого рода приводит к бесконечно большой плотности тока, становится понятной природа внесенной ошибки. Где-то мы не включили, повидимому, одно сопротивление.

Авторы вслед за Данпель-Бекон [3], полагают, что поляризующий ток проходит через математическую «...поверхность раздела твердой и жидкой фаз...». Предполагается, что эта математическая поверхность, имеющая нулевое измерение в направлении движения тока, не оказывает сопротивления поляризующему току.

Деполаризующее действие действительно имеет место в частицах MnO_2 , и поляризующий ток является настоящим током, встречающим настоящее электрическое сопротивление. Частью он состоит из электронов, проходящих через частицу MnO_2 .

Если мы обозначим r сопротивление, которое встречает поляризующий ток в каждом из слоев, то получим вместо написанного выше уравнения (1)

$$(i_1 + i_2 + \dots i_{n-1}) dr_1 + i_{n-1} r = i_n dr_2 + i_n r,$$

и парадокс Кочергинского и Луковцева исчезает.

Более того, дальнейший анализ на основе закона Кирхгофа не показывает, что деполаризующий ток ограничен внешними слоями. Действительно, его распределение зависит от относительных значений r , dr_1 и dr_2 . Мы не находим никакой бесконечно большой плотности тока.

Было бы неудобно выполнять детальный анализ в этой короткой заметке, тем более что полная теория была опубликована несколько лет назад [2]. Более новая теория и старая теория становятся идентичными, если положить в последней, что $r = 0$. Математически его теория является специальным случаем старой теории и не содержит противоречия. Однако при практическом использовании они оказываются неадекватными.

Burgess Battery Company
Freeport, Illinois,
USA

Поступила
23. II. 1955

ЛИТЕРАТУРА

1. М. Д. Кочергинский, П. Д. Луковцев, Журн. физ. химии, 28, 661, 1954.
2. J. J. Coleman, Trans. Electrochem. Soc., 90, 557, 1946.
3. В. С. Даниель-Бек, Журн. физ. химии, 22, 697, 1948.

ОТВЕТ Дж. Дж. КОУЛМЕНУ

М. Д. Кочергинский, П. Д. Луковцев

В опубликованной нами статье [1] было указано на необоснованность предположения Коулмена [2] о постоянстве потенциала всех частиц MnO_2 в агломерате окисномарганцевого электрода в начальной стадии его разряда. Это предположение привело Коулмена к ошибочному выводу о распределении плотности поляризующего тока минимумом в середине агломерата.

Однако в замечании [3] на нашу статью [1] Коулмен считает физически необоснованным наше заключение о непостоянстве потенциала частиц MnO_2 в начальной стадии разряда окисномарганцевого электрода и указывает на якобы допущенную нами ошибку при выводе уравнения (1) [3], которое было не использовано нами для доказательства ошибочности указанного выше вывода Коулмена о распределении плотности поляризующего тока внутри агломерата.

В связи с замечанием Коулмена [3] необходимо указать на следующее. Считая, что в начальный момент разряда не может быть разницы в значениях потенциала отдельных частиц MnO_2 , Коулмен связывает изменение потенциала этих частиц только с их восстановлением и пренебрегает нашим указанием на то, что «потенциал частиц двуокиси марганца является функцией объемной плотности поляризующего тока j_v в данной точке» (стр. 661 [1]). Таким образом, при включении тока измеряемая величина потенциала ϕ частиц MnO_2 определяется не только степенью восстановления частиц, но и величиной возникающей при этом поляризации, а также наличием омических потерь напряжения, имеющих разную величину для частиц, находящихся в различных слоях агломерата.

В своей заметке [3] Коулмен дает подробный анализ уравнения (1) [3], выведенного нами на основе предположения Коулмена о постоянстве потенциала ϕ частиц MnO_2 . Результаты этого анализа совпадают с нашими выводами и, таким образом, указывают на физическую необоснованность предположения Коулмена, положенного в основу вывода уравнения (1) [3]. При этом следует указать, что в практически используемых марганцево-цинковых элементах сопротивление проводящего скелета электрода всегда меньше сопротивления электролита в порах агломерата. Поэтому и не считали необходимым рассматривать в статье [1] следствия, вытекающие из этих предположений о величинах указанных сопротивлений.

Последующая корректировка Коулменом уравнения (1) [3] с целью ликвидации известного «парадокса» путем введения поправок на падение напряжения при прохождении тока через частицы MnO_2 эквивалентно отказу от предположения об одинаковом потенциале частиц MnO_2 в начале разряда, так как указанное падение различно для частиц, находящихся в разных слоях агломерата.

Экспериментальные методы определения изменений потенциала ϕ частиц MnO_2 в реальных условиях их работы в агломерате не позволяют отдельно измерить такие омические изменения, которые зависят от плотности тока, т. е. поляризацию частиц MnO_2 и омические потери, связанные, например, с прохождением тока через частицы MnO_2 . Принятый в работе [1] экспериментальный метод дал возможность разделить наряду с потенциалом ϕ частиц MnO_2 только омические потери на электропроводном (графитовом) скелете и в порах агломерата, заполненных электролитом.

Все сказанное выше указывает на необоснованность как замечаний, сделанных Коулменом [3], так и некоторых выводов его более ранних работ [2].

Поступило
7. VII. 1955

ЛИТЕРАТУРА

- М. Д. Кочергинский и П. Д. Луковцев, Журн. физ. хим., 28, 661, 1954.
G. G. Coleman, Trans. Electrochem. Soc., 90, 445, 1946; Journ. Electrochem. Soc., 98, 26, 1951.
Дж. Дж. Коулмен, Журн. физ. химии, 29, 1323, 1955.

ОТВЕТ НА «ЗАМЕЧАНИЯ» А. Ф. КАПУСТИНСКОГО *

М. Х. Карпетянц

Если кратко охарактеризовать сущность «Замечаний» А. Ф. Капустинского [3], то она сводится к следующему: в [1] было обращено внимание на возможность широкого применения линейного уравнения

$$G_{II} \approx AG_I + B, \quad (1)$$

в котором сопоставляются значения данного свойства G в рядах подобных соединений. Это уравнение для частного случая, когда $G = \Delta H(U)$, принимает вид

$$\Delta H_{II} \approx A\Delta H_I + B. \quad (2)$$

А. Ф. Капустинский утверждает, что уравнение (2) является частным случаем предложенного им ранее [4] «правила термодинамической логарифмики»

$$\frac{\Delta H}{w} = a \lg z + b, \quad (3)$$

где w — валентность и z — менделеевское число.

По этому поводу считаю необходимым отметить следующее.

Сопоставление, отвечающее уравнению (2), было приведено в [1] в числе примерно 20 других графиков и примеров, соответствующих применению соотношения (1) к самым разнообразным свойствам. (При этом речь шла, разумеется, об общем методе без каких-либо претензий на авторство ч а с т н ы х закономерностей вида (1).) Поэтому рассмотрение связи того или другого соотношения вида (1) с ранее описанными другими методами расчета тех же свойств не отвечало характеру этой статьи, тем более что она была написана в виде краткой заметки (письма в редакцию).

Следовательно, я не касался уравнения (3) не потому, что не мог привести в сопоставление уравнения (2) и (3) (которые, естественно, как-то связаны, поскольку оба относятся к тепловым эффектам), а по причинам, обусловленным самим содержанием заметки [1], носящей характер предварительного сообщения.

Кроме того, в конце [1] было сказано, что возможность теоретического толкования уравнения (1) будет рассмотрена дополнительно. Поэтому обвинение меня в эмпиризме, содержащееся в § 2 и 4 [3], является, по крайней мере, преждевременным.

По существу этим можно было бы и ограничиться в ответе на «Замечания» А. Ф. Капустинского. Однако в них содержатся утверждения, с которыми я согласиться не могу. Поэтому позволю себе кратко на них остановиться.

Несколько слов о § 1 «Замечаний». Общеизвестно, что разностные расчеты имеют широкое применение. Так, в органической химии широко распространены вычисления, основанные на одинаковом изменении данного свойства на каждую группу CH_2 в одном гомологическом ряду. Говоря же о «законе постоянных разностей», А. Ф. Капустинский опять все сводит к тепловым эффектам, хотя, — напоминая еще раз — в заметке [1] речь шла о свойстве G вообще; специально на тепловых эффектах ни в [1], ни в [2] я не останавливался.

Кроме того, в § 1 «Замечаний» в косвенной форме содержится утверждение, что уравнение (2) сводится к закону постоянных разностей. Но, во-первых, уравнение (1) не тождественно методу разностных расчетов, как и уравнение (2) не тождественно закону постоянных разностей (в обоих уравнениях в общем случае $A \neq 1$). Во-вторых, этот закон применим для теплот образования веществ только в растворенном состоянии (строго говоря, в бесконечно разбавленном растворе), а в [2] я если и касался сколько-нибудь теплот образования, то имел в виду только кристаллические соединения. Таким образом закон постоянных разностей отвечает частному случаю уравнения (2). Следовательно, упрек, содержащийся в [3], основан на недоразумении.

* По поводу статей [1,2].

Теперь обратимся к основному. Является ли, как утверждает А. Ф. Капустинский, уравнение (3) именно тем соотношением, из которого следует уравнение (2)? Утверждение, красной нитью проходящее через «Замечания» и в косвенной форме отражающееся в заключительной фразе, могло бы быть справедливым, если бы по мере применения и порядку точности оба уравнения соответствовали бы друг другу. Однако это не так. Во-первых, уравнение (3) относится только к неорганическим соединениям и согласно выводу, описанному А. Ф. Капустинским [4], только к кристаллическому состоянию, в то время как уравнение (2) применимо как к неорганическим, так и к органическим соединениям в любом агрегатном состоянии. Во-вторых, уравнение (2), как правило, приводит к более точным результатам, чем уравнение (3), несмотря на то, что в нем, в отличие от уравнения (3), аргумент всегда содержит ошибки.

Таким образом любой вывод (2) из (3), в какой бы форме он ни был сделан, означает, что более точное и более общее уравнение является следствием менее точного и менее общего уравнения.

Что же касается «вывода», составляющего содержание § 2 «Замечаний» А. Ф. Капустинского, то он основан только на том, что аргумент уравнения (3) в процессе вывода падает. Подобным образом уравнение (2) можно было бы «вывести», взяв вместо z , например, $1/z$, e^z и т. д., да и вообще любую величину.

Если же говорить о большей точности уравнения (2) по сравнению с (3), то она определяется не тем, — как полагает А. Ф. Капустинский (см. § 4 [3]), — что в сопоставлении вводится больше величин [ведь экспериментальные данные дают не случайный брос точек, а систематическое отклонение от уравнения (3)], а тем, что уравнению отвечает иная функциональная шкала. Своим происхождением оно связано не с уравнением (3), а, — если уж говорить об этом, — тому обстоятельству, что в двух рядах родственных соединений * зависимость $\Delta H(U)$ от z приблизительно такова.

Таким образом утверждение А. Ф. Капустинского, что уравнение (2), «изобретенное М. Х. Карапетьянцем как нечто новое»**, является частным случаем правила мохимической логарифмики, не отвечает действительности.

Химико-технологический институт
им. Д. И. Менделеева
Москва

Поступила
1.III.1955

ЛИТЕРАТУРА

- М. Х. Карапетьянц, Журн. физ. химии, 27, 934, 1953.
М. Х. Карапетьянц, Журн. физ. химии, 28, 1136, 1954.
А. Ф. Капустинский, Журн. физ. химии, 29, 1125, 1955.
А. Ф. Капустинский, Изв. АН СССР, ОХН, № 6, 568, 1948.

* Если иметь в виду неорганические соединения, отличающиеся элементами одной и той же подгруппы.

** Где, кстати сказать, я «изображал» (2) как нечто новое?

ПИСЬМА В РЕДАКЦИЮ

О МЕТОДАХ СРАВНИТЕЛЬНОГО РАСЧЕТА
РАЗЛИЧНЫХ СВОЙСТВ

М. Х. Каранетьянц

В ранее опубликованных заметках [1—3] было обращено внимание на возможность широкого применения методов сравнительного расчета для приближенного вычисления различных свойств. В основе этих методов лежат линейные соотношения

$$G_{II} \approx A_1 G_I + B_1, \quad (1)$$

$$G_{\Pi_1} \approx A_2 G_{\Pi_2} + B_2, \quad (2)$$

$$G_N \approx A_3 G_M + B_3, \quad (3)$$

$$G_{\Pi_2} \approx A_4 G_{\Pi_1} + B_4. \quad (4)$$

В первом уравнении [1, 2] индексы I и II соответствуют двум рядам родственных соединений, сопоставляемым при постоянных условиях; во втором уравнении [2] индексы Π_1 и Π_2 отвечают двум значениям параметра Π (например, температуры, давления, или концентрации) при условии, что данное свойство рассматривается в ряду подобных соединений; в третьем уравнении [3] индексы M и N соответствуют двум сопоставляемым веществам, свойство которых G сравнивается при одинаковых значениях переменного параметра Π ; наконец, в четвертом уравнении [3] сравнивается данное свойство одного вещества при двух значениях переменного параметра Π зависимости от значения другого параметра Π .

Уравнения (1), (2), (3) и (4) схематически представлены соответственно на рис. 1, A(D), B, B и Г(E).

Нанесем на ось ординат каждого из таких чертежей значения соответствующего аргумента. Тогда получим пунктирные прямые (рис. 1, a—e), которые при одинаковом масштабе на обеих осях будут биссектрисами координатных углов. При своем продолжении пунктирная и сплошная прямые в общем случае пересекаются.

Введем в сопоставление еще одну прямую. В первом случае [рис. 1, a (d)] это означает введение третьего ряда веществ, подобных веществам I и II рядов; во втором случае (рис. 1, б) это означает рассмотрение свойств того же ряда веществ при значениях Π_3 переменного параметра Π , достаточно близком к значениям Π_1 и Π_2 ; в третьем случае (рис. 1, в) это соответствует введению вещества L, родственного M и N; наконец, в последнем случае (рис. 1, г) это соответствует зависимости G от Π при значении Π , когда последнее мало отличается от Π'_1 и Π'_2 .

Вновь проведенная прямая, очевидно, также будет пересекаться с пунктирной. Примем, что эта точка пересечения в случаях a, в и г практически совпадает с соответствующей из ранее указанных точек пересечения. Если это условие соблюдается, то на рис. 1, a получим прямые, представленные на рис. 1, б, а из рис. 1, в — прямые, изображенные на рис. 1, г. Подобно этому, мы могли бы получить рис. 1, г, непосредственно из рис. 1, в (или наоборот). Последнее обстоятельство свидетельствует о взаимосвязи уравнений (2) и (3) и тем самым о взаимосвязи двух групп методов сравнительного расчета, в первой из которых переход от точки к точке вдоль прямой обусловлен изменением свойств вещества в результате изменения состава частиц, а во второй — изменением свойств веществ в результате изменения внешних условий.

Пересечение прямых позволяет найти значение G в данном ряду веществ по значению G одного вещества этого ряда, а после установления закономерности в изменении A, — не располагая им.

На рис. 2—6 приведены данные, иллюстрирующие на отдельных примерах и которые из случаев, соответствующих рис. 1, a—e*.

Очевидно, что если бы прямые на рис. 1, a или 1, б, или 1, в были параллельны

* Значения свойств, положенные в основу рисунков, заимствованы из литературы.

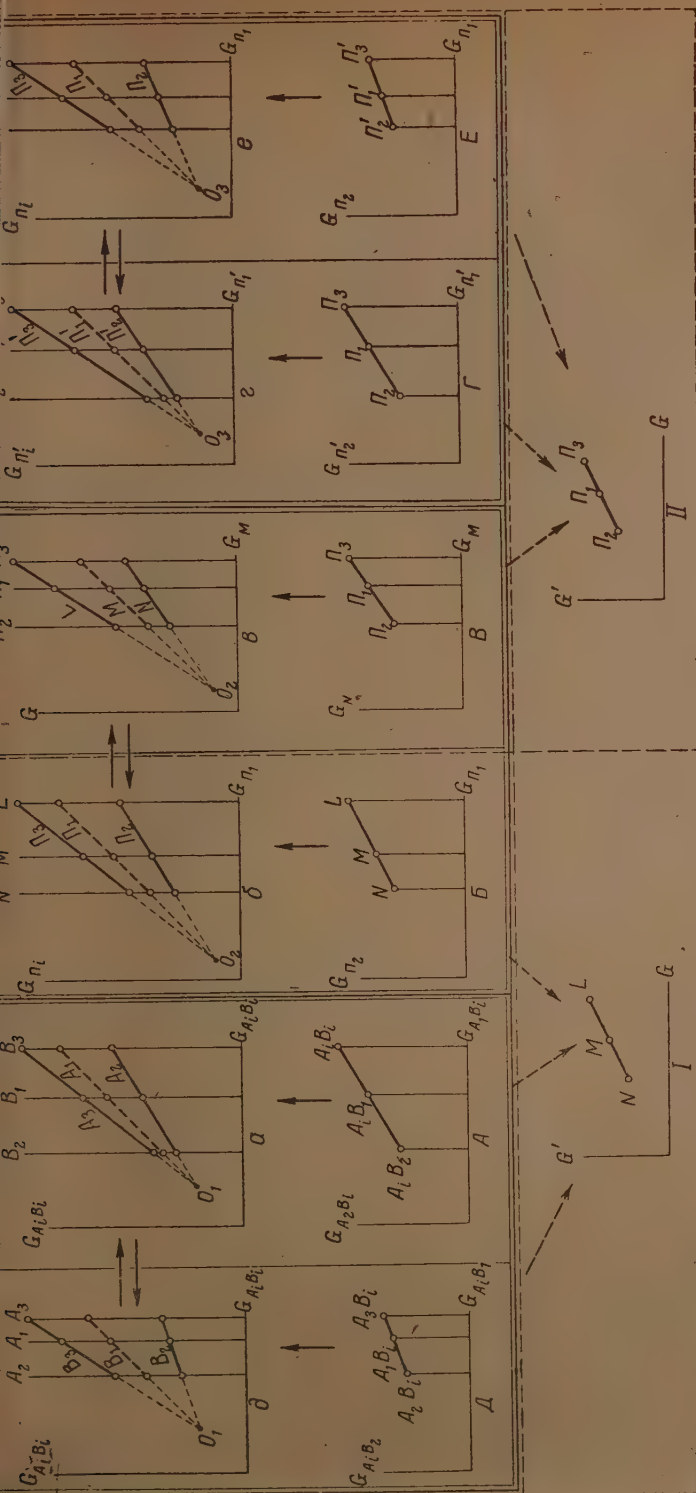


Рис. 1. Взаимосвязь между значениями свойств при различных методах сравнительного расчета (схема): A, D — взаимосвязь между значениями свойства G в двух рядах подобных соединений (при постоянных условиях); B — взаимосвязь между значениями свойства G в ряду подобных соединений при двух значениях переменного параметра P ; L — взаимосвязь между значениями свойства G данного вещества в зависимости от значения переменного параметра P ; G, L — взаимосвязь между значениями свойства G данного вещества при двух значениях переменного параметра P (P'). I — взаимосвязь между значениями двух свойств в ряду подобных соединений (при постоянных условиях). II — взаимосвязь между значениями двух свойств данного вещества в зависимости от значения переменного параметра P .

что наблюдается для некоторых свойств, — т. е. если бы $A_1(A_2, A_4) = 1$, то они были бы параллельны соответственно и на рис. 4, б, 1 е и 1 е*.

Если данный ряд родственных соединений подобен другим рядам, но значительно отличается от последних, то соответствующая ему линия на графике типа рис. 1, а (б) пересечется с остальными в разных точках (или — в случае параллельности остальных — не будет параллельна им) и, возможно, будет несколько искривлена. Так, некото-

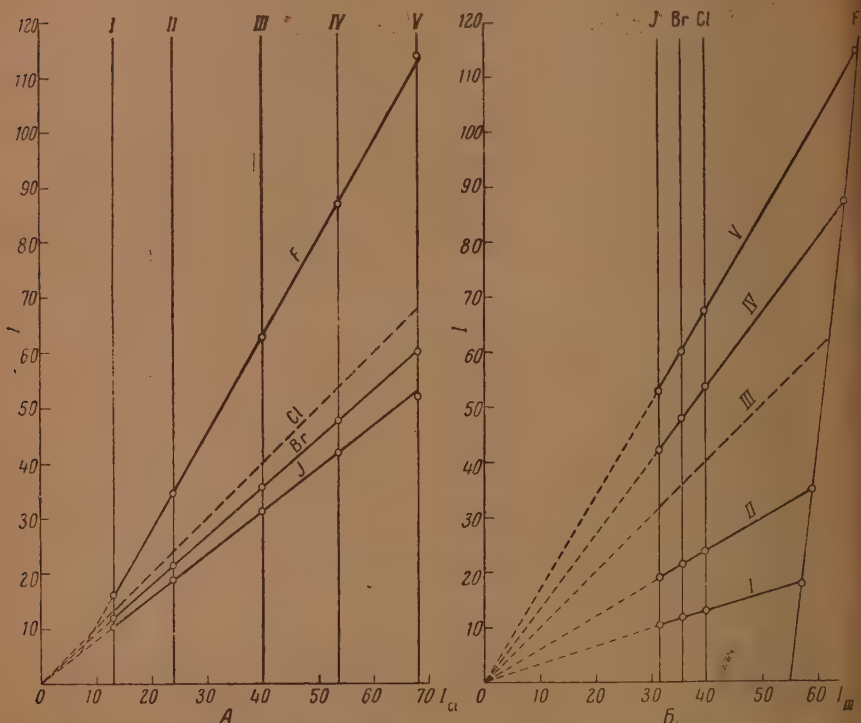


Рис. 2. А — взаимосвязь между значениями ионизационных потенциалов (э.е.): атомов фтора, брома и йода (I) и хлора (I_{Cl}) в зависимости от степени ионизации. В — взаимосвязь между значениями I , II , IV и V ионизационных потенциалов (I) и значением III ионизационного потенциала (I_{III}) галогенов

рое выпадение линии для фтора на рис. 2 можно объяснить тем, что у фтора в отличие от других галогенов валентные электроны экранированы от ядра двухэлектронной оболочкой**. Аналогичные отклонения соответствующих линий могут иметь место и на рис. 1, а (е), а также на рис. 1, б, и 1, в, если данное значение переменного параметра или соответственно данное вещество будет существенно отличаться от других его значений (от других веществ). Выпадающая линия в сопоставлениях, отвечающих рис. 1, а (д) и 1, а, часто несколько больше отклонена от остальных, чем в других случаях.

Между изменением G данного вещества, обусловленным переходом от одного члена ряда родственных веществ к другому (при неизменных внешних условиях), т. е. вызванным изменением свойств, присущих самому веществу, и изменением G

* Так, например, параллельность прямых на графиках, подобных рис. 1, а (б), обусловленная аддитивностью свойств, характерна для некоторых свойств в гомологических рядах соединений, а также в бесконечно разбавленных растворах. В частности, это наблюдается в бесконечно разбавленных растворах электролитов (теплоты образования, энтропии гидратации, электропроводность и т. д.) — обстоятельство, свидетельствующее о независимости свойств ионов (см., например, рис. 7).

** Подобные отклонения при применении соотношения, в котором сопоставляются два свойства одного ряда веществ (см. [2]) или два свойства одного вещества (см. [3]), в ряде случаев проявляются несущественно и, разумеется, исключаются при сравнении свойств в бесконечно разбавленных растворах (см., например, рис. 7).

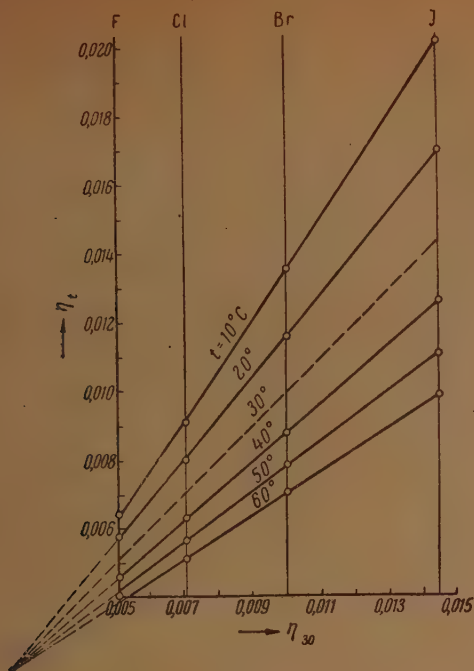


Рис. 3. Взаимосвязь между значениями вязкости (пуазы) фтор-, хлор-, бром- и иодбензола при 10, 20, 40, 50 и 60° C (η_t) и при 30° C (η_{30}).

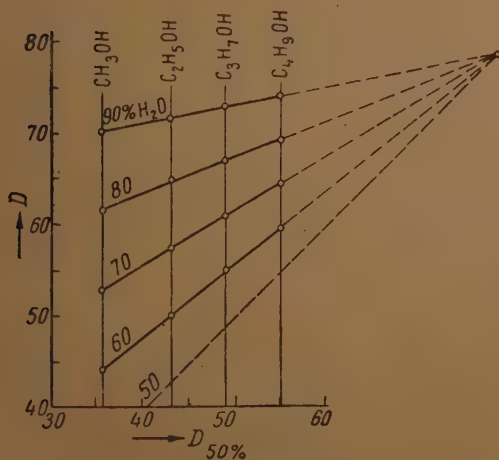


Рис. 4. Взаимосвязь между значениями диэлектрической проницаемости водных растворов метилового, этилового, пропилового и третичного бутилового спиртов (D) и 50% водных растворов тех же спиртов ($D_{50\%}$) ($t = 25^\circ \text{C}$)

ного вещества, обусловленным переходом от одного значения Π к другому, существует аналогия, проявляющаяся в подобии уравнений (1)–(4) и соответствующих им графиков (рис. 1).

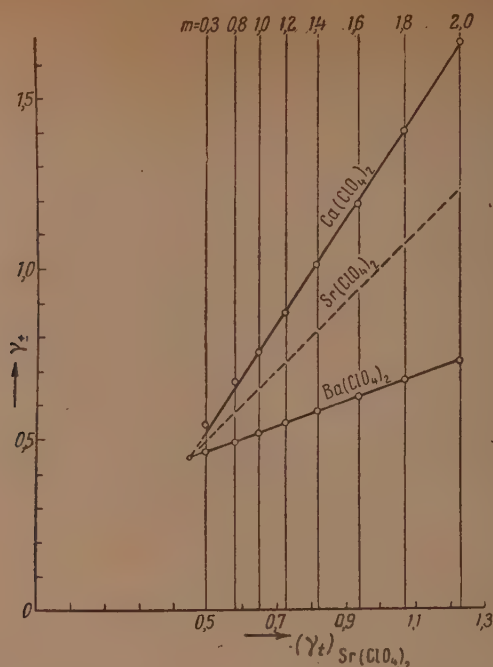


Рис. 5. Взаимосвязь между значениями коэффициентов активности перхлоратов кальция и бария (γ_{\pm}) и строения при $t = 25^\circ \text{C}$ в зависимости от концентрации водных растворов

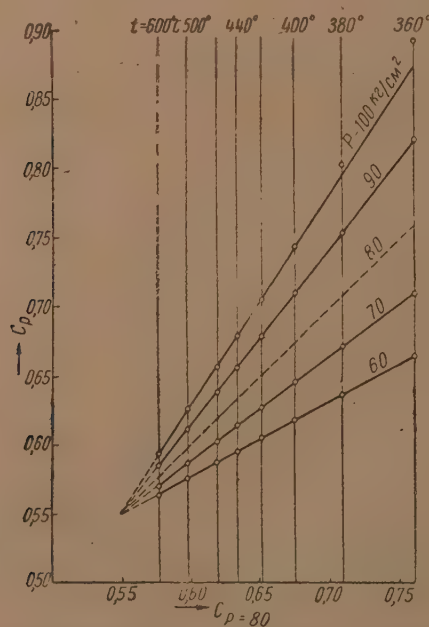


Рис. 6. Взаимосвязь между удельными теплоемкостями водяного пара (кал/г·град.) при различных давлениях (C_p) и при $P = 80 \text{ кг/см}^2$ ($C_{P=80}$) в зависимости от температуры

Однако здесь можно говорить только об аналогии. Укажем хотя бы на то, что если в первоначальной зависимости, приводящей к уравнению (1) (см. [2]), точки, как правило, лежат на ломаных линиях, то зависимостям, отвечающим уравнению (3) (см. [3]), соответствуют плавные кривые; если в случае, отвечающем левой части рис. 1, расположение точек дискретно, то в случае, отвечающем правой части рис. 1, расположение точек сплошное.

Погрешность результатов расчета при помощи описанных методов в общем не очень велика, так как в сопоставлении вводятся одинаковые величины. По этой причине ошибка вычисления на основании методов сопоставительного расчета часто меньше неточности вычисления по известным в литературе уравнениям, предложенным для расчета тех или иных свойств. Это объясняется и тем, что во многих уравнениях на результаты вычисления накладываются погрешность различных допущений, которые были произведены в процессе вывода этих уравнений.

Какой из методов сопоставления даст более надежные результаты? Это зависит от природы данного вещества (данного ряда веществ), от особенностей изменяющегося параметра, от интервала условий сопоставления и т. д. Нельзя, например, сказать, что расчет, основанный на зависимости, отвечающей рис. 1, $B[3]$, приводит к наиболее точным результатам на том основании, что изменение Π всегда можно сделать не очень большим. Ведь может оказаться, что даже в узком интервале значений произойдет изменение структуры соединения. Кроме того, при рассмотрении G как параметра процесса ($G = \Delta H$ или ΔS и т. д.) может сказаться существенно различное влияние Π на свойства сходных и конечных веществ. Не следует также думать, что, например, сопоставления, соответствующие рис. 1, $A(D)$ [1,2], дадут не очень надежные результаты потому, что здесь расчет связан с переходом от вещества к веществу как в пределах одного ряда, так и от одного ряда к другому; 5-удовлетворительной точности результатов вычисления по этому методу свидетельствуют проведенные автором расчеты некоторых свойств, в том числе рассмотренные на обширном экспериментальном материале вычисления по уравнению (1) энергии решетки [4]; укажем попутно и на результаты вычисления изобарных потенциалов (и теплот образования) различных веществ [5], осуществленного по уравнению, которое можно рассматривать как обобщение одного из применений частного случая соотношения, описанного в [1] (ему отвечает рис. 1, I). С другой стороны, исключение влияния внешних факторов при методе сопоставления, соответствующем уравнению (1) (рис. 1, a и d), имеет ряд преимуществ, например, [3].

Химико-технологический
институт им. Д. И. Менделеева
Москва

Поступила
5.III.1955

ЛИТЕРАТУРА

1. М. Х. Карапетьянц, Журн. физ. химии, 27, 934, 1953.
2. М. Х. Карапетьянц, Журн. физ. химии, 29, 938, 1955.
3. М. Х. Карапетьянц, Журн. физ. химии, 29, 1134, 1955.
4. М. Х. Карапетьянц, Журн. физ. химии, 29, 1136, 1954.
5. М. Х. Карапетьянц, Журн. физ. химии, 28, 186, 353, 1954; Труды МХТИ им. Д. И. Менделеева, 20, 10, 1955.

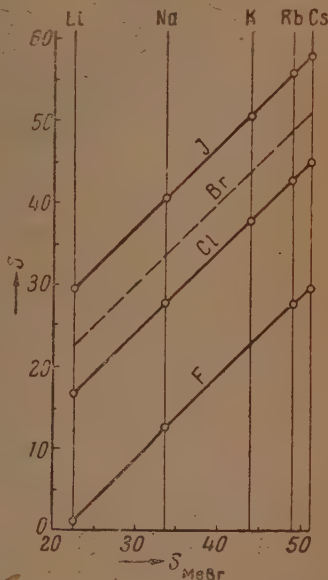


Рис. 7. Взаимосвязь между стандартными энтропиями S°_{298} (э. е.) водных бесконечно разбавленных растворов фторидов, хлоридов и иодидов элементов основной подгруппы первой группы (S) и бромидов тех же элементов (S_{MeBr})

ОБ ИЗМЕРЕНИИ МАЛЫХ КОЭФФИЦИЕНТОВ ДИФФУЗИИ

А. А. Жуховицкий и В. А. Геодакян

Решение ряда задач современной металлофизики и металловедения требует знания характеристик подвижности атомов компонентов и, в особенности, коэффициентов диффузии. В частности, это относится к важной проблеме современной техники — жаропрочности.

Применение меченых атомов существенно облегчило измерение коэффициентов диффузии [1].

Однако все известные методы не используют полностью преимущества радиоактивных методов для решения задачи измерения малых коэффициентов диффузии. В результате измерение диффузионных характеристик в сплавах, включающих тугоплавкие элементы, требует весьма значительных времен диффузионных отжига.

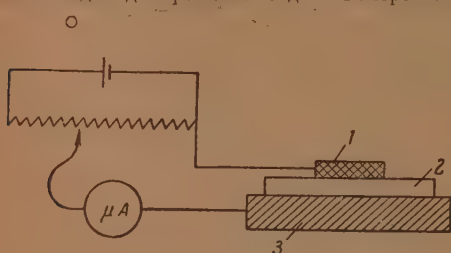


Рис. 1

даже измерение коэффициента самодиффузии γ -Fe потребовало отжига в течение 89 час. при 1200°C [2]. Известные методики не позволяют таким образом измерять малые коэффициенты диффузии.

Мы поставили перед собой задачу разработки простого и точного метода измерений диффузионных характеристик, требующего минимального времени опыта.

Речь идет таким образом о правильном использовании преимуществ радиоактивных методов в целях создания экспрессного метода измерения коэффициентов диффузии.

Очевидно, что варианты метода деления образца мало перспективны в рассматриваемом отношении. Не может также быть разработан универсальный (для различных излучателей) экспрессный абсорбционный метод. Естественно сосредоточить внимание при разработке метода на той части образца, где за короткие времена отжига происходят существенные изменения. Такой частью является поверхность пластины, на которую в начале опыта электролитически наносится малое количество радиоактивного металла. Эффект убыли поверхностной концентрации вещества со временем является, по нашему мнению, наиболее подходящей экспериментальной основой построения экспрессного метода.

Известно, что изменение этой концентрации (c) со временем (t) для полубесконечного пространства подчиняется следующему уравнению [3]:

$$c = \frac{q}{\sqrt{\pi D t}}, \quad (1)$$

здесь q — общее количество диффундирующего вещества; D — коэффициент диффузии.

Так как при нанесении вещества на поверхность в реальных случаях концентрация в начальный момент не равна бесконечности, то уравнение (1) имеет асимптотический характер, оказываясь действительным при средних путях диффузии, существенно больших толщины нанесенного слоя.

Убедиться в том, что рассматриваемые времена достаточны, можно на основе выполнения линейности соотношения $c \sim \frac{1}{\sqrt{t}}$. Угловой коэффициент этой прямой позволяет определить значение D .

Однако при этом необходима разработка методики измерения концентрации на поверхности образца как функции времени отжига. Такую возможность дает метод меченых атомов. Действительно, на его основе легко получить величину, пропорциональную искомой концентрации. Для этого необходимо проведение специальной операции, которую можно назвать снятием «отпечатка» с поверхности. Эта операция должна обеспечить разрушение возможно тонкого поверхностного слоя и перенос его на подкладку, позволяющую рационально провести счет интенсивности излучения. Такое разрушение можно провести, в принципе, как механическим, так и химическим или электрохимическим путем.

Мы остановились после некоторых испытаний на микроанодном растворении. делалось следующим образом. Пропитанная электролитом фильтровальная бумага зажималась между образцом и стальной пластинкой, как показано на рис. 1. Через образованную таким образом электролитическую ячейку (где анодом является образец, а катодом — пластинка) пропусклся ток в $20 \mu\text{A}$ в течение 5 мин. В результате этого на бумаге образовывался радиоактивный «отпечаток».

Радиоактивные ионы целиком оставались в бумаге. Катод не приобретал активности. Образцы изготовлялись в форме пластин площадью $0,25 \text{ см}^2$, толщиной $\sim 1 \text{ мм}$. В качестве электролита мы применяли как раствор NaCl , так и H_3PO_4 с добавкой глины (для $\text{Ag} - \text{H}_3\text{PO}_4$, а для $\text{Fe} - \text{NaCl}$). После снятия «отпечатка» бумага промывалась на счетчике.

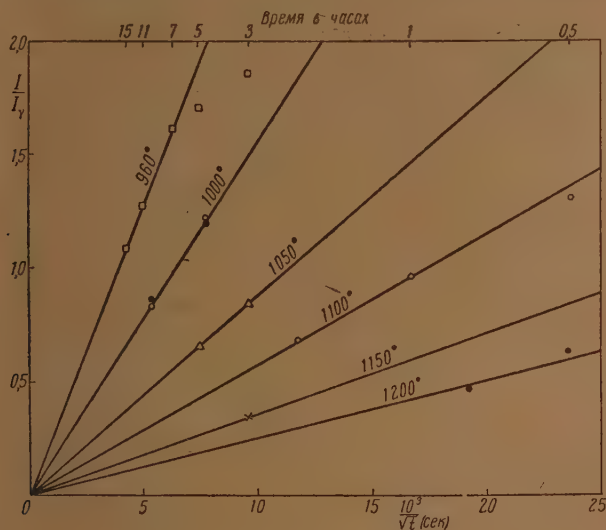


Рис. 2

Очевидно, что полученная величина будет пропорциональна концентрации

$$I = k_1 c, \quad (2)$$

величина γ -излучения (I_γ) образца (измеренная через соответствующий алюминиевый фильтр-поглотитель) пропорциональна общему количеству диффундирующего вещества, поскольку поглощение γ -лучей при используемых толщинах практически отсутствует

$$q = k_2 I_\gamma. \quad (3)$$

Для определения коэффициентов k_1 и k_2 необходимо снять такой же «отпечаток» образца с равномерно распределенным радиоактивным веществом. Такой образец может быть легко приготовлен сплавлением кусочка металла с радиоактивной добавкой. Обозначим результаты счета бумаги от этого образца I_∞ ; очевидно, что

$$I_\infty = k_1 c_\infty, \quad (4)$$

где c_∞ — концентрация в этом образце.

Для определения c_∞ можно измерить γ -излучение ($I_{\gamma\infty}$) этого образца (с тем же фильтром — поглотителем).

Общее количество вещества (q_∞) будет пропорционально этой активности

$$q_\infty = k_2 I_{\gamma\infty}, \quad (5)$$

с другой стороны,

$$q_\infty = c_\infty \delta_\infty, \quad (6)$$

где δ_∞ — толщина этого образца.

Из приведенных уравнений (4), (5), (6) следует, что

$$k_1 k_2 = \frac{I_\infty \delta_\infty}{I_{\gamma\infty}} \quad (4)$$

Принимая во внимание уравнения (1), (2), и (3), легко получить формулу для расчета коэффициента диффузии

$$D = \frac{I_\infty^2 \delta_\infty^2}{I_{\gamma\infty}^2 \pi m^2}, \quad (8)$$

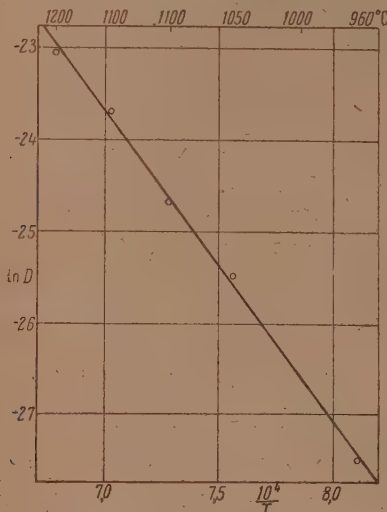


Рис. 3

1200° С для γ -Fe время отжига, необходимое для получения величины коэффициента диффузии (выход на асимптотическую прямую), составляет 5 мин., в то время как в методе деления на слои потребовался отжиг в течение 89 час. [2].

где m — угловой коэффициент прямой $I/I_\infty - 1/\sqrt{t}$.

Проверка метода проводилась на двух примерах. Самодиффузия серебра была выбрана как классический пример, на котором обычно проверяются новые методики, а самодиффузия железа — для иллюстрации быстроты метода.

Все условия диффузионного отжига в счета описывались ранее [4].

На графике рис. 2 представлены кривые $I/I_\infty - 1/\sqrt{t}$ для γ -железа, а на графике рис. 3 — зависимость $\ln D$ от $1/T$ для γ -Fe, которую можно выразить уравнением $D = 1,3 \cdot \exp(-67900/RT)$.

Величины коэффициентов диффузии, определенные по нашей методике, в сопоставлении с таковыми же, полученными другими методами [2], [4—6], приведены в таблице.

Быстрота предложенного нами метода иллюстрируется графиком рис. 2, из данных которого можно рассчитать, что при

	Температура °C	D предложенным методом	D другими методами	Литература
$\text{Fe}^* \rightarrow \gamma\text{-Fe}$	1200	$9,95 \cdot 10^{-11}$	$6,6 \cdot 10^{-11}$	[2]
	1150	$5,10 \cdot 10^{-11}$		
	1100	$1,98 \cdot 10^{-11}$	$1,1 \cdot 10^{-11}$	[2]
	1050	$8,44 \cdot 10^{-12}$		
	1000	$2,80 \cdot 10^{-12}$	$1,7 \cdot 10^{-12}$	[2]
	960	$11,2 \cdot 10^{-13}$	$6,3 \cdot 10^{-13}$	[2]
$\text{Ag}^* \rightarrow \text{Ag}$	925	$3,5 \cdot 10^{-9}$	$4,0 \cdot 10^{-9}$	[5]
			$4,2 \cdot 10^{-9}$	[6]
	750	$3,3 \cdot 10^{-9}$	$3,3 \cdot 10^{-9}$	[4]
		$1,1 \cdot 10^{-10}$	$1,3 \cdot 10^{-10}$	[4]

Очевидно, что время опыта будет тем меньше, чем меньше нанесено вещества. Целесообразно таким образом работать с препаратами высокой удельной активности. Методом можно пользоваться для работы с изотопами любого вида излучения (α , β , γ , K-захват). Если отсутствует γ -излучение, то можно или использовать вместо γ -излучения жесткую часть β -спектра (которая не поглощается в слое с толщиной δ_∞ ,

еднюю надо брать возможно малой), или же растворить определенное количество образца с равномерно распределенной активностью и определить c_{∞} , а рассчитать по характеристикам процесса электролиза при нанесении.

Институт стали
им. И. В. Сталина

Поступила
15.III.1955

ЛИТЕРАТУРА

- А. А. Л б о в, Усп. физ. наук, 42, 409, 1950.
Л. Л. Грузин, Сб. Проблемы металловедения и физики металлов, М., Металлург-издат., 1952, стр. 201.
Б э р р е р, Диффузия в твердых телах, ИИЛ, 1948.
А. А. Жуховицкий и В. А. Геодакян, ДАН, 102, 301, 1955.
W. A. Johnson, Metals Technology T. P., 1272, 1941.
С. Н. Крюков и А. А. Жуховицкий, ДАН, 90, 380, 1953.
-

ОБ ОПРЕДЕЛЕНИИ ТЕРМОДИНАМИЧЕСКИХ ХАРАКТЕРИСТИК ТВЕРДЫХ РАСТВОРОВ НА ОСНОВЕ ПРИМЕНЕНИЯ РАДИОАКТИВНЫХ ИНДИКАТОРОВ

А. А. Жуховицкий, М. Е. Яницкая и С. Н. Крюков

Применение радиоактивных веществ при развитии методик определения термодинамических характеристик компонентов твердых растворов [1, 2] шло по линии развития известных ранее методов Лэнгмюра и Кнудсена определения упругости паров.

Однако наличие радиоактивных индикаторов дает возможность разработать принципиально новые методики определения обсуждаемых величин. Рационально рассмотреть, как это уже делалось нами ранее [3], вопрос об обмене между двумя твердыми растворами одинакового состава, один из которых содержит радиоактивный изотоп одного из компонентов (донор), другой — состоит из стабильных изотопов (акцептор).

Рассмотрение этой задачи приводит, как это далее будет показано, к трем методам измерения термодинамических величин; теория и некоторая экспериментальная проверка методик изложены ниже.

Пусть две полубесконечные пластины находятся в вакууме. Обе пластины имеют одинаковый состав, но одна из них содержит радиоактивный изотоп с концентрацией c_0 . При высокотемпературном отжиге обеих пластин, очевидно, будет происходить переход изотопов через пространство, разделяющее пластины, и диффузия в обеих пластинах.

Если принять, что длина свободного пробега существенно больше расстояния между пластинами, то диффузионное уравнение процесса запишется следующим образом:

$$D \frac{\partial^2 c_1}{\partial x^2} = \frac{\partial c_1}{\partial t},$$

$$D \frac{\partial^2 c_2}{\partial x^2} = \frac{\partial c_2}{\partial t}.$$

Здесь c_1 и c_2 — концентрации радиоактивного изотопа в обеих пластинах; начальные координаты x в обеих пластинах помещено на их поверхности.

Начальные условия задачи запишутся следующим образом

$$c_1(x, 0) = c_0, \quad c_2(x, 0) = 0.$$

Краевые условия будут

$$D \frac{\partial c_1}{\partial x} \Big|_0 = \beta (c_1 - c_2),$$

$$D \frac{\partial c_2}{\partial x} \Big|_0 = \beta (c_2 - c_1).$$

Правая часть равенства (1) описывает результирующий поток, возникающий в результате транспорта радиоактивных атомов через промежуток между пластинами. К обсуждению смысла коэффициента β мы вернемся позднее. Очевидно, лишь что он пропорционален упругости пара компонента.

Введем безразмерные величины

$$\frac{c_1}{c_0} = z, \quad \frac{c_2}{c_0} = y, \quad \frac{x\beta}{D} = x, \quad \frac{t\beta^2}{D} = t.$$

Тогда система уравнений запишется следующим образом

$$\frac{\partial^2 y}{\partial x^2} = \frac{\partial y}{\partial t}; \quad \frac{\partial^2 z}{\partial x^2} = \frac{\partial z}{\partial t};$$

$$z(x, 0) = 1; \quad y(x, 0) = 0;$$

$$\frac{\partial y}{\partial x} \Big|_0 = y - z; \quad \frac{\partial z}{\partial x} \Big|_0 = z - y.$$

Решение этой системы

$$z = \frac{1}{2} + \frac{1}{2} e^{2x+4t} \left[1 - \Phi \left(\frac{x+4t}{2\sqrt{t}} \right) \right] + \Phi \left(\frac{x}{2\sqrt{t}} \right);$$

$$y = \frac{1}{2} - \frac{1}{2} e^{2x+4t} \left[1 - \Phi \left(\frac{x+4t}{2\sqrt{t}} \right) \right] - \Phi \left[\frac{x}{2\sqrt{t}} \right].$$

где $\Phi(u)$ есть интеграл ошибок.

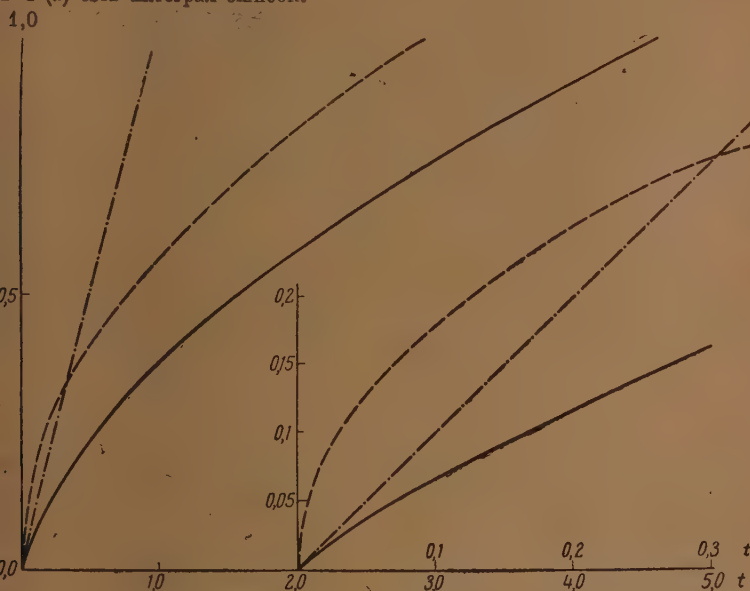


Рис. 1

Естественно, что при больших временах y и z стремятся к $1/2$.
Нас интересует измеряемая суммарная активность A

$$A = \int_0^\infty y dx = \sqrt{\frac{t}{\pi}} + \frac{e^{4t}}{4} \left[1 - \Phi(2\sqrt{t}) \right] - \frac{1}{4}, \quad (2)$$

A — суммарная активность акцептора, регистрируемая счетчиком.

На рис. 1 изображена кривая $A = f(t)$. Мы видим, что при малых временах от-
, когда скорость процесса перехода определяется испарением, A пропорциональ-
для больших времен, когда процесс лимитируется диффузией в пластинах, A про-
порциональна \sqrt{t} (на рис. 1 графики $A \sim t$ и $A \sim \sqrt{t}$ изображены пунктиром).

Выведенное уравнение (2) может быть использовано для разработки трех мето-
определения термодинамических характеристик твердых растворов.

Первая методика. Измеряя накопление активности в акцепторе при
время, лежащих в линейной части графика (рис. 1) при разных температурах,
но определить, как ниже будет показано, теплоты испарения, термодинамические
вности и другие термодинамические характеристики растворов. Ниже также бу-
показано, что эта методика может быть осуществлена при относительно низких
температурах и больших обогащениях донора.

Вторая методика. Если между пластинами создать большое диффузион-
сопротивление, можно искусственно продлить линейную часть графика и опреде-
термодинамические величины при любых температурах. Описание такой мето-
было нами опубликовано [3].

Третья методика. Снимая всю кривую, описываемую уравнением (2) при разных температурах, можно одновременно определять теплоту испарения и энергию активации диффузии компонентов в сплаве.

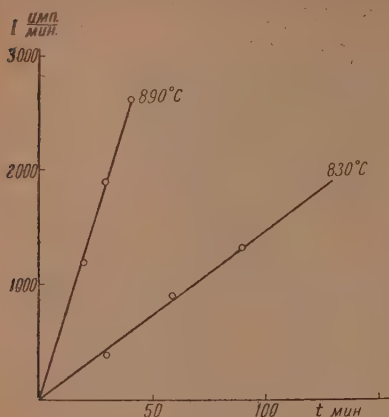


Рис. 2

нения первого метода. Разложение уравнения (2) в ряд показывает, что линейная область его осуществляется с точностью, превышающей 10% величины A в области, где

$$t < 0,08 \frac{D}{\beta^2} \quad (3)$$

Представляет интерес выяснить область температур для конкретных случаев при которых это неравенство выполняется. Для решения этого необходимо связать величину β с известными характеристиками.

Произведение βc характеризует скорость испарения в вакууме, которая неоднократно измерялась. Используя литературные данные для скорости испарения [4] и для коэффициентов диффузии [5,6], мы получили для серебра и железа следующие оценки температур, ниже которых линейная область распространяется на достаточный для проведения опыта промежуток времени (порядка 1 часа).

Для серебра эта температура должна быть ниже 800°C, для железа ниже 1200°C. Таким образом ниже этих температур возможно применение первой из указанных методик для этих металлов.

Угловой коэффициент m графика зависимости активности акцептора от времени пропорционален β , которое, как и скорость испарения, пропорционально $\frac{p}{V\sqrt{T}}$. Здесь p — упругость пара.

Таким образом теплота испарения определится следующим соотношением:

$$\lambda = RT^2 \frac{d \ln p}{dT} = RT^2 \frac{d \ln m}{dT} + \frac{RT}{2} \quad (4)$$

Нами были проведены опыты по измерению теплоты испарения серебра с применением Ag^{110} . Методика отжига и счета описана в предыдущей статье [3].

Представленный на рис. 1 график описывает зависимость безразмерной величины A от безразмерного времени t . Опыт приводит к зависимости суммарной активности акцептора I от размерного времени t .

Как было уже указано, отношение опытных величин к теоретическим по оси x равно D/β^2 , а по оси y равно DC_0/β . Здесь C_0 — активность единицы объема в доноре.

Для нахождения D и β нужно совместить опытный график с теоретическим. Такое совмещение можно осуществить путем параллельного перемещения, если оба графика выполнены в логарифмических координатах.

Проведенные на серебре измерения (при $T=1073^\circ$) привели к данным, удовлетворительно согласующимся с литературными.

Для D получено значение $2,9 \cdot 10^{-10}$ см²/сек. Для скорости испарения $2 \cdot 10^{-7}$ г/см² сек.

Прежде всего укажем границы приме-

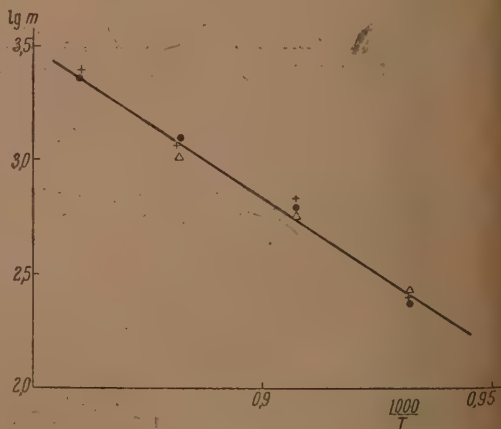


Рис. 3

На рис. 2 даны кинетические кривые, передающие возрастание активности акцептора со временем. Мы видим, что в рассматриваемом диапазоне времен выполняется линейность этого графика.

На рис. 3 даны температурные зависимости угловых коэффициентов m , а в табл. 4 приведены данные по теплотам испарения и литературные значения их.

Таблица 1

	Теплота испарения	
	Наши данные	Данные [4]
Серебро . . .	63 000	63 300

Очевидно, что термодинамическую активность компонента можно определить непосредственно из отношения угловых коэффициентов, снятых для чистого вещества и раствора. В табл. 2 даны наши результаты измерений и литературные данные для сплава серебро — золото.

Таблица 2

	Коэффициенты активности			
	Наши данные		Данные [7]	
	T, °K	γ_{Ag}	T, °K	γ_{Ag}
Сплав Ag — Au $N_{Ag} = 0,5$	943	0,640	943	0,65
	973	0,655	973	0,66
	1023	0,70	1023	0,69

Близким к изложенному является анализ, сделанный для такой же задачи Н. Несмеяновым [7]. Он впервые дал общую теорию обмена между твердыми растворами. В отличие от указанной работы в настоящей статье излагается решение, приведенное до графического определения обсуждаемых величин, и даются три варианта метода.

В заключение выражаем благодарность И. Е. Базилевичу и М. И. Серову за решение математической задачи, использованное нами в этой статье.

Московский институт стали
им. И. В. Сталина

Поступило
1.V.1955

ЛИТЕРАТУРА

- А. А. Грановская и А. П. Любимов, Журн. техн. физики, 16, 103, 1948.
Ю. В. Корнев, ДАН, 93, 1953.
А. А. Жуховицкий, С. Н. Крюков, М. Е. Яницкая, Голицын, ДАН, 102, 121, 1955.
С. Дэшман, Основы вакуумной техники, М., ИИЛ, 1950.
С. Н. Крюков, А. А. Жуховицкий, ДАН, 90, 380, 1953.
П. Г. Грузин, Сборник трудов ЦНИИЧМ, № 3, 201, 1952.
А. Н. Несмеянов, ДАН, 102, 311, 1955.

О ЖИДКИХ СЕГНЕТОЭЛЕКТРИКАХ

В. К. Семенченко и М. Азимов

Развиваемые одним из авторов [1—3] взгляды на тождество критических (включая и находящиеся вне самой критической точки ложные критические точки) переходов и так называемых фазовых переходов II рода приводят к выводу, что ограниченно растворяющиеся друг в друге жидкости должны вести себя в критической области подобно сегнетоэлектрикам, т. е. их диэлектрическая проницаемость должна проходить как в истинной, так и в ложных критических точках через максимум. Действительно, критическая точка определяется [4] уравнениями:

$$\left(\frac{\partial^2 X_i}{\partial^2 x_i}\right)_{X_j} = 0; \quad \left(\frac{\partial X_i}{\partial x_i}\right)_{X_j} = 0;$$

$$X_i = T, p, E, H, \mu; \quad (1)$$

$$x_i = S, v, D, B, c$$

а линия ложных критических точек уравнением

$$\left(\frac{\partial^2 X_i}{\partial x_i^2}\right)_{X_j} \neq 0. \quad (2)$$

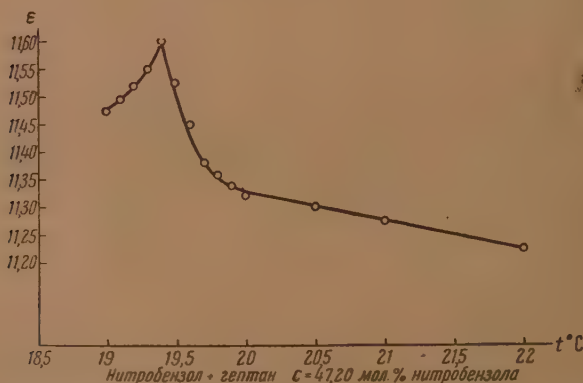


Рис. 1. Максимум диэлектрической проницаемости в критической точке смеси нитробензол — гептан, $c = 47,20$ мол. % нитробензола

при наличии дополнительного неравенства, указывающего на устойчивость системы

$$\left(\frac{\partial X_i}{\partial x_i}\right)_{X_j} \neq 0. \quad (3)$$

Следовательно, для диэлектриков мы получаем такие условия, определяющие критическую точку:

$$X_i = E; \quad x_i = D; \quad \left(\frac{\partial E}{\partial D}\right)_{T, p} = 0 = \frac{1}{\epsilon};$$

$$\left(\frac{\partial^2 E}{\partial D^2}\right)_{T, p} = \frac{\partial}{\partial D} \left(\frac{1}{\epsilon}\right) = 0, \quad (4)$$

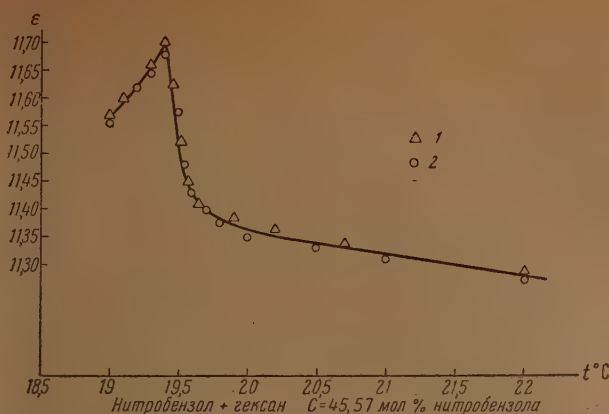


Рис. 2. Максимум диэлектрической проницаемости в критической точке смеси нитробензол — гексан, $c = 45,57$ мол. % нитробензола

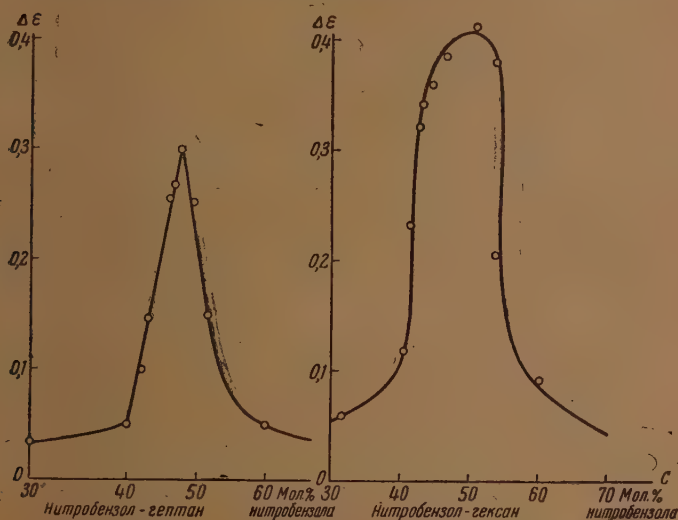


Рис. 3

Рис. 4

Рис. 3. Величины максимумов диэлектрической проницаемости в смесях нитробензол — гептан при различных концентрациях нитробензола. Наибольший из максимумов соответствует критической точке

Рис. 4. Величины максимумов диэлектрической проницаемости в смесях нитробензола с гексаном. Наибольший из максимумов соответствует истинной критической точке, остальные — ложным критическим точкам

условия для линии ложных критических точек:

$$\left(\frac{\partial E}{\partial D}\right)_{T,P} = \frac{1}{\varepsilon} \neq 0;$$

$$\left(\frac{\partial^2 E}{\partial D^2}\right)_{T,P} = \frac{\partial}{\partial D} \left(\frac{1}{\varepsilon}\right) = 0, \quad (5)$$

е. диэлектрическая проницаемость должна проходить в критической точке через максимум, стремящийся к бесконечности, а в ложных критических точках — через конечные максимумы.

Чтобы проверить этот вывод, мы исследовали диэлектрические проницаемости двух ограниченно растворимых систем: нитробензол — гептан при 12 концентрациях и нитробензол — гексан при 16 концентрациях при различных температурах. Определения производилось методом биений на длине волны 300 м. Температура поддерживалась с точностью до $0,01^{\circ}\text{C}$, а в некоторых случаях до $0,005^{\circ}\text{C}$ при помощи термостата ТС-15. Полученные результаты полностью подтвердили наши выводы: диэлектрическая проницаемость обеих исследованных нами систем проходит при критической температуре через резко выраженный максимум, величина и острота которого убывают по мере удаления от критической концентрации (рис. 1 и 2). Теплоемкость системы нитробензол — гексан была изучена нами совместно с В. П. Скриповым [3], вязкость совместно с Е. Л. Зориной [6]; обе эти величины ведут себя подобно диэлектрической проницаемости, давая ясно выраженные максимумы в критической точке и вблизи нее.

Однако интересно отметить, что максимумы диэлектрической проницаемости затухают при удалении концентрации от критической гораздо медленнее чем максимумы вязкости и теплоемкости. Мы полагаем, что это объясняется тем, что их развитие связано с флуктуациями концентрации и ориентации только одного из компонентов, нитробензола, обладающего большим дипольным моментом ($\sim 3,80$ Дебай), в то время как второй компонент (гептан или гексан) лишен дипольных моментов. Это предположение подтверждается и тем, что ложные критические точки расположены несимметрично около истинной критической точки (рис. 3 и 4), продолжаясь на стороне нитробензола до гораздо меньших концентраций, чем на стороне гексана и гептана.

Мы выражаем глубокую благодарность проф. Н. Н. Степаненко и проф. М. М. Якину за ряд ценных советов по экспериментальной части этой работы.

Московский государственный
университет им. М. В. Ломоносова

Поступило
21. III. 1955

ЛИТЕРАТУРА

1. В. К. Семенченко, Журн. физ. химии, 21, 1461, 1947.
2. В. К. Семенченко, Вестн. МГУ, 8, 11, 103, 1948.
3. В. К. Семенченко, Журн. физ. химии, 26, 1337, 1952.
4. В. К. Семенченко, ДАН, 92, 625, 1953.
5. В. К. Семенченко и В. П. Скипов, Журн. физ. химии, 25, 362, 1951.
6. В. К. Семенченко и Е. Л. Зорина, Журн. физ. химии, 26, 510, 1952.

ХРОНИКА

КОНФЕРЕНЦИЯ ПО ВОПРОСАМ КАТАЛИЗА В ПАРИЖЕ

8—11 июня 1954 г. во Франции, в Париже, состоялось четвертое годовичное собрание Французского физико-химического общества, посвященное вопросам текстуры и структуры катализаторов.

На этом собрании было сделано 32 доклада, представленных учеными различных стран: Франции, Англии, США, Бельгии, Италии, Голландии, Западной Германии и Австрии. От Советского Союза были представлены 4 доклада: Г. М. Панченкова, К. Борескова, Л. А. Николаева, Г. М. Жабровой. В состав делегации от Советского Союза вошли: академик Б. А. Казанский, профессор Г. М. Панченков, доцент С. Смирнов, профессор Л. А. Николаев.

Поскольку обсуждение на одной научной конференции всех проблем, относящихся к столь обширной области знаний, какую представляет собой в настоящее время учение о катализе, практически невозможно, организаторы конференции сознательно сузили круг вопросов, подлежащих рассмотрению, ограничившись лишь проблемами структуры и текстуры катализаторов. Это ограничение впрочем не было жестким и в ряде докладов затрагивались и иные стороны каталитических явлений.

Само по себе понятие «текстура» катализаторов может быть передано термином «микроструктура». Это понятие, таким образом, непосредственно связано с вопросами морфологии твердого тела, значение которых для проблем катализа было отмечено во вступительном слове одного из организаторов конференции проф. М. Преттра. Доклады, представленные на 4-м годовичном собрании, были разделены на три группы: в первой группе относились работы, посвященные методам изучения катализаторов; во второй — работы, касающиеся металлических катализаторов, и к третьей — работы по окисным катализаторам.

Наименьшее число сообщений касалось методов изучения катализаторов: было представлено всего три доклада. В работе Ж. Меринга и Лонже-Эскар (Центральная государственная лаборатория химической службы) был исследован вопрос о так называемой «организации» реальных кристаллов катализаторов. В идеальном кристалле бесконечное повторение элементарной ячейки трехмерной решетки дает действительную картину расположения частиц в пространстве. В реальном кристалле бесконечное повторение элементарной структуры уже не соответствует фактическому строению кристалла. Функция распределения в этом случае включает в себя и параметры решетки, и дефекты, нарушающие периодичность. Фотометрирование дифракционных изображений позволяет составить представление об этой функции.

И. Трамбуз и Тран-Ю-те, М. Перрен и М. Матье (Лион, Лаборатория прикладной химии, руководитель проф. Преттер) сообщили о применении дифференциального термического метода для анализа превращения в гидратированных формах окиси алюминия. Авторы показали, что дифференциальный термический метод может дать ценные сведения о твердых катализаторах, если его сочетать с термогравиметрическим исследованием и изучением структуры и текстуры катализаторов, а также с измерением удельной поверхности.

Сотрудники той же лаборатории Ш. Эйро и Р. Готон исследовали кинетику термической диссоциации различных форм гидратированной окиси алюминия. Применяя термогравиметрический метод, они констатировали существенное различие в кинетике гидратации гидратгидрита и босемита.

Докладов, посвященных металлическим катализаторам, было больше. Из этих докладов восемь касались свойств и структуры никелевых катализаторов. Три работы по никелевым катализаторам были представлены Центральной государственной лабораторией химической службы (руководитель Ж. Меринг).

В работе Лонже-Эскар и Меринга был исследован осадок гидроокиси никеля. Фотометрирование дифракционной картины х-лучей позволило определить размеры первичных частиц гидроокиси, установить распределение частиц по величине, а также проследить эволюцию этого распределения по мере старения осадка гидроокиси. Авторы могли также вычислить и толщину ионного слоя, адсорбированного на поверхности частиц.

О. Баньо и Лонже-Эскар, изучая необратимый рост кристаллов гидроокиси никеля, показали, что первичные кристаллы гидроокиси адсорбируют на своей поверхности ионы никеля. Избыточный положительный заряд нейтрализуется анионами,

природа которых зависит от характера среды. При соединении отдельных кристалликов гранями (001) происходит десорбция анонов, увлекающих за собой эквивалентное количество катионов никеля. В результате этого процесса грани спаиваются и образуется большой кристалл.

К. Тангаракис и Р. Сибю проследили изменение структуры и текстуры в процессе дегидратации и восстановления гидроокиси никеля, воспользовавшись для этого рентгеновским и адсорбционным методом.

Два доклада было представлено от Лаборатории общей химии Сорбонны (руководитель профессор П. Лаффитт). В докладе Ф. Россети и Б. Имелик были изложены результаты исследования структуры и текстуры основного карбоната никеля. Карбонат никеля изучался во время осаждения при различных рН, а также в процессе промывания, старения и сушки образцов. В зависимости от условий обработки можно получить различные структурные типы карбоната. Авторы пришли к заключению, что структура карбоната никеля очень близка к структуре гидроокиси, являясь как бы ее производной. Эти структуры являются слоистыми с промежуточным, более или менее, регулярным размещением ионов CO_3^{2-} .

В докладе П. Трамбуза и Б. Имелика были изложены данные исследования катализаторов, применяющихся в синтезе метилхлорсилана. Авторы указали на важность образования интерметаллической фазы, содержащей медь и кремний, для каталитической функции катализаторов этого типа.

В докладе Г. Шваба и М. Вальдшмидта (Мюнхен) были приведены результаты исследования отравления никеля в процессе гидрогенизации. Авторы рассмотрели случаи, когда скорость реакции нелинейно зависит от количества яда. Они объяснили это явление наличием в катализаторах (приготовленных в определенных условиях) поликристаллических пористых частиц.

Доклад Л. Дора и А. Оржеховского (г. Льеж) был посвящен измерению поверхностей катализаторов. Авторы изучили серию смешанных катализаторов никель — окислени. Природа поверхности катализаторов исследовалась посредством адсорбции азота при низких температурах и адсорбции водорода при 180°C и при температуре жидкого азота. Данные о величине поверхности совпали с данными, полученными при измерении адсорбции фенола. Авторы констатировали также неоднородность поверхности никеля; они обнаружили на поверхности участки двух различных типов.

Голландские ученые (Амстердам) представили три доклада по металлическим катализаторам. В. Гейкелом, Ж. Бредер и Л. ван-Рейен измерили размеры кристалликов никеля на двуокиси кремния посредством изучения ферромагнитных свойств катализатора на носителе (никель на двуокиси кремния) в процессе восстановления металла. Средний размер кристалликов по данным авторов составляет величину порядка 50 Å.

Г. Шуит и Н. де-Боер (Голландия, Амстердам) изложили результаты исследования текстуры и структуры никеля на силикагеле. Эти катализаторы, приготовленные разными методами, обнаруживают значительные различия по отношению к адсорбции окиси углерода и этилена. Авторы отмечают необходимость учета пористости кристаллов никеля и взаимодействия их с поверхностью носителя. Азот адсорбируется на этих катализаторах химически (как это наблюдал ранее Бик — по типу «фильма»). Авторы нашли, что молекулы азота занимают на поверхности катализатора площадь 7 Å^2 . Они допускают перпендикулярное расположение молекул азота на поверхности.

В. Захтлер, В. ван-дер-Кнаап и Г. Доржелло в своем докладе привели данные о структуре и текстуре слоев металлического никеля, полученных испарением. Они исследовали эти слои посредством электронного микроскопа и методом дифракции электронов.

А. Гватмей и Е. Канингем (Шарлоттсвилль, университет в Виргинии) исследовали изменение состояния грани монокристалла меди, катализировавшей реакцию между водородом и кислородом, и влияние посторонних атомов на каталитическую активность меди и на способность ее переходить во время процесса в порошкообразное состояние.

Вторая часть конференции была посвящена главным образом окисным катализаторам.

Доклад И. Каргге (Сорбонна) был посвящен изучению влияния способов получения на текстуру гелей кремнекислоты. Варьируя концентрацию силиката в исходном растворе или подвергая гель действию различных химических агентов, можно получить гели различной текстуры. Так, сильно разбавленные растворы позволяют получить ксерогель, содержащий почти однородные поры. Концентрированные растворы приводят к образованию корпускулярной текстуры, растворы средней концентрации дают смешанные текстуры.

В. Гейкелом и Л. ван-Рейен изучили диэлектрические свойства некоторых полярных жидкостей, адсорбированных на геле кремнекислоты. Были изучены вода, метанол, метилэтикетон, хлористый бензил, этиловый эфир и бензол. Авторы пришли к выводу, что в данном случае имеет место адсорбция по типу Вагнера; повышенная величина проницаемости массы при низких частотах не зависит от характера адсорбированной жидкости и ее количества. Авторы полагают, что это обстоятельство позволяет применить разработанный ими метод для характеристики текстуры адсорбента. В частности, они нашли, что в зернах того образца силикагеля, который служил для измерений, большинство пор пересекало зерно с одной стороны до другой.

Свойствам алюмогелей и алюмосиликатам были посвящены три доклада. В одном из них, сделанном Ж. Эскар, рассматривался вопрос об изменении поверхности и пористости монтмориллонитовых глин в процессе активации кислотами и дегидратации. Это изучено также влияние природы обменивающихся катионов.

В докладе Маттен и Броман (Центральная государственная лаборатория химической службы) были описаны результаты исследования соотношений между каталитической активностью монтмориллонитов и степенью их обработки кислотой, а также влияния на активность обменивающихся катионов.

Б. Имелик, М. Матье, М. Преттер и С. Тейхнер описали способ приготовления аморфной гидроксидной алюминия. Вопросы природы химических соединений каталитически активных в алюмосиликатах, а также вопросы кинетики алюмосиликатного катализа в связи с общими законами кинетики реакций в струе, были подробно изложены в большом докладе Г. М. Панченкова.

М. Мага огласил также тексты докладов Г. К. Борескова «Каталитическая активность металлов в отношении реакции окисления водорода» и Г. М. Жабровой «Микрофильная поверхность катализаторов и ее влияние на каталитическую активность», представленных Советской делегацией. Г. К. Боресков, изучая каталитическую активность различных металлов в реакции окисления водорода, нашел, что удельная активность данного металла не зависит от способа приготовления и определяется местом металла в периоде системы Менделеева. Г. М. Жаброва исследовала каталитическую активность гетерогенных катализаторов с точки зрения теоретических экспозиций Юли С. З. Рогинского.

Электронные проблемы катализа обсуждались на Конференции в связи со свойствами катализаторов полупроводникового типа. Г. Шваб и Ж. Блок (Мюнхен) изучали окисление окиси углерода на полупроводниках. Эти авторы показали, что каталитическая активность окиси никеля и цинка по отношению к окислению окиси углерода значительно изменяется под влиянием добавления ионов различной валентности. В случае окиси никеля катализатор благоприятствует увеличению концентрации положительных «дырок», а в случае окиси цинка — повышение концентрации квазисвободных электронов. На окиси никеля этажом, определяющим скорость процесса, будет хемосорбция окиси углерода, действующей как донор электронов. На окиси цинка хемосорбируется кислород, функционирующий как акцептор электронов и в виде отрицательного иона, реагирующий с газообразной окисью углерода.

Доклад Г. Натта (Италия, Милан) касался проблемы синтеза метанола. Автор исследовал соотношение между структурой, активностью и константой равновесия адсорбции для смешанных катализаторов синтеза Р. Дэрри, В. Гарпер и Ж. Грэй исследовали изменение проводимости тонких слоев закиси меди, вызванное адсорбцией кислорода. Изучалась энергия активации проводимости в различных условиях, кинетика адсорбции и десорбции и изменение скорости адсорбции в зависимости от давления кислорода. В результате адсорбции кислорода образуются структурные дефекты, диффундирующие в слой на значительную глубину.

Ж. Жермен изложил свои взгляды на связь между электронной структурой полупроводника и теорией активированной адсорбции. Полагая, что в механизме активированной адсорбции существенную роль играет перенос электрона, Жермен вычисляет потенциальный барьер, соответствующий данному поверхностному заряду, рассматривая барьеры типа Шоттки и типа Мотта.

Б. Элсон и Д. Доуден (Англия, Билингем) изучили разложение изопропанола на смеси смешанных катализаторов, состоящих из окислов магния и алюминия и окислов цинка и алюминия, и выяснили влияние, которое оказывает на активность отклонение стехиометрического состава.

Ш. Торкар (Австрия, Грац) сообщил о результатах исследования соотношения между каталитической активностью порошков и их проницаемостью для газа. Объектом исследования служили порошки рутила, катализировавшие реакцию разложения перекиси водорода.

Л. Вейль (Гренобль) описал способ исследования текстуры катализатора при низких температурах посредством исследования ферромагнитных свойств.

В работе Ж. Амизля, Жермен Родье и Жоржа Родье было изучено изменение магнитных свойств окиси алюминия, двуокиси кремния и двуокиси титана, обработанных растворами солей переходных металлов. Эти исследования непосредственно связаны с серией известных работ Селвуда.

И. Трамбуз, Л. де-Мургэ и М. Пэррен (Лион, Лаборатория прикладной химии, руководитель проф. Преттер) описали методы измерения различных форм кислотности алюмосиликатных гелей, дающих возможность оценить величину кислотности по Бенстеду и Льюису.

П. Ле-Гофф (Нанси) сообщил о влиянии геометрических параметров, характеризующих текстуру на скорость реакции.

Доклад Л. А. Николаева был посвящен связи между строением различных комплексных соединений, меди, железа, цинка, кобальта и других металлов и их каталитической активностью в окислительно-восстановительных реакциях. Было установлено существование специфических структур, обладающих высокой каталитической активностью.

В ходе общей дискуссии, состоявшийся в конце конференции, обсуждалась теория ансамблей Н. И. Кобозева (краткое сообщение о которой было сделано Л. А. Николаевым), а также исследования Друдана. Какой-либо резолюции общего характера об итогах работы на конференции принято не было.

В целом доклады, представленные на Четвертое годовичное собрание Французского физико-химического общества, а также взгляды, высказанные во время обсуждения этих докладов, несомненно представляют большой интерес для широких кругов советских химиков. Вместе с тем, поскольку из-за недостатка времени на этой конференции не обсуждались проблемы кинетики каталитических реакций, вопросы действия биокатализаторов, методы исследования катализаторов при помощи меченых атомов и другие важные разделы катализа, следует пожелать, чтобы в будущем программы работ международных химических конференций давали возможность химикам различных стран обмениваться мнениями и по этим вопросам.

Л. А. Николаев

СОВРЕМЕННОЕ СОСТОЯНИЕ ПРОБЛЕМЫ КАТАЛИЗА И ТЕОРЕТИЧЕСКИЕ ОСНОВЫ ИЗЫСКАНИЯ КАТАЛИЗАТОРОВ

Доклад академика А. А. Баландина на Общем собрании Отделения химических наук АН СССР 30 марта 1955 г.

Центральной проблемой катализа является подбор катализаторов. Подобрать катализатор к заданной реакции — значит указать его состав и рецептуру приготовления, обеспечивающие его активность, избирательность и устойчивость, а также оптимальные условия работы (температура, давление и пр.).

Благодаря работам советских каталитиков значительно расширен круг известных каталитических реакций и катализаторов и открыты совершенно новые, ранее неизвестные группы контактных процессов. Выявлен ряд общих принципов, лежащих в основе каталитических явлений и выдвинуты оригинальные концепции, охватывающие значительную часть учения о катализе.

Однако, несмотря на эти достижения, широко используемые практикой и выдвинувшие теоретический катализ на одно из первых мест в мировой науке, закономерности подбора катализаторов попрежнему остаются невыясненными, и в силу этого как у нас, так и за рубежом изыскание катализаторов ведется кропотливым эмпирическим путем с большой затратой средств и времени.

Отсюда понятен тот интерес, который проявила советская химическая общественность к выступлению крупнейшего специалиста в области катализа академика А. А. Баландина с докладом «Современное состояние проблемы катализа и теоретические основы изыскания катализаторов», состоявшимся 30 марта с. г. на Общем собрании Отделения химических наук Академии наук СССР.

В своем докладе А. А. Баландин осветил две стороны рассматриваемой проблемы: опрос о дальнейшем развитии теории катализа и создание теоретических основ изыскания катализаторов.

Значение, которое сейчас придается разработке теории катализа и проблеме теоретического изыскания катализаторов, видно уже из того факта, что эта проблема включена Президиумом АН СССР в число важнейших проблем советской науки. В 1954 г. группой виднейших специалистов страны — А. А. Баландиным, Г. К. Борсочевым, Б. А. Казанским, С. З. Рогинским и др. с участием представителей министерств — составлен план работ по проблеме «Научные основы подбора катализаторов». Для разработки плана в МГУ состоялось совещание с участием ученых Ленинграда, Украины и Кавказа. Работы по проблеме включены в планы ряда институтов. Для руководства работами при Президиуме АН СССР организован Ученый совет. Необходимо подчеркнуть ту поддержку, которую оказывает разработке проблемы промышленности, поскольку работы будут проводиться на материале практически важных реакций.

Каковы же пути решения проблемы? Существуют ли сейчас реальные предпосылки для создания теоретических основ изыскания катализаторов? Докладчик отвечает на это утвердительно. — Важным результатом проделанной работы, — говорит докладчик, — следует считать выделение узловой проблемы в катализе (подбор катализаторов) вместе с объединением для ее разрешения усилий всех каталитических школ. Вполне своевременно и осуществимо при современном уровне развития теории катализа создание теоретических основ подбора катализаторов. Однако успешное решение проблемы немислимо без дальнейшего развития теории катализа.

В теории катализа имеется ряд школ и направлений. В соответствии с учением о послыном строении каталитического активного комплекса, развиваемым докладчиком, промежуточный комплекс состоит из ряда слоев: первого — носителя каталитически активных центров; второго — активных центров катализатора; третьего — реагирующих атомов молекулы; четвертого — заместителей — групп атомов в молекуле, не принимающих участия в реакции, но влияющих на ее скорость; пятого — диффузионного слоя; шестого — слоя молекулярной адсорбции и поверхностной диффузии и седьмого — слоя газовой или жидкой фазы, где происходит объемная диффузия.

Рассмотрение существующих теорий катализа приводит к выводу, что различные теории занимаются изучением отдельных слоев промежуточного комплекса и взаимно дополняют друг друга. К первому слою относятся: теория пересыщения и модифицирования (С. З. Рогинский), мультиплетная теория (А. А. Баландин), влияние промоторов, носителей (Райдил, Тейлор); к второму слою — теория активных центров (Тейлор), изучение структуры этих центров (А. А. Баландин), теория ансамблей

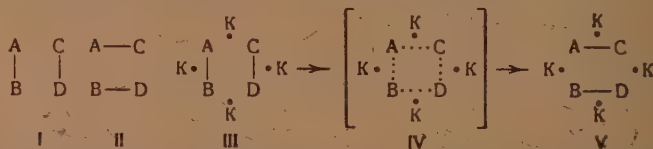
(Н. И. Кобозев), изучение дырочных равновесий (Ф. Ф. Волькенштейн), изучение смешанных и сплавных катализаторов (Митташ, Шваб); к третьему слою — работы Сабатье и, особенно, мультиплетная теория (А. А. Баландин). Четвертый слой изучали исследователи, интересовавшиеся влиянием структуры молекул (Н. Д. Зелинский, Н. В. Лебедев, Эдкинс); пятый, шестой и седьмой слои, включающие в себя поверхностную и объемную диффузию, подробно рассматриваются в работах Боденштейна, Г. К. Борескова и др.

Из изложенного видно, что наиболее полно явления катализа отражены в мультиплетной теории, особенно подробно разработанной для слоев второго и третьего и отчасти первого и четвертого.

В последнее время намечается сближение точек зрения и выясняются общие принципы — контуры общей теории катализа, основанной на теории строения вещества.

Далее докладчик рассматривает вклад этих теорий в проблему подбора катализаторов и особенно подробно останавливается на развиваемой им мультиплетной теории катализа, поскольку эта теория уже сейчас намечает реальные пути решения проблемы.

Мультиплетная теория учитывает структурные и энергетические факторы в катализе. Теорией устанавливается определенное геометрическое соответствие между расположением атомных групп в реагирующих молекулах и расположением активных центров решетки катализатора, объединяемых в индексную группу. В промежуточном комплексе с атомами катализатора (k) соприкасаются только те атомы в реагирующих молекулах, между которыми перераспределяются валентные связи. Более удаленные части молекулы — заместители — лишь косвенно влияют на реакцию. Реакция $AB + CD \rightarrow AC + BD$ изображается дублетными индексами III — V:



где K — активные центры катализатора, III и V — стадии адсорбции и десорбции, а IV — промежуточный комплекс. Докладчик подчеркивает, что представление о якобы имеющем место в мультиплетной теории нарушении принципа детального равновесия (М. Я. Каган, В. А. Ройтер), вследствие несоответствия схем для прямой (I) и обратной (II) реакции, является ошибочным. Схемы I и II следует рассматривать в их совокупности, тогда они налагаются и получается схема III—V, где в дублетном индексе содержатся четыре атома катализатора, а промежуточный комплекс IV — один и тот же для прямой и обратной реакции, вследствие чего катализ — микроскопически обратим.

Существование в мультиплетной теории структурного соответствия позволяет отбирать катализаторы по их структуре. Так, теоретическим путем были указаны катализаторы для дегидрогенизации шестичленных циклов и, в частности, предсказана каталитическая активность рения для дегидрогенизации циклогексана. Другим примером подтверждения структурной стороны мультиплетной теории является установление факта, что увеличение параметра решетки окислов способствует дегидратации спиртов, а уменьшение — их дегидрогенизации. В этом отношении исследованы окислы V, Nb, Ta. Большое число подтверждений теории найдено в материале органического катализа.

На основании учета энергий связей внутри молекул и связей с катализатором теория формулирует энергетические требования к протекающему каталитическому процессу, что приводит к широко оправдавшемуся на опыте принципу энергетического соответствия мультиплетной теории. Этот принцип получил свое развитие в методе «вулканобразных» кривых, разработанном докладчиком в 1946 г. и имеющем самое непосредственное отношение к создаваемой теории подбора катализаторов. Метод основан на следующих простых представлениях.

Если энергетический барьер образования промежуточного комплекса по реакции $AB + CD \rightarrow AC + BD$ равен

$$E' = -Q_{AB} - Q_{CD} + q, \quad (1)$$

тогда энергия распада комплекса E'' будет

$$E'' = Q_{AC} + Q_{BD} - q, \quad (2)$$

где Q — энергия, требуемая для разрыва связей AB и CD и выделяющаяся при образовании связей AC и BD , q — адсорбционный потенциал катализатора, численно равный сумме объемных энергий связей атомов индексной группы с катализатором, находящихся из термохимических или спектроскопических данных, и некоторой величины —

сублимационного члена λ , определяемого степенью ненасыщенности активных центров катализатора:

$$q = Q_{AK} + Q_{BK} + Q_{CK} + Q_{DK} + \lambda$$

$$q = q_0 + \lambda.$$

Как показано недавно докладчиком, для квазиоднородных поверхностей степень насыщенности зависит не от природы молекул, а от природы, числа и ориентации центров катализатора, соседних с активными центрами, т. е. зависит от промоторов генезиса.

Уравнения (1) и (2) имеют исключительное значение для подбора катализаторов. Вкладывая на графике энергию образования E' или разложения E'' мультиплетного комплекса как функцию адсорбционного потенциала q , получим две пересекающиеся под углом 90° прямые, координаты точки пересечения которых определяются величинами энергий связей между атомами в реагирующих молекулах. Таким образом положение на графике «вулканообразной» ломаной определяется лишь природой реакции, а не зависит от природы катализатора. Наименьший энергетический барьер реакции соответствует величине ординаты вершины ломаной, чему также отвечает оптимальная энергия адсорбции q для данного катализатора, равная численно полусумме энергий связей $AB + BD + AC + DC$. Эти условия и определяют выбор наиболее активного катализатора. Чем дальше отстоит q от этого оптимума, тем больше будет высота энергетического барьера реакции. Минимум энергетического барьера реакции и оптимум энергии адсорбции, и составляют существо принципа энергетического соответствия мультиплетной теории.

В точке максимума «вулканообразной» ломаной истинная энергия активации реакции равна $3/4$ энергии образования мультиплетного комплекса. Измеряя на опыте энергию активации, можно найти величину энергетического барьера E' и узнать, является ли данный катализатор оптимальным, или его активность может быть повышена, что имеет огромное практическое значение. Следовательно, повысить активность катализатора можно путем изменения величины адсорбционного потенциала q традицией методов приготвления, внося в катализатор примеси, промоторы, носители, согласно теории С. З. Рогинского. Из сказанного ясно, насколько важно накопление сытного материала по энергиям связей.

В 1954 г. в Лаборатории докладчика (А. А. Толстопятова, В. А. Ферапонтов, Р. Коненко, П. Тетени) получен ряд новых экспериментальных данных, подтверждающих принцип энергетического соответствия мультиплетной теории. Из энергии активации дегидрогенизации углеводородов и спиртов и дегидратации спиртов вычислены энергии связей $H-K$, $C-K$ и $O-K$ с катализаторами (окислы Cr , Mo , W , Zr , Th и др.). На основании найденных величин Q_{HK} , Q_{CK} и Q_{OK} построены в масштабе «вулканообразные» кривые, и показано, в каких случаях активность катализатора может быть повышена. Следует отметить, что энергии активации для индексных групп с различными заместителями близки, что свидетельствует об одинаковой ориентации молекул при катализе. Величины энергии связей для молекул с различными заместителями близки: небольшой разброс объясняется влиянием способа приготвления катализатора (влияние сублимационного члена λ). Величины Q_{HK} и Q_{CK} близки к термодинамическим значениям, тогда как Q_{OK} оказывается весьма чувствительной к изменению состава и природы катализатора и не совпадает с термодинамическим значением. Подобные влияния обнаружены и в случае энергии связи Q_{NK} , найденной из кинетических данных по дегидрогенизации аминов на ThO_2 (С. А. Васюнина), причем $Q_{CK} < Q_{NK} < Q_{OK}$. Метод вулканообразных кривых позволяет решать и симметричную задачу подбора — нахождение реакций, катализуемых данным катализатором. Докладчик подробно остановился на выполненном недавно им совместно с А. А. Пономаревым сравнении расчета с опытными данными при гидрировании фурановых производных на Ni . Проведение подробного расчета оказалось возможным ввиду того, что соответствующие энергии связей с Ni были известны. Это позволило вычислить энергетические барьеры реакции в фурановом ряду: гидрогенизации алифатической связи (6 ккал), карбонильной связи (5 ккал), двойной двойной связи в фурановом цикле (~ 3 ккал), циклизации $C-O$ связи (2 ккал), гидрогенолиза $C-O$ связи (-1 ккал) и гидрогенолиза $C-C$ связи (42 ккал). В большом числе случаев (около 100), за редким исключением, эта последовательность разрыва связей блестяще подтвердилась, что следует рассматривать как новое доказательство правильности мультиплетной теории. В заключение доклада А. А. Баладин обращает внимание на необходимость интенсификации работ в области теоретического изыскания катализаторов и всемерной концентрации усилий работников всех каталитических направлений на этой чрезвычайно важной проблеме.

В прениях по докладу А. А. Баладина выступили члены ОХН АН СССР и руководители лабораторий ведущих институтов Москвы и Ленинграда. М. М. Дубинин, председательствовавший на Собрании, отметил, что докладчик сосредоточил основное

внимание на работах своей школы, что вполне естественно в начальный период развития проблемы, когда комплексные работы только начинаются.

Я. Т. Эйдус подчеркнул тесную связь мультиплетной теории с другими направлениями в катализе и указал, что в дальнейшем мультиплетная теория А. А. Баландина явится центром, способным объединить все теории катализа. При разработке основ подбора особое внимание нужно уделить реакциям, промежуточным между гетерогенным и гомогенным катализом, не укладывающимся в рамки мультиплетной теории, а также изучению промотирования и активирования катализаторов.

М. И. Темкин остановился на энергетической стороне мультиплетной теории. Он отметил, что хотя в общем виде скорость реакции не может быть выражена через термодинамические величины, каковыми являются энергии связей, однако для случаев протекания реакции вблизи и вдали от равновесия метод, основанный на принципе энергетического соответствия, может оказаться весьма плодотворным. Расчет, выполненный М. И. Темкиным, и использованные прямые методы определения энергий связей путем изучения равновесий приводят к энергетическим соотношениям, аналогичным вытекающим из мультиплетной теории.

С. З. Рогинский обратил внимание на то, что при разработке теории подбора нужно выделить вопрос о селективности катализаторов. В выяснении закономерностей кислотно-щелочных и электронных свойств катализаторов большую роль призвана сыграть периодическая система. Нужно провести систематическое изучение в сравнимых условиях ряда элементов и соединений, не исследованных еще в каталитическом отношении. Особое внимание должно быть уделено вопросу о влиянии добавок к катализаторам, так как часто ничтожные примеси резко изменяют каталитические свойства.

Г. К. Боресков отметил чрезвычайную важность разработки проблемы подбора для практики, так как даже частичное ее решение будет способствовать большому прогрессу химической промышленности. Поэтому целесообразно развивать все направления в теории катализа, способствующие разработке проблемы. Весьма многообещающим кажется выявление закономерностей, связывающих удельную активность с химическим составом катализатора. Необходимо также всемерно способствовать применению в катализе метода меченых атомов, а также усилить работу по подбору многокомпонентных катализаторов для сложных реакций.

В. В. Воеводский остановился на путях экспериментального подтверждения ценной теории гетерогенного катализа путем доказательства существования поверхностных цепей. Первоочередной задачей в этом отношении явятся выяснение свойств поверхностных промежуточных соединений и установление длины поверхностной цепи. Полученные результаты определят место ценной теории гетерогенного катализа среди других направлений.

А. Н. Теренин обрисовал пути определения энергий связей атомов на поверхности катализаторов спектроскопическим путем и обратил внимание на трудности, встречающиеся при применении вибрационной инфракрасной спектроскопии. В дальнейшем весьма перспективным кажется применение более совершенных методов инфракрасной спектроскопии, особенно в области исследования комплексных соединений. Необходимо развивать работы также в области биокатализа, особенно на модельных реакциях.

В заключительном слове А. А. Баландин призвал представителей всех каталитических направлений и школ объединить свои усилия для быстреего разрешения проблемы теоретических основ изыскания катализаторов.

Е. И. Клабуновский

СОДЕРЖАНИЕ

А. Голяков. Аддитивность температуры кипения вещества	1145
Э. Левин. Энтропия и степень необратимости процессов	1147
В. Риль. Электропроводность кристаллов полициклических соединений и других органических изоляторов. II.	1152
Е. Луцкий. Молекулярные постоянные и вязкость жидкостей. II	1162
М. Павлюченко и Е. Н. Вайнштейн. Кинетика разложения бикарбоната калия	1173
А. Аксельруд. Кинетика растворения полидисперсной смеси	1181
Н. Белоногов и Б. И. Попов. К вопросу об определении константы скорости реакции и эффективного коэффициента диффузии внутри пористого катализатора из кинетических данных	1187
И. Зебрева, М. Т. Козловский и С. П. Бухман. Некоторые вопросы амальгамной полирографии	1193
В. Лапицкий и Ю. П. Симанов. Метаниобат и метатанталат лития	1201
А. Мамедов и Г. М. Панченков. Температурная и концентрационная зависимость плотности и вязкости двойных систем некоторых ароматических углеводородов	1204
А. Селицкий. Уравнение состояния жидкостей	1221
Т. Кудрявцев и А. Г. Атанасянц. Причины образования губки на катоде при цинковании из кислых растворов в присутствии солей электроположительных металлов	1227
В. Немцев. О некоторых формулах потенциалов ионизации атомных ионов	1236
М. Свердлов и И. Н. Зайцева. Колебательные спектры и структура диборана	1240
С. Жданов и Г. А. Гольдер. Рентгенографическое исследование структуры 3,5-дихлор-4-нитроанилина	1248
М. Полторак и А. В. Лавров. О строении центров свечения кристаллофосфоров. I	1254
Н. Кондратьев и Н. Д. Соколов. О теплоте гидратации ионов	1265
А. Каргин и Г. С. Маркова. Электронографическое исследование полимеров. III. Изучение изменений в структуре кристаллических и аморфных полимеров с температурой	1273
Н. Тихомирова и А. С. Кузьминский. Превращение серных связей в вулканизатах при термическом воздействии	1278
Г. Кнорре. О некоторых особенностях действия ингибиторов в цепных реакциях с вырожденным разветвлением при квадратичном обрыве цепей	1285
Б. Евдокимов. Магнитные свойства железо-угольных катализаторов в сильных полях	1292
З. Магарил. Связь теплоты парообразования с плотностью жидкости и ее насыщенного пара и поверхностным натяжением жидкости	1301
Т. Вартанян. Спектры поглощения лейко-оснований красителей в кислых растворах и в твердом состоянии. I. Лейко-основания тиазиновых и оксазиновых красителей в кислых растворах	1304
Г. Фастовский и Ю. В. Петровский. Исследование равновесия жидкость — пар в системе аргон — кислород	1311

Дискуссии

Н. Фрумкин. О теории полирографических максимумов М. Штапельберга	1318
Дж. Дж. Коулмен. Заметка по теории пористых электродов	1323
М. Д. Кочергинский, П. Д. Луковцев. Ответ Дж. Дж. Коулмену	1325
М. Х. Карапетьянц. Ответ на «Замечания» А. Ф. Капустинского	1326

Письма в редакцию

М. Х. Карапетьянц. О методах сравнительного расчета различных свойств	1328
А. А. Жуховицкий и В. А. Геодакян. Об измерении малых коэффициентов диффузии	1334
А. А. Жуховицкий, М. Е. Яницкая и С. Н. Крюков. Об определении термодинамических характеристик твердых растворов на основе применения радиоактивных индикаторов	1338
В. К. Семенченко и М. Азимов. О жидких сегнетоэлектриках	1342

Хроника

А. Николаев. Конференция по вопросам катализа в Париже	1345
И. Клабуновский. Современное состояние проблемы катализа и теоретические основы изыскания катализаторов	1349

Цена 18 руб.